

UNIVERSIDAD DEL VALLE DE GUATEMALA  
Facultad de Ciencias Sociales  
Departamento de Arqueología



Análisis cronológico y funcional de la cerámica asociada al Basurero 1 del  
Palacio del sitio arqueológico La Corona, y su relevancia en  
el entendimiento del Complejo *Waay* del Clásico Tardío

Trabajo de graduación presentada por  
María Alejandra González Velásquez  
para optar el grado académico de Licenciada en Arqueología

Guatemala,

2021.



UNIVERSIDAD DEL VALLE DE GUATEMALA  
Facultad de Ciencias Sociales  
Departamento de Arqueología



Análisis cronológico y funcional de la cerámica asociada al Basurero 1 del  
Palacio del sitio arqueológico La Corona, y su relevancia en  
el entendimiento del Complejo *Waay* del Clásico Tardío

Trabajo de graduación presentada por  
María Alejandra González Velásquez  
para optar el grado académico de Licenciada en Arqueología

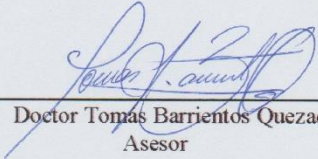
Guatemala,

2021.

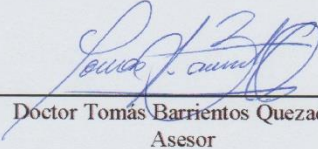


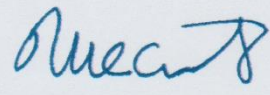


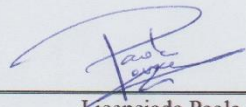
Vo.Bo.:

(f)   
\_\_\_\_\_  
Doctor Tomás Barrientos Quezada  
Asesor

Tribunal:

(f)   
\_\_\_\_\_  
Doctor Tomás Barrientos Quezada  
Asesor

(f)   
\_\_\_\_\_  
Doctor Marcello A. Canuto

(f)   
\_\_\_\_\_  
Licenciada Paola Torres

Fecha de aprobación:  
07 de mayo de 2021

## Prefacio

Son muchas las personas que contribuyeron al proceso y conclusión de este trabajo de graduación. Se me es difícil plasmar en palabras mi agradecimiento. Desde ya, agradezco la paciencia y el apoyo incondicional en el desarrollo de esta investigación.

Agradezco a mi mamá, Jorge y papá, quienes fueron mis mayores promotores durante este proceso, por darme fuerzas para seguir adelante y los consejos que nunca han estado de más. Gracias por apoyarme en las decisiones de la vida y ser incondicionales ante cualquier situación. A mi hermana, Mafer, por estar presente, apoyarme y principalmente, por su paciencia.

Segundo, agradezco a los directores de PRALC, por permitirme realizar mi trabajo de investigación en el proyecto. Gracias por la confianza y el apoyo constante. Al Dr. Marcello Canuto gracias por su tiempo, visitas a las excavaciones y el apoyo en la realización del mapa utilizado en dicha investigación. Al Dr. Tomás Barrientos por su tiempo, enseñanzas y orientación en el proceso de licenciatura y trabajo de graduación.

Así mismo, un particular agradecimiento a Paola Torres, quien me brindó su apoyo en el área cerámica, ideas y principalmente, su tiempo. También a los otros maestros que compartieron su conocimiento y tiempo.

Agradezco, especialmente a Francisco Saravia por su participación el análisis cerámico. Su dedicación, tiempo, apoyo académico y orientación fue primordial para esta investigación.

Así mismo, a Luis por su apoyo y amor que me acompañó desde el inicio hasta el final de este proceso. Quiero agradecer a todas aquellas personas que me acompañaron durante la carrera universitaria, quienes se volvieron amistades incondicionales. Gracias a Pancho, principalmente, por su amistad, apoyo emocional y profesional y paciencia; por ser mi compañero absoluto desde el primer día hasta la fecha. Marissa, Rubén, Ale, Pablo, Sofía, Gaby, Marielos y Tefy: ¡Gracias por hacer de la universidad una experiencia de vida más allá de las aulas!

Un agradecimiento especial a Analy Montenegro por su dedicación al proyecto, el apoyo, cariño y ánimos que me brindó en todo momento. También al Dr. Maxime Lamoureux-St-Hilaire por su apoyo al brindarme datos de las excavaciones y análisis previos. Así mismo, a todo el personal de campamento por su apoyo en campo. Por último, quisiera agradecer, al equipo de excavación que me acompañó: Don Marcelino, Don Polo, Don Pedro y Don Ramón, esta investigación no hubiera sido la misma sin su trabajo y apoyo.

A todas y todos, muchas gracias.

# Índice

I. Introducción.....	1
II. Planteamiento del problema.....	3
III. Hipótesis.....	5
IV. Objetivos.....	6
V. Justificación.....	7
VI. Marco teórico/conceptual.....	8
A. Antecedentes de la arqueología conductual.....	8
B. Arqueología del comportamiento.....	10
C. Definición y tipología de basura y residuo.....	19
VII. Antecedentes.....	22
A. Ubicación geográfica.....	22
B. Investigaciones previas en La Corona.....	24
1. Descubrimiento.....	24
2. Investigaciones PRALC.....	26
3. Excavaciones en el área de desechos del Palacio.....	35
4. Cronología de La Corona.....	36
VIII. Metodología.....	49
A. Revisión bibliográfica.....	49
B. Unidades de excavación.....	49
1. Excavaciones en área de Basurero 1 del Palacio (Unidades CR22-1, CR22-3, CR22-4, CR22-5, CR22-6 y CR22-7).....	50
2. Excavaciones sobre la Estructura 13Q-27 (Unidades CR-22-2, CR22-8, CR22-9, CR22-10 y CR22-12).....	50
3. Excavaciones sobre el primer y segundo Cuerpo de Palacio (Unidades CR22-13, CR22-14, CR22-15, CR22-16, CR22-17).....	51
C. Análisis de laboratorio.....	51
1. Análisis cerámico.....	52
2. Estudio tipológico.....	65
IX. Resultados de excavación.....	66
A. Excavaciones en el Basurero 1 (CR22-6 y CR22-7).....	69

B.	Excavaciones en el Basurero 3 (Unidades CR22-8, CR22-9, CR22-10 y CR22-12).	76
C.	Interpretación de otros rasgos y contextos asociados a los basureros del Palacio..	79
1.	Excavaciones en el primer cuerpo de Palacio.....	79
2.	Excavaciones en el relleno de la Estructura 13Q-27. ....	82
3.	Excavaciones en el talud del segundo cuerpo del Palacio y superficie de la Estructura 13Q-27 (CR22-15 y CR22-16).....	83
D.	Secuencia de basureros en la fachada noroeste del Palacio .....	87
X.	Resultados del análisis cerámico.....	88
A.	Operación CR22.....	89
1.	Basurero 1.....	94
2.	Basurero 3.....	100
3.	Funcionalidad de los basureros 1 y 3.....	104
B.	Modos cerámicos identificados en el Basurero 1.....	112
C.	Descripción tipológica de la cerámica del área del Basurero 1 y Basurero 3 del Palacio de La Corona .....	117
1.	Complejo <i>Ochiib</i> . ....	117
2.	Complejo <i>Waay</i> . ....	126
3.	Complejo <i>Waay</i> (Faceta Tardía).....	158
4.	Complejo <i>Paat</i> .....	160
D.	Resumen de los resultados del análisis cerámico .....	165
1.	Tipología cerámica. ....	165
2.	Cronología. ....	167
3.	Funcionalidad. ....	168
4.	Densidad .....	170
XI.	Discusión de resultados .....	171
A.	Cronología de los basureros del Palacio.....	172
B.	Análisis comparativo .....	176
C.	Comparación funcional sobre los tipos cerámicos en los distintos estratos del Basurero 1 .....	179
D.	Análisis del Basurero 3 y su relación con el Basurero 1 del Palacio. ....	182
E.	Implicaciones a las fases cerámicas y cronología de La Corona .....	183
XII.	Conclusión.....	187

XIII. Bibliografía .....	189
XIV. Anexos .....	203
A. Basurero 1 .....	203
B. Basurero 3 .....	205
C. Primer cuerpo de Palacio y CR22-11 .....	207
D. Modos identificados en los basureros de la Operación CR22 .....	208
1. Basurero Temprano (1A) .....	208
2. Basurero Medio (1B) .....	209
3. Basurero Tardío (1C) .....	210
4. Basurero 3 .....	211
E. Tipología cerámica .....	212
1. Complejo <i>Ochib</i> .....	212
2. Complejo <i>Waay</i> .....	230
3. Complejo <i>Waay</i> Tardío .....	280
4. Complejo <i>Paat</i> .....	284

## Índice de figuras

Figura 1. Modelo de flujo para visualizar el ciclo de vida de los elementos duraderos ....	16
Figura 2. Modelo de flujo para explicar las diferencias entre los desechos primarios, secundarios y de facto .....	17
Figura 3. Mapa con la ubicación del Sitio La Corona .....	23
Figura 4. Ubicación del Sitio La Corona. ....	23
Figura 5. Primer mapa-bosquejo del sitio arqueológico La Corona realizado por Graham y Stuart .....	25
Figura 6. Mapa actualizado del sitio La Corona2 .....	28
Figura 7. Palacio del sitio La Corona (Estructura 13Q-4). ....	31
Figura 8. Dibujo del término locativo <i>Sak Nikte'</i> .....	37
Figura 9. Secuencia dinástica de La Corona durante la “Era Dorada” .....	39
Figura 10. Códigos de forma.....	57
Figura 11. Códigos de borde .....	58
Figura 12. Códigos de decoración de forma .....	59
Figura 13. Códigos de tapadera, vertedera, asa y soportes .....	59
Figura 14. Códigos empleados para la descripción del acabado de superficie y decoración .....	62
Figura 15. Códigos empleados para la descripción de pastas .....	63
Figura 16. Ubicaciones de unidades excavadas en la Operación CR22 en los años 2016,2017 y 2018.....	67
Figura 17. Planta de la Operación CR22 excavada en 2019.....	68
Figura 18. Perfil norte de las unidades CR22-6 y CR22-7 .....	71
Figura 19. Registro Basurero 1C. ....	72
Figura 20. Piso Oropéndola y Carpintero sobre Basurero Temprano (1ª).....	74
Figura 21. Registro en Basurero 1ª .....	75
Figura 22. Muro norte de la Estructura 13Q-27 .....	76
Figura 23. Segundo cuerpo de Palacio y Estructura 13Q-27 .....	78
Figura 24. Perfil este de las unidades CRR22-09, CR22-08, CR22-07, CR22-13, CR22-14 y CR22-17 .....	80
Figura 25. Primer cuerpo del Palacio.....	81
Figura 26. Relleno de Estructura 13Q-27 .....	82
Figura 27. Relleno de Estructura 13Q-27, Unidad CR22-12.....	83

Figura 28. Piso Oropéndola bajo relleno de la Estructura 13Q-27 .....	83
Figura 29. Derrumbe del segundo cuerpo de Palacio Unidad CR22-16.....	84
Figura 30. Tintero fabricado con la mitad de un caracol marino. a) exterior del tintero b) interior del tintero .....	85
Figura 31. Relleno del muro del segundo cuerpo del Palacio.....	86
Figura 32. Porcentajes descriptivos de la muestra analizada de la operación CR22 .....	90
Figura 33. Mapa de distribución de unidades excavadas en el área norte del Palacio (13Q-4), indicando la densidad de material cerámico .....	91
Figura 34. Porcentajes descriptivos de las clases cerámicas de la operación CR22.....	92
Figura 35. Resumen porcentual de los complejos identificados en la Operación CR22. ..	93
Figura 36. Muestra total del Basurero 1 y su distribución por contextos identificados.....	95
Figura 37. Frecuencia de material cerámico según temporalidad del Basurero 1 .....	96
Figura 38. Densidad de material cerámico según cada basurero. ....	97
Figura 39. Temporalidad del Basurero 1. ....	99
Figura 40. Clases según temporalidad del Basurero 1. ....	100
Figura 41. Muestra total del Basurero 3 y su distribución por contextos identificados...	101
Figura 42. Clases según temporalidad del Basurero 3. ....	102
Figura 43. Temporalidad del Basurero 3. ....	103
Figura 44. Gráfica del Análisis funcional del Basurero 1 del Palacio (13Q-4). ....	105
Figura 45. Gráfica del Análisis funcional del Basurero 3 del Palacio (13Q-4) .....	106
Figura 46. Gráfica de porcentajes de formas de vasijas según temporalidad del Basurero 1 del Palacio (13Q-4) .....	108
Figura 47. Gráfica de porcentajes de formas de vasijas según temporalidad del Basurero 3 del Palacio (13Q-4) .....	109
Figura 48. Comparación tipológica del Basurero 1. ....	110
Figura 49. Secuencia de grupos cerámicos calculada según la frecuencias dentro de cada uno de los basureros identificados a nivel cronológico. ....	111
Forma 50. Secuencia de modos cerámicos presentada por basureros, calculada sobre la frecuencia de cada modo en cada basurero .....	116
Figura 51. Plano del centro arqueológico de Arroyo de Piedra, basurero identificado en recuadro rojo (según Houston 1994).....	177
Figura 52. Área de investigación, en color rojo se identifica el Basurero, en el recuadro negro se identifica El Palacio.....	178
Figura 53. Resultados del análisis Tipo-variedad de la Operación CR22 (Basurero 1), presentados por grupo, lote y fechamiento del lote .....	203

Figura 54. Clasificación morfológica de la muestra y pesos por lotes de la Operación CR22 del Basurero 1 del Palacio. ....	204
Figura 55. Resultados del análisis Tipo-variedad de la Operación CR22 (Basurero 3), presentados por grupo, lote y fechamiento del lote .....	205
Figura 56. Clasificación morfológica de la muestra y pesos por lotes de la Operación CR22 del Basurero 3 del Palacio. ....	206
Figura 57. Resultados del análisis Tipo-variedad de la Operación CR22 (primer cuerpo de Palacio y CR22-11), presentados por grupo, lote y fechamiento del lote.....	207
Figura 58. Clasificación morfológica de la muestra y pesos por lotes de la Operación CR22 del primer cuerpo del Palacio y CR22-11.....	207
Figura 59. Modos totales presentes en la muestra del Basurero Temprano (1A) .....	208
Figura 60. Modos totales presentes en la muestra del Basurero Medio (1B) .....	209
Figura 61. Modos totales presentes en la muestra del Basurero Tardío (1C) .....	210
Figura 62. Modos totales presentes en la muestra del Basurero Tardío (1C) .....	211
Figura 63. Resultados del análisis Tipo-variedad de la Operación CR22, presentados por Clase, Grupo y Tipo: Variedad del Complejo <i>Ochib</i> del Basurero 1 .....	212
Figura 64. Cuerpos del Grupo Quintal Tipo Maaz Estriado Variedad Maaz a) exterior (Basurero Temprano (1A)) .....	213
Figura 65. Bordes del Grupo Quintal Tipo Quintal Variedad Quintal a) exterior b) interior (Basurero Temprano (1A)) .....	213
Figura 66. Bordes del Grupo Águila Naranja Tipo Águila Naranja Variedad Águila a) exterior b) interior (Basurero Temprano (1A)).....	214
Figura 67. Bordes del Grupo Águila Naranja Tipo Águila Naranja Variedad Águila a) exterior b) interior (Basurero Temprano (1A)).....	215
Figura 68. Bordes del Grupo Águila Naranja Tipo Águila Naranja Variedad Águila a) exterior b) interior (Basurero Temprano (1A)).....	216
Figura 69. Bordes del Grupo Águila Naranja Tipo Águila Naranja Variedad Águila a) exterior b) interior (Basurero Temprano (1A)).....	217
Figura 70. Bases del Grupo Águila Naranja Tipo Águila Naranja Variedad Águila a) exterior b) interior (Basurero Temprano (1A)).....	218
Figura 71. Bordes del Grupo Águila Naranja Tipo Águila Naranja Variedad Águila a) exterior b) interior (Basurero Temprano (1A)).....	218
Figura 72. Pestañas del Grupo Águila Naranja Tipo Águila Naranja Variedad Águila a) exterior b) interior (Basurero Temprano (1A)).....	219
Figura 73. Bases del Grupo Águila Naranja Tipo Águila Naranja Variedad Águila a) exterior b) interior (Basurero Temprano (1A)).....	219



Figura 74. Bases del Grupo Águila Naranja Tipo Águila Naranja Variedad Águila a) exterior b) interior (Basurero Temprano (1A)) .....	220
Figura 75. Borde del Grupo Águila Naranja Tipo Águila Naranja Variedad Águila a) exterior b) interior (Basurero Temprano (1A)) .....	220
Figura 76. Borde del Grupo Águila Naranja Tipo Águila Naranja Variedad Águila Manchado de Fuego a) exterior b) interior (Basurero Temprano (1A)) .....	221
Figura 77. Bordes del Grupo Águila Naranja Tipo Águila Naranja Variedad Dos Hermanos a) exterior b) interior (Basurero Temprano (1A)) .....	222
Figura 78. Bordes del Grupo Águila Naranja Tipo Águila Naranja Variedad Dos Hermanos a) exterior b) interior (Basurero Temprano (1A)) .....	222
Figura 79. Bases del Grupo Águila Naranja Tipo Águila Naranja Variedad Dos Hermanos a) exterior b) interior (Basurero Temprano (1A)) .....	223
Figura 80. Borde del Grupo Águila Naranja Tipo Águila Naranja Variedad Dos Hermanos a) exterior b) interior (Basurero Temprano (1A)) .....	223
Figura 81. Bordes del Grupo Águila Naranja Tipo Diego Estriado Variedad Diego Estriado a) exterior b) interior (Basurero Temprano (1A)) .....	224
Figura 82. Borde del Grupo Águila Naranja Tipo Milpa Impreso Variedad Milpa a) exterior b) interior (Basurero Temprano (1A)) .....	224
Figura 83. Bordes del Grupo Águila Naranja Tipo Nitán Compuesto Variedad Nitán a) exterior b) interior (Basurero Temprano (1A)) .....	225
Figura 84. Borde del Grupo Águila Naranja Tipo Pita Inciso Variedad Pita a) exterior b) interior (Basurero Temprano (1A)) .....	225
Figura 85. Borde y soporte del Grupo Balanza Negro Tipo Balanza Negro Variedad Balanza a) exterior b) interior (Basurero Temprano (1A)) .....	226
Figura 86. Pestaña y cuerpos del Grupo Balanza Negro Tipo Balanza Negro Variedad Balanza a) exterior b) interior (Basurero Temprano (1A)) .....	226
Figura 87. Borde del Grupo Japón Tipo Japón Resistente Variedad Japón a) exterior b) interior (Basurero Temprano (1A)) .....	227
Figura 88. Cuerpo del Grupo Japón Tipo Japón Resistente Variedad Japón a) exterior b) interior (Basurero Medio (1B)) .....	227
Figura 89. Bordes del Grupo Pucte Tipo Pucte Café Variedad Pucte a) exterior b) interior (Basurero Temprano (1A)) .....	228
Figura 90. Bordes del Grupo Pucte Tipo Pucte Café Variedad Pucte a) exterior b) interior (Basurero Temprano (1A)) .....	229
Figura 91. Resultados del análisis Tipo-variedad de la Operación CR22, presentados por Clase, Grupo y Tipo: Variedad del Complejo <i>Waay</i> del Basurero 1. ....	230

Figura 92. Resultados del análisis Tipo-variedad de la Operación CR22, presentados por Clase, Grupo y Tipo: Variedad del Complejo <i>Waay</i> del Basurero 3 .....	231
Figura 93. Resultados del análisis Tipo-variedad de la Operación CR22, presentados por Clase, Grupo y Tipo: Variedad del Complejo <i>Waay</i> del primer cuerpo de Palacio y CR22-11 .....	232
Figura 94. Bordes del Grupo Cambio sin Engobe Tipo Cambio sin Engobe Variedad No determinada a) exterior b) interior (Basurero Temprano (1A)) .....	233
Figura 95. Bordes del Grupo Cambio sin Engobe Tipo Cambio sin Engobe Variedad baño rojo a) exterior b) interior (Basurero Temprano (1A)) .....	234
Figura 96. Borde del Grupo Cambio sin Engobe Tipo Cambio sin Engobe Variedad baño rojo a) exterior b) interior (Basurero Medio (1B)).....	235
Figura 97. Borde del Grupo Cambio sin Engobe Tipo Cambio sin Engobe Variedad baño rojo a) exterior b) interior (Basurero Medio (1B)).....	235
Figura 98. Asa del Grupo Cambio sin Engobe Tipo Cambio sin Engobe Variedad baño rojo a) exterior b) interior (Basurero Tardío (1C)) .....	236
Figura 99. Borde del Grupo Cambio sin Engobe Tipo Cambio sin Engobe Variedad baño rojo a) exterior b) interior (Basurero Tardío (1C)) .....	237
Figura 100. Borde del Grupo Cambio sin Engobe Tipo Cambio sin Engobe Variedad Crema a) exterior b) interior (derrumbe) .....	237
Figura 101. Cuerpo del Grupo Cambio Sin Engobe Tipo Ciro Inciso Variedad Ciro a) exterior (derrumbe) .....	238
Figura 102. Borde del Grupo Cambio sin Engobe Tipo Encanto Estriado Variedad Encanto a) exterior b) interior (Basurero Temprano (1A)).....	239
Figura 103. Borde del Grupo Cambio sin Engobe Tipo Encanto Estriado Variedad Encanto a) exterior b) interior (derrumbe).....	239
Figura 104. Cuellos del Grupo Cambio sin Engobe Tipo Encanto Estriado Variedad baño rojo a) exterior (derrumbe).....	240
Figura 105. Cuerpos del Grupo Cambio sin Engobe Tipo Valente estriado impreso Variedad Valente a) exterior (Basurero Temprano (1A)).....	241
Figura 106. Cuerpos del Grupo Cambio sin Engobe Tipo Manteca Impreso Variedad Manteca a) exterior (Basurero Temprano (1A)) .....	242
Figura 107. Bordes del Grupo Azote Naranja Tipo Azote Naranja Variedad Azote a) exterior b) interior (Basurero Medio (1B)) .....	242
Figura 108. Bordes del Grupo Azote Naranja Tipo Azote Naranja Variedad Azote a) exterior b) interior (Basurero Tardío (1C)).....	243
Figura 109. Bordes del Grupo Azote Naranja Tipo Azote Naranja Variedad Azote a) exterior b) interior (Basurero Tardío (1C)).....	243

Figura 110. Borde y base del Grupo Azote Naranja Tipo Azote Naranja Variedad Azote a) exterior b) interior (Basurero Tardío (1C)).....	244
Figura 111. Borde del Grupo Azote Naranja Tipo Azote Naranja Variedad Azote a) exterior b) interior (Basurero Tardío (1C)).....	244
Figura 112. Soporte del Grupo Azote Naranja Tipo Azote Naranja Variedad Azote a) exterior b) interior (humus).....	245
Figura 113. Fragmentos de tambores del Grupo Azote Naranja Tipo Azote Naranja Variedad Azote a) exterior b) interior (Basurero Tardío (1C)).....	245
Figura 114. Bordes del Grupo Azote Naranja Tipo Salada Acanalado Variedad Acanalado-Inciso a) exterior b) interior (Basurero Tardío (1C)).....	246
Figura 115. Bordes del Grupo Azote Naranja Tipo Salada Acanalado Variedad Acanalado-Inciso a) exterior b) interior (derrumbe).....	246
Figura 116. Bordes del Grupo Azote Naranja Tipo Torres Inciso Variedad Torres a) exterior b) interior (Basurero Tardío (1C)).....	247
Figura 117. Bordes del Grupo Harina Tipo Harina Crema Variedad Harina a) exterior b) interior (Humus).....	248
Figura 118. Borde y base del Grupo Infierno Negro Tipo Infierno Negro Variedad Infierno a) exterior b) interior (Basurero Tardío (1C)).....	249
Figura 119. Base del Grupo Infierno Negro Tipo Infierno Negro Variedad Infierno, punzada e inciso a) exterior (derrumbe) .....	249
Figura 120. Borde del Grupo Infierno Negro Tipo Infierno Negro Variedad Infierno a) exterior b) interior (derrumbe) .....	250
Figura 121. Base del Grupo Infierno Negro Tipo Carmelita Inciso Variedad Carmelita a) exterior b) interior (Basurero Tardío (1C)).....	250
Figura 122. Cuerpos del Grupo Infierno Negro Tipo Carmelita Inciso Variedad Carmelita a) exterior (Basurero Tardío (1C)).....	251
Figura 123. Borde del Grupo Máquina Café Tipo Máquina Café Variedad Máquina a) exterior b) interior (Basurero Temprano (1A)).....	252
Figura 124. Bordes del Grupo Máquina Café Tipo Máquina Café Variedad Máquina a) exterior b) interior (Basurero Tardío (1C)).....	252
Figura 125. Bordes del Grupo Máquina Café Tipo Máquina Café Variedad Máquina a) exterior b) interior (Basurero Tardío (1C)).....	253
Figura 126. Bordes del Grupo Máquina Café Tipo Máquina Café Variedad Máquina a) exterior b) interior (Basurero Tardío (1C)).....	253
Figura 127. Bordes del Grupo Máquina Café Tipo Máquina Café Variedad Máquina a) exterior b) interior (derrumbe) .....	254

Figura 128. Base y borde del Grupo Máquina Café Tipo Calabazo Gubiado Inciso Variedad Estucado a) exterior b) interior (Basurero Tardío (1C)).....	255
Figura 129. Borde del Grupo Máquina Café Tipo Canoa Inciso Variedad Canoa a) exterior b) interior (Basurero Tardío (1C)).....	255
Figura 130. Borde del Grupo Tinaja Rojo Tipo Tinaja Rojo Variedad Tinaja a) exterior b) interior (Basurero Medio (1B)).....	256
Figura 131. Borde del Grupo Tinaja Rojo Tipo Tinaja Rojo Variedad Tinaja a) exterior b) interior (Basurero Medio (1B)).....	256
Figura 132. Base del Grupo Tinaja Rojo Tipo Tinaja Rojo Variedad Nanzal a) exterior b) interior (Basurero Tardío (1C)).....	257
Figura 133. Bordes del Grupo Tinaja Rojo Tipo Tinaja Rojo Variedad Nanzal a) exterior b) interior (Basurero Tardío (1C)) .....	257
Figura 134. Cuerpo del Grupo Tinaja Tipo Chaquiste Impreso Variedad Sellado a) exterior b) interior (Basurero Tardío (1C)).....	258
Figura 135. Cuerpo del Grupo Tinaja Tipo Chinja Impreso Variedad Chinja a) exterior b) interior (Basurero Tardío (1C)).....	258
Figura 136. Borde del Grupo Tinaja Tipo Pantano Impreso Variedad Pantano a) exterior b) interior (derrumbe).....	259
Figura 137. Borde del Grupo Tinaja Tipo Zopilote Ahumado Variedad Zopilote a) exterior b) interior (Basurero Tardío (1C)).....	259
Figura 138. Cuerpo del Grupo Santa Rosa Tipo Mataculebra Crema Polícromo Variedad Mataculebra a) exterior b) interior (Basurero Temprano (1A)).....	260
Figura 139. Borde del Grupo Saxché-Palmar Tipo Saxché Palmar Variedad no Especificada a) exterior b) interior (Basurero Temprano (1A)) .....	260
Figura 140. Cuerpos del Grupo Saxché-Palmar Tipo Saxché Palmar Variedad no Especificada a) exterior (Basurero Temprano (1 <sup>a</sup> )) .....	261
Figura 141. Cuerpos del Grupo Saxché-Palmar Tipo Saxché Palmar Variedad no Especificada a) exterior (Basurero Tardío (1C)).....	262
Figura 142. Bordes del Grupo Saxché-Palmar Tipo Saxché Palmar Variedad no Especificada a) exterior b) interior (Basurero Medio (1B)).....	263
Figura 143. Bordes del Grupo Saxché-Palmar Tipo Saxché Palmar Variedad Saxché a) exterior b) interior (Basurero Temprano (1A)).....	264
Figura 144. Bordes y base del Grupo Saxché-Palmar Tipo Saxché Palmar Variedad Saxché a) exterior b) interior (Basurero Temprano (1A)) .....	264
Figura 145. Bordes y base del Grupo Saxché-Palmar Tipo Saxché Palmar Variedad Saxché a) exterior b) interior (Basurero Temprano (1A)) .....	265

Figura 146. Borde del Grupo Saxché-Palmar Tipo Saxché Palmar Variedad Saxché a) exterior b) interior (Basurero Temprano (1A)).....	266
Figura 147. Bordes del Grupo Saxché-Palmar Tipo Saxché Palmar Variedad Palmar a) exterior b) interior (Basurero Tardío (1C)).....	266
Figura 148. Bordes del Grupo Saxché-Palmar Tipo Saxché Palmar Variedad Palmar a) exterior b) interior (Basurero Tardío (1C)).....	267
Figura 149. Bordes del Grupo Saxché-Palmar Tipo Saxché Palmar Variedad Palmar a) exterior b) interior (Basurero Tardío (1C)).....	268
Figura 150. Borde del Grupo Saxché-Palmar Tipo Saxché Palmar Variedad Palmar a) exterior b) interior (Basurero Tardío (1C)).....	269
Figura 151. Bordes del Grupo Saxché-Palmar Tipo Saxché Palmar Variedad Palmar a) exterior b) interior (derrumbe).....	269
Figura 152. Borde del Grupo Saxché-Palmar Tipo Anonal Naranja Polícromo Variedad Anonal a) exterior b) interior (derrumbe).....	270
Figura 153. Bordes del Grupo Saxché-Palmar Tipo Chantuori Negro sobre Naranja Variedad Chantuori a) exterior b) interior (Basurero Temprano (1A)).....	270
Figura 154. Borde del Grupo Saxché-Palmar Tipo Chantuori Negro sobre Naranja Variedad Chantuori a) exterior b) interior (Basurero Tardío (1C)).....	271
Figura 155. Bordes del Grupo Saxché-Palmar Tipo Palmar Naranja Polícromo Variedad Güisquil a) exterior b) interior (Basurero Temprano (1A)).....	271
Figura 156. Bordes del Grupo Saxché-Palmar Tipo Palmar Naranja Polícromo Variedad Güisquil a) exterior b) interior (Basurero Temprano (1A)).....	272
Figura 157. Cuerpos del Grupo Saxché-Palmar Tipo Palmar Naranja Polícromo Variedad Güisquil a) exterior (Basurero Temprano (1A)).....	273
Figura 158. Bordes del Grupo Saxché-Palmar Tipo Palmar Naranja Polícromo Variedad Güisquil a) exterior b) interior (Basurero Medio (1B)).....	273
Figura 159. Bordes del Grupo Saxché-Palmar Tipo Palmar Naranja Polícromo Variedad Güisquil a) exterior b) interior (Basurero Medio (1B)). 4) {yu-k'i-bi} “su vaso” (Morales, comunicación personal 2021)......	274
Figura 160. Borde del Grupo Zacatal Tipo Chinos Negro sobre Crema Variedad Chinos a) exterior b) interior (Basurero Temprano (1A)).....	274
Figura 161. Cuerpo del Grupo Zacatal Tipo Chinos Negro sobre Crema Variedad Chinos a) exterior (Basurero Temprano (1A)).....	275
Figura 162. Cuerpo del Grupo Polícromo a) exterior b) interior (Basurero Temprano (1A)).....	275
Figura 163. Cuerpo del Grupo Polícromo a) exterior b) interior (Basurero Temprano (1A)).....	276

Figura 164. Borde del Grupo Polícromo a) exterior b) interior (Basurero Temprano (1A))	276
Figura 165. Borde del Grupo Indeterminados Tipo Estucado a) exterior b) interior (Basurero Medio (1B))	277
Figura 166. Cuerpo del Grupo Indeterminados Tipo Estucado a) exterior b) interior (Basurero Medio (1B))	277
Figura 167. Tapadera y bordes del Grupo Indeterminados Tipo Estucado a) exterior b) interior (Basurero Tardío (1C))	278
Figura 168. Cuerpo del Grupo Indeterminados Tipo Estucado a) exterior (Basurero Tardío (1C))	279
Figura 169. Tiesto reutilizado a) exterior b) interior (derrumbe)	279
Figura 170. Resultados del análisis Tipo-variedad de la Operación CR22, presentados por Clase, Grupo y Tipo: Variedad del Complejo <i>Waay</i> (faceta tardía) del Basurero 1	280
Figura 171. Resultados del análisis Tipo-variedad de la Operación CR22, presentados por Clase, Grupo y Tipo: Variedad del Complejo <i>Waay</i> (faceta tardía) del Basurero 3	280
Figura 172. Resultados del análisis Tipo-variedad de la Operación CR22, presentados por Clase, Grupo y Tipo: Variedad del Complejo <i>Waay</i> (faceta tardía) del primero cuerpo de Palacio y CR22-11	280
Figura 173. Borde y soporte Grupo Chablekal Tipo Chablekal Gris Fino Variedad No Especificada a) exterior b) interior (Basurero Tardío (1C))	281
Figura 174. Borde del Grupo Chablekal Tipo Chicxulub Inciso Variedad Chicxulub a) exterior b) interior (derrumbe)	281
Figura 175. Cuerpo del Grupo Chablekal Tipo Chicxulub Inciso Variedad Chicxulub a) exterior (derrumbe)	282
Figura 176. Vasija Completa del Grupo Chablekal Tipo Telchac Compuesto a) exterior b) interior (Basurero Tardío (1C))	283
Figura 177. Resultados del análisis Tipo-variedad de la Operación CR22, presentados por Clase, Grupo y Tipo: Variedad del Complejo <i>Paat</i> (faceta tardía) del Basurero 1	284
Figura 178. Resultados del análisis Tipo-variedad de la Operación CR22, presentados por Clase, Grupo y Tipo: Variedad del Complejo <i>Paat</i> (faceta tardía) del Basurero 3	284
Figura 179. Resultados del análisis Tipo-variedad de la Operación CR22, presentados por Clase, Grupo y Tipo: Variedad del Complejo <i>Paat</i> (faceta tardía) del primero cuerpo de Palacio y CR22-11	284
Figura 180. Borde del Grupo Máquina Café Tipo Pepet Inciso a) exterior b) interior (Basurero Medio (1B))	285
Figura 181. Borde del Grupo Tinaja Rojo Tipo Camarón Inciso a) exterior b) interior (Basurero Tardío (1C))	285

Figura 182. Bordes del Grupo Altar Tipo Altar Naranja Variedad Altar a) exterior b) interior (derrumbe).....	286
Figura 183. Cuerpo del Grupo Balancan Tipo Caribe Inciso Variedad Caribe a) exterior (derrumbe).....	286
Figura 184. Cuerpo del Grupo Balancan Tipo Provincia Plano Relieve Variedad Provincia a) exterior (derrumbe).....	287
Figura 185. Soporte del Grupo Infierno Negro Tipo Cubeta Inciso a) exterior (derrumbe).....	288
Figura 186. Borde del Grupo Tinaja Variedad Portia Gubiado Inciso a) exterior b) interior (derrumbe).....	288
Figura 187. Cuerpo del Grupo Tinaja Variedad Portia Gubiado Inciso a) exterior (derrumbe).....	289
Figura 188. Tiestos reutilizados a) exterior b) interior (humus).....	290
Figura 189. Fragmento de malacate a) exterior (derrumbe) .....	291

## Índice de tablas

Tabla 1. Cronología del sitio La Corona.....	48
Tabla 2. Descripción detallada de las unidades del basurero 1, Operación CR22.....	69
Tabla 3. Nomenclatura de temporalidades de Basurero 1 .....	69
Tabla 4. Nomenclatura de pisos de Basurero 1.....	70
Tabla 5. Comparación de niveles de todas las unidades excavadas sobre el Basurero 1...73	
Tabla 6. Descripción detallada de las unidades del basurero 3, Operación CR22.....	77
Tabla 7. Nomenclatura de temporalidades de Basurero 1. ....	94
Tabla 8. Comparación de niveles de todas las unidades excavadas sobre el Basurero 1...94	
Tabla 9. Frecuencia de material cerámico según temporalidad del Basurero 1.....	96
Tabla 10. Complejos y grupos cerámicos de las temporalidades del Basurero 1 .....	98
Tabla 11. Comparación de niveles de todas las unidades excavadas sobre el Basurero 3 .....	102
Tabla 12. Complejos y grupos cerámicos de las temporalidades del Basurero 3. ....	104
Tabla 13. Modos cerámicos Basurero 1A.....	113
Tabla 14. Modos cerámicos Basurero 1B. ....	114
Tabla 15. Modos cerámicos Basurero 1C .....	115
Tabla 16. Propuesta cerámica de <i>Waay</i> Temprano para el sitio La Corona .....	185
Tabla 17. Comparaciones de las tres temporalidades del Basurero 1 .....	186



## I. Introducción

Los estudios cerámicos del sitio arqueológico La Corona han sido continuos desde el 2008 hasta a la fecha, lo que permitió establecer una cronología cerámica a partir de 2012, mediante el análisis de diversos contextos arqueológicos como entierros, basureros y rellenos constructivos, entre otros. Adicionalmente se han realizado análisis de vasijas completas de distintos contextos del sitio.

En 2016 y 2017 Maxime Lamoureux-St-Hilaire y Rubén Morales realizaron excavaciones en un área de desecho del Palacio, lo que incluyó un análisis preliminar de la cerámica recuperada. La presente investigación constituye una continuación de las investigaciones realizadas en esta área de desecho en el Palacio de La Corona. Esto incluye las excavaciones realizadas en la Temporada de Campo 2019, pero especialmente incluye un análisis profundo y detallado de la cerámica de este contexto, mediante los principios teóricos de la arqueología conductual, con la finalidad de determinar la cronología de la deposición de materiales e identificar posibles cambios funcionales en las actividades que se llevaron a cabo en esta parte del complejo palaciego, reflejadas en el material cerámico.

Así mismo, mediante la comparación de las diferentes temporalidades del basurero del Palacio, se identificó los inicios del Complejo *Waay* Temprano, sin embargo, este solo es el inicio de un estudio que se recomienda ser ampliado en otras áreas del sitio. El Basurero 1 del Palacio fue utilizado desde 550 d.C. (aproximadamente) hasta el abandono del sitio, es decir, 900 d.C. Es importante recalcar que la mayoría de la cerámica hallada e investigada fue identificada bajo la función de servicio, lo cual era de esperarse por ser un área de élite.

Cabe mencionar que, aunque este es uno de varios basureros encontrados en el área del Palacio, la importancia del estudio de este basurero es que refleja las actividades del asentamiento del Palacio, que se correlacionan con las fases arquitectónicas ya definidas para este edificio. Es importante mencionar que existe una falta significativa de datos cerámicos correspondientes al Complejo *Waay* de La Corona. Con este análisis se han definido tres facetas cerámicas del Complejo *Waay*, lo que permitirá entender de mejor forma los cambios sociopolíticos ocurridos durante el período Clásico Tardío (600-850 d.C.) en el sitio La Corona, especialmente en el siglo VII d.C., el momento en el cual se mantuvieron relaciones muy estrechas con la dinastía *Kaanul*. Asimismo, este estudio constituye un aporte en el análisis cerámico del proyecto para futuras investigaciones.

## II. Planteamiento del problema

La presente investigación se define a partir de los análisis cerámicos realizados por el Proyecto Regional Arqueológico La Corona, los cuales han sido realizados con material de diferentes sitios y contextos. La cronología cerámica del sitio La Corona y toda la región de estudio del proyecto se encuentra en proceso de definición constante, la cual se ha establecido acorde a los resultados de los análisis de las diversas áreas investigadas, entre ellas el complejo palaciego del sitio.

El Palacio de La Corona se encuentra localizado en el límite oeste de su Plaza Principal y cuenta con varios grupos de estructuras ubicadas sobre una plataforma elevada. Frente a su fachada oeste se encuentra un pequeño grupo de plaza, llamado “Grupo Posterior”, donde se ha identificado un área de desechos proveniente del Grupo Noroeste del Palacio, que contiene material de distintas fases.

Los estudios en esa área del Palacio se iniciaron por Maxime Lamoureux St-Hilaire (2017), quien se enfocó principalmente en el estudio de los contextos asociados a las últimas facetas constructivas, llamadas Halcón II (750-800 d.C.) y Tucán (800-850 d.C.), proporcionando información sobre las actividades cotidianas de los habitantes del área en ese momento. Como parte de esas excavaciones se descubrió la ya mencionada área de desechos del Palacio, la cual también fue trabajada por Rubén Morales (2018), y que constituye hasta ahora el contexto con la mayor cantidad de materiales asociados al Palacio. La cerámica proveniente de este depósito no ha sido analizada a profundidad y también, existen otros basureros identificados en otras áreas del sitio de los cuáles el análisis no ha sido completado. Por lo tanto, esta es una importante oportunidad para contribuir al entendimiento de la cronología y funcionalidad de la cerámica de La Corona.

Además de lo ya expuesto, es importante mencionar que existe una falta significativa de datos cerámicos correspondientes a la Fase Halcón I (550-750 d.C.) del Palacio (Complejo *Waay* de La Corona), por lo que al realizar el análisis en este basurero que podría contener materiales de esa época ayudaría a la definición de este. Por lo tanto, esta investigación se

define como un complemento y continuación de estudios cerámicos anteriores, no solamente para definir la cronología y temporalidad del basurero, sino como una oportunidad para responder a preguntas más específicas: ¿Se puede definir un cambio cronológico y/o funcional durante y después de la Fase Halcón I mediante la comparación de los distintos estratos del basurero? ¿Se pueden definir dos facetas cerámicas del Complejo *Waay* a través del estudio de materiales provenientes del basurero que puedan corresponder a la fase Halcón I del Palacio?

### III. Hipótesis

Los materiales cerámicos provenientes del basurero del Palacio poseen una muestra significativa fechada para la Fase Halcón I (550-750 d.C.), la cual contiene información confiable que permite proponer un refinamiento a la cronología del sitio de La Corona a través del estudio Tipo-variedad y modal de los materiales y así definir modos cerámicos específicos de esa fase, así como datos cronológicos y funcionales que pueden indicar una subdivisión del Complejo *Waay* de La Corona.

## IV. Objetivos

### A. Objetivos generales

- Determinar la cronología del Basurero 1 del Palacio según el material cerámico e identificar posibles cambios funcionales en las actividades reflejadas en dicho material.
- Identificar si existe una faceta temprana del Complejo *Waay* de La Corona, mediante el estudio del material cerámico del basurero del Palacio

### B. Objetivos específicos

- Reanalizar el material cerámico recuperado en el área de basurero del Palacio (Operación CR22) durante las Temporadas de Campo 2016 y 2017.
- Realizar un análisis del material cerámico recuperado en el área de basurero del Palacio (Operación CR22) durante la Temporada de Campo 2019.
- Definir los modos cerámicos presentes en cada estrato del basurero del Palacio, con énfasis en los correspondientes a la Fase Halcón I (550-750 d.C.).
- Comparar los modos cerámicos del basurero del Palacio con los modos del material del depósito cerámico de la Estructura 13R-9, los cuales están fechados por radiocarbono a la Fase Halcón I (550-750 d.C.).
- Definir diferencias en modos cerámicos que puedan indicar una subdivisión del Complejo *Waay*. Determinar la presencia de cerámica foránea en el basurero del Palacio, que pudo ser importada a través de redes de intercambio.
- Definir cambios funcionales cerámicos en los estratos del basurero del Palacio, que puedan relacionarse con cambios sociopolíticos definidos por la evidencia epigráfica y arquitectónica.

## V. Justificación

Esta investigación se enfocó en realizar un análisis cerámico del basurero de Palacio, por ser un área importante para estudiar el desarrollo de los complejos cerámicos del sitio La Corona. Además de este basurero, solamente se conoce otro contexto que contenga muestras significativas del inicio del Complejo *Waay*, que corresponde a un depósito asociado a la Estructura 13R-9 del Grupo Coronitas. Así, este trabajo permitiría mostrar si existen cambios en los inicios de dicho complejo y establecer una subdivisión que pueda ayudar a estudios cerámicos posteriores del sitio.

## VI. Marco teórico/conceptual

### A. Antecedentes de la arqueología conductual

Dentro de la arqueología es fundamental el estudio cronológico a través de los restos materiales, por lo que desde sus inicios ha tratado de explicar la forma en que éstos se depositan en los distintos contextos investigados. Una de estas formas ha sido relacionar la evidencia arqueológica con estudios etnográficos.

La escuela arqueológica americana fue la primera en aplicar el conocimiento etnográfico, por lo que Jesse W. Fewkes utilizó el término “etnoarqueología” en los inicios del siglo XX (Fewkes, 1900; 579 citado en Stiles, 1977; 89). Por otro lado, Pitt Rivers también fue pionero en dar cabida a los estudios antropológicos a la cultura material, a través de sus análisis sistemáticos de colecciones etnográficas a principios de siglo (Hernando, 1995; 16). Sin embargo, no fue hasta los años 60 cuando se comenzó a hablar de etnoarqueología como una disciplina propia, la cual surge con el desarrollo de la Nueva Arqueología, siendo Lewis R. Binford su principal representante. Esto a su vez sentó las bases para el surgimiento de la llamada “teoría del alcance medio”.

Para entender mejor qué es la teoría del alcance medio y su desarrollo, es importante indicar que su origen fue parte integral de los principales cambios en la sociología después de la Segunda Guerra Mundial. Esto se debió mayormente por el trabajo de T. Parsons y R. Merton, quienes determinaron que la teoría de alcance medio se utiliza principalmente para guiar la investigación empírica. Por lo tanto, es un enfoque intermedio entre las teorías generales de los sistemas sociales, conformados de clases particulares de comportamiento, organización y cambio social, y las descripciones de los elementos particulares que no están



organizados en absoluto. Es intermedia a las teorías generales de los sistemas sociales que están aleadas de clases particulares del comportamiento social, organización y cambio considerando lo que se observa y esas descripciones ordenadas y detalladas de los particulares que no están organizados en absoluto (Raab y Goodyear, 1984, págs. 256-257). En el caso de la arqueología, el trabajo de Lewis. R. Binford (1968a, 1968b) fue el más influyente, argumentando que no habría contribuciones significativas a los objetivos de la antropología hasta que se mejorara la adecuación científica de la arqueología (Raab y Goodyear, 1984, pág. 259). Binford propuso entonces el uso de dos niveles teóricos: teoría general y teoría de alcance medio, en su libro *For Theory Building in Archaeology* (1977a, págs. 1-10):

*“Hay necesidades urgentes de construir teorías en al menos dos niveles. Un nivel que es lo que yo llamo “teoría de alcance medio”. Si uno acepta las observaciones hechas en el registro arqueológico como hechos contemporáneos junto con la idea de que tales hechos son estáticos, entonces los problemas claramente básicos para el arqueólogo incluyen (a) cómo pasamos de hechos contemporáneos a declaraciones sobre el pasado y (b) cómo convertimos los hechos observacionalmente estáticos del registro arqueológicos en declaraciones de dinámica” (Binford 1977a:6 citado en Raab y Goodyear, 1984, pág. 260, traducción propia).*

Las teorías de alcance medio también deben cumplir un requisito básico: ser independientes de las teorías generales propuestas para explicar el pasado (Lull y Micó 1998:67). Por lo tanto, Binford especifica lo que se desea al realizar la investigación de medio alcance:

*“Medios precisos de identificación y buenos instrumentos para medir propiedades específicas de sistemas culturales pasados. Estamos buscando dispositivos cognitivos; estamos buscando “piedras de Rosetta” que permitan la conversión precisa de la observación en estática a declaraciones sobre dinámica. Estamos buscando construir un marco de referencia paradigmático para dar un significado a las características seleccionadas del registro arqueológico a través de un cuerpo de investigación teóricamente fundamentado, en lugar de aceptar el conocimiento popular, y mucho menos el conocimiento popular implícito, como la base para*

*describir el pasado*” (Binford 1981a:25 citado en Raab y Goodyear 1984:260, traducción propia).

David Hurst Thomas (1979) definió la teoría alcance medio como un puente entre las propiedades estáticas del registro arqueológico y las interpretaciones de las dinámicas pasadas por los arqueólogos:

*“Debido a que los hechos no pueden hablar por sí mismos, los arqueólogos deben proporcionar argumentos de enlace que introduzcan vida conductual a los objetos del pasado. Formulada adecuadamente, la teoría de nivel medio vincula el comportamiento humano con datos empíricos que son arqueológicamente observables. Para crear argumentos vinculantes relevantes, los arqueólogos deben observar el funcionamiento de una cultura en su contexto sistémico, tal como los geólogos definieron sus procesos a través de la observación del mundo contemporáneo, como las corrientes que transportan sedimentos a un delta o el viento que sopla arena a través de las dunas. Los arqueólogos hacen lo mismo: estudian analogías modernas para comprender los procesos que crearon el registro arqueológico”* (Thomas y Kelly 2013:116-117, traducción propia).

## B. Arqueología del comportamiento

Según los postulados de la teoría de alcance medio, Michael Schiffer definió la arqueología conductual o arqueología del comportamiento (*Behavioral Archaeology*, en inglés) (1972), como una crítica a los trabajos realizados durante la Nueva Arqueología. Sus postulados se han enfocado en explicar cómo se produce el registro arqueológico en términos de modelos, teorías y leyes explícitas y sobre cómo operan los sistemas culturales (Schiffer 1990:82, 1976, 1988). En 1975, Jefferson Reid, William L. Rathje y Michael Schiffer publicaron un artículo titulado “La nueva arqueología conductual: cuatro estrategias”; posterior a esto, se publicó “La Arqueología Conductual” por M. Schiffer (1976).

Con las publicaciones anteriores, se promovió la idea de una nueva definición de arqueología del comportamiento: “*consiste principalmente en las actividades de investigación sobre las relaciones entre la conducta humana y los artefactos, en todo lugar y en toda época*” (Schiffer 1991:32). Esta definición de arqueología surge durante la época procesual pero posteriormente, ya con influencia del postprocesualismo, Schiffer y Rathje revisaron algunos fundamentos y modificaron la definición de la arqueología del comportamiento, para lo cual se basaron en las críticas realizadas por William H. Walker hacia el concepto inicial. Esta crítica define a los artefactos fuera del comportamiento humano, como meros constituyentes del entorno, más allá del cuerpo (Schiffer 2008: 911-912).

Luego de revisar los fundamentos de la arqueología del comportamiento, esta fue redefinida como “el estudio de las interacciones entre personas y artefactos en todos los tiempos y lugares” (Schiffer 2008: 912, traducción propia). Además, William Rathje y Michael B. Schiffer (1982) señalan que las interacciones específicas pueden agregarse en unidades de análisis cada vez más grandes, que van desde el acto casi instantáneo de golpear una lasca de un núcleo de pedernal hasta la historia de vida de siglos de una sociedad compleja.

Entonces, desde sus inicios, la arqueología conductual, se ha regido por cuatro estrategias, explicadas de la siguiente manera:

*“La estrategia número uno es el estudio de la cultura material del pasado para responder preguntas históricas, descriptivas y explicativas, sobre el comportamiento humano y las sociedades del pasado. Abarca la mayoría de las arqueologías: prehistórica, histórica, clásica e industrial. [...] La segunda estrategia se refiere al estudio de los artefactos del presente con el fin de establecer leyes científicas, siendo sus principales componentes la arqueología experimental y la etnoarqueología. [...] La tercera estrategia también se centra en el establecimiento de principios generales, pero su laboratorio es el registro arqueológico, ya que se basa en los artefactos que se produjeron y utilizaron en el pasado para generar leyes aplicables en la investigación sobre la conducta humana,*

*tanto pretérita como presente. [...] Y, por último, los arqueólogos aplican en la investigación de la escala temporal actual los principios generales que se generan a partir de la estrategia dos y tres. Es decir, se trata de entender a la sociedad contemporánea para contestar preguntas específicas acerca de la conducta humana.”* (Schiffer 1991:32 y Schiffer 2008:909-910, traducción propia).

Para explicar más sobre la teoría del comportamiento, es necesario definir algunos términos de naturaleza general en la misma, los cuales se derivan principalmente de la Teoría de Sistemas, la cual fue uno de los principales desarrollos de la Nueva Arqueología o Arqueología Procesual (Binford 1964; Clarke 1968, Flannery 1968). Schiffer (1972) define cultura como un sistema conductual de subsistemas autorregulatorios e interrelacionados que obtienen (procuran) materia, energía e información (Miller 1965a, 1965b; Clarke 1968 citado en Schiffer 1990:82). Los valores de las variables de este subsistema se mantienen mediante la ejecución de actividades:

*“Una actividad es una transformación de energía, que como mínimo implica una fuente de energía, a menudo humana, que actúa sobre uno o más elementos materiales próximos. Una estructura de actividad se define como las actividades realizadas y sus frecuencias de ejecución, por lo general, aunque no necesariamente con referencia al sitio”* (ibíd. 82-83, énfasis propio).

Derivado de lo anterior, Schiffer define qué es un "elemento" y lo divide en dos categorías:

*“Mi definición de elementos incluye alimentos, instrumentos, instalaciones, maquinaria, seres humanos y todos los otros materiales que podrían enlistarse en el inventario completo de un sistema cultural, éstos pueden ser duraderos y consumibles. Los elementos duraderos son instrumentos, maquinaria e instalaciones, en suma, transformadores y conservadores de energía (Wagner 1960). Los elementos consumibles son alimentos, combustibles y otros semejantes cuyo consumo resulta en la liberación de energía”* (Schiffer 1990:83).

Un aspecto importante de estos "elementos" es que se pueden emplear en varias dimensiones; sin embargo, esto va a depender del investigador y su pregunta de investigación. Schiffer plantea entonces la diferencia entre contexto sistémico y contexto arqueológico:

*“El contexto sistémico se refiere a la condición de un elemento que está participando en un sistema conductual. El contexto arqueológico describe los materiales que han pasado por un sistema cultural y que ahora son los objetos de investigación de los arqueólogos” (ibíd).*

M. Schiffer (1972) explica que estos conceptos se pueden visualizar en el flujo de un sistema cultural de la cerámica, alimentos o incluso puntas de proyectil, donde todos los elementos que entran en un sistema se modifican, descomponen, se combinan con otros elementos, se utilizan y posteriormente se desechan (*ibíd*). Bajo esta explicación se originó un modelo con antecedentes en los planteamientos de Binford (1968), Chang (1967) y Taylor (1984), el cual plantea que un contexto sistémico puede dividirse en cinco procesos: 1) obtención (“procuramiento”), 2) manufactura, 3) uso, 4) mantenimiento y 5) desecho; y cada proceso consta de una o más etapas (*ibíd.*).

Como se mencionó anteriormente, ya con la influencia postprocesual, se desarrolló una nueva perspectiva de la arqueología conductual, tomando otra interpretación de las interacciones. Schiffer y Miller (1999) especificaron variedades de interacciones, donde los principales modos son mecánicos, químicos, térmicos, eléctricos y electromagnéticos. También pueden definirse en relación con los sentidos humanos. Sin embargo, para que esto se produzca y permita el desarrollo de una actividad, cada actor, ya sea persona, artefacto o cualquier fenómeno del entorno no cultural, debe realizar una o más actividades que forman parte de la interacción. Estas actividades se denominan “característica de desempeño” que son las capacidades, competencias o habilidades que entran en juego durante una interacción específica (Schiffer 2008:912).

Los conceptos de característica de desempeño y modo de interacción ayudan a ubicar las discusiones tradicionales sobre la función de los artefactos. Dado que los artefactos

pueden realizar más de un tipo de función, incluso en una misma actividad, se designan tres funciones básicas (*ibíd.*):

*“1) Tecno-función es una función utilitaria, puede implicar el transporte, almacenamiento o alteración de materiales; 2) Socio-función es cuando los artefactos comunican información sobre los fenómenos sociales entre los participantes de una actividad y/o entre esa unidad social y otra. Estos comunican silenciosamente, hechos sociales y afectan la interacción interpersonal en muchas actividades; y 3) Ideo-función, estas funciones son atendidas por artefactos que codifican o simbolizan ideas, valores, conocimiento e información”* (Schiffer 2008: 912 traducción e interpretación propia).

La arqueología conductual también se interesa por comprender los procesos del cambio tecnológico dentro del registro arqueológico. Schiffer (Figura 1) (2008: 913) explica que los artefactos son las partes “duras” de una tecnología, distinguibles de las personas que interactúan y sus características de desempeño que también son componentes esenciales de una tecnología.

También divide el cambio tecnológico en procesos importantes de la historia de la vida como la invención, diseño, replicación (o comercialización) y la adopción (adquisición o consumo). Es importante recalcar que en el marco del comportamiento no existe una teoría del cambio tecnológico única, ya que las personas y grupos sociales son potencialmente diversos, por lo que sus decisiones crean la historia de la vida de una tecnología (*ibíd.*). En conclusión, el conjunto mínimo de procesos es: creación de un prototipo, replicación o comercialización, uso y mantenimiento.

Además, de estos cinco procesos básicos del contexto sistémico, se deben de tomar en cuenta otros factores necesarios como el almacenamiento y transporte, que son actividades que implican un desplazamiento temporal o espacial de un elemento respectivamente. El transporte y almacenamiento pueden darse aislados o combinados con dos procesos etapas o actividades cualesquiera de una etapa (Schiffer 1990: 84).

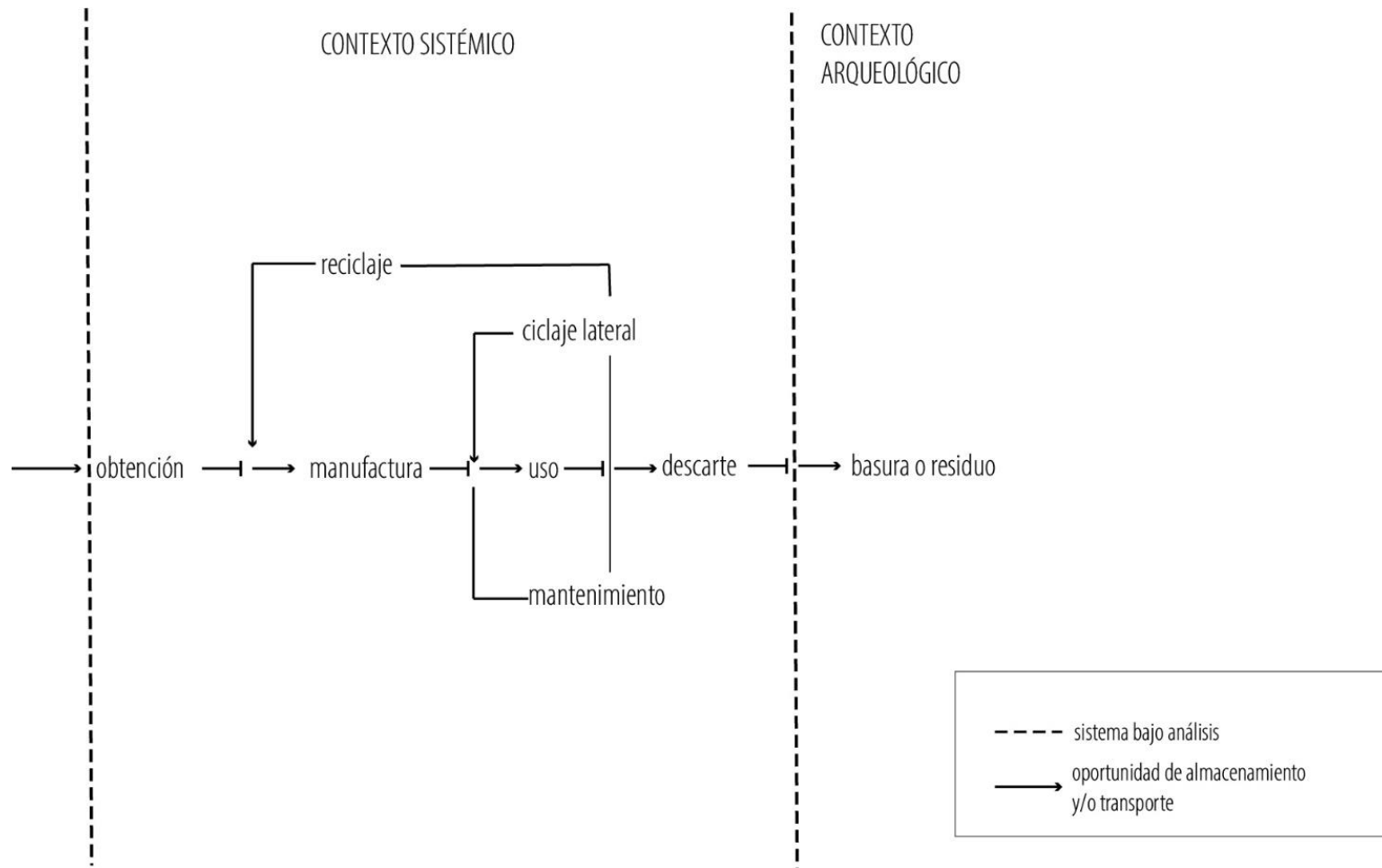
También, los procesos de formación del registro arqueológico abarcan fenómenos culturales como la eliminación de basura, entierro, pérdida y abandono de artefactos. Sin embargo, se toman en cuenta otros factores ambientales que incluyen alteraciones de animales, meteorización química, deposición y erosión. Denominándolos así, los principales procesos de formación cultural se califican ‘*c-transforms*’ y los factores ambientales ‘*n-transforms*’ (Schiffer 1988, 2008: 910). Sin embargo, no todos los elementos siguen una vía unilineal a través de un sistema. Es común que los arqueólogos encuentren elementos de la clase que se denomina reutilización y en este modelo se distinguen dos variaciones de la reutilización: el reciclaje y el ciclaje lateral (Schiffer 1990:84).

*“El reciclaje se refiere al direccionamiento de un elemento desde la conclusión de su uso hasta el proceso de manufactura del mismo elemento o de otro diferente. [...] El ciclaje lateral describe la conclusión o terminación del uso de un elemento (vida útil), en una serie de actividades y la reanudación de su uso en otras actividades, a menudo únicamente con la intervención del mantenimiento, almacenamiento y transporte” (Schiffer 1990: 84).*

Michael Schiffer recalca que no todos los elementos pasan por todos los procesos. Por ejemplo, los elementos de intercambio no tienen un proceso de manufactura en el sistema receptor y otros no presentan proceso de manufactura en ningún sistema. También otros artículos se desechan sin que jamás se les haya dado mantenimiento y hay artículos defectuosos que se desechan directamente luego de su manufactura (*ibíd.*).

*“Existen aspectos espaciales que afectan al contexto sistémico y el más importante es que existen ubicaciones espaciales específicas para cada proceso por el que pasa un elemento. El término ubicación “se emplea en el sentido más amplio posible, este puede ser un punto en un sitio o puede ser una serie de puntos, así como un sitio completo [...] Dentro de este contexto, la localización es una serie de probabilidades de encontrar un elemento o clase de elementos semejantes en cualquier punto en la superficie de un sitio durante un proceso o etapa particular” (ibíd.: 87, interpretación propia).*

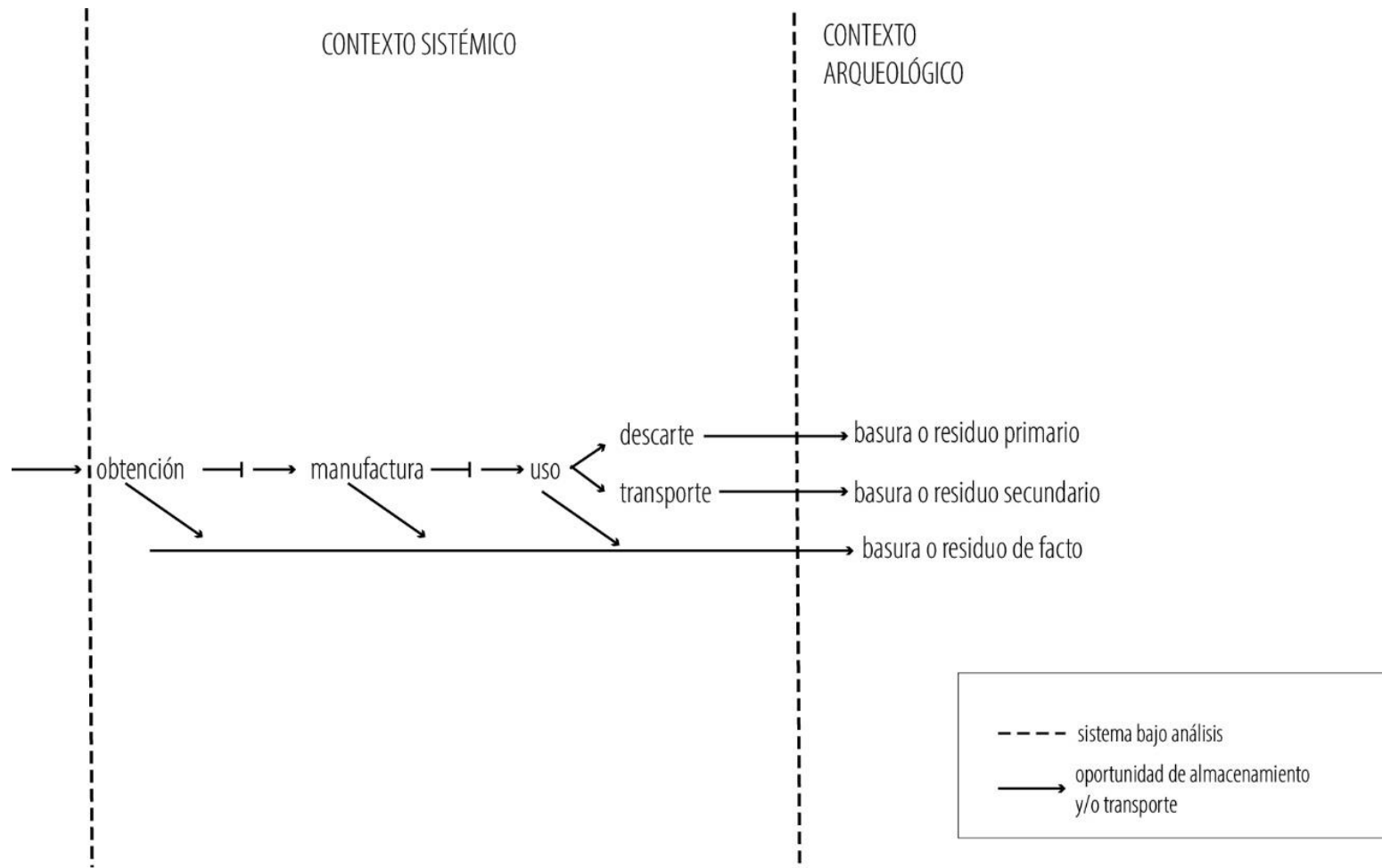
Figura 1. Modelo de flujo para visualizar el ciclo de vida de los elementos duraderos



(Información tomada de Schiffer 1991:85, elaboración propia)



Figura 2. Modelo de flujo para explicar las diferencias entre los desechos primarios, secundarios y de facto



(Información tomada de Schiffer 1991:89, elaboración propia)

Como una forma de relacionar la evidencia material con las teorías sociales, los arqueólogos conductuales elaboraron una teoría de la comunicación humana, la cual se basa en los artefactos y asigna una eficacia causal a los fenómenos materiales y cognitivos. En las teorías convencionales, los investigadores acomodan los artefactos relegándolos a un modo “no verbal”, es decir que los artefactos simplemente modifican y transmiten información verbal. (Schiffer 2008: 916).

Por otro lado, la teoría del comportamiento afirma que los artefactos juegan un papel consecuente en todos los modos de comunicación, que son definidos con referencia a los modos sensoriales humanos.

*“Se reconocen tres conjuntos principales de artefactos: artefactos personales son aquellos combinados con una persona, como tatuajes, ropa y adornos; artefactos situacionales los que residen en un lugar, incluidos elementos portátiles y características arquitectónicas; artefactos de actividad los que participan en una actividad específica, se extraen de artefactos personales y situaciones. Los modos de comunicación se definen con referencia a los modos sensoriales humanos: visual, acústico, táctil y químico [...] Los artefactos funcionan consecuentemente en todos los modos” (Schiffer 2008: 916 traducción propia).*

La teoría de comportamiento requiere que el investigador privilegie el punto de vista del receptor, la persona que, en el curso de un proceso de comunicación situado en una actividad, obtiene información de las actuaciones de otros interactuantes y responde. Las respuestas dependen también de las inferencias del receptor, que se forman a través de conocimientos y relaciones adquiridos principalmente a través de la experiencia, a estas se le llaman “*correlons*”. Estos operan no solo en actuaciones de personas, sino también en las de artefactos (*ibíd.*).

## C. Definición y tipología de basura y residuo.

Como parte de la teoría del comportamiento ya expuesta, Schiffer ha definido que basura o desecho se refiere a la *condición posterior al desecho de un elemento, es decir la condición que ya no participa en un sistema conductual* (Schiffer 1990:85). De acuerdo con lo expuesto, Schiffer ofrece entonces una definición más amplia de lo que es un desecho dentro de un contexto arqueológico (Figura 2):

*“Incluye todos los materiales que se encuentran en un sitio, se encuentran o no en lugares especializados de desecho y sea o no que se hayan desechado intencionalmente por los ocupantes pasados de un sitio. [...] Los elementos que llegan al contexto arqueológico sin que se realicen actividades de desecho se denominan desechos de facto”* (ibíd.:86).

Otra definición es otorgada por Scarborough (1989):

*“Artefactos de mayor tamaño que se encuentran en densidades mayores que las identificadas en otros lugares [...] Las categorías pueden ser desechos líticos (tanto herramientas como desechos), tiestos, huesos y rocas agrietadas por el fuego”* (1989: 414, traducción propia).

Schiffer y La Motta (1999) señalan un modelo general de la vida de una estructura doméstica que da como resultado la deposición de objetos dentro de la estructura. Pueden ocurrir diferentes tipos de procesos de formación cultural y no cultural: 1) habitación, 2) abandono y 3) post-abandono. Durante la fase habitacional sucede el proceso de deposición. Las actividades que comprenden los procesos están relacionadas principalmente con el procesamiento, preparación y consumo de alimentos, dormir, la fabricación y mantenimiento de otros artefactos, el mantenimiento del área de actividad, enculturación y ritual doméstico (Rathje y Schiffer 1982: 46). Estos tipos de depósito pueden ser:

- Depósito primario: Material que se extrajo de su contexto sistémico y colocado en un contexto sellado, como escondite o entierro, también puede ser las que fueron dejadas en el suelo como “ofrenda expuesta” (Lamoureux-St-Hilaire 2018:241 y Schiffer 1972, 1990).

- Residuo primario: los objetos son descartados en su ubicación de uso, ya sea por descarte como basura primaria (Schiffer 1972, 1987, 1990) o por deposición accidental como basura perdida (Schiffer 1996:76-9 en La Motta y Schiffer 1999). La basura primaria debe ser muy pequeña y no es muy común en áreas que se utilizaron intensivamente, ya que se limpiaba con regularidad (Schiffer 1972, 1990).

- Depósito secundario: implica la eliminación de desechos de un área y se desecha en donde no fue utilizada, específicamente en basureros, vertederos, estructura abandonada o cementerio (La Motta y Schiffer 1999; Schiffer 1972). Se encuentran relativamente cerca de su ubicación de descarte original. La basura secundaria debe estar fragmentada pero no en estado de erosión (Lamoureux-St-Hilaire 2018:241).

- Material secundario: a diferencia de la basura, se refiere al material que se dejó *in situ*, pero fue posteriormente perturbado por procesos de formación (Lamoureux-St-Hilaire 2018: 242; La Motta y Schiffer 1999; Schiffer 1972).

- Depósito terciario: la basura terciaria corresponde a los artefactos desechados que fueron llevados de un basurero temporal a un área destinada a ser el basurero final o basurero terciario. El basurero terciario refleja la amplitud de actividades que tuvieron lugar en un área general, pero no específicas de la actividad. Por su naturaleza, estos basureros suelen ser de grandes tamaños y se dificulta la correlación de los materiales que se utilizaron conjuntamente o la organización cronológica. Los artefactos encontrados en un depósito terciario se encuentran, en su mayoría, erosionados y fragmentados. Los desechos terciarios deben encontrarse en masas bastante gruesas, mezcladas con tierra, que pueden estar organizados estratigráficamente o no (Lamoureux-St-Hilaire 2018: 242).

- Descarte provisional: no se descartan los objetos rotos o desgastados *per se*, pero se almacenan con la expectativa para un propósito útil más adelante (Schiffer 1996: 99 en La Motta y Schiffer 1999). Estos no forman parte de la basura por ser un descarte que también fue eliminado del registro sistémico (Lamoureux-St-Hilaire 2018: 241).

En la fase de abandono ocurren cambios tanto en las actividades del hogar como en los patrones de deposición, a medida que la unidad doméstica se prepara para mudarse junto con algunas pertenencias (La Motta y Schiffer 1999:22).

- De facto: artefactos descartados que en traspaso de abandono son fáciles de reemplazar o tienen un corto período de vida, se encuentran, estratigráficamente en el contexto de piso o sobre el piso (La Motta y Schiffer 1999: 24).

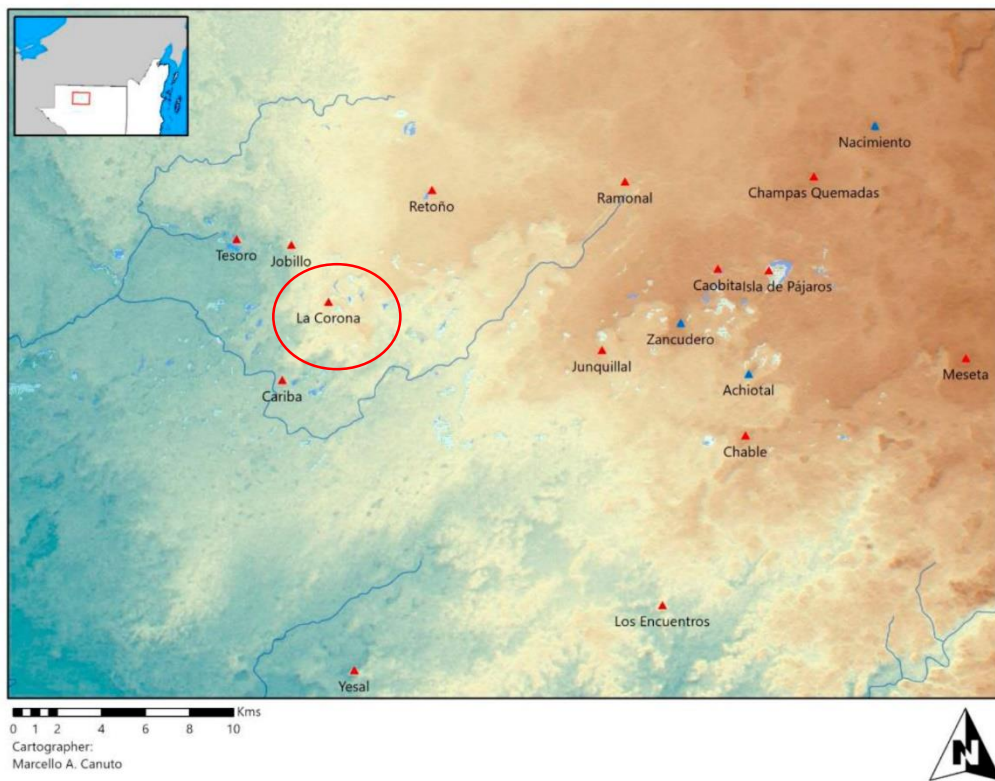
Finalmente, la vida de una estructura no termina con su abandono, muchos procesos de acumulación y agotamiento pueden alterar los conjuntos de viviendas en la etapa posterior al abandono. Por ejemplo, la reutilización de una estructura puede inducir un nuevo conjunto de procesos de depósitos primarios, secundarios y provisionales (Schiffer 1996: 28, 40-4 en La Motta y Schiffer 1999). También, las estructuras abandonadas a menudo se utilizan como vertederos de basura, lo que lleva a acumulaciones de desechos que varían en profundidad, cantidad y contenido de artefactos.

## VII. Antecedentes

### A. Ubicación geográfica

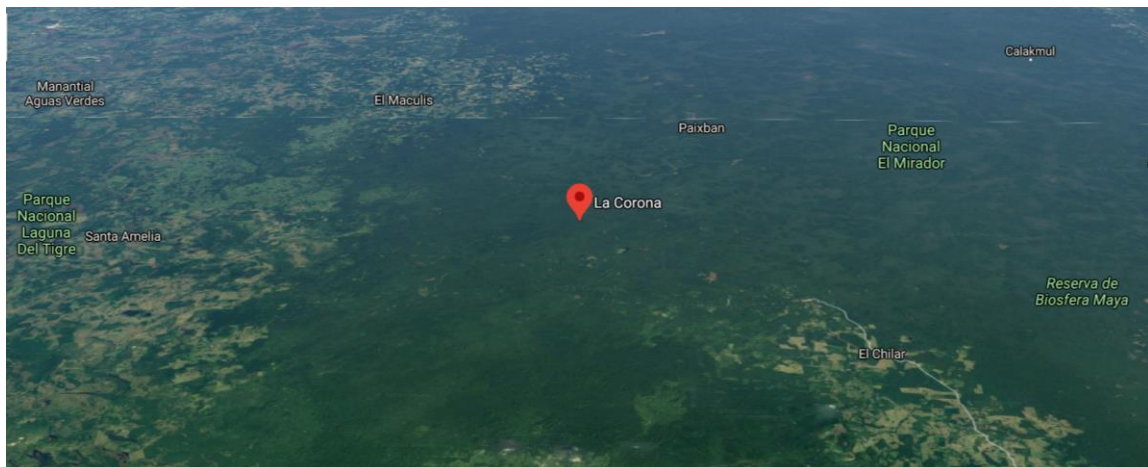
El sitio arqueológico La Corona se localiza al límite de la Altiplanicie Cárstica Central de las Tierras Bajas Centrales, en una zona caracterizada por una cadena de *sibales*. Hacia el oeste se localiza el Parque Nacional Laguna del Tigre, que alberga la reserva de humedales más grande de Centroamérica. Hacia el este, el terreno se eleva continuamente en dirección a la meseta cárstica central de las Tierras Bajas, donde se ubican sitios como Tikal, Uaxactún, Naachtun y El Mirador (Barrientos y Canuto 2019:8). Bajo estas condiciones geográficas se sugiere que La Corona se ubicó estratégicamente en un área que posee las siguientes ventajas: un drenaje suficiente para permitir un asentamiento anual; está rodeado por una cantidad significativa de lagunas estacionales o *sibales*; y controló las rutas fluviales más importantes que conectan las Tierras Bajas Mayas Centrales con la costa del Golfo de México al oeste (Barrientos 2020: 7). La Corona se encuentra en el municipio de San Andrés, dentro de la Unidad de Manejo Especial La Corona, que es parte de la Zona de Usos Múltiples de la Reserva Biosfera Maya. Las esquinas aproximadas del polígono del sitio se encuentran en las siguientes coordenadas: N 17° 49' 04" W 90° 35' 00" (punto noreste); N 17° 49' 07" W 90° 07' 00" (punto noreste); N 17° 25' 00" W 90° 35' 00" (punto suroeste) y N 17° 25' 00" W 90° 07' 00" (punto sureste) (Canuto y Barrientos 2009:2) (Figura 3 y 4).

Figura 3. Mapa con la ubicación del Sitio La Corona



(Mapa por Marcello Canuto. Fuente: Barrientos *et al.* 2019:6).

Figura 4. Ubicación del Sitio La Corona.



(Fuente: Google Maps).

## B. Investigaciones previas en La Corona

### 1. Descubrimiento

A finales de los años ochenta, Carlos Catalán y Luis Morales (chicleros y cazadores peteneros) comunicaron la existencia de un sitio arqueológico localizado en el noroeste del Petén, cerca del campamento “Lo Veremos”. El campamento fue visitado en julio de 1989 por Nikolai Grube y otros investigadores alemanes (Grube, Haase y Sattler 1990 en Barrientos y Canuto 2010: 3), quienes reportaron la presencia de estructuras de gran tamaño y monumentos, así como el saqueo en el sitio. Sin embargo, no publicaron fotografías o un plano del sitio, ni sus monumentos.

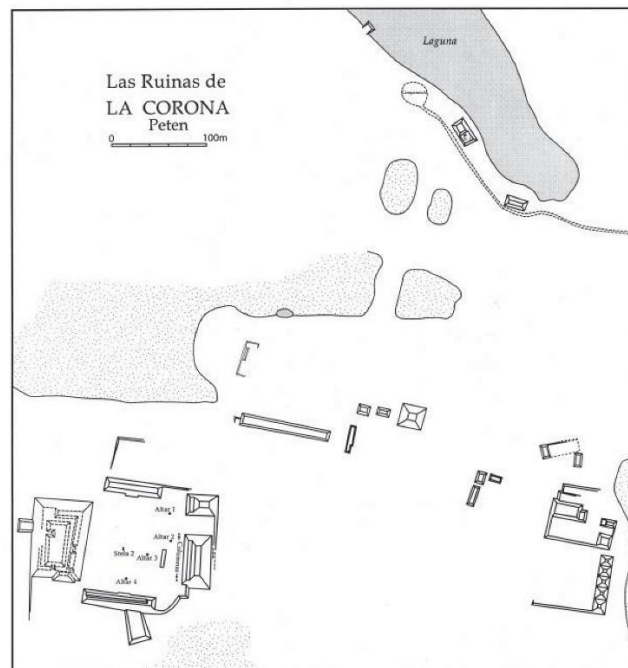
En 1996 un equipo de la *NASA*, conformado por Tom Server y Dan Lee, se valieron del uso de sensores remotos para identificar varios rasgos arquitectónicos monumentales en la región entre *Waka'* y Calakmul. Al mismo tiempo, James Nations, quien trabajaba en *Conservation International* en la búsqueda de nidos de Guacamaya Roja, fue informado acerca de la existencia del sitio cerca de “Lo Veremos” por Santiago Billy y Kelly Reed, quienes lo habían visitado recientemente guiados por Catalán y Morales (Canuto y Barrientos 2009: 13). Más tarde, en ese mismo año, Nations, Sever, Lee y Billy montaron una expedición al sitio, siempre guiados por Catalán y Morales, dónde tomaron fotos de una estela con inscripciones jeroglíficas. Con este descubrimiento, decidieron contactar a Ian Graham y David Stuart, quienes trabajaban para el proyecto *Corpus of Maya Hieroglyphic Inscriptions* del Museo Peabody de la Universidad de Harvard (Nations 2006 en Barrientos 2020).

En mayo de 1997, Graham y Stuart, visitaron el sitio “Lo Veremos” y durante su estadía, Graham hizo el primer mapa-bosquejo del sitio (Figura 5) (Graham 1997, Canuto y Barrientos 2009, Canuto y Barrientos 2013). Su mapa incluyó una plaza central (Grupo A), con dos estructuras piramidales al este y un complejo tipo acrópolis al oeste. Stuart registró los monumentos esculpidos que se encontraban en la plaza, así como otra estela ubicada hacia el norte (Estela 1). Stuart notó que estos monumentos mencionaban al gobernante



“Gran Pavo” y se referían al lugar llamado *Sak Nikte*, por lo que contempló la posibilidad que éste fuera el llamado "Sitio Q". Este era un sitio conocido a través de inscripciones saqueadas, y fue denominado Sitio Q por Peter Mathews en los años sesenta, como la ciudad "perdida" de donde provenían más de 20 esculturas que aparecieron en varios museos y colecciones privadas de Estados Unidos y Europa (Canuto y Barrientos 2013: 1). No obstante, Graham observó que en este nuevo sitio había poca evidencia de saqueo de monumentos y que los que se encontraban eran de diferente estilo, tipo y calidad que los del Sitio Q (Graham 1997, 2002). Como consecuencia, siendo precavidos sobre su relación con el Sitio Q, Graham y Stuart nombraron al nuevo sitio “La Corona”, debido a un complejo arquitectónico de cinco estructuras que se alineaban de forma semejante a una corona de cinco puntas (Barrientos y Canuto 2009).

Figura 5. Primer mapa-bosquejo del sitio arqueológico La Corona realizado por Graham y Stuart



(Fuente: Canuto y Barrientos 2009:14)

En 2005 se organizó una expedición formal al sitio La Corona, esta fue por parte del Proyecto El Perú-*Waka'*, dirigido por David Freidel y Héctor Escobedo (Canuto, *et al.*

2006: 455). La finalidad de la expedición era comprobar la correlación entre La Corona y el Sitio Q propuesta por Stuart, la cual se confirmó mediante el descubrimiento fortuito del Panel 1 (Barrientos y Canuto 2010: 4).

## 2. Investigaciones PRALC.

En 2008 se llevó a cabo la primera temporada del Proyecto Regional Arqueológico La Corona (PRALC), dirigida por el Dr. Marcello Canuto de la Universidad de Tulane y el Dr. Tomás Barrientos de la Universidad del Valle de Guatemala. Este proyecto ha tenido un alcance regional, enfocado en la investigación de la región noroccidental del Petén (Canuto y Barrientos 2009), específicamente en el sitio La Corona. A partir de las temporadas de campo de 2008 y 2009, se tomó la iniciativa de realizar temporadas de campo más intensivas, con objetivos específicos y a largo plazo, los cuales se han enfocado en la cronología y organización sociopolítica del sitio y la región, a través de actividades de mapeo, excavaciones y diferentes análisis de materiales (Canuto y Barrientos 2019).

Marcello Canuto, Damien Marken, Rodrigo Guzmán y Carlos Chiriboga fueron los encargados de llevar a cabo los trabajos iniciales de mapeo en el área; dichos estudios confirmaron que el asentamiento en esta zona del noroccidente de Petén presentaba un patrón disperso y poco denso, incluso cerca de La Corona. Durante los primeros cinco años del proyecto se registraron 40 sitios nuevos en la zona (Guzmán 2011; Chiriboga 2011, 2012, 2013). Posteriormente, surgieron nuevos recursos tecnológicos que fueron implementados en la arqueología, especialmente la tecnología LiDAR (*Light Detection and Ranging*).

En 2016, la Fundación PACUNAM patrocinó una serie de sobrevuelos sobre la RBM, para aplicar la tecnología LiDAR, este proyecto incluyó el área entre La Corona y El Achiotal, por lo que ahora se cuenta con un registro muy completo de la zona. La percepción del asentamiento en La Corona mejoró significativamente luego del registro LiDAR. Sin embargo, la naturaleza dispersa y poco densa del asentamiento no cambió

significativamente con los nuevos datos, solamente la extensión del mismo (Barrientos y Canuto 2019: 5-7).

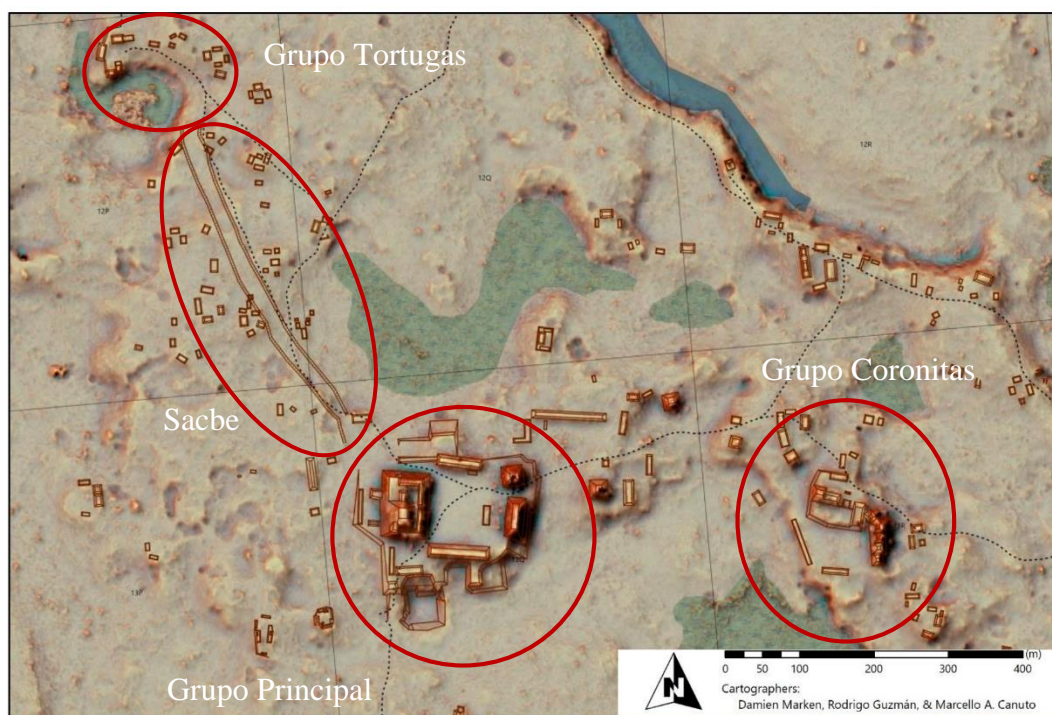
Las investigaciones realizadas en La Corona también han incluido estudios de tipo cerámico, lítico, paleobotánico y bioarqueológico, así como fechamientos de radiocarbono, con la finalidad de un mayor entendimiento de cómo funcionaba el sitio desde su inicio hasta el abandono. Gracias a los datos recolectados se ha podido reconstruir la historia de La Corona y sitios aledaños (Barrientos y Canuto 2018: 29).

El sitio La Corona, además de ser un centro pequeño, se localizó en uno de los sectores con la población más dispersa de las Tierras Bajas Mayas. Su arquitectura no fue algo sobresaliente, a tal grado que sus templos no superan los 12 m de alto. La mayoría de los edificios principales carecen de recintos de bóveda y muchas de las fachadas fueron construidas con bloques rústicos de piedra caliza cubierto con estuco (*ibíd.*).

La Corona alcanzó su máxima extensión para el siglo VIII d.C., cuando su epicentro abarcó un área de 1.5 km<sup>2</sup>, rodeado por varios grupos residenciales concentrados mayormente en los sectores este y norte del sitio. De estos grupos, destaca el Grupo Tortugas, ubicado en el extremo norte de la calzada que inicia desde la esquina noroeste del Palacio, así como varios grupos residenciales que también se ubican a ambos lados de la calzada. En total, La Corona presenta una densidad aproximada de 125 estructuras por km<sup>2</sup>, lo cual es menor a otros sitios mayores cercanos, como El Perú/*Waka'*. En cuanto a su periferia, La Corona cuenta solamente con 36 estructuras por km<sup>2</sup>. Con estos datos se ha calculado que en este momento La Corona pudo albergar unos 3,000 habitantes y tomando en cuenta sus alrededores pudo llegar a una población total entre los 5,000 y 8,000 habitantes (Canuto y Barrientos 2019: 406).

En cuanto a su arquitectura, La Corona cuenta con dos complejos principales (Plaza Principal y Coronitas) y varios conjuntos residenciales (Figura 6):

Figura 6. Mapa actualizado del sitio La Corona



(Mapa por Canuto *et al.* Fuente: Barrientos *et al.* 2019: 10).

a. Plaza principal:

Está ubicada en la parte más elevada del sitio, justo entre los sibaes Pato y Colmoyote. Se encuentra delimitada en su lado este por dos estructuras piramidales (13Q-1 y 13Q-2). La Estructura 13Q-1 está conformada por tres cuerpos y albergó el Entierro 19, una tumba real (Álvarez 2015). La Estructura 13Q-2 es uno de los edificios más grandes y altos de la Plaza Principal y destacan las investigaciones de Erika Gómez (2015, 2016), quien descubrió el Entierro 18, otra tumba de gobernante. Ubicado en el lado oeste, el complejo palaciego tipo acrópolis (13Q-4) es la construcción más grande del sitio, con 15 estructuras que se asientan en la cima de su plataforma. La plaza se delimita al sur y norte por dos estructuras largas (13Q-3 y 13Q-5) y al sur de la Estructura 13Q-3 se encuentra una aguada artificial de forma cuadrangular, que sirvió como fuente de agua exclusiva para los habitantes de Palacio.

b. Grupo Coronitas:

Se localiza aproximadamente a 600 m al este de la Plaza Principal. Cuenta con un patio abierto, delimitado al norte por el Grupo Coronitas Norte, al este por el Grupo Coronitas Este, al sur por la Estructura 13R-21 y al oeste por la Estructura 13R-6. Las últimas dos estructuras corresponden a plataformas bajas y alargadas (Cajas 2013, Ponce 2013).

c. Grupo Coronitas-Este:

Está formado por cinco templos construidos de forma alineada norte-sur que ven hacia el oeste (Estructuras 13R-1, 13R-2, 13R-3, 13R-4 y 13R-5), los cuales albergaron tumbas de gobernantes y funcionaron como santuarios de dioses patronos del sitio (Baron 2012). La Estructura 13R-45 fue investigada principalmente por Antonieta Cajas y Alejandro González, en cuyo interior se descubrió el Altar 5 (González y Cajas 2018).

d. Grupo Coronitas-Norte:

Consiste en varios edificios construidos sobre una plataforma ubicada al noroeste del Grupo Coronitas-Este. Sus principales estructuras son: Un pequeño templo (Estructura 13R-9) y una estructura larga adosada a su lado este (Estructura 13R-10), así como la Estructura 13R-7, que sirve de división entre los grupos Coronitas-Norte y Coronitas-Este. La Estructura 13R-9 es un edificio piramidal cuya base mide 20 x 20 m y se eleva a una altura aproximada de 4 m desde la Plaza. Las investigaciones llevadas a cabo por Mary Jane Acuña (2007, 2009), Erika Gómez (2010) y Antonieta Cajas (2012, 2013) identificaron actividades rituales en la forma de un escondite colocado como ofrenda dedicatoria en su superestructura y un gran depósito cerámico colocado bajo su basamento, previo a la construcción del edificio. La Estructura 13R-10 consiste en una plataforma de dos cuerpos que mide 29 m de largo en su eje EO y 20 m de NS, con una altura de 2.7 m. La estructura fue investigada inicialmente por Enrique Fernández (2011), quien descubrió un importante basurero en su parte superior y dentro de un chultún de 2.50 m de profundidad. La construcción de la Estructura 13R-10 se dividió en cuatro etapas (Ponce 2013, 2014a, 2014b, 2015; Ponce y Cajas 2013; Ponce y Nájera 2012) que representan la cronología más larga en todo el sitio (350-850 d.C.). Su fachada contó con dos escalinatas jeroglíficas (Conjunto A y Escalinata Jeroglífica 2), así como el Panel 6.

e. Grupos Residenciales:

Los grupos, patios y estructuras residenciales que se han investigado en La Corona se encuentran dispersos por todo el sitio y varían en su tamaño y forma. Destaca el Grupo 14S-1, conocido como “Caballito”, en el extremo sureste (Pontaza 2012; Pontaza y González 2013; Cagnato 2012 y Ponce 2020) y el Grupo Tortugas, también conocido como Grupo Gavilán o Grupo 13\_AR26\_10, localizado al extremo norte (Guzmán 2011, López 2018b, Escalante 2020; López y Escalante 2019). Otros grupos investigados son los grupos 13S-1 (Gómez 2010b, Cagnato 2013) y 13S-2 (Bustamante 2011), ambos ubicados en el área del campamento, Grupo 13R-12 (Ponce 2011), Grupo 12Q-1 (Rojas 2011), Grupo 13P-1 (Pontaza 2011), Grupo 13P-5 (Guzmán 2012), Grupo 13R-1 (Roche 2015a), Estructura 12R-9 (Roche 2015b) y el Grupo 13\_AR26\_07 (López 2018b).

f. Calzada (Estructura 12P-1):

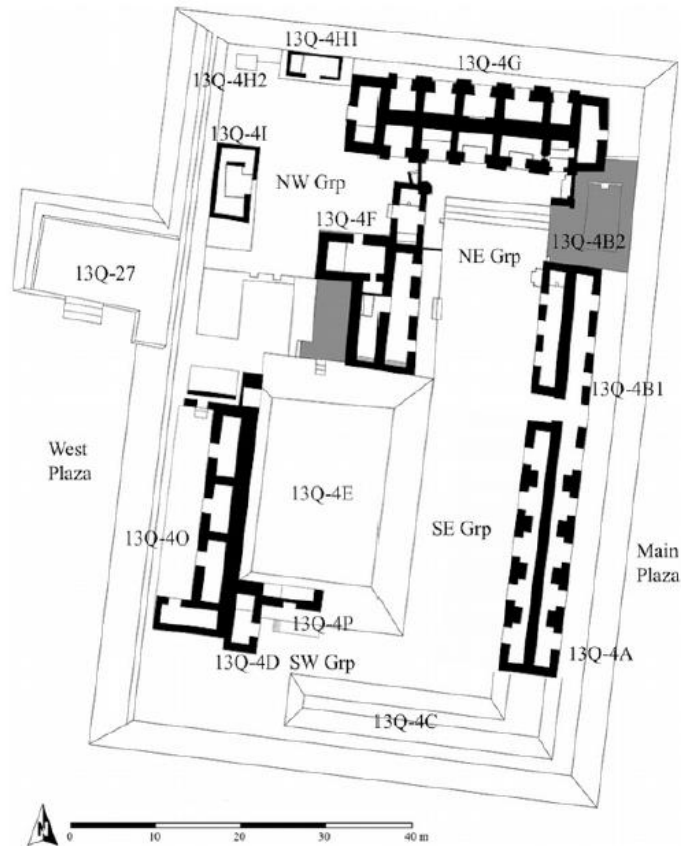
Es la única calzada identificada en el sitio y sirvió para conectar el Palacio de La Corona y el Grupo Tortugas (López 2018b).

g. El Palacio (Estructura 13Q-4)

El Palacio de La Corona se encuentra localizado en el límite oeste de su Plaza Principal y cuenta con varios grupos de estructuras ubicadas sobre una plataforma elevada que abarca aproximadamente 80 x 55 m y posee una altura de 7 m (Figura 7). Presenta una plataforma central alta (Estructura 14Q-4E), con cuatro distintos grupos localizados su alrededor. El Grupo Noreste, el cual es el más grande, consiste en un patio hundido rodeado en tres de sus lados por estructuras alargadas con múltiples cuartos, incluyendo la residencia del gobernante. La entrada principal al Palacio se encuentra localizada entre los grupos Sureste y Noreste. El Grupo Noroeste consiste en una sección de dos estructuras de mampostería abovedada y tres estructuras pederas, donde se realizaban las actividades de servicio. Frente a la fachada oeste del Palacio se encuentra un pequeño grupo de plaza que se adhiere al oeste del basamento, llamado “Grupo Posterior”. Este grupo se encuentra conformado por un pequeño montículo (Estructura 13Q-25), una estructura alargada (Estructura 13Q-26) y una plataforma adosada al extremo oeste de la acrópolis (Estructura 13Q-27) que provee acceso al Grupo Noroeste (Lamoureux-St-Hilaire 2017: 38). Es precisamente aquí

donde se ha identificado un área de desechos proveniente del Grupo Noroeste del Palacio, que contiene material de distintas fases.

Figura 7. Palacio del sitio La Corona (Estructura 13Q-4).



(Fuente: Lamoureux-St-Hilaire 2018b: 94).

A continuación, se describen las estructuras más importantes del complejo palaciego de La Corona:

#### 1) Estructura 13Q-4A:

Está ubicada en la fachada sureste del Palacio. Las investigaciones de Liliana Padilla (2010, 2011) y Roche (2011), permitieron identificar cinco puertas en cada una de sus dos fachadas. Cada lado posee una cámara larga en su interior, de estilo galería, sin divisiones y con un muro continuo que se separó ambos lados. Por su forma y función corresponde al tipo de edificios que se han llamado “palacios de pasaje”.

2) Estructura 13Q-4B1:

Se ubica en la fachada noreste del Palacio como extensión de la Estructura 13Q-4A. Se trataba de un edificio abovedado construido con mampostería. Las investigaciones realizadas (Lamoureux-St-Hilaire y Morales 2016; Lamoureux-St-Hilaire 2017) permitieron identificar tres puertas en los lados este y oeste, las cuales daban acceso a una cámara larga tipo galería en cada lado, dividida por un muro continuo.

3) Estructura 13Q-4B2:

Se ubicada al lado norte de la Estructura 13Q-4B1, es una pequeña plataforma con una banca exterior, en cuyo respaldo se descubrieron los elementos 55 y 56 (Lamoureux-St-Hilaire y Morales 2016).

4) Estructura 13Q-4E:

Es la más alta del complejo palaciego, se encuentra sobre una plataforma de tres cuerpos que se eleva 11 m desde la plaza y cuya escalinata de acceso se encuentra en el Patio Sureste. Excavaciones llevadas a cabo por Borislava Simova, Eduardo Bustamante y Antonieta Cajas (2018) definieron la arquitectura, en la forma de muros que midieron menos de 1 m de alto.

5) Patio Noreste:

Consiste en un patio semi-hundido y está delimitado al norte por la Estructura 13Q-4G, al oeste por la Estructura 13Q-4F y al este por las estructuras 13Q-4B1 y 13Q-4B2. Fue el área más importante del Palacio, ya que posee los edificios con mayor calidad constructiva. Las estructuras 13Q-4F y 13Q-4G se colocaron sobre una plataforma elevada y la escalinata de acceso de esta última contuvo varios bloques con inscripciones (Escalinata Jeroglífica 2), pero fue destruida por actividades de saqueo (Lamoureux-St-Hilaire y Morales 2016: 82).

6) Estructura 13Q-4F:

Fue investigada por Maxime Lamoureux-St-Hilaire (2014, 2015, 2016, 2017) y ha sido interpretada como la residencia del gobernante. Es un edificio grande en forma de “T”, con techo abovedado, compuesto por cuatro cuartos. La fachada este cuenta con cuatro puertas,



de las cuales una da acceso a la Cámara 1, la cual cuenta con dos bancas una frente a la otra y fue el único acceso que conectó el Patio Noreste con el Patio Oeste. Posee otras tres puertas que dan acceso a la Cámara 2, que sirvió como audiencia para la Cámara 3, cuya banca con respaldo pudo funcionar como trono. La Cámara 4 es el cuarto posterior, posee una banca y su acceso fue a través del Patio Oeste. La Cámara 5 funcionó como alacena y se ubica entre los cuartos 3 y 4. En varios de sus cuartos, específicamente en las puertas de acceso, se encontraron sujeta-cortinas *in situ* hechos con cuellos de cántaros cerámicos, así como un pequeño panel jeroglífico (Elemento 62) en la jamba norte de la puerta de acceso al cuarto de trono.

#### 7) Estructura 13Q-4G:

Esta estructura mide 34 m de largo y 8 m de ancho, por lo cual es la estructura de mayor tamaño en el complejo palaciego. Las excavaciones realizadas (Coronado 2009; Lamoureux-St-Hilaire 2017; Lamoureux-St-Hilaire y Morales 2016; Morales 2018a) expusieron dos cámaras en sus lados este y oeste, que delimitan una fila doble de cinco cámaras. Su cuarto central sur (Cámara 4) cuenta con una banca y posiblemente fue utilizado como el salón del trono principal, ya que en su respaldo se descubrió un panel con el retrato del gobernante *Chak Nahb Chan* (Elemento 59).

#### 8) Grupo Noroeste:

Se conforma por el Patio Noroeste, Patio Oeste y Patio Hundido, los cuales se definen como espacios entre las estructuras 13Q-4H1 y 13Q-4H2 al norte; las estructuras 13Q-4I y 13Q-27 al oeste; la Estructura 13Q-F al este y la Estructura 13Q-4M al sur. Las investigaciones en el área que incluyeron un análisis geoquímico para identificar las diferentes áreas de actividad, por lo que se determinó que esta área puede considerarse el área de servicio del Palacio (Lamoureux-St-Hilaire 2018).

#### 9) Estructura 13Q-4O:

Es un edificio alargado que forma la fachada principal del complejo palaciego en la parte suroeste. Al norte colinda con la Estructura 13Q-4M y al sur con las estructuras 13Q-4D y 13Q-P. Las investigaciones realizadas por Eduardo Bustamante (2015b, 2016b, 2017b, 2018) revelaron que la estructura contó con un techo abovedado. Poseía una versión

anterior llamada Estructura 13Q-4O-Sub1 o “Coral”, la cual se caracteriza porque una de sus cámaras contiene pinturas en todos sus muros y banca. El diseño es bastante singular, ya que contiene diseños geométricos, líneas y círculos de color verde sobre fondo rojo.

#### 10) Estructura 13Q-27:

Es una plataforma adosada a la parte media de la fachada oeste del basamento del Palacio, la cual proveía acceso al Grupo Noroeste, especialmente al Patio Hundido. Las investigaciones realizadas (Lamoureux-St-Hilaire 2017, Morales 2018) identificaron una concentración de artefactos ubicada directamente al norte de esta estructura y al oeste del muro del primer cuerpo del basamento del Palacio. Se ha interpretado que estos objetos son el desecho de las actividades realizadas en el Grupo Noroeste.

#### 11) Palacio Cocochan:

El Palacio de La Corona posee una segunda fase arquitectónica a la cual se le denomina “Cocochan”, la cual fue construida alrededor de 400 d.C. y clausurada cuando fue totalmente cubierta por la plataforma denominada “Colibrí”, alrededor del 500 d.C. Las excavaciones de Liliana Padilla (2010, 2011) identificaron dos estructuras de esta fase mediante la excavación de un túnel. Posteriormente, Eduardo Bustamante (2013, 2014, 2015a, 2016a, 2017a) realizó más de 200 m lineales de túneles que permitieron reconstruir toda la mitad sur del Palacio durante esa fase. También se tomaron muestras de carbón en estos contextos que permitieron obtener fechas absolutas para esta fase (Barrientos *et al.* 2018). El Palacio “Cocochan” se construyó sobre una plataforma que se elevó 4 m desde el nivel de plaza y, hasta el momento, han sido identificadas 6 estructuras, las cuales están distribuidas en dos grupos de patio: Plaza Cocochan y Plaza Cocochan Noroeste (Bustamante 2013, 2014, 2015a, 2016a, 2017a).

- Plaza Cocochan: Delimitada en su lado sur por la Estructura *Ayiin* (13Q-4A-Sub1), la cual sirvió como “Palacio de pasaje”, que daba acceso desde la Plaza Principal. Al norte, se encuentra la Estructura *Wo* (13Q-4E-Sub2), que contaba con tres puertas de acceso que conducen a dos cámaras, una de las cuales contaba con una banca con nicho y funcionó como trono. La Estructura *Ahk* (13Q-4E-Sub1) se ubica al oeste y su fachada contaba con dos puertas de acceso que conducen a dos cámaras. El exterior fue pintado de

rojo y por su tamaño se considera que funcionó como residencia del gobernante o para actividades administrativas. La Estructura *Iguana* (13Q-4C-Sub1), que delimita al patio en su lado sur, tiene forma alargada y sus muros sostuvieron paredes y techos percederos (Padilla y Roche 2012; Bustamante 2013, 2014; Bustamante 2015:45).

- Plaza Cocochan Noroeste: Se agregó luego de la Plaza Cocochan, ya que fueron modificadas las estructuras *Ahk* y *Wo*, formando un nuevo patio cerrado. Este fue delimitado al sur por la fachada norte de la Estructura *Ahk*; al este por la fachada oeste de la Estructura *Wo*, a la cual se le agregó una nueva escalinata de acceso; al oeste por la Estructura 13Q-4E-Sub5; y al norte por la Estructura 13Q-4E-Sub4. Es posible que estas modificaciones y adiciones tuvieran como objetivo trasladar la residencia del gobernante al nuevo grupo en el Noroeste, a manera de ser más privado. Esto puede significar una versión previa de la Estructura 13Q-4F, la cual tuvo funciones residenciales en etapas posteriores (Bustamante 2013, 2014, 2015a, 2016a, 2017a).

### 3. Excavaciones en el área de desechos del Palacio.

Las primeras investigaciones realizadas en esta parte del Palacio fueron durante la Temporada 2016 por Maxime Lamoureux St-Hilaire (2017) y continuaron en 2017 por Rubén Morales (2018). Esta sección corresponde a la conjunción de las estructuras 13Q-4 (Palacio) y 13Q-27, la cual se había identificado como un área probable para identificar desechos provenientes del Palacio. El área original dónde se buscó identificar los basureros se localizaba directamente al norte de la Estructura 13Q-27, por lo que se trazó una trinchera de 1 x 9 m (Unidad CR22-1) Por medio de esta trinchera se pudo confirmar la presencia de un amplio basurero, nombrado Basurero 1. Este material fue clasificado como un contexto terciario y datado ca. 750-800 d.C. Se encontró un piso de estuco bajo este basurero, que cubrió otro basurero terciario más temprano (Lamoureux-St-Hilaire 2018: 483).

Luego se realizó una trinchera de 1 x 7 m (Unidad CR22-2), la cual fue excavada perpendicularmente a la Unidad CR22-1, con el objetivo de exponer la superficie de la Estructura 13Q-27. Esta unidad reveló un cuarto basurero, nombrado Basurero 3, el cual se

encontró mezclado con derrumbe arquitectónico proveniente del Palacio. Se interpretó que este material proviene de un contexto terciario que debió provenir desde el Grupo Noroeste del Palacio, y cuya fecha se calculó entre 800 y 850 d.C. (*ibíd.*).

En 2017 Morales, reabrió la Unidad CR22-1 y realizó tres unidades más. La Unidad CR22-3, de 2 x 1 m, se ubicó al norte de la Estructura 13Q-27, orientada norte-sur; la Unidad CR22-4 fue una trinchera de 2.2 x 0.6 m orientada este-oeste; y la Unidad CR22-5 de 2 x 2 m en el extremo este de la Unidad CR22-4 (Morales 2018: 128). Por medio de estas excavaciones se identificó un nuevo nivel en el Basurero 1, definiendo así que tuvo tres etapas. Posteriormente, a las etapas correspondientes al período Clásico Tardío Terminal se les denominó “Basurero Tardío (1C) y “Basurero Medio (1B), mientras que a la etapa que perteneció solamente al Clásico Tardío se le denominó “Basurero Temprano (1A) (González 2020: 60).

#### 4. Cronología de La Corona.

La cronología ha sido designada mediante datos epigráficos, análisis cerámico y fechas de radiocarbono obtenidas del sitio La Corona, las cuales han permitido relacionarse con otros patrones cronológicos generales de las Tierras Bajas Centrales durante el período Clásico (Barrientos y Canuto 2019:12).

##### a. Historia política.

La evidencia epigráfica de los monumentos e inscripciones son la base principal para reconstruir la historia política de La Corona y su región circundante. Hasta el momento se conocen 18 esculturas individuales y completas en La Corona, divididas por: tres estelas (una lisa); seis altares (uno liso); seis paneles (tres de ellos se componen de dos partes); y tres columnas (Barrientos 2020:82). Se han identificado tres escalinatas jeroglíficas y se estima que existieron, por lo menos, otras dos escalinatas y otros cuatro pares de paneles. Otros fragmentos indican la presencia de un dintel y tres estelas o altares más (*Ibíd.*).

La mayoría de las esculturas no cuentan con un contexto arqueológico claro, ya que muchas de ellas fueron saqueadas recientemente o movilizadas por los mayas antiguos. Esto ha dificultado asignar una serie consistente de números que abarque las esculturas completas y los bloques y fragmentos aislados. Debido a esta problemática se ha usado el término "Elemento" para poder sistematizar la numeración de las esculturas que no tienen una proveniencia o función establecida (*Ibíd.*).

En cuanto al nombre antiguo de lugar para La Corona, es conocido como *Saknikte'* o *Saknichte'*, el cual significa "Flor Blanca" o "Plumería Blanca" (Stuart *et al.* 2014). Este término se ha encontrado en forma glífica como toponímico, pero no fue usado como glifo emblema (Barrientos y Canuto 2009: 12). Esta fue la razón por la cual los gobernantes de La Corona nunca asumieron el título de *K'ujul Ajaw* ("señor sagrado"). Además, La Corona funcionó como una extensión de la dinastía *Kaanul* e incluso como una especie de colonia, gracias a los lazos matrimoniales con gobernantes de dicha dinastía. Por ende, sus reyes no necesitaron identificarse como parte de un reino independiente (*Ibíd.*: 13). Otra razón por la ausencia del glifo emblema en La Corona es que sus gobernantes usaron un título alternativo: *Sak Wahyis*. La distribución regional de los títulos *Sak Wahyis* puede indicar un modo de organización política desarrollado por el estado hegemónico *Kaanul*, el cual permitió una identidad política propia (Stuart *et al.* 2019: 60).

Figura 8. Dibujo del término locativo *Sak Nikte'*



(Dibujo por S. Guenter. Fuente: Canuto y Barrientos 2009: 12).

La ocupación más antigua en La Corona corresponde a los inicios del Clásico Temprano (Barrientos y Canuto 2019). Esta primera ocupación corresponde al siglo IV d.C., lo cual coincide con la fecha de posible fundación dinástica que se menciona en el Panel 1 (Stuart *et al.* 2014). La inscripción indica que el 9 de octubre de 314 d.C. una persona llamada *Aneel Tahn K'inich* llegó a un lugar llamado *Lajuuna'* (once aguas), el cual se puede interpretar como su lugar de origen u otra ubicación que no es La Corona (Barrientos y Canuto 2018:14). Por el momento, no hay datos epigráficos relativos a los gobernantes de La Corona durante el siglo V d.C.

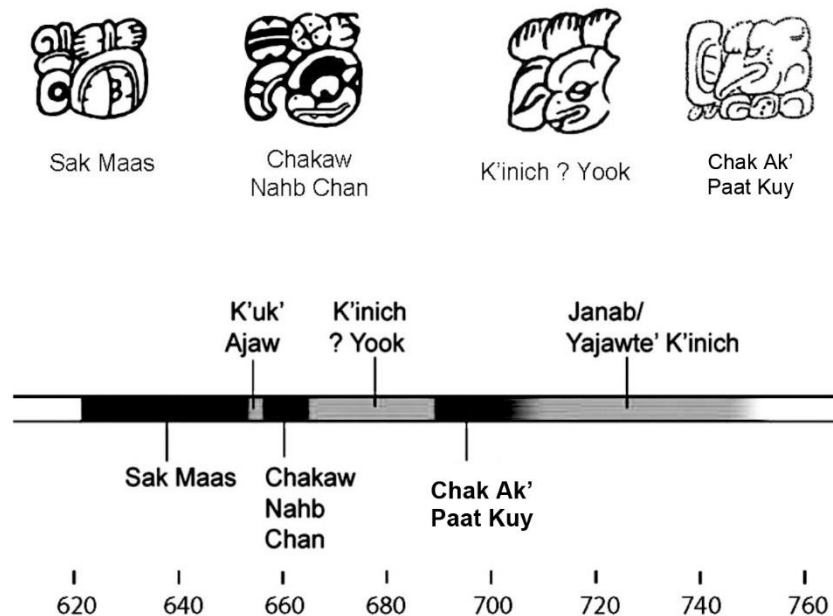
El Panel 6 contiene la segunda fecha más temprana para La Corona; este evento corresponde a la llegada de una mujer el 3 de febrero de 520 d.C., cuyo nombre no ha podido leerse por completo, pero se le conoce como Señora ¿? *Naah Ek'* (Freidel y Guenter 2003 y Martin 2008). Esta mujer viajó desde Dizbanché, para contraer matrimonio con el gobernante local de La Corona conocido como “Buitre *Winik*” (Barrientos y Canuto 2019). En este momento, Dizbanché era la sede dinástica *Kaanul*, bajo el reinado del gobernante *Tuun K'ab Hix* (Stuart *et al.* 2014), por lo que se ha determinado que desde este momento La Corona empezó a funcionar como un punto estratégico para la expansión política de los *Kaanul*. Esta alianza política estratégica se refleja en la arquitectura del Palacio de La Corona, donde se construyó una plataforma de características monumentales (fases Colibrí y Halcón 1) (Barrientos y Canuto 2019: 22).

El Altar 5, fechado para 544 d.C., retrata al gobernante *Chak Tok Ich'aak*, posible hijo de “Buitre *Winik*” y nieto de *Tuun K'ab Hix*. Dado que este gobernante es mencionado varios años después en la Estela 44 de El Perú-*Waka'*, pudo ser originario de La Corona y luego fue “promovido” a gobernante de El Perú-*Waka'*; o también es posible que haya fungido como gobernante de ambos centros, utilizando diferentes títulos en cada ciudad (Stuart *et. al* 2019:72).

El siguiente gobernante conocido es *Sak Maas*, quien, de acuerdo con el Panel 2, tomó posesión del trono el 30 de septiembre de 625 d.C. Su reinado es el punto de inicio de la “Era Dorada” de La Corona, caracterizado por una gran cantidad de esculturas con

inscripciones. Este mismo panel registra su muerte el 12 de febrero de 655 d.C., en donde se refiere como *i cham ti ye tuun* ("entonces el muere por la punta de piedra"), por lo que es posible que haya sido asesinado por su sucesor, *K'uk' Ajaw* (*Ibíd.*). El gobernante *K'uk' Ajaw* ("Señor Quetzal") asumió al trono el 5 de marzo de 656 d.C., un año después de la muerte de *Sak Maas*. El Panel 2 también menciona su muerte dos años después, la cual sucedió de la misma manera que la de su antecesor (Barrientos y Canuto 2019:397).

Figura 9. Secuencia dinástica de La Corona durante la "Era Dorada"



(Gráfica por J. Baron. Fuente: Barrientos y Canuto 2019:13)

El mismo día de la muerte de *K'uk' Ajaw* se nombró al nuevo gobernante *Chakaw Nahb Chan*, hijo de *Sak Maas*, por lo que se puede considerar una venganza por la muerte de su padre y el restablecimiento de la línea dinástica. Mucho antes de llegar a ser rey, se casó con la Señora *Chak Tok Chahk*, quien pudo ser de origen local. Tuvieron dos hijos: *K'inich ? Yook*, nacido en 645 d.C. y *Chak Ak' Pat Kuy*, nacido en 660 d.C. El Panel 1 relata que en 664 d.C. *Chakaw Nahb Chan* envió a su hijo mayor a Calakmul (Houston y Stuart 2001: 67; Martin 2001: 183; en Barrientos 2020), quien regresó a La Corona por la muerte de su madre (Barrientos y Canuto 2019).

*K'inich ? Yook*, es considerado el gobernante más importante en la historia de La Corona, por heredar un reino políticamente estable, y por ser uno de los aliados más cercanos y estratégicos de la dinastía *Kaanul*. Asumió el trono de forma temporal el 20 de septiembre de 667 d.C. y viajó nuevamente a Calakmul en 673 d.C., cuando fue recibido por *Yuknoom Ch'een*. El 22 de septiembre de 675 d.C. *K'inich ? Yook* tomó posesión nuevamente del trono de La Corona, solo que ahora fue legitimado por la supervisión de *Yuknoom Ch'een*. En 679 d.C., se casó con la hija de *Yuknoom Ch'een*, cuyo nombre es desconocido, pero se refiere como una “Señora *Kaanul Ajaw*”. Su reino finalizó alrededor de 689 d.C. (Baron 2013; Barrientos y Canuto 2018).

*Chak Ak' Pat Kuy*, hermano menor de *K'inich ? Yook*, asumió el trono de La Corona el 8 de septiembre de 689 d.C. Él, como su hermano, viajó a Calakmul en 688 d.C., donde realizó varios eventos registrados en la inscripción del Elemento 56. Su gobierno se extendió hasta el inicio del siglo VII d.C. (Barrientos y Canuto 2018).

*K'ahk' Way Na'*, quien es mencionado en el año 715 d.C., no parece haber sido un gobernante de La Corona, sino un individuo que porta el título *ajk'uhuun* y se menciona como *anab* (súbdito) del gobernante de Calakmul (Stuart *et al.* 2015). Durante esta época también sucedió el enterramiento de una mujer importante que pudo ser una reina de La Corona. Esta tumba fue descubierta en el interior de la Estructura 13R-10 y como parte de su ajuar funerario se encontró una espina de raya incisa, donde se encuentra su nombre: *K'uk Ix Yax ¿? K'ik'*. Las interpretaciones sugieren que esta mujer pudo haber sido esposa de *Chak Ak' Pat Kuy*, u otra mujer que gobernó a inicios del siglo VII d.C., cuando no hay registro de algún rey en La Corona (Ponce y Najera 2012; Ponce y Cajas 2013).

Un bloque de la escalinata jeroglífica conocida como “Conjunto A” (Elemento 22) registra el nacimiento de un individuo llamado *Janaab* o *Jaliib*, quién fue el hijo de *K'inich ? Yook* y la señora *Kaanul Ajaw*. Se considera que este personaje cambió su nombre a *Yajawte' K'inich* cuando asumió el trono de La Corona, en la primera o segunda década del siglo VII d.C. Posteriormente, el Panel 6 relata la llegada de una tercera mujer de la



dinastía *Kaanul* a La Corona el 27 de abril de 721 d.C., quien contrajo matrimonio con *Yajawte' K'inich I Janaab*. Un altar del sitio cercano La Cariba registra una fecha de fin de período y su inscripción puede incluir el nombre de *Yajawte' K'inich*. Esto significaría que su reinado llegó hasta mediados del siglo VIII d.C., cuando La Corona se convirtió en una verdadera capital regional (Stuart *et al.* 2014).

Luego del gobierno de *Yajawte' K'inich I Janaab* el registro histórico de La Corona se vuelve muy intermitente e irregular por la falta de inscripciones con fechas legibles. Arqueológicamente, esta época corresponde a un crecimiento significativo en la monumentalidad de la arquitectura, reflejado en el Palacio (Fase Halcón II) y los templos de la Plaza Principal (*Ibid.*). Alrededor de 750 d.C., las escalinatas jeroglíficas y paneles de La Corona fueron desmantelados y recolocados en distintos lugares, especialmente en el Patio Noreste del palacio y en la Estructura 13R-10 del Grupo Coronitas-Norte. Este evento de *spolia* coincide con el rompimiento de la hegemonía de la dinastía *Kaanul*, lo que sugiere un posible cambio en la élite gobernante del sitio, seguido por un proceso de independencia política. Asimismo, el descubrimiento de los entierros 19 y 18 en los templos 13Q-1 y 13Q-2, respectivamente, reflejan un cambio en la riqueza de los gobernantes de la época, ya que contenían una gran cantidad de objetos de piedra verde, conchas y hematita.

El Altar 4 contiene la última fecha conocida de La Corona, que corresponde a 805 d.C. La inscripción del altar también incluye el registro de la llegada de otra mujer foránea el 10 de septiembre de 791 d.C., quien porta el glifo emblema de *Mutul*. Dicho glifo se asocia directamente a Tikal, pero, en este caso se considera que proviene de la región de Petexbatun, probablemente Aguateca (Barrientos 2020:111).

b. Etapas constructivas y cronología del Palacio de La Corona. Ha sido definida mediante excavaciones realizadas desde 2009 hasta 2018 en el área, de las cuales destacan las de Bustamante y Lamoureux-St-Hilaire (2016), quienes han definido cinco etapas constructivas principales de todo el Palacio, combinando datos arquitectónicos, cerámicos y epigráficos. Otra ayuda para determinar la cronología del Palacio han sido las fechas de

radiocarbono, las cuales han permitido confirmar la interpretación temporal de las estructuras (Barrientos y Canuto 2019:14).

#### 1) Clásico Temprano

Fase Canario (300 – 400 d.C.): Corresponde a la fase más temprana, posiblemente la primera fase constructiva. Ha sido alcanzada por tres pozos con más de 4 m de profundidad (Bustamante 2014, 2015; Lamoureux-St-Hilaire 2015; Padilla y Bustamante 2013). Uno de ellos solo encontró un piso sobre roca madre y los otros dos expusieron pequeñas secciones de dos plataformas de 3 y 1 m de altura. (Lamoureux-St-Hilaire y Bustamante 2016: 313).

Fase Cocochan (400 – 500 d.C.): Corresponde a la segunda fase de construcción del palacio, se divide en Cocochan I y Cocochan II. La sub-fase Cocochan I presenta cuatro estructuras que en su conjunto conforman una plaza cuadrangular. Al norte se encuentra la Estructura 13Q-4E-Sub-2 (Estr. *Wo*); al oeste la Estructura 13Q-4E-Sub-1 (Estr. *Ahk*); al este la plataforma 13Q-4A-Sub-1 (Plataforma *Ayiin*); y hacia el sur la Estructura 13Q-4C-sub-1 (Estr. *Huuh*) (*ibíd* 314). Además, la Plaza Cocochan I funcionó como una Plaza Hundida (Padilla 2010, 2011; Padilla y Bustamante 2013). Posteriormente, las estructuras 13Q-4E-Sub-2 (Estr. *Wo*) y 13Q-4E-Sub-1 (Estr. *Ahk*) sufrieron una serie de modificaciones durante la sub-fase Cocochan II, reflejando un cambio funcional de la Plaza Cocochan: primero fue área habitacional durante la sub-fase I y luego un área administrativa durante la sub-fase II (Lamoureux-St-Hilaire y Bustamante 2016:314).

Fase Colibrí (500 – 550 d.C.): Hasta donde se sabe, esta fase incluye cambios en el área sur del Palacio, específicamente sobre la Plaza Cocochan. Se construyó una plataforma que abarca de este a oeste, desde la estructura 13Q-4A-sub-1 (*Ayiin*) hasta la fachada oeste de la Estructura 13Q-4E-Sub1 (*Ahk*). Esta plataforma cubrió totalmente la Estructura 13Q-4E-Sub2 (*Wo*) y parte de la Estructura 13Q-4E-Sub1 (*Ahk*), ya que el cuarto lateral norte de esta última siguió funcionando hasta la fase Halcón (Bustamante 2015). Tampoco se modificó la Estructura 13Q-4C-Sub-1 (*Ahk*) ni las estructuras que componen el Patio Noroeste de la fase Cocochan II. Por su fechamiento, esta fase se asocia al reinado del

gobernante Buitre *Winik* junto con la señora ¿? *Naah Ek'*, así como su posible hijo *Chak Took Ich'aak*.

## 2) Clásico Tardío

Fase Halcón (550 – 800 d.C.): Durante la primera parte de esta fase el Palacio de La Corona fue la estructura arquitectónica más grande del sitio. Se conformó por cuatro grupos arquitectónicos que rodeaban la estructura de manera radial:

El Grupo Sureste: conformado por la Estructura 13Q-4A y subestructura Coralillo (13Q-4E-Sub5), en donde se ubicaba la entrada del Palacio (Lamoureux-St-Hilaire y Bustamante 2016: 215); Grupo Suroeste: conformado por las estructuras 13Q-4C y 13Q-4D.

El Grupo Noreste: fue el más formal del Palacio ya que parece haber sido el Grupo Residencial de la corte real de La Corona. Para el final de Halcón I se trata de un Patio Hundido rodeado de las estructuras 13Q-4F, 13Q-4G y 13Q-4B1 (Lamoureux-St-Hilaire 2014, 2015; Lamoureux-St-Hilaire y Morales Forte 2016). La Estructura 13Q-4F parece haber tenido funciones semiprivadas como reuniones, administración o almacenamiento, esto se debe a las cortineras encontradas en la entrada de los cuartos (Lamoureux-St-Hilaire y Bustamante 2016: 316); el Grupo Noroeste: incluye las secciones oeste de las estructuras de mampostería 13Q-4F y 13Q-4G, y estructuras precederas 13Q-4H1, 13Q-4H2 y 13Q-4I. Este grupo pareció ser un área dedicada al almacenamiento, procesamiento de alimentos, preparación de varios tipos de artefactos y otras funciones necesarias al mantenimiento de la corte real (Lamoureux-St-Hilaire 2015).

La arquitectura de la Fase Halcón abre una ventana sobre la organización de la corte real durante el apogeo del Reino *Kaanul*. Durante esta fase la ruta comercial entre Calakmul, Río San Pedro y Río Pasión fue muy fuerte (*ibíd* 316), asimismo fue el período que corresponde al mayor número de monumentos jeroglíficos en el sitio (Canuto y Barrientos 2014). Durante esta fase sucedió el gobierno de *Sak Maas*, *K'uk Ajaw*, *Chakaw Nahb Chan*, *K'inich ? Yook*, *Chak Ak' Paat Kuy* y *Yajawte K'inich*.

Durante la segunda parte, esta fase se ha definido por varias modificaciones realizadas a las estructuras 13Q-4G, 13Q-4F, 13Q-4A y 13Q-4B, entre otras, así como la construcción de las Estructuras 13Q-4E, 13Q-4O, 13Q-4M y sus alrededores. Asimismo, el control de la circulación alrededor del Patio Noreste indica que existió una clara separación entre el lado ceremonial y administrativo o de soporte de la corte real, así como la partición de varias áreas del Palacio para funciones específicas, generalmente mediante la adición de muros divisorios a las cámaras y galerías ya existentes (Lamoureux-St-Hilaire y Bustamante 2016: 317).

### 3) Clásico Terminal

Fase Tucán (800 – 850 d.C.): Fue reconocida por primera vez en el patio del Grupo Sureste, frente a las estructuras 13Q-4A y 13Q-4E, y corresponde a la penúltima fase de nivelación del piso del patio (Padilla 2011). Esta fase se encuentra bajo el piso Guacamaya, sin embargo, este piso Guacamaya no ha sido explicado en su totalidad. También se identificó en el Patio Noreste mediante modificaciones de la Estructura 13Q-4B2 y modificaciones menores en las estructuras 13Q-4G, y 13Q-4F. Aunque fue una fase constructiva pequeña, se ha encontrado evidencia de actividades en esas áreas.

Fase de abandono: Se ha definido por la presencia de acumulación de fragmentos cerámicos y otros artefactos sobre pisos de estructuras, plataformas y patios (Lamoureux-St-Hilaire 2014, 2015; Lamoureux-St-Hilaire y Morales Forte 2016). El análisis cerámico de los contextos asociados a los pisos indica que el abandono ocurrió durante el siglo noveno, especialmente en su segunda mitad, lo que coincide con la evidencia epigráfica (Lamoureux-St-Hilaire y Bustamante 2016: 319).

#### c. Investigación previa de la cerámica de La Corona.

La secuencia cerámica de La Corona ha sido creada por Caroline Parris, quien analizó el material cerámico y registró las vasijas completas desde 2011 hasta 2018. La metodología utilizada combinó el análisis Tipo-variedad con un análisis modal (Parris 2013: 297).

Antes de los estudios de Parris, la cerámica de La Corona empezó a analizarse desde 2006, cuando las investigaciones en La Corona formaron parte del Proyecto Arqueológico El Perú-Waka'. En ese entonces, el análisis se enfocó en los materiales de las excavaciones de sondeo, las excavaciones de la Estructura 13R-5 y recolecciones de superficie, resultando en la clasificación de lotes en tipos y variedades, así como una lista de tipos identificados, con el propósito de fechar lotes de particular interés (*ibíd.* 299).

Posteriormente, en 2011 y 2012 se realizó un análisis cerámico para empezar a construir la cronología cerámica de La Corona. Para la muestra de 2012 (Parris 2013: 300), se tomaron 27 operaciones de diferentes áreas del sitio, la mayoría localizadas en lo que fueron áreas públicas, ya sea el Grupo 13Q (Plaza Principal) o el Grupo 13R (Grupo Coronitas y estructuras al norte de Coronitas). Se analizó un total de 120,000 tiestos, de los cuales se clasificaron 21,811 tiestos de 343 lotes; aunque no todos fueron identificados en tipos, se clasificaron y definieron, aproximadamente 46 tipos. Las formas y características de los tipos identificados durante esos años sugirieron una afinidad a otras colecciones cerámicas de Tierras Bajas Centrales, relacionándose especialmente a la misma esfera cerámica de Calakmul, La Joyanca, Tikal y Uaxactún.

En 2015, Caroline Parris (2016) realizó una colección cerámica comparativa, la cual está constituida por 423 fragmentos representando 25 grupos, 45 tipos y 50 variedades. Para la elaboración de la muestra se analizaron operaciones de estructuras del Grupo Coronitas (13R-2, 13R-3, 13R-4, 13R-5, 13R-7, 13R-10, 13R-11), Palacio (13Q-4G) y Plaza Principal (13Q-1). De estas estructuras se tomaron en cuenta contextos tales como basureros, rellenos de fases constructivas, trincheras de saqueo, últimas fases de construcción y entierros (Parris 2016: 256- 257). En 2018 y 2019 Francisco Saravia, Marissa López y Alejandro González (2020) realizaron el análisis cerámico de las excavaciones en el área *Sacbe* y Grupo Tortugas y la Estructura 13R-45.

Dada la naturaleza de la ubicación geográfica del sitio La Corona y sus alrededores, su tradición cerámica se encuentra estrechamente relacionada con otros sitios cercanos a la región Noroeste del Petén. En esta zona se han realizado importantes investigaciones

cerámicas en sitios como El Perú/*Waka* (Eppich *et al.* 2016), La Joyanca y Zapote Bobal (Forné 2006), Piedras Negras y otros sitios de la Sierra del Lacandón (Muñoz 2006), Altar de Sacrificios (Adams 1971), Ceibal (Sabloff 1975), la zona del Petexbatun (Foias y Bishop 2013), Uaxactún (Smith 1955), Tikal (Culbert 1993) y El Mirador (Forsyth 1989). Por ende, la tipología cerámica empleada en el sitio La Corona se fundamenta en comparaciones con la cerámica de los sitios mencionados (Saravia *et al.* 2020).

Como resultado, Parris (2016) definió la presencia de cinco complejos que abarcan desde el Preclásico Tardío hasta el Posclásico:

- Preclásico Tardío: *Naah* (Estructura): Este complejo es comparable con los complejos Cascabel de El Mirador (Forsyth 1989), Chicanel de Uaxactún (Smith 1955), Cantuse de Ceibal (Sabloff 1975), Faisán de la región del Petexbatun (Foias y Bishop 2013) y Tambo 2 de La Joyanca (Forné 2006).

- Clásico Temprano: *Ochib* (Entrada): De acuerdo con Parris (2016), presenta similitudes con el Complejo Acrópolis de El Mirador (Forsyth 1989), Tzakol de Uaxactún (Smith 1995), Junco de Ceibal (Sabloff 1975) Jordán de la región de Petexbatun (Foias y Bishop 2013) y Flor de La Joyanca (Forné 2006). Los grupos representativos, según los estudios realizados en 2018 y 2019 en La Corona, son: Quintal, Caribal, Corona, Balanza, Dos Arroyos y Águila (Saravia *et al.* 2020:459). A este período se asocia la llegada de la primera mujer de Dzibanché que llegó a La Corona y se casó con “Buitre” *Winik*, así como las fases Canario, Coccochán, Colibrí y los inicios de Halcón I en el Palacio. También corresponde a la fase *K'inich*, *Mam* y *Muk* del Grupo Coronitas y al final de la fase Sacpa-Poite y la primera mitad de la fase Aceituno-Mancuernillo de la Estructura 13R-10 (Barrientos y Canuto 2019: 15).

- Clásico Tardío: *Waay* (Cuarto): Este complejo presenta similitudes con Lac Na en El Mirador (Forsyth 1989), Tepeu en Uaxactún (Smith 1955), Tepejilote en Ceibal (Sabloff 1975), Jordán de la región del Petexbatun (Foias y Bishop 2013) y Abril de La Joyanca (Forné 2006). Los grupos representativos en La Corona son: Cambio, Tinaja, Azote,

Máquina, Infiero, Saxché-Palmar, Zacatal y Santa Rosa; así como el Grupo Chablekal Gris Fino que representa la faceta tardía del Complejo *Waay* (Parris 2016: 283). Por medio del estudio tipológico a nivel interregional combinado con los resultados de Análisis Instrumental por Activación de Neutrones, han permitido establecer tres grupos estilísticos del Chablekal Gris Fino, denominados: Chablekal-Tiscul de la Costa, Chablekal Usumacinta bajo y medio, y Ciprés con bicromía (Ancona 2008). Este complejo abarca la mayoría de la historia política conocida para La Corona, que también corresponde a la fase Halcón del Palacio, siendo Halcón II contemporánea con la faceta tardía del Complejo *Waay*. También corresponde a las fases *K'uh*, *Ub* y *Unen* del Grupo Coronitas y la segunda parte de las fases Aceituno-Mancuernillo, y Chicozapote de la Estructura 13R-10.

- Clásico Tardío Terminal: *Paat* (Terraza): Este complejo se vincula al Complejo Post Lac Na de El Mirador (Forsyth 1989), Tepeu 3 de Uaxactún (Smith 1955), el Complejo Bayal de Ceibal (Sabloff 1975), el Complejo Sepens de Petexbatun (Foias y Bishop 2013) y Tuspan de La Joyanca (Forné 2006). Saravia, López y González (2020) identificaron los grupos Altar, Tres Naciones y Tinaja. Corresponde a las fases Tucán y Abandono del Palacio de La Corona, así como las fases Guaya y el Clásico Terminal de la Estructura 13R-10.

Tabla 1. Cronología del sitio La Corona

	Período Histórico	Cerámica	Gobernantes de La Corona	Reinas de La Corona	Palacio
850 - 900	Clásico Terminal	<i>Paat</i>			Abandono
800 - 850					Tucán
750 - 800	Clásico Tardío	<i>Waay</i>	Entierros 18 y 19	<i>Ix Kaloomte'</i> <i>K'uh Ix Yax ¿?K'ik'</i>	Halcón II
700 - 750			<i>Yajawte K'inich</i> <i>K'ahk Way Na'</i> <i>Chak Ak' Paat Kuy</i> <i>K'nich ? Yook</i> <i>Chakaw Nahb Chan</i> <i>K'uk Ajaw</i> <i>Sak Maas</i>	<i>Ix Ti' Kan</i>	Halcón I
650 - 700				<i>Ix Tz'ib Winik</i> <i>Ix Chak Tok</i> <i>Chahk</i> <i>Ix Ox Kan</i>	
600 - 650					
550 - 600					
500 - 550	Clásico Temprano	<i>Ochib</i>	<i>Chak Took Ich'aak</i> <i>"Buitre" Winik</i>	<i>Ix ? Naak Ek'</i>	Colibrí
450 - 500			Entierro 6		Cocochan II
400 - 450					Cocochan I
350 - 400					Canario
300 - 350			<i>Aneel Tahn K'inich</i>		
250 - 300	Preclásico Terminal/Protoclásico	<i>Naah</i>			
200 - 250					

(Informe PRALC 2019: 15, modificado por la autora)



## VIII. Metodología

El material cerámico del basurero del Palacio de La Corona había sido ya objeto de estudio preliminar en el año 2017, por Maxime Lamoureux-St-Hilaire y también por Caroline Parris. Se aplicó la siguiente metodología para poder obtener la mayor cantidad de información posible para el proceso de esta investigación.

### A. Revisión bibliográfica.

Se realizó una revisión bibliográfica de documentos relacionados a temas de cronología y funcionalidad; asimismo fueron consultadas monografías cerámicas para determinar tipos, modos y variedades cerámicas. Se efectuó una revisión sobre áreas de desecho asociadas a palacios reales en el área maya con el fin de crear comparaciones que aporten mayor entendimiento al tema. Este proceso se realizó por medio de visitas al centro de documentación que posee el Laboratorio del Proyecto Regional Arqueológico La Corona (PRALC). Se tomó en cuenta los documentos que posean relación a análisis cerámicos preliminares realizados en el proyecto PRALC en años anteriores, con énfasis en los informes entregados a la Dirección General del Patrimonio Cultural y Natural. A su vez también se consultaron documentos de acceso en línea relacionados al tema, con énfasis en los temas de arqueología conductual y la interpretación arqueológica de basureros.

### B. Unidades de excavación.

La recopilación de datos a utilizar en esta investigación se realizó durante las Temporadas de Campo 2016, 2017 y 2019 del Proyecto Regional Arqueológico La Corona (PRALC). El código de las excavaciones fue definido por el proyecto, ordenando las excavaciones por operación, sub-operación, unidad, nivel y lote. Para el caso del área de

basurero del Palacio, no se le asignó número de sub-operación, sino se definió por una sola operación, siendo esta Operación CR22. En total se excavaron 17 unidades para el proceso de la investigación, divididas en tres contextos.

1. Excavaciones en área de Basurero 1 del Palacio (Unidades CR22-1, CR22-3, CR22-4, CR22-5, CR22-6 y CR22-7).

Las excavaciones en el área de basurero del Palacio se llevaron a cabo en distintos años. En 2016 se excavó la Unidad CR22-1 (1 x 9 m) (Lamoureux-St-Hilaire 2017: 63). En 2017 se reabrió la unidad CR22-1 y se excavaron las unidades CR22-3 (2 x 1 m), CR22-4 (trinchera de 2.2 x 6 m) y CR22-5 (2 x 2 m) (Morales 2018: 128-133). En 2019 se excavó la Unidad CR22-6 (2 x 2 m), y CR22-7 (2 x 2 m) todas orientadas 7° E del N. (González 2020:81). Estas excavaciones se definieron inicialmente como pozos de sondeo en el lado noroeste del Palacio con el fin de recuperar material de desecho. Posteriormente, al haberse identificado los basureros, las unidades se colocaron como extensiones de los pozos iniciales, para recuperar más material y entender de mejor forma la estratigrafía y su relación con el basamento del Palacio. La cantidad de niveles y lotes variaron acorde a cada unidad, fueron excavados arbitrariamente y todas las unidades llegaron a suelo estéril.

2. Excavaciones sobre la Estructura 13Q-27 (Unidades CR-22-2, CR22-8, CR22-9, CR22-10 y CR22-12).

Las excavaciones sobre la Estructura 13Q-27 se llevaron a cabo durante la Temporada de 2016, en el cual se excavó la Unidad CR22-2, (trinchera de 1 x 7 m) dispuesta perpendicularmente a la Unidad CR22-1 (Lamoureux-St-Hilaire 2017: 67). Durante la Temporada 2019 se excavaron las unidades CR22-8 (2 x 2 m), CR22-9 (2 x 2 m), CR22-10 (2 x 2 m), CR22-12 (2 x 1 m), todas orientadas 7° E del N (González 2020: 64-75), con el objetivo de estudiar la unión del basamento del Palacio con la Estructura 13Q-27, así como la naturaleza de esta última, especialmente si funcionó como acceso al Patio Noroeste del Palacio. Las excavaciones variaron en cuanto a niveles y lotes, y se realizaron mediante niveles arbitrarios sin llegar a suelo estéril.

### 3. Excavaciones sobre el primer y segundo Cuerpo de Palacio (Unidades CR22-13, CR22-14, CR22-15, CR22-16, CR22-17).

Estas excavaciones se llevaron a cabo durante la Temporada de 2019; en el primer cuerpo de Palacio se excavaron las unidades CR22-13 (2 x 2 m), CR22-14 (2 x 1.50 m) y CR22-17 (2 x 2 m) (González 2020: 92-94); en el segundo cuerpo de Palacio se excavaron las unidades CR22-15 (1.50 x 1 m) y CR22-16 (2 x 1 m) (González 76-80). Fueron enfocadas en exponer y definir los muros del primer y segundo cuerpo del Palacio. Las unidades de excavación variaron en cuanto a niveles y lotes y fueron excavadas arbitrariamente hasta llegar a la superficie del descanso y muro del Primer Cuerpo de Palacio.

### C. Análisis de laboratorio.

El material recuperado en las excavaciones fue inventariado en el campamento, embalado y trasladado al laboratorio del Proyecto La Corona, ubicado en la zona 15 de la ciudad de Guatemala. Toda la cerámica fue lavada y marcada para poder realizar el análisis cerámico. El material fue marcado con esmalte y tinta china negra o blanca, con el código de identificación del sitio, operación, sub-operación, unidad, nivel, lote y el número correlativo del tiesto, lo que permite identificar los bordes que son incluidos en el análisis de atributos. Los tiestos con menos de 2.5 cm de diámetro aproximado fueron descartados. También, los tiestos que presentan la superficie casi o completamente erosionada se denominaron como erosionados o indeterminados, dependiendo del caso de cada tiesto. Los grupos, tipos o variedades fueron clasificados de acuerdo con la parte de la vasija y se pesaron en conjunto; si la parte de la vasija fue un borde, este se pesó por unidad.

Para esta investigación se analizaron dos basureros: Basurero del Palacio (Basurero 1) y basurero sobre la Estructura 13Q-27 (Basurero 3). La nomenclatura de los basureros fue establecida inicialmente por Maxime Lamoureux-St-Hilaire en 2016 (Lamoureux-St-Hilaire 2017: 68) y fue modificada a medida que se comprendieron mejor los contextos arqueológicos. Es importante aclarar que para el objetivo de la investigación se prestó

mayor énfasis en el Basurero 1 por ser el determinante para el estudio cronológico, ya que se encontró bajo contextos sellados. El Basurero 3 también se analizó como objetivo de comparación, ya que es el más tardío.

### 1. Análisis cerámico.

El material cerámico del basurero del Palacio ya había sido objeto de un estudio cronológico preliminar, realizado por parte de Maxime Lamoureux-St-Hilaire en el año 2017 para su tesis doctoral (Lamoureux-St-Hilaire 2018:239-243, 357-363). También por Caroline Parris (fichas de laboratorio, s.f.) Por lo tanto, esta investigación constituye el seguimiento de dicho análisis cerámico, el cual fue realizado durante el año 2019 y 2020, con el apoyo de Francisco Saravia, ceramista del Proyecto PRALC. La metodología utilizada siguió los lineamientos definidos para el Proyecto La Corona, desarrollados inicialmente por Caroline Parris (2013) y modificados por Francisco Saravia en 2019 (Saravia *et al.* 2020: 413-423). Esta metodología toma como base el sistema Tipo-variedad, completado con un análisis modal.

#### a. Tipo-variedad.

Ha sido el método estándar para el estudio de la cerámica de las Tierras Bajas Mayas (Gifford 1960; Smith y Gifford 1966; Smith *et al.* 1960). Esa tipología responde a dos objetivos: la estandarización de las descripciones cerámicas, obtenidas con la elaboración de una jerarquía de clases bien definida; 2) la comparación de los datos entre varios sitios está facilitada por la utilización de términos estandarizados, lo que permite realizar estudios de repartición geográfica y temporal de los tipos cerámicos identificados en numerosos sitios (Forné 2006:12).

Es un método simple de clasificación jerárquica del material cerámico a través de la creación de unidades tipológicas básicas: clases, grupo, tipo y variedad, donde todas son dependientes de otras. Las clases o *ware* están identificadas por atributos tecnológicos de fabricación y a veces de tratamiento de superficie, como la composición y cocido de pasta. Los *grupos* se definen por el tratamiento de superficie. Los *tipos* se identifican por la

categoría de su tratamiento de superficie, definidos por el color y técnica de decoración de superficie. Por último, la categoría *variedad* se define por las variaciones de ornamentación, la cuál es la categoría más pequeña del “Tipo-variedad” y son diferenciadas por detalles de decoración. Cada una de estas unidades posee su propio valor cronológico, con diferentes amplitudes (*ibíd.*).

Este puede explicarse de manera más específica, el sistema Tipo-variedad también posee atributos, esta es la unidad descriptiva más pequeña utilizada en la tipología. Puede ser cualquier elemento identificable, un desgrasante, pasta, tratamiento de superficie o detalle de la decoración (*ibíd.*: 13). Toda categoría del tipo-variedad está compuesta por varios atributos (Smith *et al.* 1960:331). Las clases son el conjunto de grupos cerámicos, reunidos por criterios técnicos de fabricación, como la calidad del tratamiento de superficie y cocción de la pasta (Foias 1996:181 en Forné 2006:13). En una clase están presentes todos los tipos, grupos y variedades que participan en las mismas características técnicas. La clase no está tan limitada en el tiempo como los tipos y grupos, sin embargo, puede suceder como el caso de las clases Gris Fino y Naranja Fino, estas son clases que aparecen específicamente para el Clásico Tardío y Clásico Terminal (Forné 2006:13).

Las clases utilizadas para el análisis de los basureros de La Corona son los establecidos por Smith y Gifford (1966) para Uaxactún:<sup>1</sup>

- Petén Lustroso: se identifica por una superficie brillante o cerosa. Se identifican los monocromos naranja, rojo, café, negro y los polícromos y bícromos. La pasta se identifica por una textura media con inclusiones de calcita.

- Uaxactún sin Engobe: superficie, generalmente alisada, los colores más comunes son gris humo o ante. En el caso del Tipo Encanto, posee decoraciones incisas en los cuerpos. La pasta es de textura gruesa y la inclusión predominante es la calcita.

---

<sup>1</sup> Autores como Rice 1976, consideran que para poder definir una clase se debe de tomar la pasta y el tratamiento de superficie como independientes. Propone que debiese de realizarse, preferiblemente, enfocado en el tipo de pasta.

- Gris Fino: Superficie alisada, rara vez pulida, color gris. Pose engobe color negro, que raramente es identificable. La pasta es de textura fina, no posee inclusiones de color gris.

- Naranja Fino: Superficie alisada, rara vez pulida de color generalmente naranja. La pasta es de textura fina, no posee inclusiones (algunas veces un color más claro que la superficie).

El grupo incluye los tiestos cuyo de tratamiento de superficie es similar, sin importar la decoración que lleve. El tipo, agrupa los tiestos que comparten los mismos atributos de superficie, color de engobe y técnica de decoración. Esta es coherente y fácil de identificar, es más precisa que el grupo, pero más general que la variedad (*ibíd.*). La variedad se diferencia por los detalles de decoración. Un tipo agrupa varias variedades. Gifford (1960) consideraba que las variedades reflejan variaciones culturales menores, así como modificaciones individuales de un alfarero, tendencias culturales de pequeños grupos sociales o fenómenos de moda de corta duración (*ibíd.*).

Entre la gran cantidad de tipos existentes, la mayor parte presenta una distribución en el tiempo y el espacio. Sin embargo, los tipos cerámicos están inevitablemente limitados por la visión incompleta que un arqueólogo puede tener de su propio material, reflejan consciente o inconscientemente un comportamiento humano que se puede medir en el tiempo y espacio. Los cambios en la industria cerámica, detectables en arqueología, no implican obligatoriamente un cambio cultural acentuando en otros ámbitos, pero pueden anunciar su existencia, acompañarlos e incluso, reflejarlos (*ibíd.*).

En el caso de los conceptos de división cronológica y espacial es importante entender que el complejo es la suma de todos los elementos cerámicos (grupos, tipos, variedades, modos) que, juntos constituyen un intervalo de tiempo (Ichon y Viel 1984:100 en Forné 2006:14). Está definido para cada sitio, y cada complejo es único. Tiene consiguientemente un valor cronológico, espacial y la sucesión de complejos de un mismo sitio constituye su secuencia. La suma de los complejos contemporáneos es denominada como horizonte. Los horizontes reflejan la repartición de ciertos modelos culturales en cerámica y ciertos hábitos

de producción (Forné 2006:14). Para el caso del sitio La Corona, estos fueron designados por Parris en 2013.

#### 1) Los límites del tipo-variedad.

Una utilización demasiado estricta del método puede entrañar incoherencias metodológicas. Otro problema es la consecuencia directa de la calidad de la colección cerámica estudiada, es decir el estado de erosión de la muestra, así como el número de tuestos al momento de crear un nuevo tipo (Forné 2006:16).

#### b. Tipo modal.

El tipo modal es de uso complementario con “tipo-variedad”, ya que permite tener mayor análisis sobre la definición de tipologías. El modo puede ser indefinidamente compuesto de un solo o de numerosos atributos. Rouse (1960) considera que el modo corresponde a un rasgo cultural compartido por una comunidad y que refleja las normas de esa comunidad. Dannel (1971), considera que se trata, por parte del arqueólogo, de una construcción abstracta que no tiene más que un valor teórico como también lo tiene el tipo y la variedad (*ibíd.*:17).

La definición de modo implica que se puedan aislar cronológicamente los atributos pertinentes entre todos los que estén visibles en el material. El análisis modal, permite, la identificación de los tipos cuando los tuestos están en malas condiciones de conservación o cuando la tipología no es suficiente. Este tipo de análisis permite tomar en cuenta los cambios tipológicos y/o cronológicos de las pastas, formas y decoración de cada tiesto (Alvarado y Horáková 2015 y Forsyth 1989).

#### 1) Los modos de los basureros de La Corona.

En los basureros de La Corona se realizó un análisis modal a partir del material más abundante y en buen estado de conservación. En 2018, Saravia, López y González, realizaron una adaptación del estudio sobre la cerámica de Ceibal realizado por Sabloff (1975) y así aplicarlo para el análisis del material cerámico del sitio La Corona. Sabloff

(1975) menciona que la clasificación de formas por medio de un sistema codificado permite tener una forma breve y sistemática la variabilidad de las formas de las vasijas.

El análisis de atributos se realizó únicamente con bordes, ya que brindan información diagnóstica, cronológica y funcional de las muestras. La organización del esquema planteado por Sabloff (1975), inicia con la clasificación de formas primarias (platos, cuencos, escudillas o cuencos pequeños (*dishes*), vasos y ollas). Así mismo, se agregaron las categorías generales de tambor, tapadera y comal. Posterior, se incluye una división de las variantes de contorno de cada forma, denominado “forma específica”, el cual hace referencia a la orientación del borde, pared o cuello (Figura 10).

Posteriormente, se encuentran las subdivisiones de aspectos específicos de la forma, como lo son el borde y labio (Figura 11). Para la clasificación de bordes se emplearon los códigos de la A a la G, siguiendo la nomenclatura de Sabloff (1975). Se incluyeron nuevas variables de forma que se detectaron en los análisis realizados en 2018, así como modos más refinados para la descripción de atributos formales, siguiendo los esquemas presentados por Eberl (2007) y adaptados a la metodología establecida en 2013 por Parris para el sitio La Corona. (Saravia *et. al* 2018).

Describiéndose de la siguiente manera, por ejemplo, el modo EDAE, se distribuye de la siguiente manera:

- E = Forma plato
- D = Forma curvo convergente
- A= Borde directo
- E = Labio biselado interior

Para la definición cronológica, hay aspectos de decoración de forma, tales como pestañas, bandas y ángulos que acorde a los estudios previos, son diagnósticos de complejos cerámicos particulares, por ejemplo, pestañas basales y ángulo en Z, asociadas a la esfera Tzakol o las crestas o filetes mediales, diagnósticos del sub-complejo Tepeu 1 (Figuras 12 y 13) (Eberl 2007; Saravia *et al.* 2018).



Figura 10. Códigos de forma

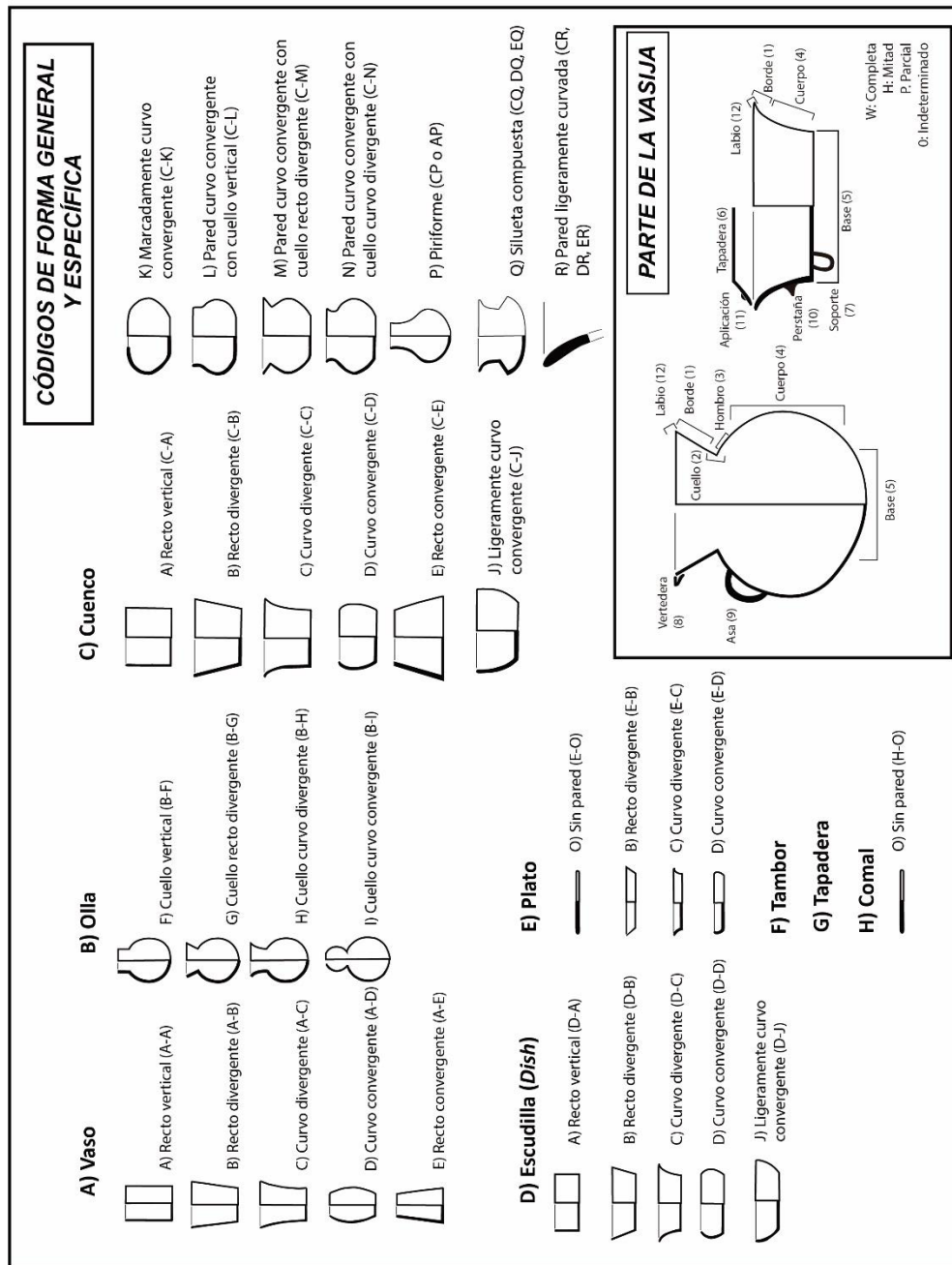
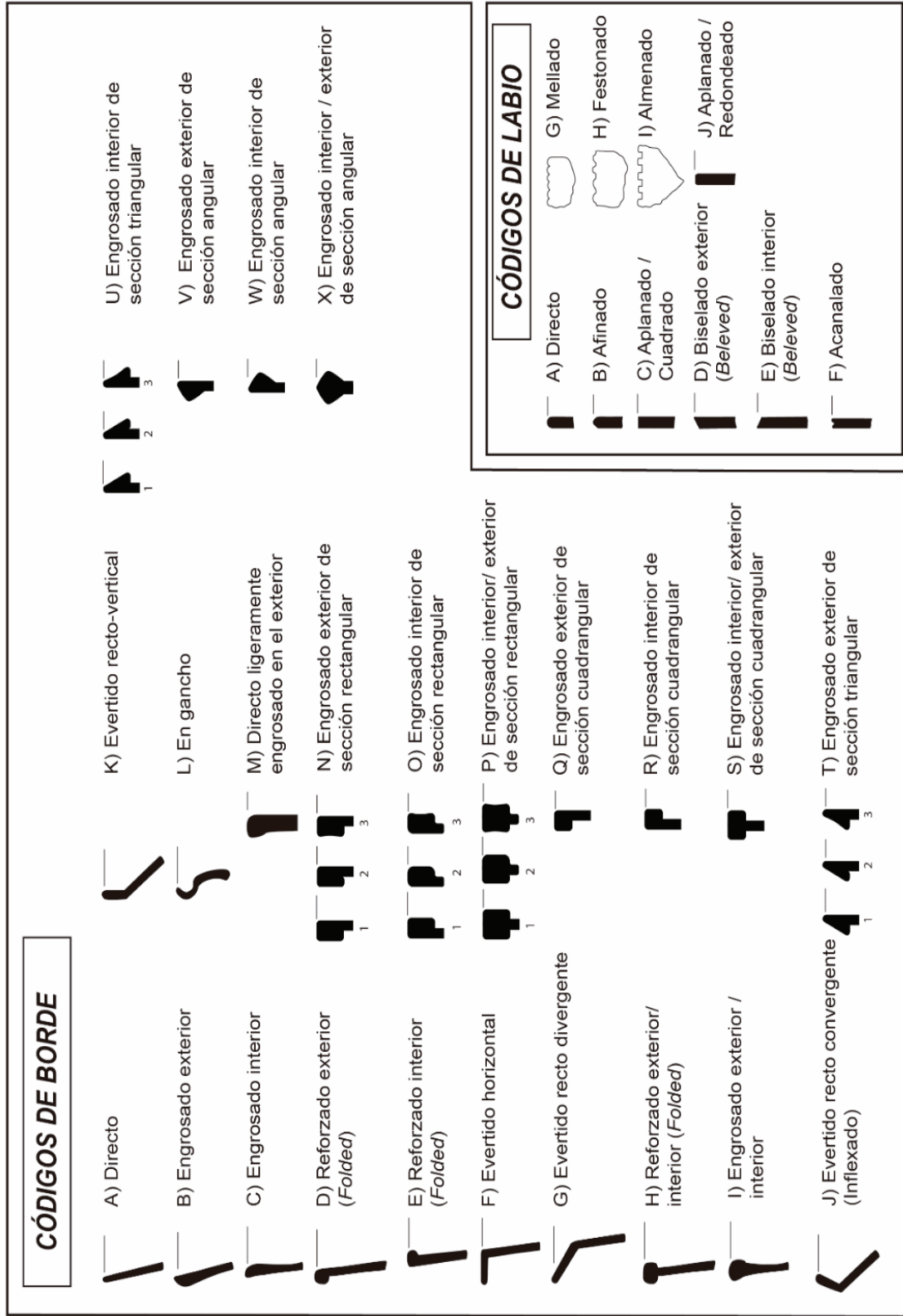
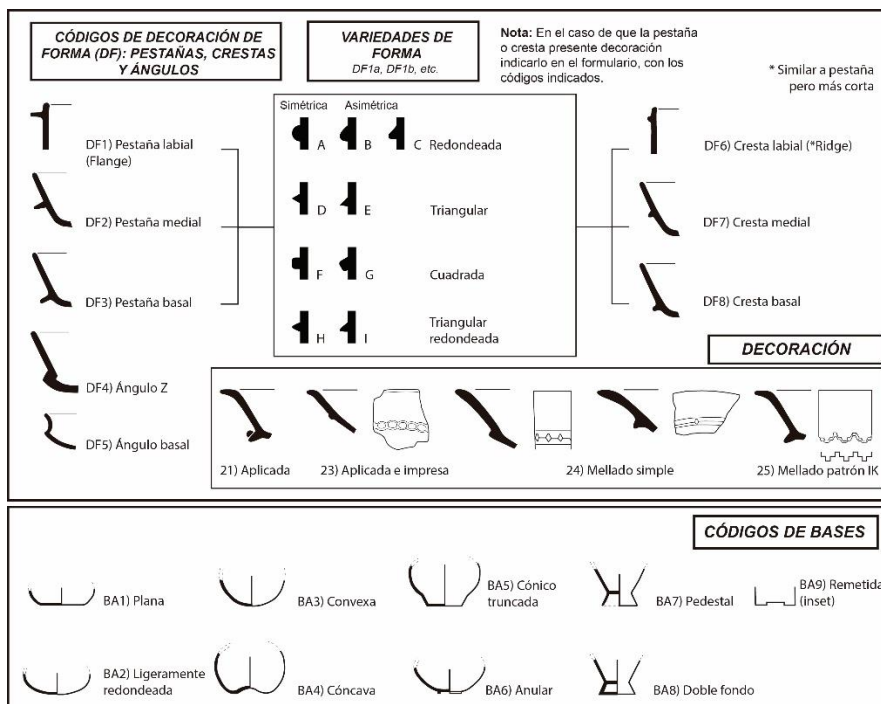


Figura 11. Códigos de borde



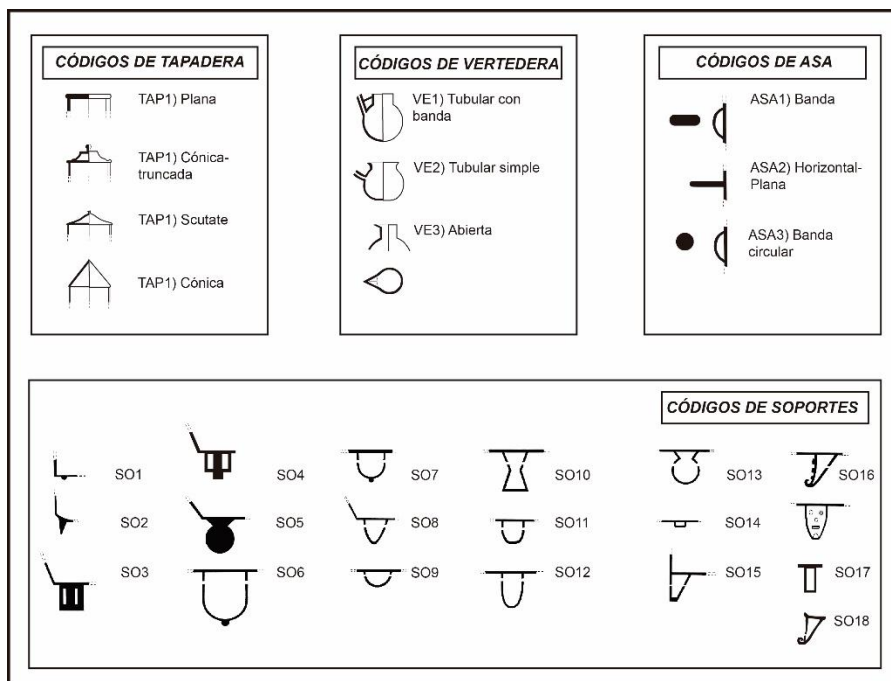
(Fuente: adaptado por Saravia *et al.* 2019 a partir de Sabloff 1975 y Eberl 2007).

Figura 12. Códigos de decoración de forma



(Fuente: adaptado por Saravia *et al.* 2019 a partir de Sabloff 1975).

Figura 13. Códigos de tapadera, vertedera, asa y soportes



(Fuente: adaptado por Saravia *et al.* 2019 a partir de Sabloff 1975).

En relación con la forma, el presente análisis utilizó los parámetros definidos por Moriarty y Foias (2006), los cuales fueron adaptados para el estudio de la cerámica de La Corona (Saravia *et al.* 2019):

a) Servicio: incluye la cerámica utilizada para el consumo de alimentos y bebidas. A nivel morfológico por la presencia de platos, cuencos con un diámetro de borde menor a 30 cm, escudillas y vasos. A nivel tipológico se asocia con la cerámica policroma y cerámica de pasta fina.

b) Preparación y almacenaje: se relaciona a la cerámica sin engobe y estriada que presenta forma de olla. A nivel funcional se plantea que estas vasijas sirvieron para almacenar, preparar y transportar alimentos y/o agua, u otros líquidos. Tipológicamente se vincula con los grupos cerámicos Cambio y Triunfo.

c) Almacenaje y servicio: se relaciona con ollas con engobe. A nivel funcional no difiere mucho de la categoría anterior, sin embargo, se considera que pudo estar implicada en ámbitos de servicio de alimentos. Durante el Clásico Tardío, a nivel tipológico, se pueden encontrar ejemplares de los grupos Tinaja, Infierno, Azote y Máquina.

d) Preparación y servicio: esta categoría implica la cocción y almacenaje de alimentos, relacionada directamente con labores domésticos. Morfológicamente se define por cuencos y fuentes grandes. Es asociada a los tipos Tinaja, Infierno, Azote y Máquina, específicamente.

e) Especial y ritual: se vincula a actividades ceremoniales. A nivel morfológico por la presencia de incensarios, tambores, entre otros. Los tipos Miseria Aplicado y Pedregal modelado son característicos de esta categoría, mientras que un considerable número de tambores se identifican tipológicamente con la cerámica policroma.

También se especifica si la apertura de la vasija es abierta (platos, cuencos, cuencos pequeños y comales) o cerrada (ollas, cuencos marcadamente curvo-convergentes o de boca restringida, vasos y tambores). Esto es de sumo interés para contextos como basureros domésticos, ya que son indicadores de las actividades que se desarrollaron en los conjuntos arquitectónicos o estructuras específicas, esto se puede identificar al evaluar la frecuencia de cada una de las categorías funcionales (*ibíd.*).

Como otro complemento para el estudio se presentan los datos métricos de los bordes. El modelo para el estudio de estandarización métrica fue adaptado por Parris (2013, 2016) a partir del trabajo de Foias y Bishop (2013). Estas consistieron en el diámetro de los bordes, en centímetros, indicando el porcentaje que se conserva del mismo. Para esto, se utiliza una tabla con radiaciones circulares de medio centímetro cada una, que permite reconstruir el diámetro aproximado de la muestra. En el caso de ser muy pequeño, el porcentaje del borde se indica como No determinado (ND) en ambas casillas (*ibíd.*).

La medición del grosor, en milímetros, del borde y la pared de la vasija, resultó ser de suma importancia para la reconstrucción de diámetros de bordes, lográndose establecer el índice de variabilidad de grosores en la mayoría de los tipos cerámicos. Esta medición fue realizada con un calibrador (*ibíd.*).

También se designaron códigos (números) para los parámetros descriptivos del acabado de superficie a nivel general. Se brinda información al respecto del estado de conservación de superficie, ubicación del engobe, pintura, pre-engobe y baño. Seguido, se procede a especificar aspectos determinantes de la superficie interior y exterior. Se utilizaron códigos (números) para registrar los colores de la superficie (Figura 14). Por último, se registraron las observaciones macroscópicas de la pasta (Figura 15). Aquí se describió la textura, color, descripción de núcleo, inclusiones y dureza de la pasta. (*ibíd.*).

Figura 14. Códigos empleados para la descripción del acabado de superficie y decoración

a) análisis de superficie general

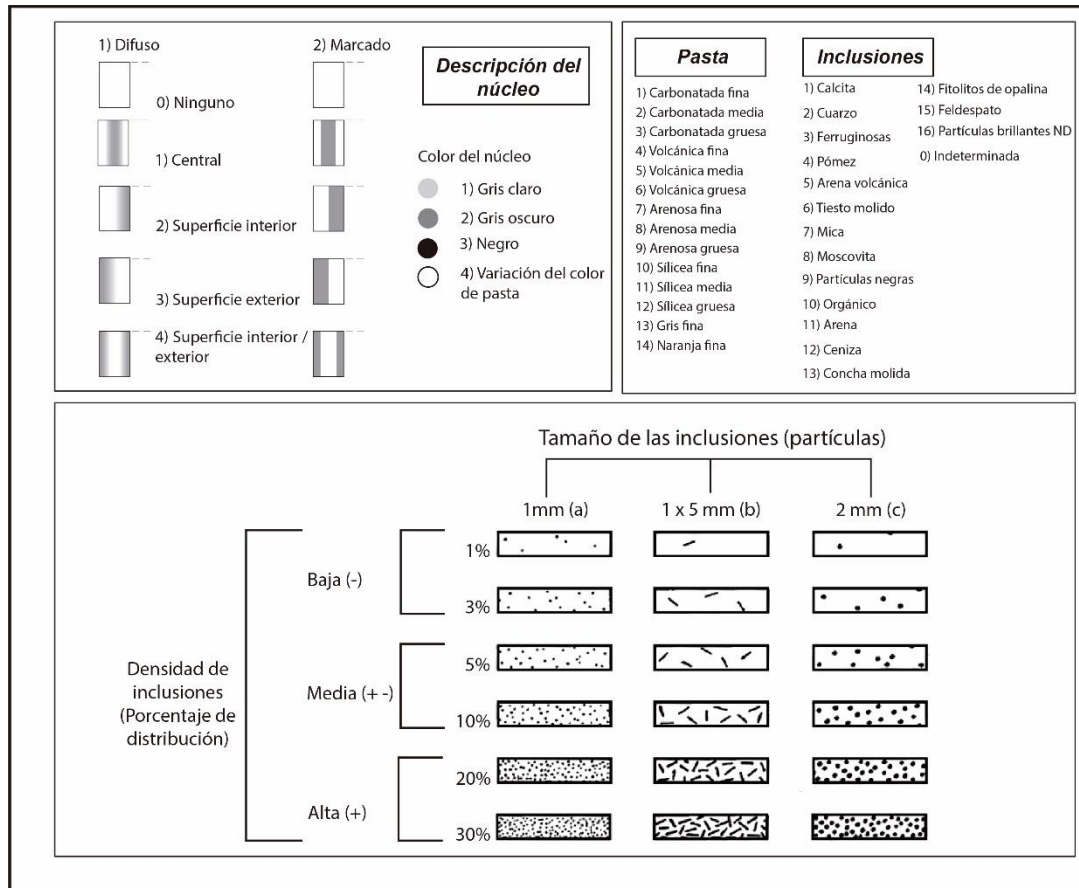
Erosionado? (1-5)		Ubicación de engobe		Ubicación de Pintura		Ubicación de Pre-Engobe		Ubicación del Baño	
1	No erosionado	0	Sin engobe	0	Sin pintura	0	Sin pre-engobe	0	Sin baño
2	Ligeramente erosionado	1	Interior	1	Interior	1	Interior	1	Interior
3	Moderadamente erosionado	2	Exterior	2	Exterior	2	Exterior	2	Exterior
4	Erosionado	3	Interior / exterior	3	Interior / exterior	3	Interior / exterior	3	Interior/ exterior
5	Extremadamente erosionado	4	Interior y sobre labio	NA	No aplica	NA	No aplica	NA	No Aplica
		5	Exterior y sobre labio						
		NA	No aplica						

b) Análisis de superficie específico (interior-exterior)

Color de la superficie con o sin engobe		Tratamiento de superficie		Decoración de superficie		Color de la pintura	
1	Rojo	1	Alisado	0	Ninguna	1	Rojo
2	Rojo claro	2	Bruñido	1	Estriada	2	Rojo claro
3	Rojo oscuro	3	Pulido	2	Incisa	3	Rojo oscuro
4	Rojo púrpura	4	Ceroso	3	Gubiada-incisa	4	Rojo púrpura
5	Naranja	5	Mate	4	Tallada	5	Naranja
6	Naranja claro	0	No alisado	5	Planorelieve- excisa	6	Naranja claro
7	Naranja oscuro			6	Acanalada /aflautada	7	Naranja oscuro
8	Naranja rojizo			7	Gadrooned	8	Naranja rojizo
9	Naranja amarillento			8	Impresa	9	Naranja amarillento
10	Amarillo			9	Estampada	10	Amarillo
11	Ante			10	Punzonada	11	Ante
12	Crema			11	Modelada-tallada	12	Crema
13	Beige			12	Perforada	13	Beige
14	Café rojizo			13	Mellado	14	Café rojizo
15	Café			14	Modelada y Aplicada	15	Café
16	Café oscuro			15	Estucada	16	Café oscuro
17	Rosado			16	Pintada	17	Rosado
18	Gris			17	Acanaladura en el borde	18	Gris
19	Negro			18	Manchada	19	Negro
20	Negro (ahumado-quemado)			19	Marcas de pulimiento	20	Negro (ahumado-quemado)
21	Blanco			20	Reservada / pintura al negativo	21	Blanco
				21	Aplicada	22	Azul
				22	Moldeada	23	Celeste
						24	Verde

(Fuente: Saravia *et al.* 2019).

Figura 15. Códigos empleados para la descripción de pastas



(Fuente: adaptado de Rice 1987 por Saravia *et al.* 2019).

Francisco Saravia y Marissa López (2019), realizaron la traducción del inglés al español de cada uno de los formularios de análisis de atributos diseñados por Caroline Parris. Además, todo el análisis de atributos fue integrado en una sola ficha, que previamente era realizado por medio de tres fichas distintas (formas y métricas, tratamiento de superficie y análisis de pasta), basándose en el esquema planteado por Sabloff (1975) y Eberl (2007). La tabla para el registro de tiestos se divide en:

- i. Nombre de tipo: variedad.
- ii. Análisis general: complejo, cantidad, parte de la vasija y peso.

- iii. Forma: apartados utilizados específicamente para los tiosos identificados como bordes.
- iv. Función, se tomaron en cuenta las siguientes categorías, basado en Moriarty y Foias (2007: 1408): servicio, almacenaje y preparación, almacenaje y servicio, preparación y servicio y ritual y función especial.
- v. Métrica: diámetro del borde (cm), % de circunferencia, grosor del borde y pared medidos en milímetros.
- vi. Tratamiento de superficie: conservación, ubicación de engobe, ubicación de la pintura, ubicación y color del pre-engobe y ubicación y color de baño.
- vii. Tratamiento de superficie interior: color de superficie sin engobe, color de la superficie con engobe, tratamiento de superficie, tipo de decoración y color de pintura (si es el caso).
- viii. Tratamiento de superficie exterior: las mismas características que el anterior.
- ix. Análisis de pasta: textura y color de pasta, descripción, color y márgenes del núcleo, tipo de inclusiones y cocción.
- x. Comentarios: esta parte se utiliza para agregar datos relevantes que aparecen en algunos tiosos y así agregarlo, posteriormente, a la base de datos en *Microsoft Excel*.

La información obtenida durante el análisis se tabuló en la base de datos por medio del programa *Microsoft Excel* para el análisis estadístico y con sus respectivas gráficas, con la finalidad de obtener un análisis más conciso y explicativo sobre la cerámica del área de basurero del Palacio de La Corona.

#### c. Seriación.

No es parte estricta del sistema tipo-variedad, pero constituye un complemento indispensable cuando hay que establecer la cronología de un sitio arqueológico a partir de su material cerámico. Un estudio crono-cerámico tiene como objetivo el colocar las unidades analizadas (tipos y/o modos) en un contexto espacio temporal determinado. La seriación expresa el comportamiento de las unidades cerámicas en la sucesión de los contextos determinados (*ibíd.*:18-20).



## 2. Estudio tipológico.

La identificación de los tipos ha sido realizada en estudios cerámicos anteriores. Para determinar los tipos se realizó una investigación y comparación bibliográfica de tipos establecidos en el sitio La Corona, así como la consulta del material depositado en muestrarios de varios proyectos arqueológicos ubicados en la ceramoteca del IDAEH, en Ciudad de Guatemala, permitió complementar y detallar el estudio tipológico de los basureros.

### a. Tradiciones monocromas.

Generalmente son representadas por una gran proporción del material cerámico en una excavación arqueológica. Estas se identifican por la tradición de cerámica con engobe rojo, engobe naranja, engobe negro, engobe café, engobe crema y engobe gris.

### b. Tradiciones polícromas.

Se identifican por los tipos cerámicos, como su nombre lo dice, polícroma. Esta es la cerámica que posee engobe, pintura y en algunos casos, pre-engobe.

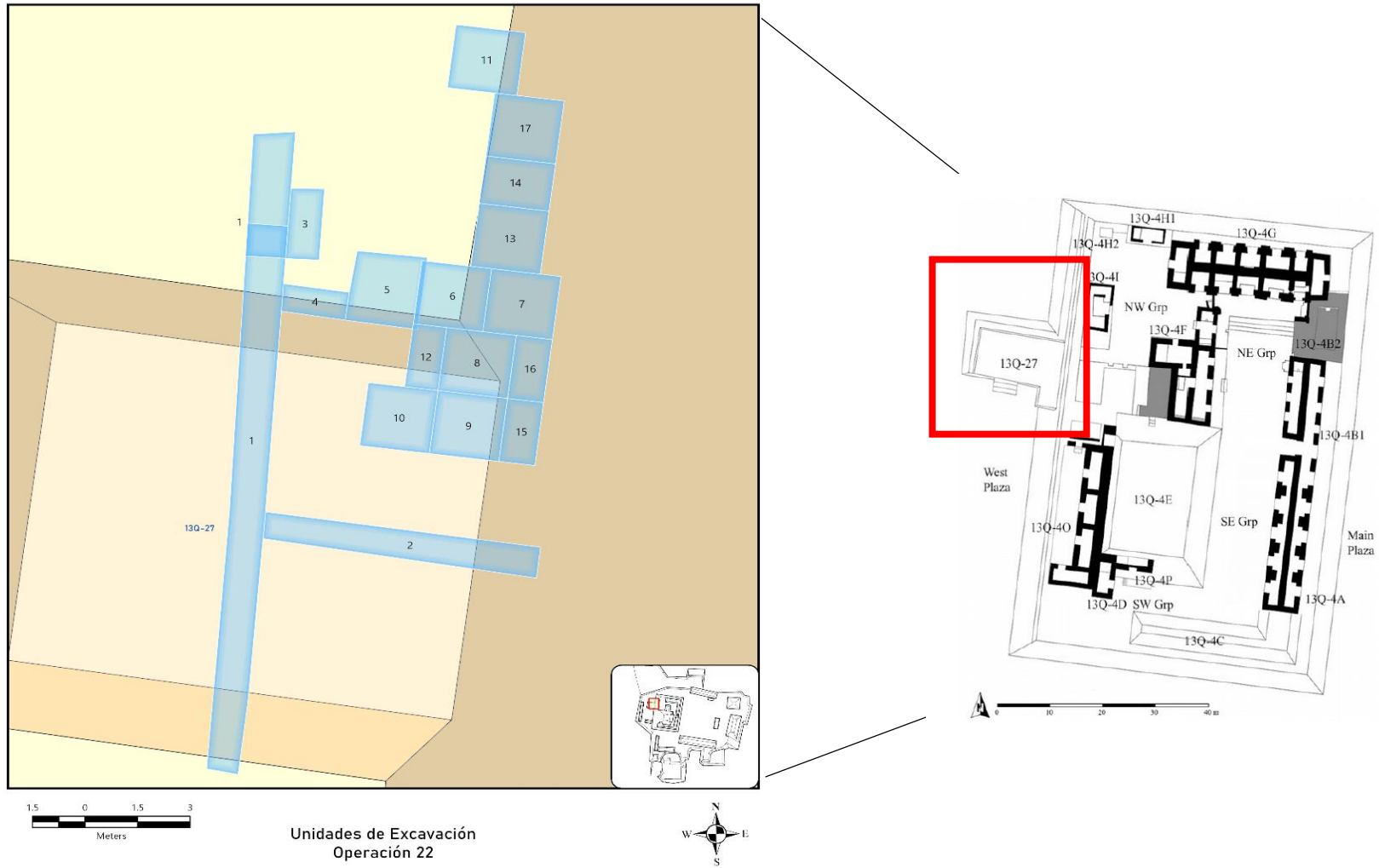
### c. Tradiciones sin engobe.

Esta clase contiene los recipientes con función estrictamente culinaria, destinados a la preparación, cocido o mojado de alimentos como son las ollas y cuencos (Forné 2006: 61). Hace referencia a los tipos que no poseen engobe, aunque en algunos casos sí poseen baño.

## IX. Resultados de excavación

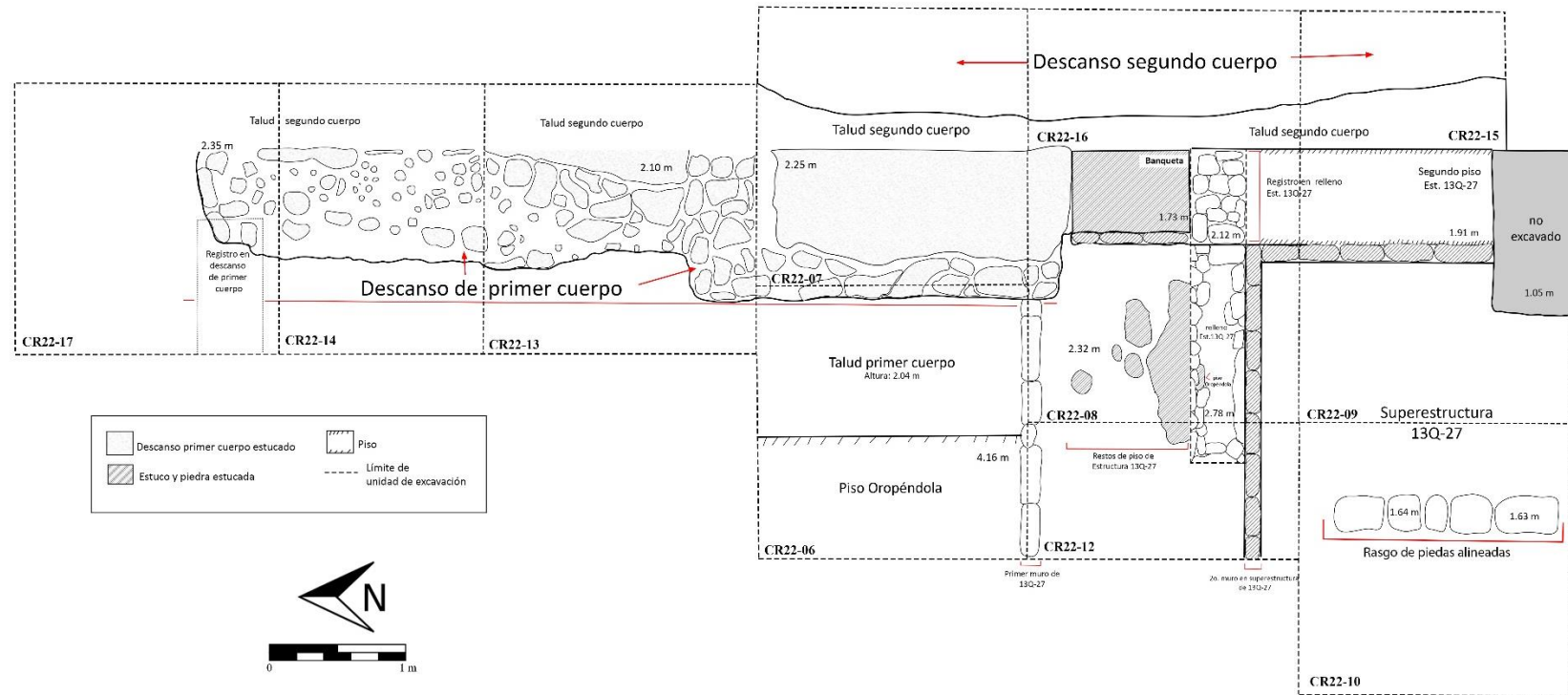
Durante la Temporada de Campo 2019 se llevaron a cabo excavaciones en la sección noroeste de la Estructura 13Q-4 (Palacio) de La Corona, que ha sido determinado como uno de los focos donde los habitantes del Palacio depositaban sus desechos. La mayor parte de las excavaciones realizadas se ubicaron en el área de los basureros 1 y 3, los cuales se encuentran localizados en la intersección de las estructuras 13Q-4 y 13Q-27, definidos dentro de la Operación CR22 (Figura 16 y 17).

Figura 16. Ubicaciones de unidades excavadas en la Operación CR22 en los años 2016,2017 y 2018.



(Fuente: Mapa de excavaciones por M. Canuto 2020 y Mapa de Palacio Lamoureux-St-Hilaire 2018).

Figura 17. Planta de la Operación CR22 excavada en 2019.



(Digitalizado por Alejandra González, 2019).

## A. Excavaciones en el Basurero 1 (CR22-6 y CR22-7)

Como continuación del trabajo realizado en años anteriores (ver Capítulo IV) se excavaron dos unidades: la primera (CR22-6) de 2 x 2 m, ubicada al este de la Unidad CR22-5 y la Unidad CR22-7 de 2 x 1 m, al este de la Unidad CR22-6. En estas unidades también se pudo investigar a detalle el adosamiento de la Estructura 13Q-27 con la Estructura 13Q-4. A continuación, la Tabla 2 resume las unidades excavadas en el Basurero 1:

Tabla 2. Descripción detallada de las unidades del basurero 1, Operación CR22

<b>Operación CR22 (Basurero 1)</b>			
<b>Unidades</b>	<b>Orientación (EN)</b>	<b>Dimensiones</b>	<b>Año de excavación</b>
CR22-1	7°	1 x 9 m	2016 y reabierta en 2017
CR22-3	7°	2 x 1 m	2017
CR22-4	7°	2.2 x 6 m	2017
CR22-5	7°	2 x 2 m	2017
CR22-6	7°	2 x 2 m	2019
CR22-7	7°	2 x 1 m	2019

Entre los objetivos principales se estableció identificar las diferentes etapas del Basurero 1. Las unidades variaron en cantidad de niveles y lotes excavados estratigráficamente, asimismo sus dimensiones. Todas las unidades excavadas en el Basurero 1 evidenciaron ocho estratos para este contexto: humus, derrumbe, derrumbe mezclado con basurero, dos pisos (Oropéndola y Carpintero) y tres estratos de basurero (Basurero Tardío (1C), Basurero Medio (1B) y Basurero Temprano (1A)) (Figura 18). En la Temporada 2019 se estableció la siguiente nomenclatura para identificar dichos estratos:

Tabla 3. Nomenclatura de temporalidades de Basurero 1

1A	Basurero Temprano
1B	Basurero Medio
1C	Basurero Tardío

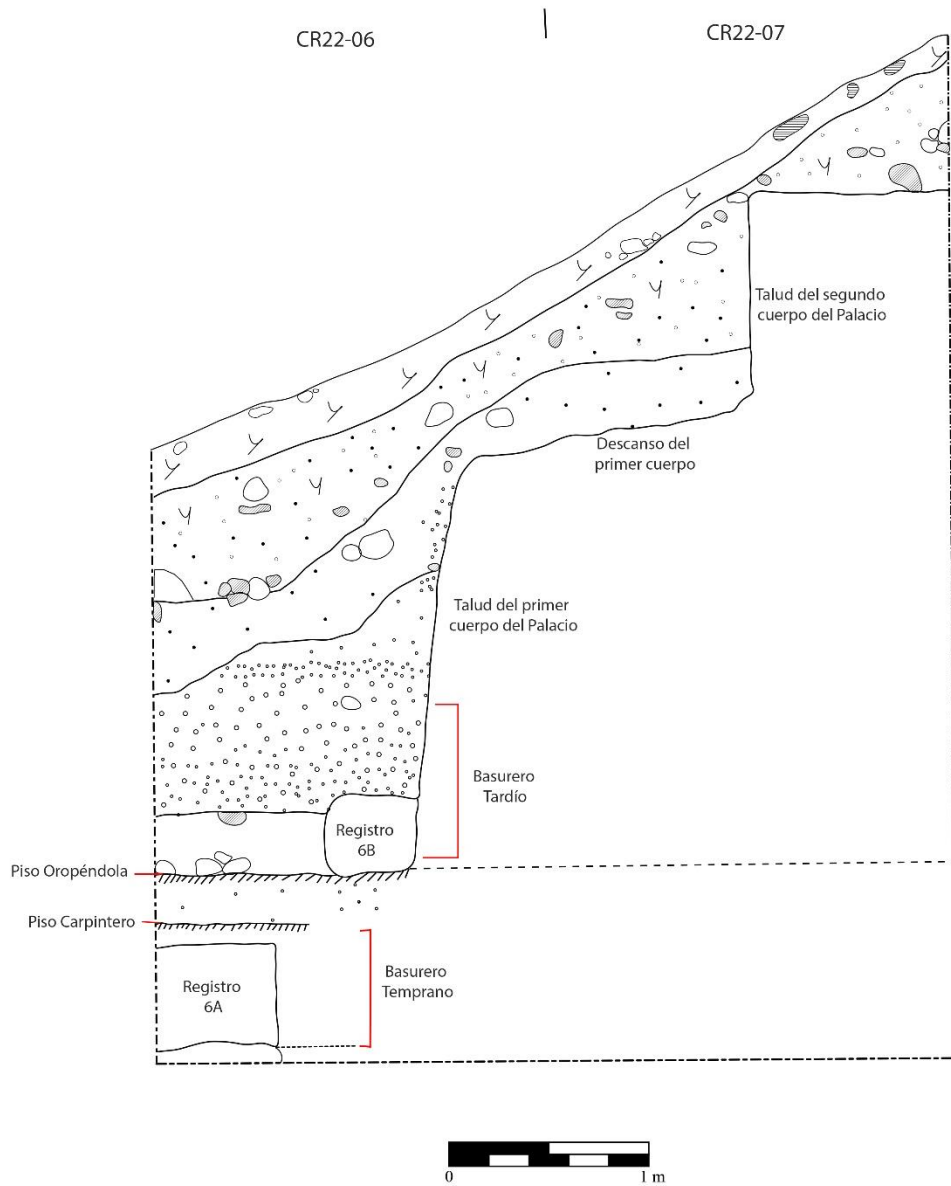
Tabla 4. Nomenclatura de pisos de Basurero 1

Piso Oropéndola	Piso que recubría basurero 1B (Basurero Medio (1B))
Piso Carpintero	Piso que recubría basurero 1A (Basurero Temprano (1A))

El primer estrato y lote de ambas unidades consistió en la capa orgánica de humus conformada por tierra café oscura con abundante raíz y raicilla. El nivel dos lo compuso el estrato de derrumbe. Esta matriz la conformaba una mezcla de tierra color café oscuro con raíces y piedra grande, este incorporó los lotes 2 y 3. El tercer nivel se trataba del derrumbe mezclado con Basurero Tardío (1C); se le denominó así por el incremento de material al ser excavado y el cambio de color de tierra. Este estrato presentó tierra café clara con abundante piedra tallada y estuco proveniente del área de noroeste del Palacio. Este nivel incorporó los lotes 4 y 5.

Los siguientes niveles aplicaron únicamente para la Unidad CR22-6, debido al hallazgo del descanso del primer cuerpo del Palacio en la Unidad CR22-7, donde finalizó la excavación. Ya en la Unidad CR22-6, el cuarto nivel correspondió al Basurero Tardío (1C), que consistió en tierra grisácea y piedrín, e incorporó los lotes 6, 7, 8 y 9. De éste se recuperaron 862 tiestos y su grosor fue de 0.95 m. Se realizó un registro al norte de la unidad (CR22-6B) (Figura 19) para poder recuperar más material cerámico. Este midió 0.50 x 0.40 m y 0.50 m de profundidad. El lote 9 (CR22-6-4-9) se trataba del área del basurero ubicada directamente sobre el Piso Oropéndola y estuvo compuesto por tierra gris.

Figura 18. Perfil norte de las unidades CR22-6 y CR22-7



(Digitalizado y dibujado por A. González, 2019).

Figura 19. Registro Basurero 1C.



(Fotografía por A. González)

El quinto nivel se estableció en el Piso Oropéndola, el cual contaba con un grosor de 0.15 m. El sexto nivel se estableció en el Piso Carpintero, que recubría el Basurero Temprano (1A) (Figura 20) y contó con un grosor de 0.06 m. Cabe mencionar que entre los pisos Oropéndola y Carpintero se recuperaron 36 fragmentos de cerámica, lo que podría ser parte del inicio del Basurero Medio (1B), el cual se origina desde la base del talud del primer cuerpo del Palacio.

El Basurero Medio (1B) ya había sido identificado por Morales durante la Temporada 2016, en la Unidad CR22-5 (CR22-5-4-1), donde se recuperaron 431 tiosos cerámicos y consistía en tierra café arcillosa, con un grosor de 0.20 m (Morales 2017: 131). Sin



embargo, en la Temporada de 2019 apenas fue identificado, por lo que se pudo determinar entonces que el Basurero Medio (1B) se origina desde el primer cuerpo de Palacio, aumentando su grosor hacia el oeste.

La Tabla 5 resume los niveles y lotes de las tres temporadas:

Tabla 5. Comparación de niveles de todas las unidades excavadas sobre el Basurero 1.

	CR22-1	CR22-3	CR22-4	CR22-5	CR22-6	CR22-7
Humus	Nivel 1	Nivel 1	Nivel 1	Nivel 1	Nivel 1	Nivel 1
Derrumbe	Nivel 2	Nivel 2	Nivel 2	Nivel 2	Nivel 2	Nivel 2
Derrumbe mezclado con Basurero 1C	Nivel 2		Nivel 2		Nivel 3	
Basurero 1C	Nivel 3	Nivel 3	Nivel 3	Nivel 3	Nivel 4	
Piso Oropéndola					Nivel 5	
Basurero 1B	Nivel 3	Nivel 4	Nivel 4	Nivel 4		
Piso Carpintero					Nivel 6	
Basurero 1 <sup>a</sup>	Nivel 5	Nivel 5	Nivel 5	Nivel 5	Nivel 7	

Figura 20. Piso Oropéndola y Carpintero sobre Basurero Temprano (1ª)



(Fotografía por A. González)

Debajo del piso Carpintero se halló el Basurero Temprano (1A) e incorporó los lotes 12 y 13. Se excavó un registro al norte de la unidad (CR22-6A), con una matriz de barro oscuro con piedrín (Figura 21). Dentro de este nivel se hallaron 525 tiestos cerámicos y tuvo un grosor de 0.95 m. La finalidad de hacer el registro fue poder recuperar más material cerámico, dicho registro midió 0.50 x 0.50 m y 0.50 m de profundidad. Cabe mencionar que al realizar el registro al norte se pudo observar que este basurero continúa hacia el este, es decir, bajo el piso Carpintero y por debajo del talud del cuerpo del Palacio. Por falta de tiempo no se pudo excavar más.

Figura 21. Registro en Basurero 1<sup>a</sup>

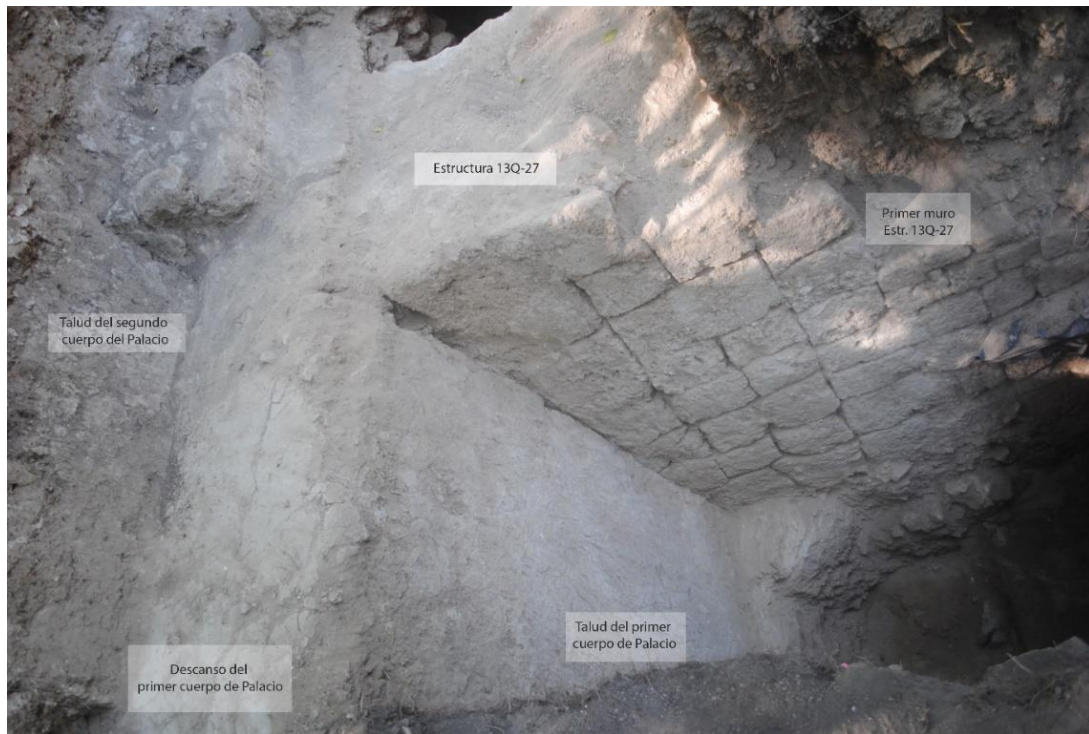


(Fotografía por A. González).

Por último, el octavo estrato consistió en la roca madre, dónde no se recuperó material arqueológico. El suelo era de color café, duro y arcilloso, con piedra grande.

Cabe resaltar que el área del Basurero 1 se encontraba justo al lado del muro norte de la Estructura 13Q-27, por ende, una parte del muro fue expuesta. La mampostería de este muro consistió en piedra grande tallada y en su mayoría, se encontraban recubiertas por una capa delgada de estuco (Figura 22). Se determinó que este se encuentra asentado sobre el piso Oropéndola y no continúa por debajo del talud del primer cuerpo de Palacio. Es decir, que la Estructura 13Q-27 fue construida sobre el Basurero Medio (1B). Este muro se catalogó como el primer cuerpo de la Estructura 13Q-27 (más adelante se explicará esta deducción). Del lado NE el muro presentó una altura de 2.10 m, la cual fue disminuyendo hacia el lado NO, donde midió 2.08 m de altura.

Figura 22. Muro norte de la Estructura 13Q-27



(Fotografiado por A. González).

#### B. Excavaciones en el Basurero 3 (Unidades CR22-8, CR22-9, CR22-10 y CR22-12).

La Estructura 13Q-27 funcionó como una entrada del lado oeste del Palacio y posteriormente fue utilizada como depósito de desechos (Basurero 3). Se excavaron cuatro unidades en el área del Basurero 3: La primera (CR22-8) de 1 x 7 m, ubicada al sur de las unidades CR22-6 y CR22-7; la segunda (CR22-9) de 2 x 2 m, al sur de la Unidad CR22-8; la tercera (CR22-10) de 2 x 2 m, al oeste de la Unidad CR22-9 y al sur de la Unidad CR22-12; y la cuarta (CR22-12) de 2 x 1 m, al sur de la Unidad CR22-6 y al oeste de la Unidad CR22-8.

A continuación, la Tabla 6 resume las unidades excavadas en el Basurero 3:

Tabla 6. Descripción detallada de las unidades del Basurero 3, Operación CR22.

<b>Operación CR22 (Basurero 3)</b>			
<b>Unidades</b>	<b>Orientación (EN)</b>	<b>Dimensiones</b>	<b>Año de excavación</b>
CR22-2	7°	1 x 7 m	2016
CR22-8	7°	2 x 2 m	2018
CR22-9	7°	2 x 2 m	2018
CR22-10	7°	2 x 2 m	2018
CR22-12	7°	2 x 1 m	2018

Uno de los objetivos principales fue identificar la unión entre las estructuras 13Q-4 y 13Q-27, así como recuperar material proveniente del Basurero 3. Las unidades variaron en cantidad de niveles y lotes excavados estratigráficamente, así mismo sus dimensiones.

Las excavaciones en el Basurero 3 identificaron que éste se encontraba sobre la Estructura 13Q-27 y el descanso del primer cuerpo del basamento del Palacio. Es por eso que el material del depósito se encontró mezclado con el derrumbe proveniente del Palacio. Las unidades excavadas sobre la Estructura 13Q-27 identificaron seis estratos: humus, derrumbe, derrumbe mezclado con basurero, basurero, arquitectura y relleno. Los niveles variaron según las unidades.

El primer estrato y lote de las unidades (Nivel 1) consistió en la capa orgánica de humus conformada por tierra café oscura con abundante raíz y raicilla. En el nivel dos se localizó parte del derrumbe, este estrato presentó tierra café clara con abundante piedrín y piedra grande de relleno. El tercer estrato (Nivel 3) fue asignado al derrumbe mezclado con basurero, esta matriz estuvo compuesta por una mezcla de tierra color café oscuro con abundante piedrín. El basurero se identificó por el incremento de material al ser excavado y la mezcla con restos de estuco.

El cuarto nivel correspondió al Basurero 3, que consistió en tierra grisácea y se recuperaron 678 tiosos cerámicos y abundante cantidad de huesos de fauna y humanos. Este depósito se encontraba directamente sobre la superestructura de 13Q-27. Al limpiar todo el basurero se halló una pequeña banqueta o escalón en el lado norte de la Unidad



CR22-8. Esta se encontraba estucada y en algunas partes el estuco se encontró muy erosionado. La banqueta se encontraba sobre el piso del descanso del primer cuerpo del basamento del Palacio y estaba adosada al muro del segundo cuerpo. Su fachada oeste estuvo compuesta por tres piedras estucadas que daban soporte a la misma. Su ubicación fue directamente en la unión entre el descanso del primer cuerpo del Palacio y el primer cuerpo de la Estructura 13Q-27. (Figura 22).

El quinto estrato (Nivel 5) consistió en tierra café rojiza, dónde se ubicó la unión del talud del segundo cuerpo del Palacio con la Estructura 13Q-27 (Figura 23). El sexto nivel fue identificado como el relleno bajo el talud del segundo cuerpo del Palacio, consistió en tierra café compactada de color oscuro y bastante dura, con piedra grande. Al remover el relleno se localizó el piso de la Estructura 13Q-27.

En la superficie de la Estructura 13Q-27 se identificó un segundo cuerpo o superestructura a manera de plataforma baja. En 2019 se excavó 2.40 x 4 m de la superestructura, revelando que tenía una forma cuadrangular. Sobre esa plataforma se encontraron cinco piedras alineadas, las cuales posiblemente formaron parte de otro rasgo arquitectónico. Sin embargo, durante esta temporada no fue posible investigar más.

Figura 23. Segundo cuerpo de Palacio y Estructura 13Q-27



(Fotografía por A. González)

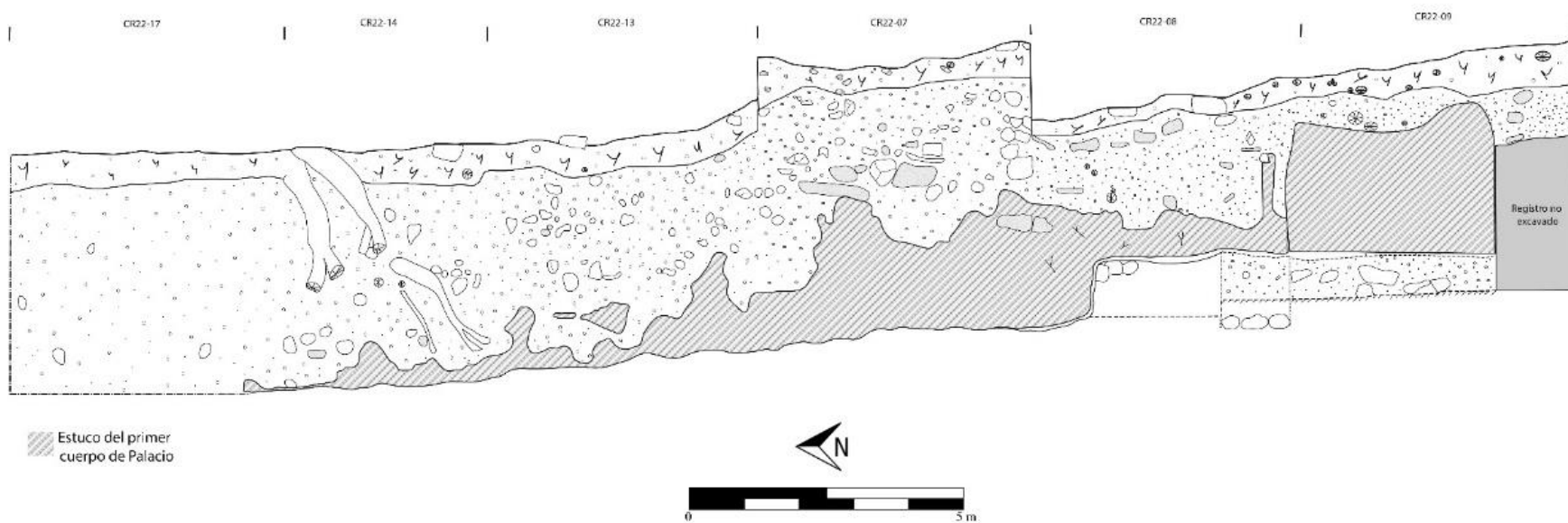
## C. Interpretación de otros rasgos y contextos asociados a los basureros del Palacio

Para comprender mejor el espacio que rodea el área de los basureros 1 y 3, se realizaron excavaciones a lo largo del descanso del primer cuerpo de Palacio, así como el relleno de la Estructura 13Q-27 y el adosamiento del segundo cuerpo del Palacio con la Estructura 13Q-27.

### 1. Excavaciones en el primer cuerpo de Palacio.

Se realizaron tres unidades que expusieron un área de 6.50 m<sup>2</sup> (incluyendo la unidad CR22-7) del descanso del primer cuerpo del basamento del Palacio. Todas las unidades se conformaron por dos estratos: humus y derrumbe sobre el primer cuerpo. El primer estrato consistió en tierra color café oscura con abundante raíz y raicilla, denominada humus. El siguiente nivel (nivel 2) identificado como el derrumbe proveniente del Patio Oeste de Palacio, consistió en tierra color café claro mezclado con pedrín y abundante piedra grande. En la Figura 24 se observa el dibujo realizado del perfil este de las unidades CR22-9, CR22-8, CR22-7, CR22-14 y CR22-17.

Figura 24. Perfil este de las unidades CRR22-09, CR22-08, CR22-07, CR22-13, CR22-14 y CR22-17



(Dibujado y digitalizado por A. González, 2019)



La finalidad de las unidades fue exponer el primer cuerpo de Palacio y la conservación del estuco. Al ser expuestas en su totalidad, se observó que conforme se iba alejando de la Estructura 13Q-27, su conservación era menor y el estuco se encontraba fragmentado hasta casi desaparecer. Esta mala conservación fue afectada por las raíces de un árbol cercano al área y posiblemente, el derrumbe (Figura 25).

Figura 25. Primer cuerpo del Palacio



(Fotografía por A. González)

## 2. Excavaciones en el relleno de la Estructura 13Q-27.

Al realizar las excavaciones sobre la Estructura 13Q-27, específicamente en la Unidad CR22-12, se encontraron piedras que parecían estar sobrepuestas (Figura 26). Se decidió retirar las piedras y se observó que se encontraban más, por lo que formaban parte del relleno de la Estructura 13Q-27. Cabe mencionar que al remover las piedras se fue encontrando material arqueológico, cerámica y huesos de fauna como parte del relleno de la estructura. Se decidió continuar la excavación hasta encontrar piso o algún rasgo que ayudará a comprender mejor el relleno.

Figura 26. Relleno de Estructura 13Q-27



(Fotografía por A. González)

Por tratarse de relleno (Figura 27), se definió únicamente un nivel (3), incorporando los lotes 5 y 6. Consistió en tierra café oscura compactada con abundante piedra de relleno y una profundidad de 1.52 m. Las piedras se fueron quitando con cuidado hasta que se llegó al Piso Oropéndola (Figura 28), el cual se encontraba muy erosionado debido a las grandes

pedras. Con esto se estableció entonces que la Estructura 13Q-27 fue construida sobre el Piso Oropéndola.

Figura 27. Relleno de Estructura 13Q-27, Unidad CR22-12



(Fotografía por A. González)

Figura 28. Piso Oropéndola bajo relleno de la Estructura 13Q-27



(Fotografía por A. González)

3. Excavaciones en el talud del segundo cuerpo del Palacio y superficie de la Estructura 13Q-27 (CR22-15 y CR22-16).

Se realizaron dos unidades sobre el talud del segundo cuerpo del Palacio y su adosamiento con la Estructura 13Q-27, lo que permitió definir el arranque del segundo



cuerpo del Palacio. En la Unidad CR22-16 (Figura 29) se excavó únicamente la capa de humus, ya que se encontraron piedras de la parte superior del segundo cuerpo que de ser retiradas colapsaría una parte del talud, por lo que no se excavó más en dicha unidad. La Unidad CR22-15 se conformó por cuatro estratos: humus, derrumbe, Basurero 3 y relleno del primer cuerpo del Palacio.

Figura 29. Derrumbe del segundo cuerpo de Palacio Unidad CR22-16



(Fotografía por A. González)

Cabe mencionar que la Unidad CR22-15 no fue muy amplia, ya que la mayor parte de la unidad estaba ocupada por el talud del segundo cuerpo del Palacio. El primer estrato (Nivel 1) denominado humus, consistió en tierra café oscura con abundante raíz y raicilla. El nivel dos lo compuso el estrato de derrumbe. Esta matriz estuvo conformada por una mezcla de tierra café amarillenta con piedras grandes. El tercer estrato (Nivel 3) fue identificado como derrumbe mezclado con el Basurero 3, dado el incremento de material al ser excavado y el cambio de color de tierra. Este estrato presentó tierra café oscuro con pedrín. El cuarto estrato (CR22-15-3-4) tuvo un grosor de 0.20 m y su matriz estaba compuesta de tierra grisácea. Este estrato fue identificado como el Basurero 3 sobre la Estructura 13Q-27, cuyos materiales provinieron de la zona occidental del Palacio. En este

nivel se recuperó uno de los artefactos más importantes de este rasgo que fue un tintero completo hecho con la mitad de un caracol marino (Figura 30).

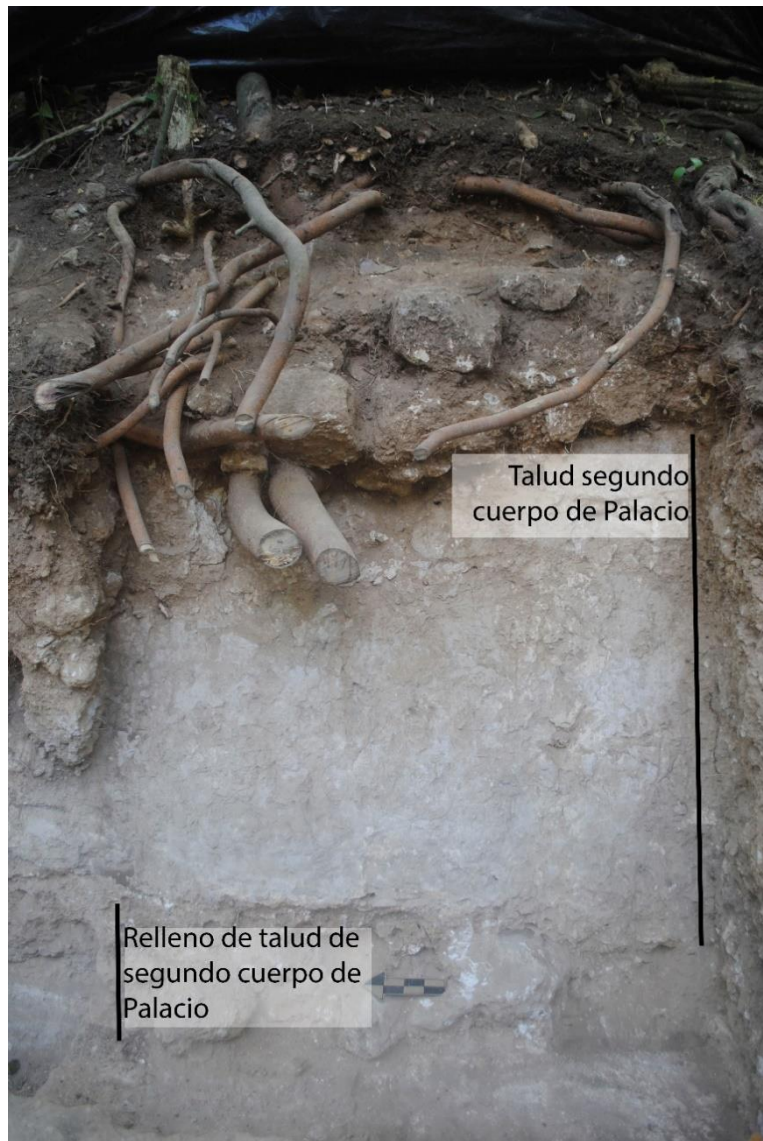
Figura 30. Tintero fabricado con la mitad de un caracol marino.  
a) exterior del tintero b) interior del tintero



(Fotografías por A. González)

El quinto estrato (Nivel 4) consistió en tierra café rojiza, la cual formaba parte del relleno del talud del segundo cuerpo del Palacio (Figura 31). La unidad CR22-15 expuso 1.50 x 1.60 m del talud del segundo cuerpo.

Figura 31. Relleno del muro del segundo cuerpo del Palacio



(Fotografías por A. González)

En el arranque del talud del segundo cuerpo del Palacio se encontró una mezcla de cal, posiblemente un piso sumamente erosionado, el cual conectaba el talud con el piso de la Estructura 13Q-27. Bajo este piso se ubicó un relleno, bajo el cual se localizó otro piso, el cual fue nombrado “piso 2” de la Estructura 13Q-27.

#### D. Secuencia de basureros en la fachada noroeste del Palacio

En términos generales el área noroeste del Palacio se puede definir como el área de depósito más temprana encontrada hasta el momento, la cual se encuentra dividida en tres etapas que brindan información sobre la relación entre el Palacio y la Estructura 13Q-27. El depósito más temprano fue nombrado “Basurero 1” y se conformó por tres etapas: Basurero Tardío (1C), Basurero Medio (1B) y Basurero Temprano (1A).

El Basurero Temprano (1A) se localizó sobre roca madre y se extiende bajo el primer cuerpo del Palacio. Su grosor fue de 0.74 m. Sobre este basurero se encontró el piso Carpintero, bastante erosionado. Justo sobre el piso Carpintero se ubicó el piso Oropéndola. El piso Oropéndola también fue encontrado bajo el relleno de la Estructura 13Q-27, confirmando que este edificio se asienta sobre ese piso, al igual que el primer cuerpo del Palacio. Encima del piso Oropéndola se ubicó el Basurero Tardío (1C), que tuvo un grosor de 1.10 m.

Durante la excavación del Basurero Tardío (1C) se expuso el muro norte del basamento principal de la Estructura 13Q-27, cuya mampostería presentaba bloques de piedra grandes alineados entre sí, y en algunos casos, fueron encontradas con una delgada capa de estuco. Este muro se unió con el talud del primer cuerpo del Palacio. Sobre esta unión se encontró una pequeña banqueta que se encontraba adosada al talud del segundo cuerpo del Palacio.

Sobre la Estructura 13Q-27 se encontró el Basurero 3, ubicado sobre el piso de dicha estructura. Durante la excavación del basurero se expusieron partes del piso estucado que recubría la estructura, aunque estuvo erosionado o ausente en la mayoría del área excavada, posiblemente por las piedras de derrumbe. También se expuso una superestructura en forma de plataforma cuadrangular baja, la cual fue cubierta por el Basurero 3.

## X. Resultados del análisis cerámico

El análisis cerámico se enfocó en el material proveniente de las excavaciones realizadas en los basureros del Palacio en 2019 y reanálisis de las excavaciones realizadas en 2016 y 2017. Este contexto es representado por la Operación CR22, que incluye las unidades CR22-1, CR22-3, CR22-4, CR22-5, CR22-6, CR22-7, CR22-8, CR22-9, CR22-10, CR22-11, CR22-12, CR22-13, CR22-14, CR22-15, CR22-16 y CR22-17.

Para esta investigación se analizaron dos basureros. El Basurero 1, siguiendo la nomenclatura de González (2020), corresponde al Basurero B según Lamoureux-St-Hilaire (2018), y se ubica en el lado norte de la Estructura 13Q-27, justo en la unión con la Estructura 13Q-4. Este fue conformado por las unidades en el lado norte de la trinchera CR22-1 y las unidades CR22-3, CR22-4, CR22-5, CR22-6 y CR22-7. El Basurero 3, siguiendo la nomenclatura de González (2020) o Basurero D, en la nomenclatura de Lamoureux-St-Hilaire (2018), se encontró ubicado sobre la Estructura 13Q-27 y fue excavado en el centro de la trinchera CR22-1 y unidades CR22-2, CR22-8, CR22-9, CR22-10, CR22-12, CR22-15 y CR22-16. Por tener un mayor interés en el Basurero 1, la Unidad CR22-2 no fue reanalizada en su totalidad, únicamente fueron reanalizados los niveles de humus y derrumbe.

Las unidades CR22-13, CR22-14 y CR22-17 diagnosticaron el primer cuerpo del Palacio y estas no llegaron a más que derrumbe. La Unidad CR22-11 fue analizada y se tomó en cuenta para los resultados totales de la muestra, sin embargo, por ser parte de un posible cuarto, no se tomó como parte de los resultados de la muestra.



Para el análisis cerámico se utilizaron dos sistemas de clasificación cerámica: Tipovariedad y Modal (ver capítulo V). Este fue realizado con el apoyo de Francisco Saravia durante 2019 y 2020. La cerámica total registrada fue de 15,319 tiestos cerámicos (Figura 32), de los cuales fueron descartados tiestos pequeños (tamaño menor a 2 cm) y tiestos con superficie totalmente erosionada. Debido a estos procesos de descarte la muestra se redujo a 13,207 tiestos clasificables. Además de la frecuencia, se cuantificó el peso para cada lote. En la categoría de Indeterminados fueron incluidos tiestos que no se pudieron identificar tipológicamente, especialmente los estucados no determinados, pero que su forma permitió obtener datos modales tales como bordes, bases y cuerpos específicos.

Para la interpretación cronológica se utilizaron los cinco complejos definidos hasta el momento por Parris (2016) para el Proyecto Regional Arqueológico La Corona:

- *Naah* – Preclásico Tardío
- *Ochiib* – Clásico Temprano
- *Waay* – Clásico Tardío (dividido en dos)
- *Paat* – Clásico Terminal
- *Bih* – Posclásico

## A. Operación CR22

La operación CR22 se refiere específicamente a los basureros 1 y 3, con mayor énfasis en el Basurero 1 y sus tres temporalidades. Sin embargo, los datos presentados a continuación toman en cuenta el análisis de toda la operación CR22, que incluye los dos basureros, el material obtenido sobre los basureros y el posible cuarto.

El material cerámico estuvo distribuido en 92 lotes, provenientes de 17 unidades de excavación y cinco extensiones; registrando como fue mencionado anteriormente 15,319 tiestos (Figura 32 y 33), de los cuales fueron descartados 1,035 tiestos pequeños (6.59%) y 895 tiestos erosionados (5.90%). La muestra tipológica de 13,207 tiestos incluyó un proceso más detallado, con registros de atributos clasificados en: forma, tratamiento de

superficie y análisis de pasta. La categoría de Indeterminados sumó un total de 182 tuestos (1.17%).

Figura 32. Porcentajes descriptivos de la muestra analizada de la operación CR22

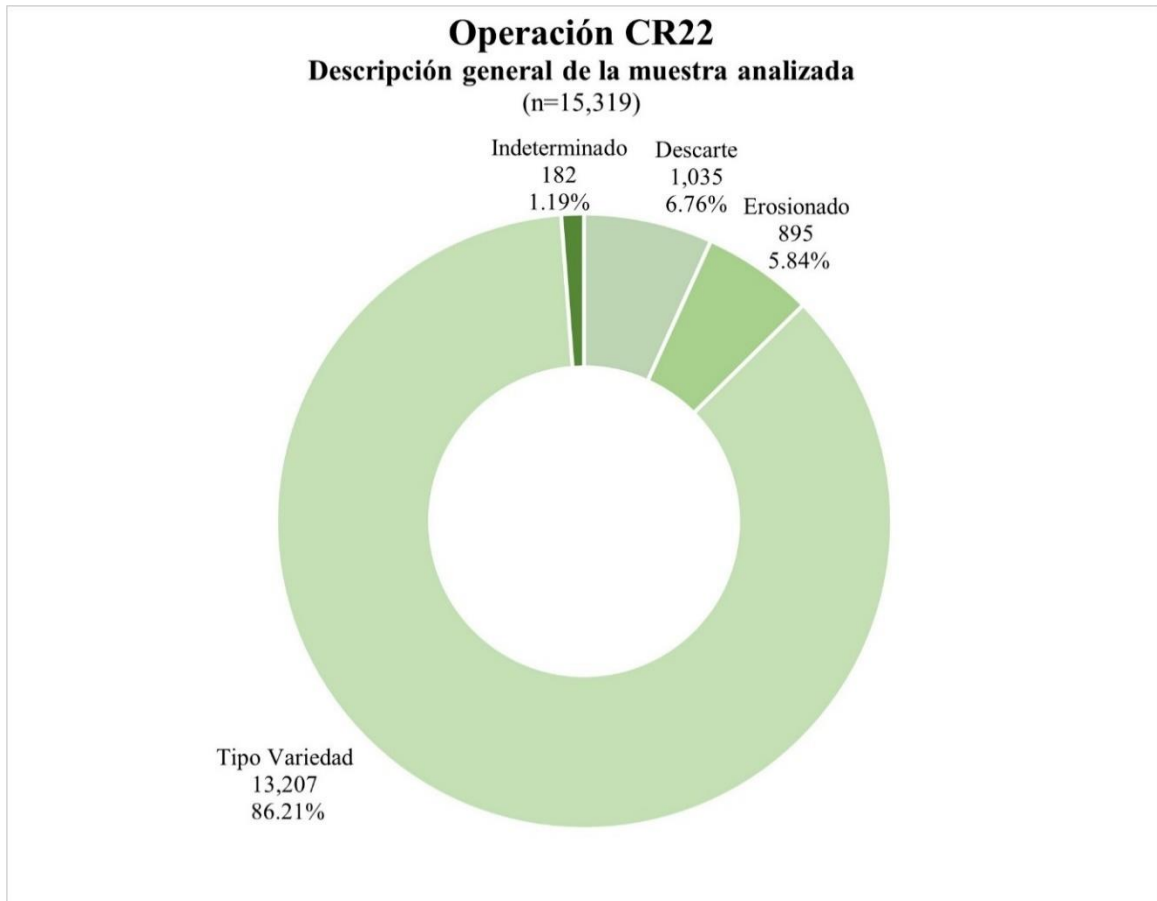
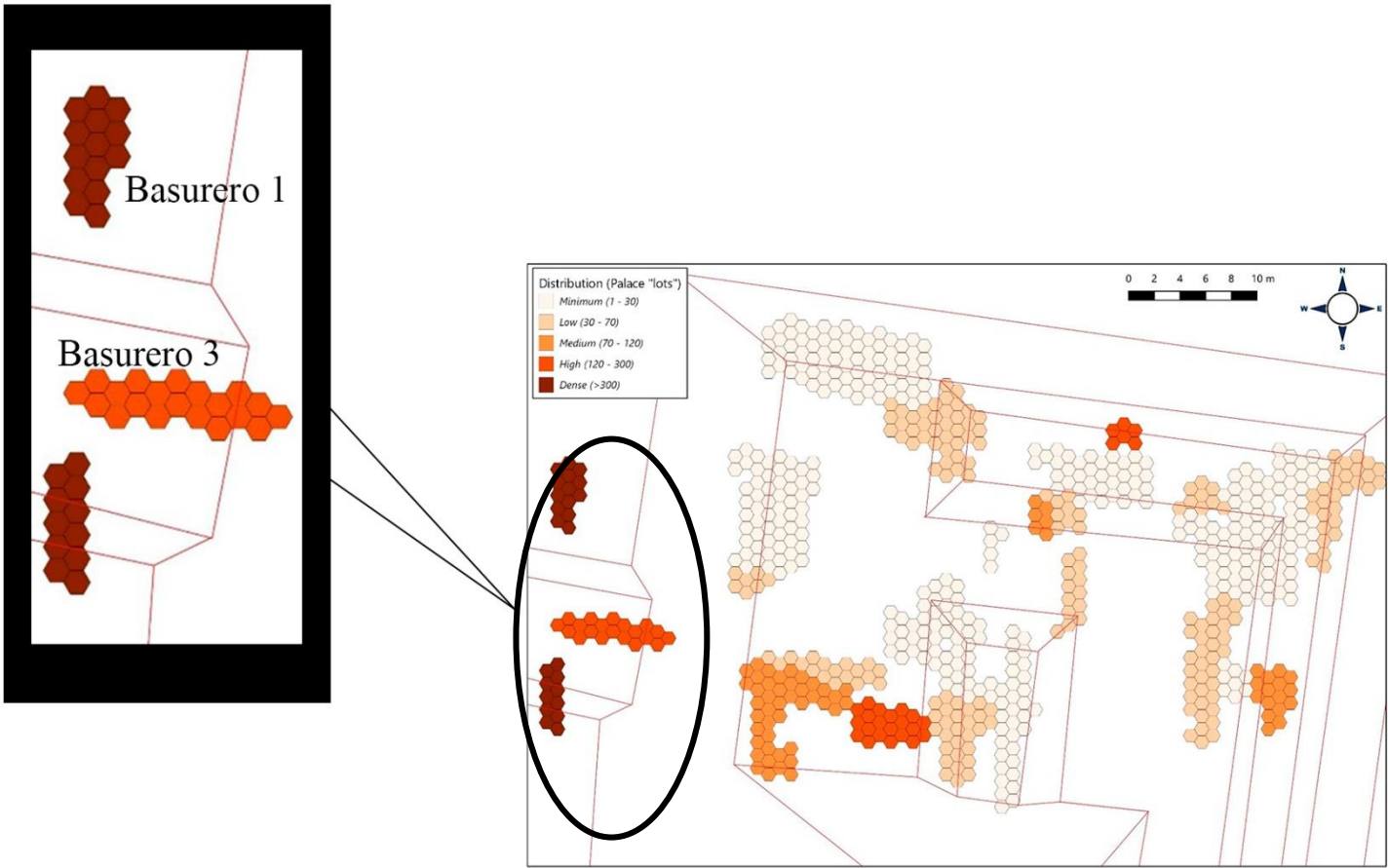


Figura 33. Mapa de distribución de unidades excavadas en el área norte del Palacio (13Q-4), indicando la densidad de material cerámico

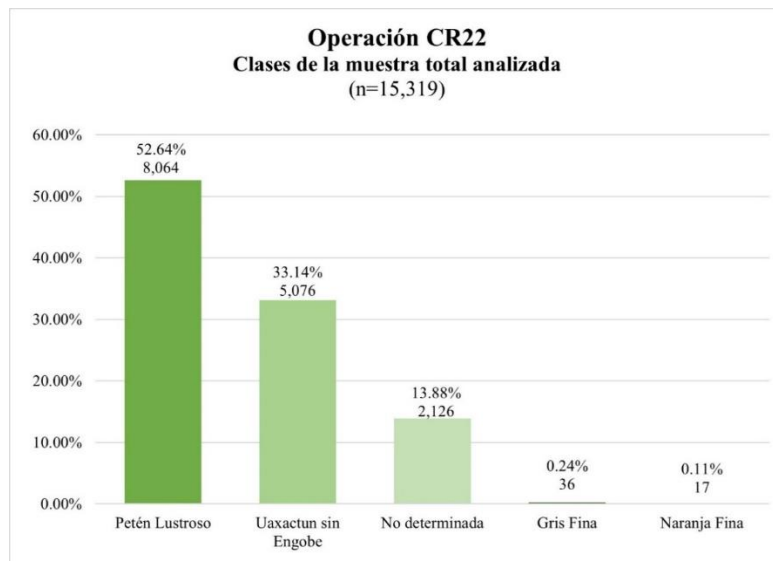


(Mapa por Marcello Canuto)

Los contextos de la muestra total fueron clasificados de acuerdo a su naturaleza estratigráfica, tomando en cuenta aspectos culturales y de deposición. Fueron definidas cuatro categorías: humus (16 lotes), derrumbe (31 lotes), relleno (12 lotes) y basurero (33 lotes).

Con relación a las clases cerámicas (Figura 34), se estableció que la más frecuente es Petén Lustroso (52.64%), que incluye los monocromos con engobe y los polícromos, incluyendo Clásico Temprano y Clásico Tardío. La segunda, fue Uaxactún sin engobe (33.14%), que abarca los grupos Quintal, para Clásico Temprano y Cambio, para Clásico Tardío. En tercero, se encontró la clase no determinada con un porcentaje menor a 10% en las cuatro categorías estratigráficas; es importante recalcar que la muestra se encuentra bien conservada, sumando un 13.88% de la misma. Por último, el tipo Gris y Naranja Fina, fueron diagnósticos cronológicos de la última etapa del Clásico Tardío y Clásico Terminal, con porcentajes bajos de 0.24% y 0.11%, respectivamente. Estas clases van a ser explicadas (más adelante) según cada basurero, es por ello que algunos porcentajes van a variar, ya que la muestra total estará dividida según el depósito.

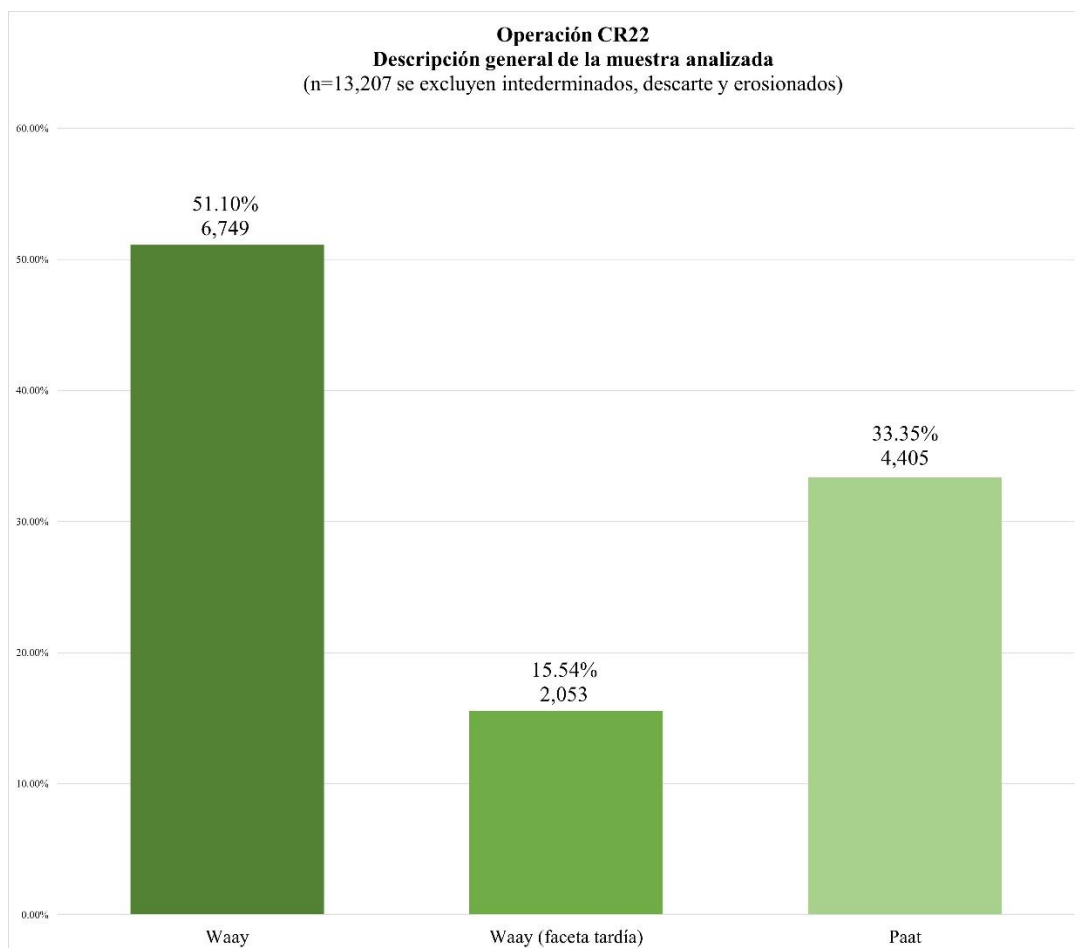
Figura 34. Porcentajes descriptivos de las clases cerámicas de la operación CR22



A nivel cronológico (Figura 35), la muestra total presenta tres complejos cerámicos. La ocupación del Clásico Temprano, correspondiente al Complejo *Ochib*; ambas facetas del *Waay* (Clásico Tardío); y *Paat* (Clásico Terminal). Para fechar los contextos, se fundamentó en el precepto *terminus post quem*, que indica que el material más tardío es el que fecha el contexto, aunque sea solo un ejemplar (Lamoureux-St-Hilaire 2018).

El Complejo *Ochib* se encontró mezclado con Complejo *Waay*, y, basándose en el precepto ya explicado, se fecha al período más tardío, en este caso el Complejo *Waay*. El complejo *Waay* predominó con un 51.10%, seguido por *Paat* con un 33.35%. La faceta tardía de *Waay* se presenta con un 15.54%.

Figura 35. Resumen porcentual de los complejos identificados en la Operación CR22.



## 1. Basurero 1.

Los siguientes datos presentados son exclusivamente para los basureros 1 y 3. Para el Basurero 1 se utilizará la nomenclatura establecida en 2019 por Barrientos y González (Tabla 7).

Tabla 7. Nomenclatura de temporalidades de Basurero 1.

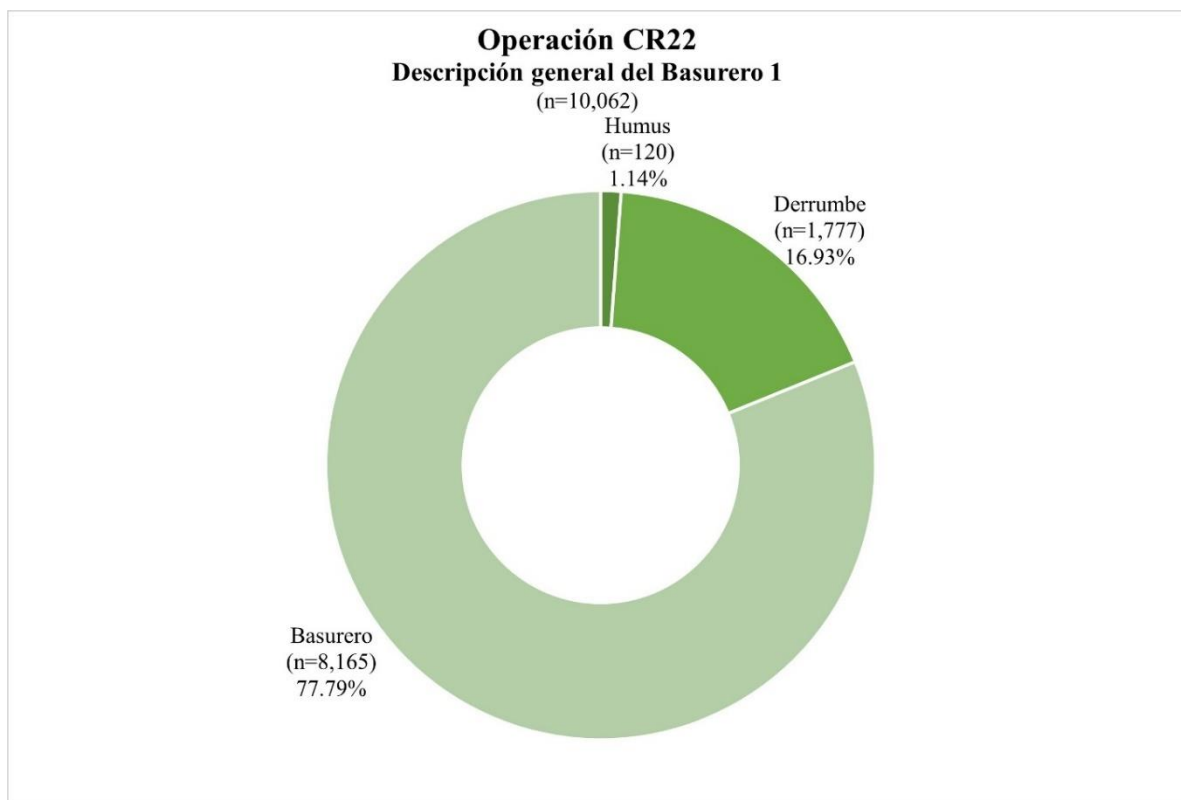
1A	Basurero Temprano
1B	Basurero Medio
1C	Basurero Tardío

La Tabla 8 resume los niveles de cada basurero según las excavaciones. La Figura 36 identifica la muestra total del Basurero 1. Se registraron 10,062 tiestos cerámicos de todos los lotes analizados; de los cuales el 1.14% (n=120) se encontraban en el lote de humus; el derrumbe conformó el 16.93% (n=1,777) y la muestra del basurero, incluyendo las tres temporalidades (Basurero Temprano (1A), medio y tardío) fue de 77.79% (n=8,165). La categoría de basurero fue la más alta en el basurero 1, seguido de derrumbe y, por último, humus.

Tabla 8. Comparación de niveles de todas las unidades excavadas sobre el Basurero 1.

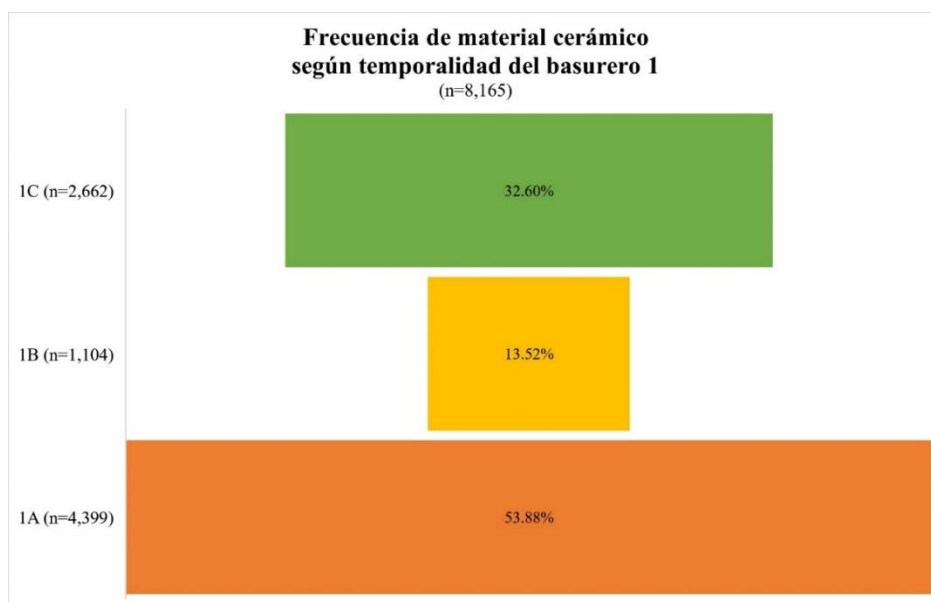
	CR22-1	CR22-3	CR22-4	CR22-5	CR22-6	CR22-7
Humus	Nivel 1	Nivel 1	Nivel 1	Nivel 1	Nivel 1	Nivel 1
Derrumbe	Nivel 2	Nivel 2	Nivel 2	Nivel 2	Nivel 2	Nivel 2
Derrumbe mezclado con 1C	Nivel 2		Nivel 2		Nivel 3	
Basurero 1C	Nivel 3	Nivel 3	Nivel 3	Nivel 3	Nivel 4	
Piso Oropéndola					Nivel 5	
Basurero 1B	Nivel 3	Nivel 4	Nivel 4	Nivel 4		
Piso Carpintero					Nivel 6	
Basurero 1A	Nivel 4, 5 y 6	Nivel 5	Nivel 5	Nivel 5	Nivel 7	

Figura 36. Muestra total del Basurero 1 y su distribución por contextos identificados



El material cerámico del Basurero 1 consta de 8,165 tuestos cerámicos, incluyendo erosionados y descarte. Se calculó la frecuencia por cada temporalidad del Basurero 1, determinando que la mayor frecuencia del material se encontraba en el Basurero Temprano (1A) con el 53.88%; el segundo, fue el Basurero Tardío (1C) 32.60% y, por último, el basurero con menor cantidad de material fue el Basurero Medio (1B), con un porcentaje de 13.52% de la muestra total (Figura 37).

Figura 37. Frecuencia de material cerámico según temporalidad del Basurero 1



Así mismo, se calculó la densidad para comprender la relación entre la cantidad del material recuperado y el volumen excavado de cada uno de los basureros (Tabla 9 y Figura 38).

Tabla 9. Frecuencia de material cerámico según temporalidad del Basurero 1

	Volumen excavado (m <sup>3</sup> )	Masa (tiestos recuperados)	Densidad (tiestos por m <sup>3</sup> )
Basurero Tardío (1C)	12.38	2662	215
Basurero Medio (1B)	1.85	1104	596
Basurero Temprano (1A)	4.18	4399	1,051

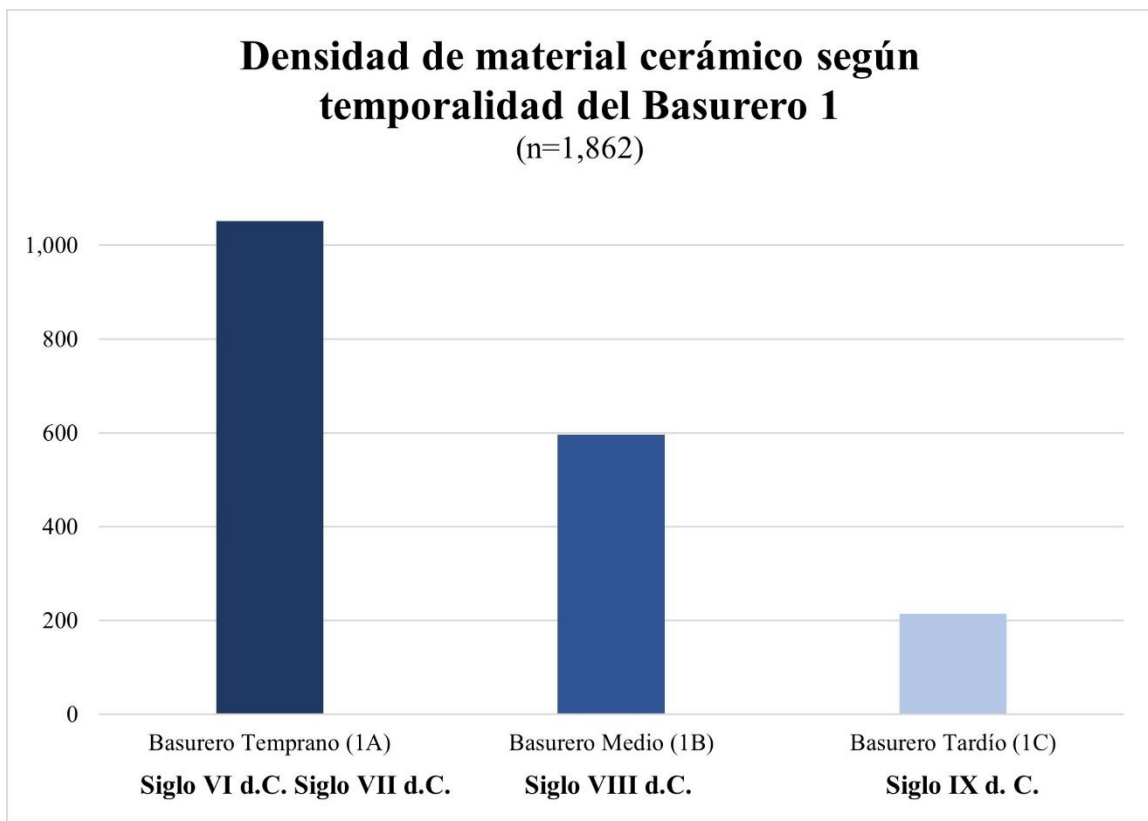
La densidad es inversamente proporcional al volumen, es decir, mientras menor sea el volumen ocupado por determinada masa (cantidad de tiestos), mayor será la densidad. El volumen más bajo fue el del Basurero Medio (1B), con 1.85 m<sup>3</sup> excavados, donde se recuperó una cantidad total de material de 1,104. Seguido, el Basurero Temprano (1A) con volumen de 4.1844 m<sup>3</sup> y 4,399 tiestos. Por último, el Basurero Tardío, fue el que presentó mayor volumen con 12.382 m<sup>3</sup> y 2,662 tiestos cerámicos. Con estos resultados se pudo



determinar que el Basurero Temprano (1A) presenta mayor densidad ya que presenta mayor cantidad de cerámica en un espacio menor, es decir, 1,051 tiestos por m<sup>3</sup>; el Basurero Medio (1B) posee 596 tiestos cerámicos por m<sup>3</sup>; y el Basurero Tardío 215 tiestos cerámicos por m<sup>3</sup>. Por lo tanto, según los resultados el Basurero Temprano (1A) es el depósito más denso comparado con el Basurero Medio (1B) y Tardío.

El Basurero 1 ha sido el depósito más denso de material encontrado, no solo en el Palacio, sino posiblemente en todo el sitio de La Corona, ya que comparado con el depósito del *chultun* de la Estructura 13R-10, analizado por Parris (notas de laboratorio, 2021) la cantidad de material total fue de 5,587 tiestos, con medidas de 3.85 x 2.64 m, da un total de densidad 769 tiestos por m<sup>3</sup>, comparada con el Basurero Temprano (1A) de 1,051 tiestos por m<sup>3</sup>; el Basurero Medio (1B) posee 596 tiestos cerámicos por m<sup>3</sup>; y el Basurero Tardío (1A) 215 tiestos cerámicos por m<sup>3</sup>.

Figura 38. Densidad de material cerámico según cada basurero.

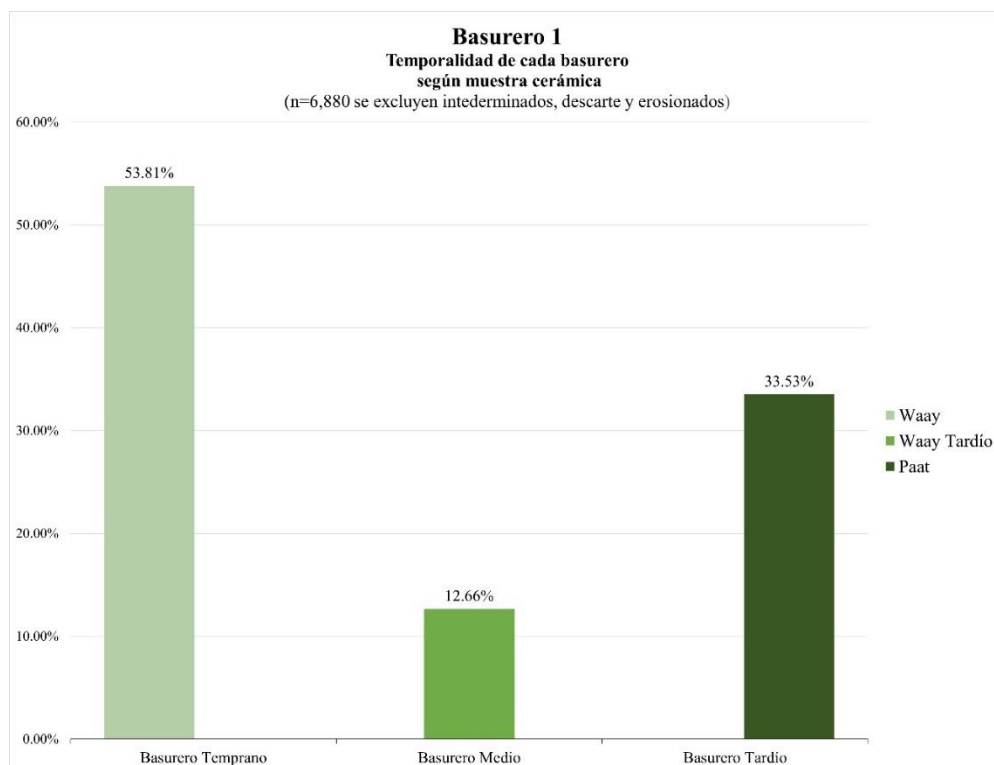


La Figura 39 y la Tabla 10 presenta los grupos cerámicos según el Complejo al que pertenece cada tiesto cerámico del basurero 1 y sus temporalidades: El Complejo *Ochib* se encontró mezclado con el Complejo *Waay*, y, basándose en el precepto ya explicado, se fecha al período más tardío, en este caso el Complejo *Waay*. El Basurero Temprano (1A) se fechó para el Complejo *Waay*, este fue cubierto por el piso Carpintero; el Basurero Medio (1B) fue fechado para el Complejo *Waay* Tardío, cubierto por el piso Oropéndola; y el Basurero Tardío (1C), fue fechado en el Complejo *Paat*.

Tabla 10. Complejos y grupos cerámicos de las temporalidades del Basurero 1

Fecha	Nomenclatura de Basurero 1	Ochib						Waay										Waay Tardío	Paat		Indeterminado			Total de tiestos	
		Quintal	Águila	Balanza	Dos Arroyos	Japón	Pucú	Cambio	Azote	Harina	Infierno	Máquina	Santa Rosa	Saxche-Palmar	Tinaja	Zacatal	Estucado ND	Chablekal	Altar	Máquina (Paat)	Tinaja (Paat)	Descarte	Erosionado		Indeterminado
Waay	Basurero Temprano	22	1316	42	6	8	109	1075	246	0	28	116	1	643	82	8	0	0	0	0	0	372	270	55	4399
Waay Tardío	Basurero Medio	0	1	0	0	1	0	269	161	0	30	63	0	144	193	2	2	4	1	0	0	172	46	15	1104
Paat	Basurero Tardío	0	0	0	0	0	0	831	332	2	161	191	0	109	658	7	4	7	2	1	2	194	142	19	2662
<b>Total</b>		<b>22</b>	<b>1317</b>	<b>42</b>	<b>6</b>	<b>9</b>	<b>109</b>	<b>2175</b>	<b>739</b>	<b>2</b>	<b>219</b>	<b>370</b>	<b>1</b>	<b>896</b>	<b>933</b>	<b>17</b>	<b>6</b>	<b>11</b>	<b>3</b>	<b>1</b>	<b>2</b>	<b>738</b>	<b>458</b>	<b>89</b>	<b>8165</b>

Figura 39. Temporalidad del Basurero 1.

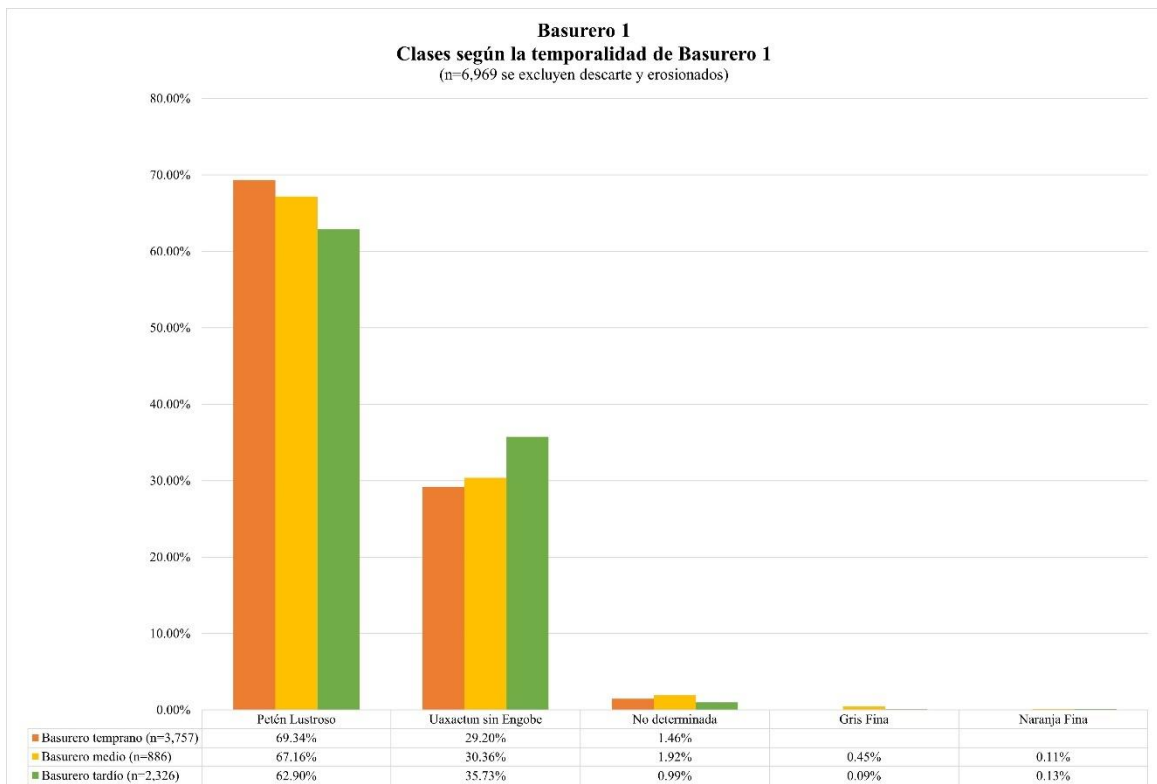


Con relación a las clases cerámicas (Figura 40), para el Basurero Temprano (1A) se estableció que la más frecuente es Petén Lustroso con porcentaje de 69.34% (n=2,605), que incluye los monocromos con engobe y los policromos, incluyendo del Clásico Temprano y el Clásico Tardío. La segunda, fue Uaxactún sin engobe 29.20%, (n=1,097) que abarca el grupo Quintal para el Clásico Temprano y Cambio, para Clásico Tardío. En tercero, se encontró la clase no determinada con un porcentaje 1.46% (n=55). En este basurero no se encontró evidencia para la cerámica Gris Fina y Naranja Fina.

Para el Basurero Medio (1B) se estableció que la más frecuente es Petén Lustroso con porcentaje de 67.16% (n=595), que incluye los monocromos con engobe y los policromos, incluyendo del Clásico Temprano y el Clásico Tardío. La segunda, fue Uaxactún sin engobe, 30.36% (n=269), que abarca el grupo Cambio, para Clásico Tardío. En tercero, se encontró la clase no determinada con un porcentaje 1.92% (n=17). Por último, el tipo Gris y Naranja Fina, fueron diagnósticos cronológicos de la última etapa del Clásico Tardío y Clásico Terminal, con porcentajes bajos de 0.45% (n=4) y 0.11% (n=1), respectivamente.

En el Basurero Tardío (1C) se estableció que la más frecuente es Petén Lustroso con porcentaje de 62.90% (n=1,463), que incluye los monocromos con engobe y los policromos del Clásico Tardío. La segunda, fue Uaxactún sin engobe, 35.73% (n=831), que abarca el grupo Cambio, para Clásico Tardío. En tercero, se encontró la clase no determinada con un porcentaje 0.99% (n=35). Por último, el tipo Gris y Naranja Fina, fueron diagnósticos cronológicos de la última etapa del Clásico Tardío y Clásico Terminal, con porcentajes bajos de 0.09% (n=2) y 0.13%, respectivamente (n=3).

Figura 40. Clases según temporalidad del Basurero 1.



## 2. Basurero 3.

Se registraron 4,557 tiestos cerámicos para el basurero 3. Es importante recalcar que la unidad no fue reanalizada en su totalidad, únicamente se reanalizó el humus y derrumbe. De la muestra total el 5.75% (n=262) se encontraban en el lote de humus; el derrumbe conformó el 74.46% (n=3,393), el relleno se conformó por el 4.21% (n=192) y la muestra

del basurero fue de 15.58% (n=710). La categoría de derrumbe fue la más frecuente, seguida del basurero, humus y por último, relleno de la Estructura 13Q-27 (Figura 41).

Figura 41. Muestra total del Basurero 3 y su distribución por contextos identificados.

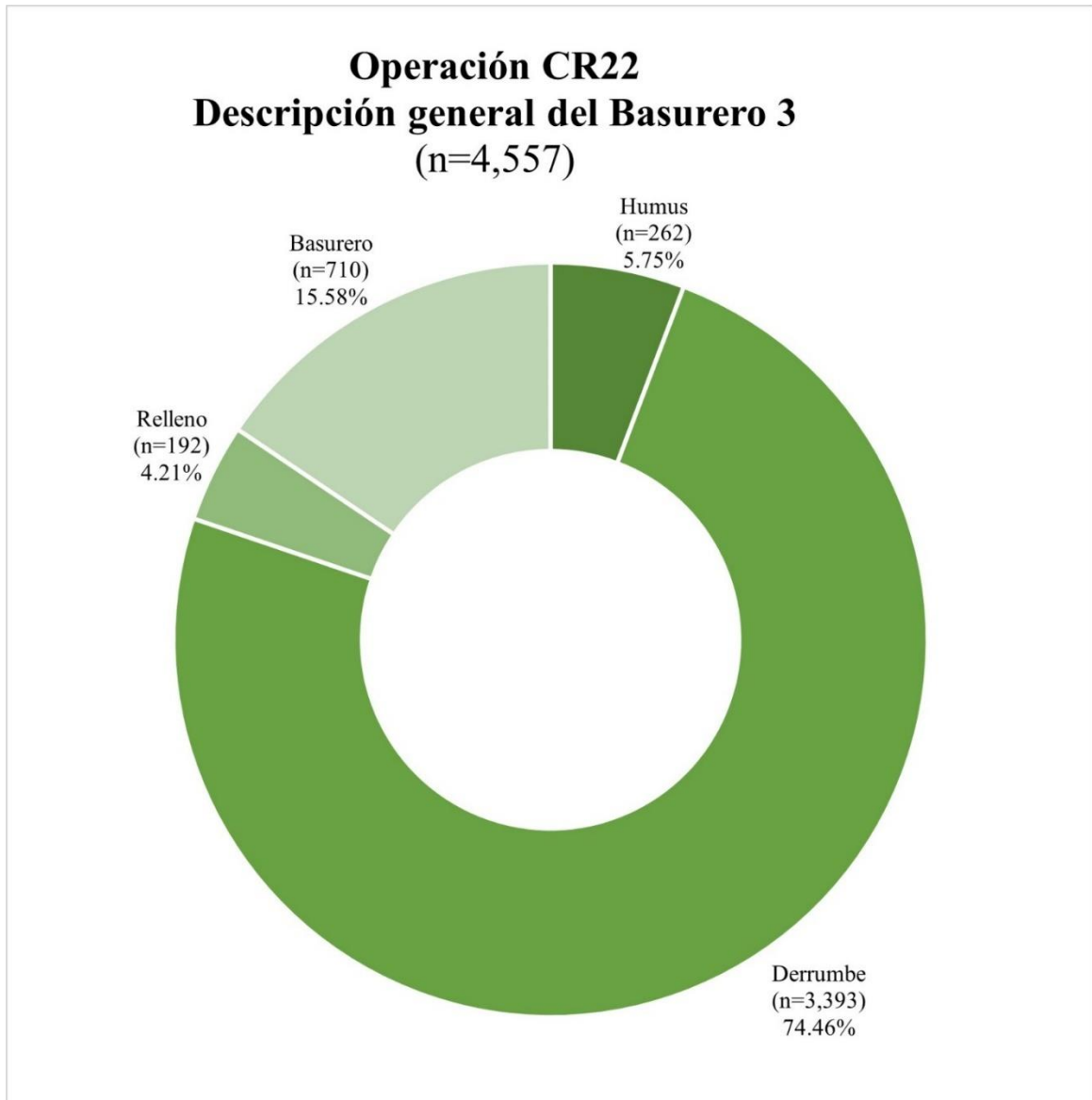
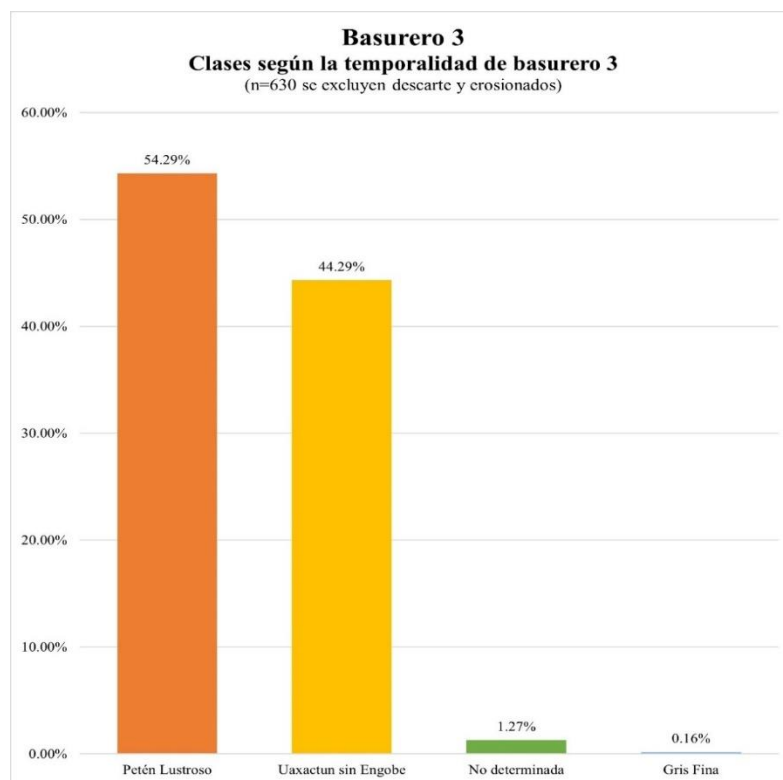


Tabla 11. Comparación de niveles de todas las unidades excavadas sobre el Basurero 3

	CR22-8	CR22-9	CR22-10	CR22-12	CR22-15	CR22-16
Humus	Nivel 1	Nivel 1	Nivel 1	Nivel 1	Nivel 1	Nivel 1
Derrumbe	Nivel 2	Nivel 2 y 3	Nivel 2	Nivel 2	Nivel 2	
Basurero		Nivel 4 y 5			Nivel 3	
Relleno	Nivel 3 y 5	Nivel 6		Nivel 3	Nivel 4	

Con relación a las clases cerámicas (Figura 42), para el Basurero 3 se estableció que la más frecuente es Petén Lustroso con porcentaje de 54.29% (n=342), que incluye los monocromos con engobe y los policromos, del Clásico Tardío. La segunda, fue Uaxactún sin engobe, 44.29% (n=279), que abarca el grupo Cambio, para Clásico Tardío. En tercero, se encontró la clase no determinada con un porcentaje 1.27% (n=8). Por último, el tipo de cerámica Gris Fina, fue diagnóstico cronológico de la última etapa del Clásico Tardío y Clásico Terminal, con porcentaje bajo de 0.16% (n=1).

Figura 42. Clases según temporalidad del Basurero 3.



Al igual que el Basurero 1, se utilizó el precepto en el precepto *terminus ante quem*, por lo que el basurero 3 se fecha al período más tardío, en este caso el Complejo *Waay* Tardío (Figura 43). Sin embargo, la muestra para esta temporalidad es de un tiesto gris fino, el cual forma parte del 0.16% de la muestra total. El resto, 99.84% se fecha para el Complejo *Waay*. La Tabla 11 presenta los grupos según el Complejo al que pertenece cada tiesto cerámico del Basurero 3.

Figura 43. Temporalidad del Basurero 3.

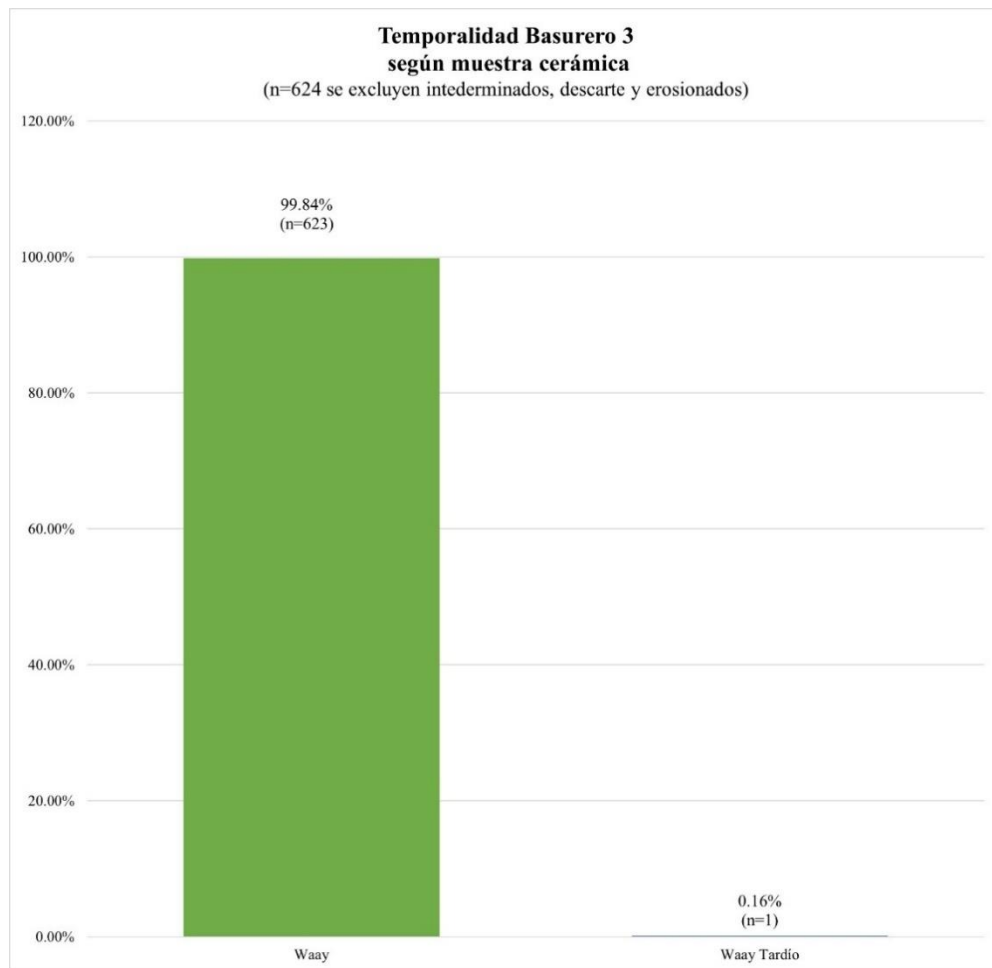


Tabla 12. Complejos y grupos cerámicos de las temporalidades del Basurero 3.

<b>Resumen de fechamiento basurero 3 (n=710)</b>														
Fechamiento		Waay								Waay Tardío	Indeterminado			Total de tiestos
		Cambio	Azote	Infierno	Máquina	Saxche-Palmar	Tinaja	Zacatal	Estucado ND	Chablekal	Descarte	Erosionado	Indeterminado	
Waay Tardío	Basurero 3	279	120	44	59	12	106	1	2	1	59	21	6	<b>710</b>
<b>Total</b>		<b>279</b>	<b>120</b>	<b>44</b>	<b>59</b>	<b>12</b>	<b>106</b>	<b>1</b>	<b>2</b>	<b>1</b>	<b>59</b>	<b>21</b>	<b>6</b>	<b>710</b>

### 3. Funcionalidad de los basureros 1 y 3.

Para el análisis funcional (Figura 44) únicamente se tomó en cuenta la muestra de los fragmentos equivalentes a bordes del basurero 1 y 3. Este análisis fue realizado bajo el tipo de análisis modal. Para el Basurero 1, corresponde una muestra de 1,231 tiestos cerámicos. Los resultados para el Basurero Temprano (1A), evidenciaron que la muestra de Servicio es la más frecuente con un 80.12%, esta categoría incluye platos, cuencos pequeños y vasos. La siguiente categoría corresponde a Preparación y Almacenaje con 8.33% en donde se incluyen las ollas sin engobe, seguido por Preparación y Servicio con 9.21% identificado por cuencos grandes. Por último, con 2.34%, corresponde a la categoría Almacenaje y Servicio, en donde se incluyen ollas con engobe.

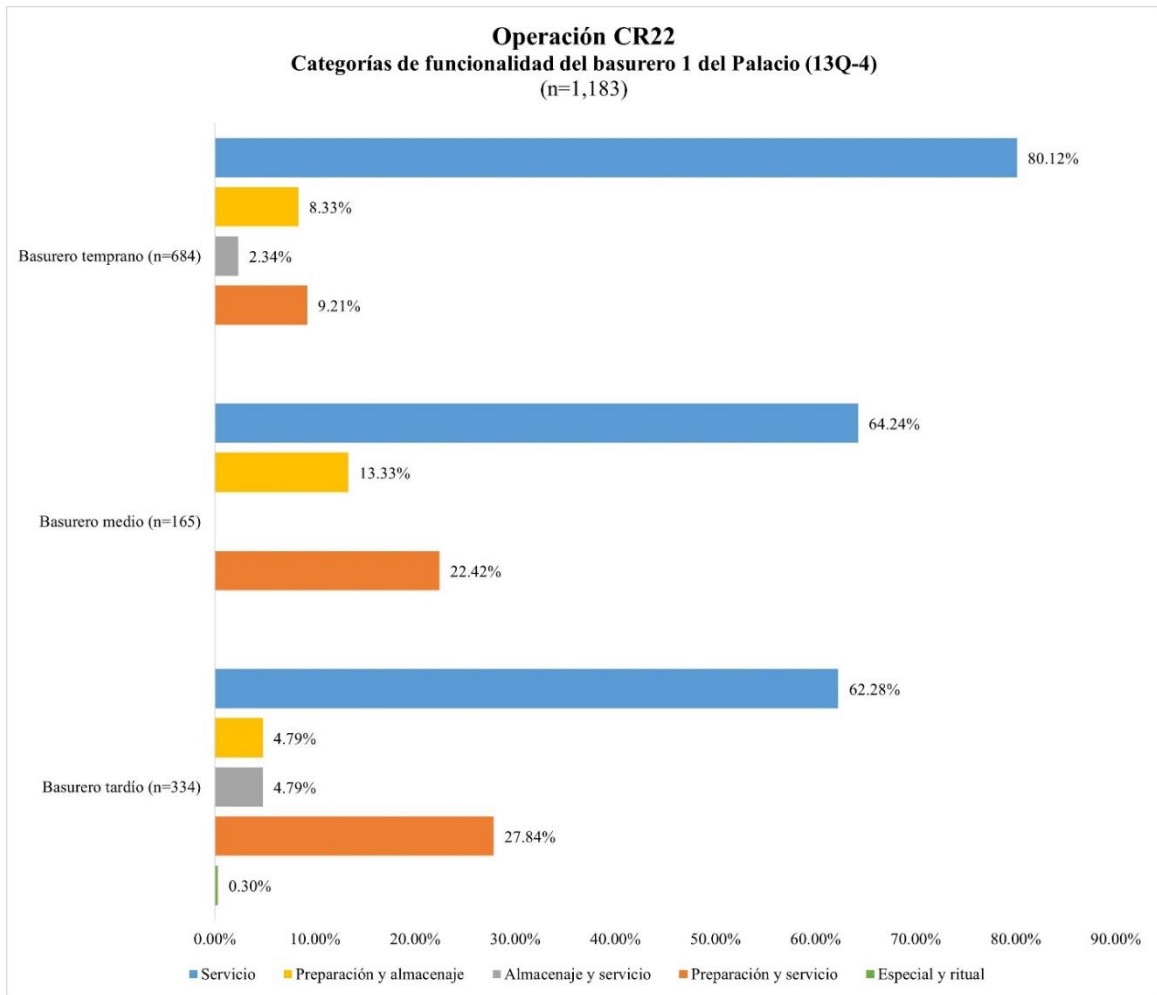
Los resultados para el Basurero Medio (1B), evidenciaron que la muestra de Servicio es la más frecuente con un 64.24%, la siguiente categoría corresponde a Preparación y Almacenaje con 13.33%. Por último, con 22.42% corresponde a la categoría Preparación y Servicio.

Los resultados para el basurero tardío (1C), evidenciaron que la muestra de Servicio es la más frecuente con un 62.28%. La siguiente categoría corresponde a Preparación y Almacenaje con 4.79%, seguido por Preparación y Servicio con 24.84%; Almacenaje y



Servicio con 4.79%. Por último, con 0.30% corresponde a la categoría especial y ritual, en donde se incluyen tambores, incensarios y otros.

Figura 44. Gráfica del Análisis funcional del Basurero 1 del Palacio (13Q-4).

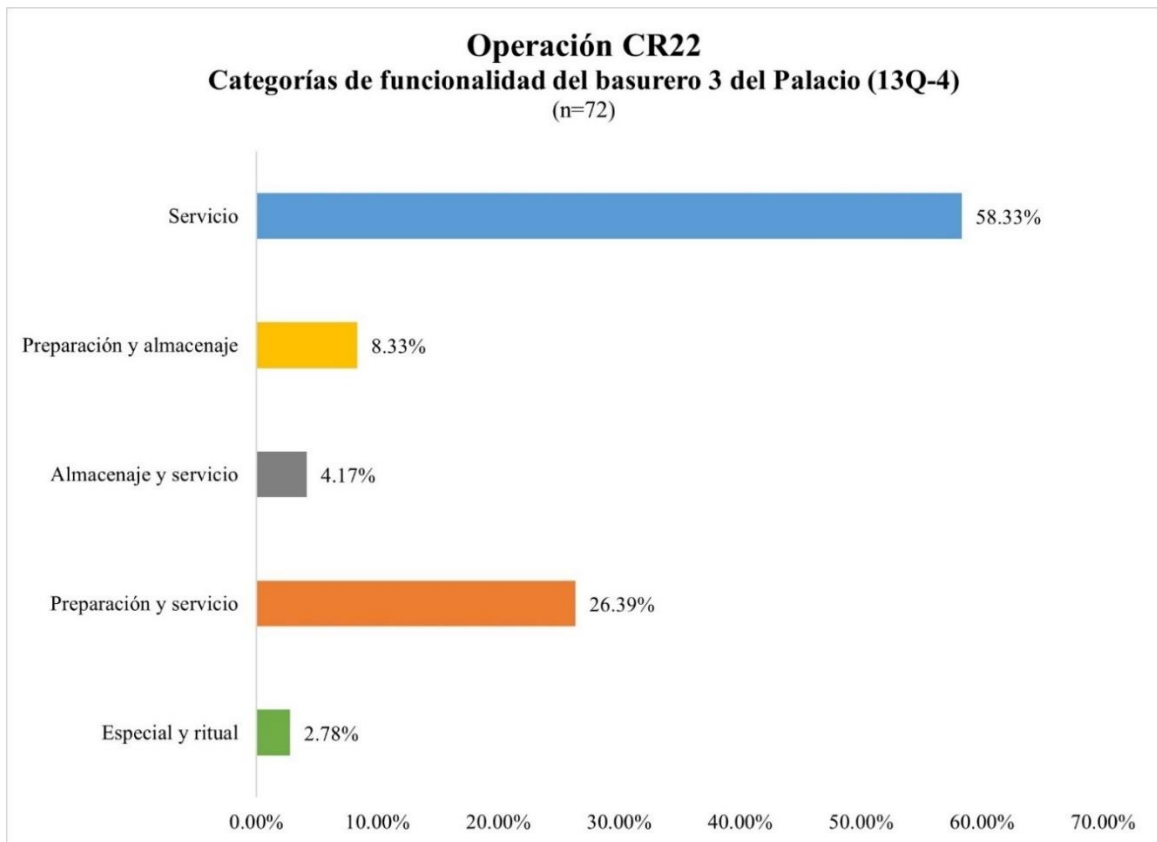


Para el análisis funcional del Basurero 3 (Figura 45) únicamente se tomó en cuenta la muestra de los fragmentos equivalentes a bordes. Corresponde una muestra de 72 tiestos cerámicos. Los resultados para el basurero tardío, del Basurero 3, evidenciaron que la muestra de Servicio es la más frecuente con un 58.33%, esta categoría incluye platos, cuencos pequeños y vasos. La siguiente categoría corresponde a Preparación y Servicio con 26.39% identificado por cuencos grandes; seguido por Preparación y Almacenaje con 8.33% en donde se incluyen las ollas sin engobe; luego con 4.71%, corresponde a la categoría Almacenaje y Servicio, en donde se incluyen ollas con engobe. Por último, con

2.78% corresponde a la categoría especial y ritual, en donde se incluyen tambores, incensarios y otros.

Al evaluar de manera individual los tres basureros a nivel funcional, se observó un patrón similar, lo cual reafirma que el mayor porcentaje en los tres basureros corresponde a la función de Servicio, sin embargo, este va decreciendo en cada basurero. Seguido, se encuentra Preparación y Servicio, y en este caso, esta funcionalidad aumenta siendo en el Basurero Temprano (1A) en menor cantidad y en Basurero Tardío un porcentaje más alto. Posterior, se encuentra Almacenaje y servicio; Preparación y Almacenaje; y por último Especial y ritual, únicamente presente en el Basurero Tardío (1C).

Figura 45. Gráfica del Análisis funcional del Basurero 3 del Palacio (13Q-4)



Comparando el Basurero 1 con el Basurero 3, se puede identificar que la funcionalidad de Servicio es la más alta en ambas. Seguido de Preparación y Servicio; Preparación y

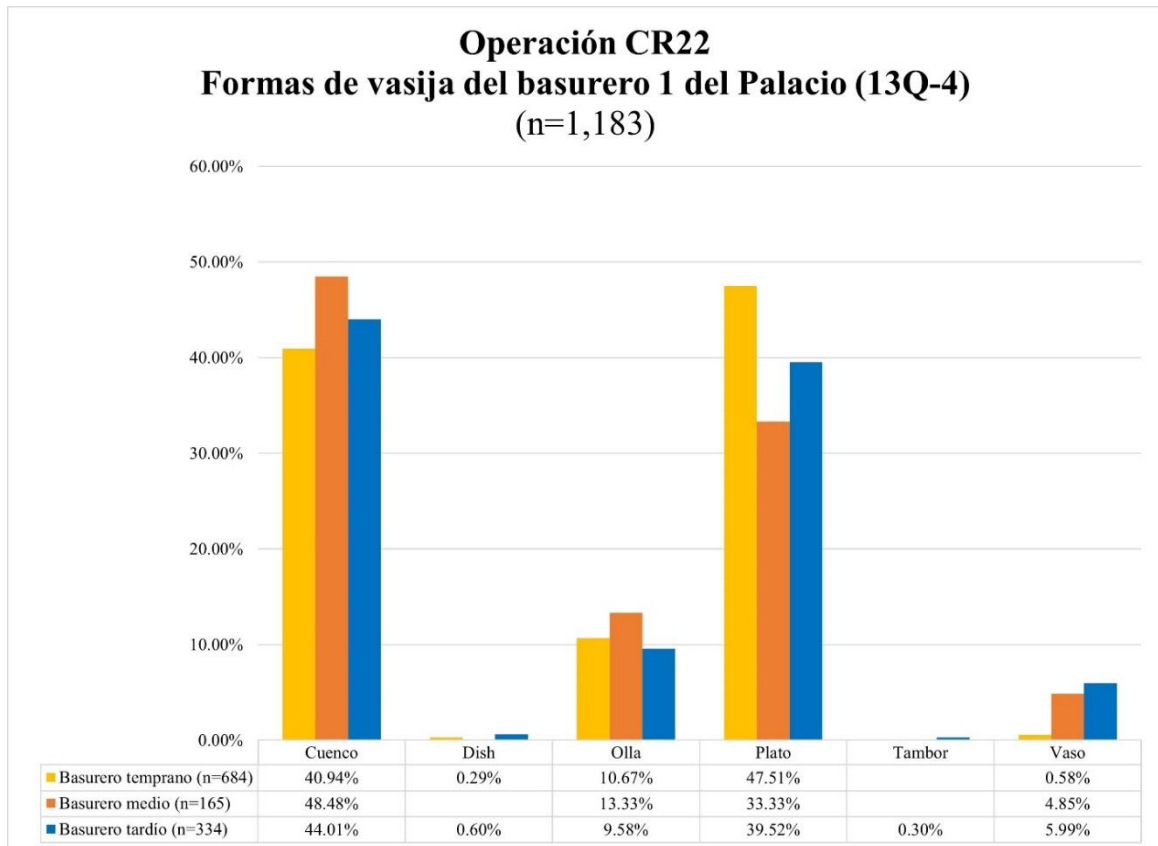
Almacenaje; Preparación y Almacenaje. Y el Basurero 3, comparte con el Basurero Tardío (1C), la funcionalidad especial y ritual.

En cuanto a formas del Basurero 1 (Figura 46), estas variaron en cantidad según la temporalidad del basurero. Este porcentaje se basó únicamente en los bordes analizados. Las formas identificadas fueron cuencos, dish, ollas, platos, tambores y vasos. En la muestra del Basurero Temprano (1A) (n=684) los platos abarcaron 47.51% (n=325); los cuencos abarcaron 40.94% (n=280). Las ollas abarcaron 10.67% (n=73); seguido de 0.58% (n=4) en vasos. La forma de dish abarcó 0.29% (n=2). No se identificó forma de tambor en este contexto.

En el Basurero Medio (1B) (n=165) los cuencos abarcaron un 48.48% (n=80) de la muestra, seguido de 33.33% (n=54) en platos. Las ollas abarcaron 13.33% (n=22), seguido de 4.85% (n=8) en vasos. No se presentaron tambores ni dish.

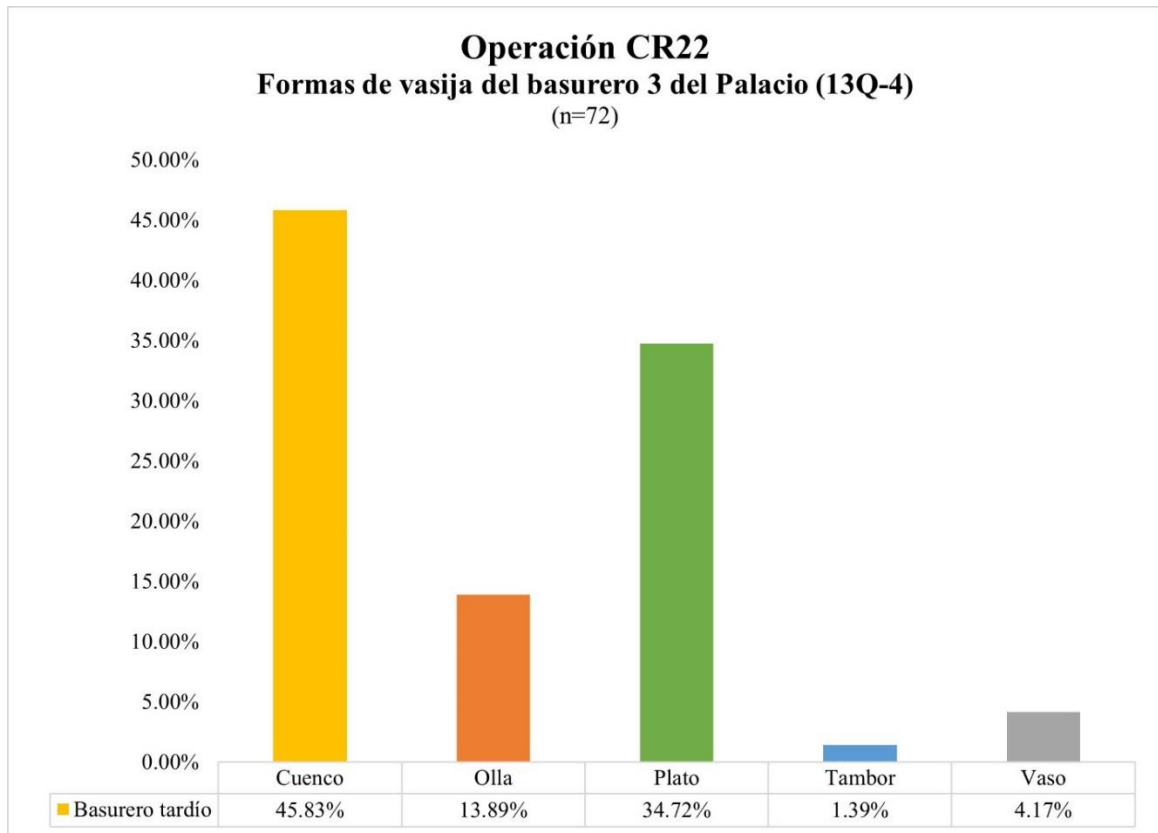
Para el Basurero Tardío (n=334) los cuencos abarcaron 44.01% (n=147), seguido de 39.52% (n=132) en platos. Las ollas abarcaron 9.58% (n=32), seguido 5.99% (n=20) en vasos. La forma de dish abarcó 0.60% (n=2) y 0.30% (n=1) en tambor.

Figura 46. Gráfica de porcentajes de formas de vasijas según temporalidad del Basurero 1 del Palacio (13Q-4)



En cuanto a formas del Basurero 3 (Figura 47), se identificaron cuencos, dish, ollas, platos, tambores y vasos. La muestra del basurero tardío del basurero 3 (n=72) los cuencos abarcaron 45.83% (n=33), seguido de 34.72% (n=25) en platos. Las ollas abarcaron 13.89% (n=10), seguido 4.17% (n=3) en vasos. En la forma de tambor abarcó 1.39% (n=1). En las figuras (59, 60, 61 y 62) se especifica cada modo según la forma. Las formas predominantes en las tres temporalidades fueron platos, cuencos y ollas.

Figura 47. Gráfica de porcentajes de formas de vasijas según temporalidad del Basurero 3 del Palacio (13Q-4)



La Figura 48 demuestra la comparación tipológica de las temporalidades del Basurero 1, seguido por una seriación de los tipos en dicho basurero (Figura 49). Para esto, se agruparon grupos cerámicos que poseen características similares en las siguientes categorías: Sin engobe, Monocromos, Polícromos y Bicromos, Estucado ND, Chablekal y Altar. También, fueron catalogados en dos complejos: *Ochib* y *Waay*, como consecuencia de la mezcla de complejos en el Basurero Temprano (1A).

En la categoría de Sin engobe (*Ochib*) se encuentra el Grupo Quintal; en Monocromos (*Ochib*) se encuentran los grupos Águila, Balanza y Pucte; en Polícromos y Bicromos (*Ochib*) están los grupos Dos Arroyos y Japón. En la categoría Sin Engobe (*Waay*) hace referencia al Grupo Cambio; en Monocromos (*Waay*) se encuentran los grupos Azote, Harina, Infierno, Máquina y Tinaja; en los Polícromos (*Waay*) están los grupos Santa Rosa, Saxché-Palmar y Zacatal.

Luego, en los Estucados ND, aparecen aquellos que poseen un estuco color rosado y/o celeste y no pudieron ser identificados en algún grupo. Por último, se encuentran los Grupos Chablekal y Altar, que hacen referencia a los diagnósticos cronológicos de la última etapa del Clásico Tardío y Clásico Terminal.

Figura 48. Comparación tipológica del Basurero 1.

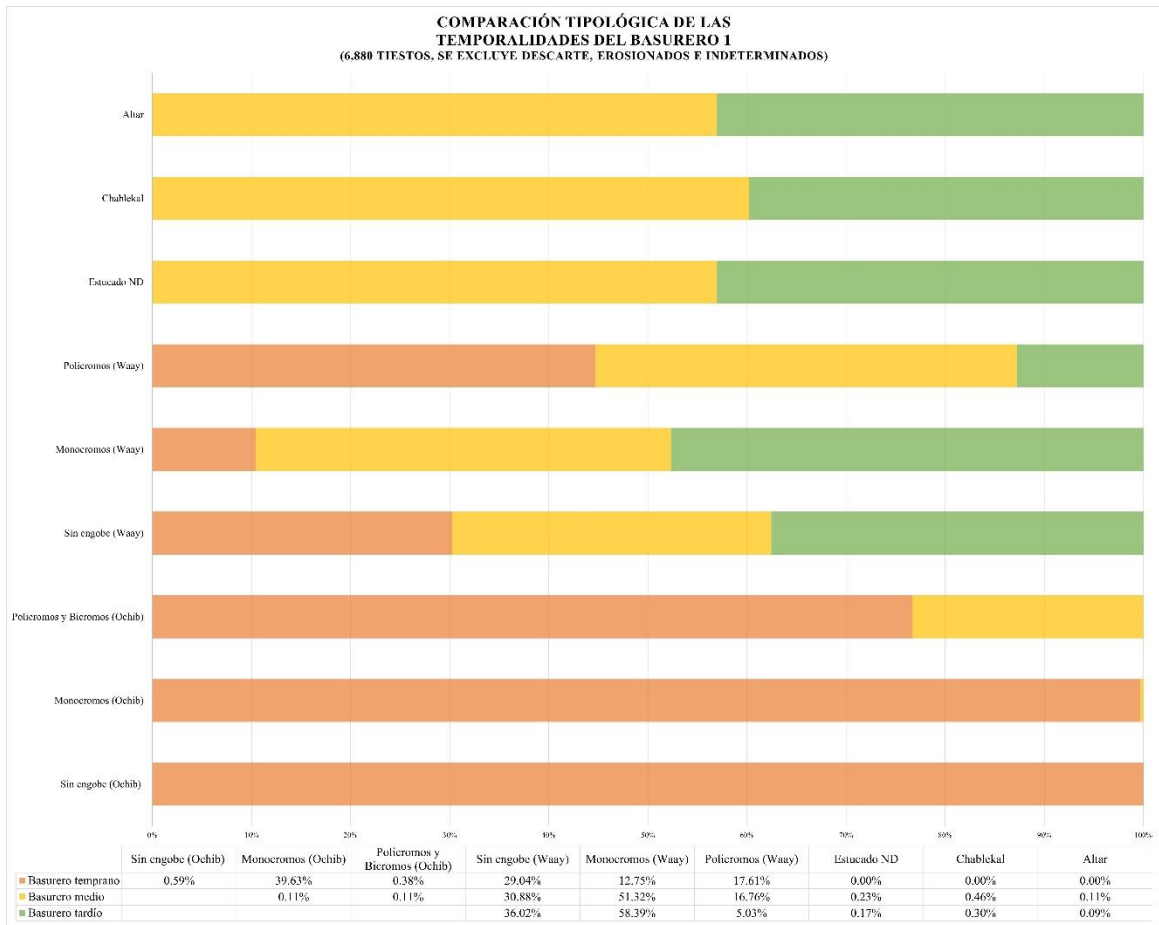
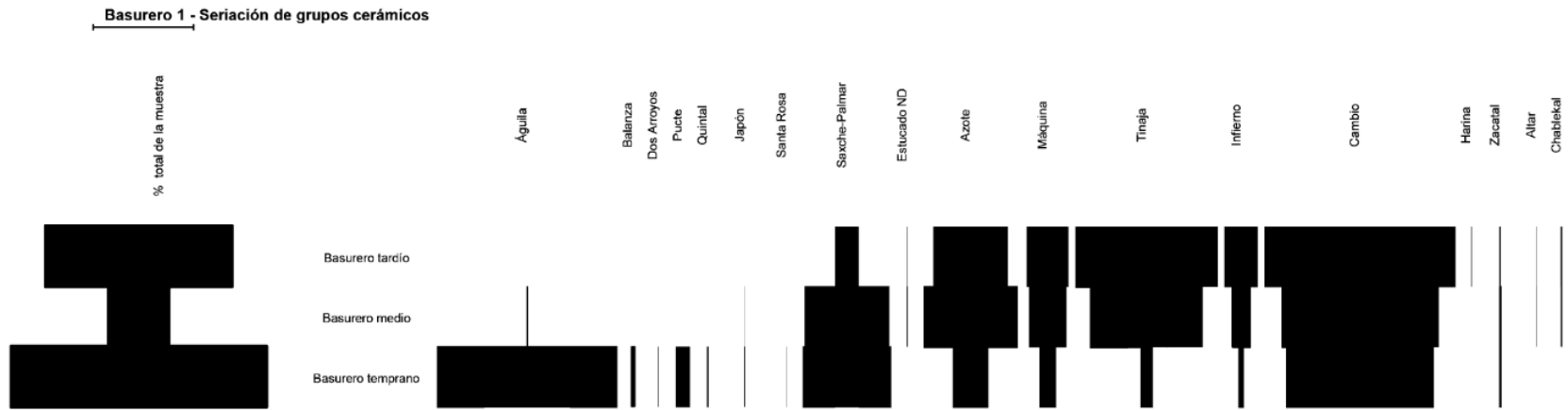


Figura 49. Secuencia de grupos cerámicos calculada según las frecuencias dentro de cada uno de los basureros identificados a nivel cronológico.



## B. Modos cerámicos identificados en el Basurero 1

Los modos cerámicos son útiles para determinar referencias cronológicas e interacciones sociales e ideológicas. Los modos con mayor frecuencia se presentan en las Tablas 13, 14 y 15 y seriación de los modos más frecuentes (Figura 50). Para esto, se tomaron en cuenta los modos que superan una frecuencia de 10 ejemplares.

Sin embargo, la definición de modos con connotaciones cronológicas aún se encuentra en proceso. Esta debe de ser comparada con otros contextos seleccionados para poder conocer mejor la cronología del sitio con base en el estudio cerámico. Es por ello que no es posible realizar una comparación modal entre cada temporalidad del Basurero 1, ya que se debe de realizar un estudio más exhaustivo y complementario con otros contextos.

Aunque, sí se logró determinar modos específicos para la temporalidad de cada basurero. Se identificó más de 10 frecuencias de ollas tipo BHBA en el Basurero Temprano (1A), y en los otros dos no fue identificado ningún modo. En el caso de cuencos los modos CDAA, CDDA, CJAB y CJAE fueron identificados únicamente en el Basurero Temprano (1A). En el Basurero Medio (1B) se identificó la forma CJAA. En el Basurero Tardío (1C) se identificó la forma CBAA y CKBA. El caso de la forma CDBA, es una que se mantuvo desde el Basurero Temprano (1A) hasta el Basurero Tardío (1C).

Para los platos, se identificaron formas específicas para el Basurero Temprano (1A), siendo estas EBAA, EDAA, EDAC y EDAE. Para el Basurero Tardío (1C), se identificaron las formas EBME y EBMU. La forma que fue constante en las tres temporalidades del basurero fue EBAE. El Basurero Tardío (1C), fue el único que presentó la forma AAAA en vasos.

En las figuras 59, 60, 61 y 62 (ver anexos) se especifica cada modo según la forma. Las formas predominantes en las tres temporalidades fueron platos, cuencos y ollas. Se identificó que, en el Basurero Temprano (1A), por la alta cantidad de platos, predominó el servicio. En el Basurero Medio (1B) predominaron los modos de cuencos. Y en el Basurero



Tardío (1C) los modos más frecuentes fueron los de la forma de platos, aunque no a la cantidad de modos en el del Basurero Temprano (1A). Sin embargo, es importante mencionar que algunos de estos modos se repiten las dos o inclusive, las tres etapas del Basurero 1.

Tabla 13. Modos cerámicos Basurero 1A.

Nombre completo	Forma/Modo	Modos cerámicos según categoría de función 1A				Total	Fotografías	
		Servicio	Preparación y almacenaje	Almacenaje y servicio	Preparación y servicio			Especial y ritual
	<b>Olla</b>		<b>10</b>	<b>1</b>			<b>11</b>	
Olla con cuello curvo divergente, borde engrosado exterior y labio directo	BHBA		10	1			11	
	<b>Cuenco</b>	<b>125</b>			<b>22</b>		<b>147</b>	
Cuenco con paredes curvo convergentes, borde directo y labio directo	CDAA	19					19	
Cuenco con paredes curvo convergentes, borde engrosado exterior y labio directo	CDBA				10		10	
Cuenco con paredes curvo convergentes, borde reforzado exterior y labio directo	CDDA	1			12		13	
Cuenco con paredes ligeramente curvo convergentes, borde y labio directo	CJAA	71					71	
Cuenco con paredes ligeramente curvo convergentes, borde directo y labio afinado	CJAB	22					22	
Cuenco con paredes ligeramente curvo convergentes, borde directo y labio biselado interior	CJAE	12					12	
	<b>Plato</b>	<b>219</b>					<b>219</b>	
Plato con paredes recto divergentes, borde y labio directo	EBAA	17					17	
Plato con paredes recto divergentes, borde directo y labio biselado interior	EBAE	33					33	
Plato con paredes curvo convergentes, borde y labio directo	EDAA	23					23	
Plato con paredes curvo convergentes, borde directo y labio aplanado.	EDAC	11					11	
Plato con paredes curvo convergentes, borde directo y labio biselado interior	EDAE	135					135	
		<b>344</b>	<b>10</b>	<b>1</b>	<b>22</b>	<b>0</b>	<b>377</b>	

Tabla 14. Modos cerámicos Basurero 1B.

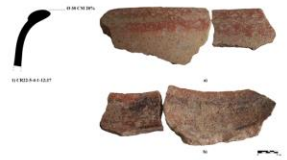


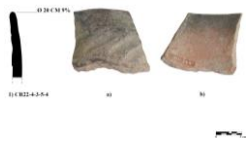



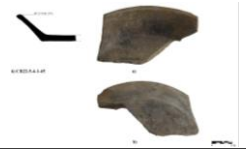
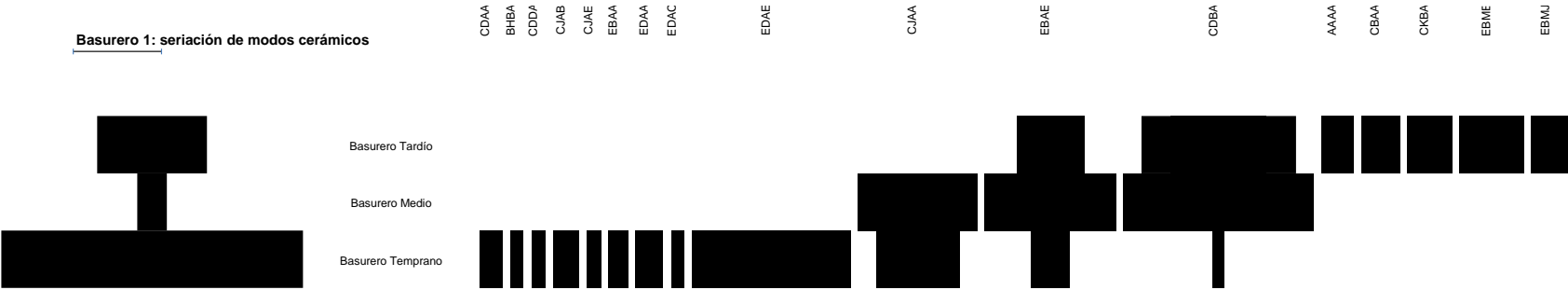
Nombre completo	Forma/Modo	Modos cerámicos según categoría de función 1B				Total	Fotografías
		Servicio	Preparación y almacenaje	Almacenaje y servicio	Preparación y servicio		
	<b>Cuenco</b>	<b>10</b>			<b>16</b>		
Cuenco con paredes curvo convergentes, borde engrosado exterior y labio directo	CDBA				16		
Cuenco con paredes ligeramente convergentes, borde y labio directo	CJAA	10				10	
	<b>Plato</b>	<b>11</b>				<b>11</b>	
Platos con paredes recto divergentes, borde directo y labio biselado interior	EBAE	11				11	
		<b>21</b>	<b>0</b>	<b>0</b>	<b>16</b>	<b>0</b>	<b>37</b>

Tabla 15. Modos cerámicos Basurero 1C

Nombre completo	Forma/Modo	Modos cerámicos según categoría de función 1C					Total	Fotografías
		Servicio	Preparación y almacenaje	Almacenaje y servicio	Preparación y servicio	Especial y ritual		
	Vaso	10					10	
Vaso con paredes recto verticales, borde y labio directo	AAAA	10					10	
	Cuenco	12			62		74	
Cuenco con paredes recto divergentes, borde y labio directo	CBAA	11			1		12	
Cuenco con paredes curvo convergentes, borde engrosado exterior y labio directo	CDBA	1			47		48	
Cuenco con paredes marcadamente curvo convergentes, borde engrosado exterior y labio directo	CKBA				14		14	
	Plato	53					53	
Platos con paredes recto divergentes, borde directo y labio biselado interior	EBAE	21					21	
Plato con paredes recto divergentes, borde directo ligeramente engrosado en el exterior y labio biselado interior	EBME	20					20	
Plato con paredes recto divergentes, borde directo ligeramente engrosado en el exterior y labio aplanado	EBMJ	12					12	
		75	0	0	62	0	137	

Forma 50. Secuencia de modos cerámicos presentada por basureros, calculada sobre la frecuencia de cada modo en cada basurero



## C. Descripción tipológica de la cerámica del área del Basurero 1 y Basurero 3 del Palacio de La Corona

La muestra descriptiva tipológica se basa en los bordes analizados, principalmente, en las operaciones mencionadas anteriormente. Sin embargo, se toman en cuenta cuerpos, bases, labios, soportes, cuellos y hombros para hacer algunas descripciones cerámicas. Los datos se presentan agrupados por Basurero 1, dividido en Basurero Temprano (1A), Basurero Medio (1B) y basurero tardío; y Basurero 3, ubicado sobre la Estructura 13Q-27.

### 1. Complejo *Ochiib*.

Este complejo corresponde al Clásico Temprano. De acuerdo con Parris (2016), presenta similitudes con el Complejo Tzakol de Uaxactún (Smith 1955), Complejo Acrópolis de El Mirador (Forsyth 1989), Complejo Juco en Ceibal (Sabloff 1975), Complejo Flor de La Joyanca (Forné 2006) y el Complejo Jordán de la región del Petexbatún (Foias y Bishop 2013).

Como es común durante este período en las Tierras Bajas, los grupos identificados en La Corona han sido Quintal, Caribal, Corona, Balanza, Dos Arroyos y Águila. Este complejo (Figura 63) se encontró mayoritariamente asociado al Basurero 1, específicamente al Basurero Temprano (1A) (21.85%) y en un porcentaje muy bajo al Basurero Medio (1B) (0.01%). Esto indica, como ha sido observado en otros sitios y tipologías cerámicas de Petén, la permanencia del consumo de cerámica de la esfera Tzakol durante el Clásico Tardío, es decir, un período transicional que llevó al desarrollo de la esfera Tepeu (Laporte 2007; Muñoz 2006).

## a. Grupo Águila

### 1) Águila Naranja: Variedad Águila

*Muestra:* la presente descripción se basa 1,164 tiestos cerámicos. Incluye 240 bordes y otros 924 que se distribuyen en pestañas, bases y otros (Figuras 66, 67, 68, 69, 70, 71, 72, 73, 74, 75).

*Principales modos de identificación:* color naranja oscuro a naranja rojizo con engobe en el interior. Platos y cuencos muy abiertos. Un ejemplar de ángulo en z.

*Formas:* platos curvo-convergentes y rectos divergentes muy abiertos, cuencos abiertos con borde engrosado, ollas con engobe y bases anulares.

*Tratamiento de superficie y decoración:* la superficie es alisada, principalmente engobados de color naranja en el exterior y en el interior se presenta sin engobe o en un baño del mismo engobe, el cual se erosiona fácilmente.

*Pasta:* la textura de la pasta es compacta y de color naranja. La mayoría no cuenta con núcleo y la textura de la pasta va de media a gruesa. La densidad de inclusiones va de baja a media, con escasa cantidad de calcitas, ferruginosas y partículas brillantes.

*Observaciones:* es menos lustroso que otros ejemplares del mismo grupo reportados en Tierras Bajas. Este tipo es el más frecuente en el Basurero Temprano (1A) (29.92%).

### 2) Águila Naranja: Variedad Manchado de Fuego

*Muestra:* la presente descripción se basa 59 tiestos cerámicos. Incluye 7 bordes y otros 52 que se distribuyen en cuerpos y hombros (Figura 76).

*Principales modos de identificación:* superficie naranja con pequeñas manchas de color negro. Esto sucede al momento de cocción.

*Formas:* cuenco curvo divergente y recto divergente.

*Tratamiento de superficie y decoración:* con engobe por el interior y exterior de color naranja a naranja rojizo con pequeñas manchas de color negro. La superficie se encuentra pulida o alisada.

*Pasta:* la textura de la pasta va de media a fina, su color va de naranja, naranja rojizo hasta rojo. Algunos poseen núcleos centrales y la densidad de inclusiones puede ser media o baja con una cantidad promedio de calcita y ferruginosa.

*Observaciones:* poco frecuente. Se parece al Azote manchado de fuego que aparece en Complejo Waay. Es una variedad preliminar pendiente de análisis, ya que está comenzando a establecerse en la tipología del sitio.

### 3) Águila Naranja: Dos Hermanos

*Muestra:* la presente muestra cerámica se basa en 67 tiestos cerámicos. Incluye 18 bordes y los otros 49 se distribuyen en base, cuello, cuerpo, hombro y pestaña (Figuras 77, 78, 79, 80).

*Principales modos de identificación:* color rojizo con engobe en el interior. Platos y cuencos muy abiertos.

*Formas:* platos curvo-convergentes y recto-divergentes muy abiertos, cuencos abiertos con borde engrosado y bases anulares.

*Tratamiento de superficie y decoración:* la superficie es alisada, principalmente engobados de color rojo en el exterior y en el interior se presenta sin engobe o en un baño del mismo engobe, el cual se erosiona fácilmente. La superficie exterior está pulida o alisada.

*Pasta:* la textura de la pasta es compacta y de color naranja. La mayoría no cuenta con núcleo y la textura de la pasta va de media a gruesa. La densidad de inclusiones va de baja a media, con baja cantidad de calcitas, ferruginosas y partículas brillantes.

*Observaciones:* no son tan diferentes del Águila Naranja, más que su color. Esta variedad fue señalada por Smith y Gifford (1966) con la muestra de Uaxactún, pero Forsyth (1989) considera que la diferencia es bastante ligera y no justifica la separación en dos grupos.

### 4) Diego Estriado: Variedad Diego

*Muestra:* la presente muestra cerámica se basa en dos bordes (Figura 81).

*Principales modos de identificación:* estriado por el exterior.

*Forma:* ollas con engobe.

*Tratamiento de superficie y decoración:* no posee engobe en el interior, pero posee ~~en~~ engobe y alisado por el exterior, de color naranja rojizo. Se encuentra estriado por el exterior.

*Pasta:* la pasta es carbonatada de textura fina a media, de color beige a café. Una de las muestras cuenta con núcleo del lado exterior de color negro y la densidad de inclusiones es baja, media y alta en calcita y baja en ferruginosas.

*Observaciones:* poco frecuente.

##### 5) Milpa Impreso: Variedad Milpa

*Muestra:* la presente muestra cerámica se basa en 16 tiestos cerámicos. Incluye dos bordes y los otros 14 se distribuyen en cuerpos y hombros (Figura 82).

*Principales modos de identificación:* con engobe y una banda aplicada e impresa en el exterior.

*Forma:* cuencos curvo-convergentes.

*Tratamiento de superficie y decoración:* posee engobe por el exterior, en este caso, una de las muestras posee engobe en el interior que va de color naranja a rojo. La superficie puede ser pulida o alisada. Por el exterior posee una banda aplicada e impresa.

*Pasta:* la pasta es carbonatada de textura compacta, de media a gruesa, color rojo a naranja rojizo. Carece de núcleo y la densidad de inclusiones es media en calcita y ferruginosas, así como baja inclusión de partículas brillantes.

*Observaciones:* las impresiones son muy parecidas a las de Chaquiste Impreso.

##### 6) Nitan Compuesto: Variedad Nitan

*Muestra:* la presente muestra cerámica se basa en 4 tiestos cerámicos que incluye 3 bordes y un cuerpo (Figura 83).

*Principales modos de identificación:* parte superior del borde carece de engobe y presenta estrías similares a las del tipo Triunfo Estriado.

*Formas:* plato recto vertical y cuencos recto vertical y recto divergente.



*Tratamiento de superficie y decoración:* engobado y pulido por el interior, de color naranja rojizo a naranja oscuro. La superficie exterior presenta estrías similares a las del tipo Triunfo Estriado y se encuentra alisada.

*Pasta:* carbonatada de textura media a gruesa de color rojo claro y una de las muestras presenta pasta de color rojo oscuro. Dos muestras poseen núcleo de color gris claro a gris oscuro. La densidad de inclusiones va de baja a media en calcita y ferruginosas. Una de las muestras posee partículas brillantes.

*Observaciones:* poco frecuente.

#### 7) Pita Inciso: Variedad Pita

*Muestra:* la presente muestra cerámica se basa en un borde (Figura 84).

*Principales modos de identificación:* superficie exterior pulida con incisiones.

*Forma:* vaso recto vertical.

*Tratamiento de superficie y decoración:* posee engobe en el exterior e interior de color café y naranja, esta se encuentra pulida. Por el exterior posee incisiones delgadas que siguen una línea recta.

*Pasta:* carbonatada de textura fina color rojo. No cuenta con núcleo y la densidad de inclusiones es baja en ferruginosas y calcita media.

*Observaciones:* poco frecuente.

#### 8) Otros tipos: Variedad ND Ahumado en exterior y Variedad Bícromo

La presente muestra cerámica se basa en dos bordes, uno de cada variedad. Debido que es una muestra tan pequeña no se puede realizar una descripción de cada uno. Sin embargo, son dos muestras que por su engobe naranja se consideran parte del Grupo Águila Naranja. En el caso de la Variedad ND ahumado en el exterior, se le denomina así por el negro ahumado en el exterior. Así mismo, la muestra fue muy pequeña, por lo que, posiblemente podrían pertenecer a otro tipo, pero por su tamaño se determinaron en otras variedades y fue considerada una muestra importante para el análisis y que por el momento se agruparon en estas categorías preliminares.

## b. Grupo Quintal

### 1) Quintal sin Engobe: Variedad Quintal

*Muestra:* la presente muestra cerámica se basa 10 tiestos cerámicos, distribuidos en tres bordes y los otros siete en labios y cuellos (Figura 65).

*Principales modos de identificación:* ollas sin engobe.

*Formas:* ollas con cuello curvo divergente y cuello vertical.

*Tratamiento de superficie y decoración:* no poseen engobe. El color de la superficie va de café a café oscuro y el tratamiento de superficie es alisado. No posee decoración.

*Pasta:* carbonatada de textura gruesa a media, de color café, rojo y rojo oscuro. Dos de las muestras de borde poseen núcleo de color muy parecido a la pasta. La densidad de inclusiones es media en calcita, ferruginosas y partículas brillantes.

*Observaciones:* las formas de este tipo poseen diferencias con las presentes en Cambio sin Engobe.

### 2) Quintal sin Engobe: Variedad Baño Crema

*Muestra:* la presente muestra cerámica se basa en dos bordes.

*Principales modos de identificación:* ollas sin engobe con baño crema en el exterior e interior.

*Formas:* ollas de cuello curvo divergente.

*Tratamiento de superficie y decoración:* posee baño crema en el interior y exterior. El color de la superficie es crema y el tratamiento de superficie es alisado. No posee decoración.

*Pasta:* carbonatada de textura media de color ante y rojo claro. La cocción de la pasta es homogénea debido a la ausencia de núcleos. El desengrasante se presenta en frecuencia media y consiste en calcita, ferruginosas y partículas brillantes.

*Observaciones:* poco frecuente.

### 3) Quintal sin Engobe: Variedad Maaz Estriado

La muestra es representada por cuatro cuerpos; por ser tan pequeña no se puede realizar una descripción cerámica tan extensiva. En los cuatro cuerpos, se observa que la superficie alisada con decoración estriada (Figura 64).

### 4) Quintal sin Engobe: Variedad Baño Rojo

*Muestra:* la presente muestra cerámica se basa en tres bordes y tres labios.

*Principales modos de identificación:* ollas sin engobe con baño rojo en el exterior e interior.

*Formas:* ollas de cuello curvo divergente.

*Tratamiento de superficie y decoración:* posee baño rojo en el interior y exterior. El color de la superficie sin engobe va de rojo a negro ahumado. El tratamiento de superficie puede ser pulido o alisado. No posee decoración.

*Pasta:* carbonatada de textura media de color rojo, rojo oscuro o café. Solo una de las muestras presenta núcleo. El desengrasante se presenta en frecuencia media y consiste en calcita, ferruginosas y en una muestra, posee partículas negras.

*Observaciones:* poco frecuente.

## c. Grupo Balanza

### 1) Balanza Negro: Variedad Balanza

*Muestra:* la presente muestra cerámica se basa en 42 tiestos cerámicos, distribuidos en cinco bordes y los otros 37 en bases, soportes, cuerpos y pestañas (Figuras 85 y 86).

*Principales modos de identificación:* color de superficie de negro a gris, acabado de superficie pulido, cuenco con soporte basal.

*Formas:* cuenco recto divergente y ligeramente curvo divergente.

*Tratamiento de superficie y decoración:* con engobe negro en interior y exterior. El tratamiento de superficie se encuentra pulido y no posee decoración.

*Pasta:* carbonatada de textura fina de color rojo claro, rojo oscuro, gris y naranja rojizo. Dos de las muestras poseen núcleo de color negro. La densidad de inclusiones es baja y media en calcita, baja en ferruginosas y dos de las muestras poseen partículas brillantes.

*Observaciones:* corresponde a los monocromos del Clásico Temprano, en este contexto se encuentra en menor frecuencia y con pocos diagnósticos.

#### d. Dos Arroyos

##### 1) Batellos Negro sobre Rojo: Variedad Batellos

*Muestra:* la presente muestra cerámica se basa en dos bordes.

*Principales modos de identificación:* engobe base color rojo, una fila de puntos asociados a motivos geométricos.

*Formas:* platos abiertos con diámetro grande.

*Tratamiento de superficie y decoración:* fondo engobado en rojo y decorado mediante líneas o bandas negras horizontales. El tratamiento de superficie es alisado por el interior y exterior.

*Pasta:* carbonatada de textura media de color rojo a rojo claro. Una de las muestras posee núcleo central. La densidad de inclusiones es baja en ferruginosas, calcita y partículas brillantes.

*Observaciones:* poco frecuente. Según Smith y Gifford (1966:171) y Gifford (1976) es un tipo minoritario perteneciente al Grupo Cerámico Polícromo No Especificado. En 1966, fue catalogado como parte del Grupo Cerámico Dos Arroyos y luego cambiado en Barton Ramie al Grupo Cerámico Actuncán (Gifford 1976).

##### 2) Boleto Negro sobre Naranja: Variedad Boleto

*Muestra:* la presente muestra cerámica se basa en un borde.

*Principales modos de identificación:* engobe base color naranja, superficie pulida, con pintura negra.

*Formas:* plato curvo convergente, base anular.

*Tratamiento de superficie y decoración:* el tratamiento de superficie es muy parecido al del Águila Naranja. Posee decoración geométrica en color negro por el interior.

*Pasta:* carbonatada de textura media color rojo claro, posee núcleo central. La densidad de inclusiones es baja en ferruginosas, calcita y partículas brillantes.

*Observaciones:* poco frecuente. Smith (1971) lo reporta en Mayapan.

### 3) San Blas Rojo sobre Naranja: Variedad San Blas

*Muestra:* se basa en dos bordes.

*Principales modos de identificación:* engobe color naranja, acabado pulido y posee una banda sobre el borde de color rojo oscuro.

*Formas:* plato y cuenco recto divergentes.

*Tratamiento de superficie y decoración:* Tratamiento de superficie pulido, con engobe naranja por el interior. Sobre el engobe naranja se encuentra decorado por el borde con una banda de color rojo oscuro.

*Pasta:* carbonatada de textura que va de fina a media de color rojo claro a rojo oscuro. No cuenta con núcleo y la densidad de inclusiones va de media a alta, con gran cantidad de partículas de calcita y ferruginosas.

e. Japón

### 1) Japón Resistente: Variedad Japón

*Muestra:* la presente muestra se basa en nueve tiestos cerámicos. Incluye dos bordes y los otros siete están distribuidos en bases y cuerpos (Figuras 87 y 88).

*Principales modos de identificación:* fondo naranja rojizo decorado por medio de la técnica de pintura al negativo.

*Formas:* plato y cuenco curvo convergentes.

*Tratamiento de superficie y decoración:* engobe base color naranja decorada por medio de la técnica de pintura al negativo color café o naranja oscuro, en su mayoría son figuras

circulares. Esta se caracteriza por presentar una capa de engobe secundario de color café oscuro aplicado sobre la base de engobe naranja.

*Pasta:* carbonatada de textura fina de color naranja rojizo y rojo. Una de las muestras posee núcleo y una baja densidad de inclusiones de partículas brillantes, calcita y ferruginosas.

*Observaciones:* la presente muestra es un grupo minoritario, pero significativo por lo poco frecuente y la técnica de decoración.

f. Pucte

#### 1) Pucte Café: Variedad Pucte

*Muestra:* la presente muestra se basa en 109 tiestos cerámicos. Incluye 20 bordes y los otros 89 se distribuyen en cuerpos, bases y labio (Figuras 89 y 90).

*Principales modos de identificación:* color de superficie café y acabado de superficie pulido.

*Formas:* cuencos ligeramente curvo-convergentes y labios redondeados, y platos curvo y recto-convergentes.

*Tratamiento de superficie y decoración:* posee engobe en el interior y exterior de color café y café oscuro, en algunos casos posee partes ahumadas. El tratamiento de superficie es pulido.

*Pasta:* carbonatada de textura media a fina de color naranja rojizo, rojo y rojo oscuro. Son pocos los bordes que presentan núcleo. La pasta posee baja densidad de calcita, ferruginosas y en algunos casos, partículas brillantes.

*Observaciones:* corresponde a los monocromos del Clásico Temprano, en este contexto se encuentra en menor frecuencia y con pocos diagnósticos.

#### 2. Complejo *Waay*.

Este complejo corresponde a la cerámica del Clásico Tardío. Es comparable a otros complejos cerámicos de Tierras Bajas, tales como Tepeu en Uaxactún (Smith 1955), Lac

Na en El Mirador (Forsyth 1989), Tepejilote en Ceibal (Sabloff 1975), Abril de La Joyanca (Forné 2006) y el Complejo Nacimiento de la región del Petexbatún (Foias y Bishop 2013).

Este complejo se encontró distribuido en todos los estratos, predominando la cerámica sin engobe del grupo Cambio y los monocromos como los grupos Tinaja Rojo, Azote Naranja, Máquina Café, Infierno Negro y Harina. Esta frecuencia mayor indica que este período reportó mayor actividad de desechos en los basureros 1 y 3. En el caso del basurero 1 se encontró en los tres basureros: Basurero Temprano (1A), Basurero Medio (1B) y basurero tardío (1C).

#### a. Grupo Cambio

##### 1) Cambio sin Engobe: Variedad ND

*Muestra:* la muestra se basa en 772 tiestos cerámicos. Incluye 88 bordes y los otros 684 se distribuyen en bases, cuellos, cuerpos, hombros y labios (Figura 94).

*Principales modos de identificación:* ollas o cuencos sin engobe, superficie alisada y no posee decoración.

*Formas:* la más representativa para este tipo son las ollas de cuello curvo divergentes, seguida de cuencos grandes con un diámetro que va de 20 a 40 cm. En esta muestra, se incluye un plato curvo convergente.

*Tratamiento de superficie y decoración:* el color de la superficie sin engobe es ante, pero hay algunos casos que la tonalidad varía de naranja, café y rojo. Sin embargo, estas variantes de tonalidad no cuentan con un baño, es por ello que se conservan en esta variedad.

*Pasta:* carbonatada que va de textura media a gruesa, en algunos casos, presentan núcleo que varía del color de la pasta a gris. En su mayoría, presenta una alta cantidad de inclusiones entre las cuales resalta la calcita, ferruginosas y partículas brillantes.

## 2) Cambio sin Engobe: Variedad Baño rojo

*Muestra:* se basa en 1,299 tiestos cerámicos, conformados por 124 bordes y los otros 1,175 se distribuyen en asas, bases, cuerpos, cuellos, hombros y labios (Figuras 95, 96, 97, 98 y 99).

*Principales modos de identificación:* superficie sin engobe con baño rojo y a veces varia en naranja rojizo.

*Formas:* las más representativas en esta muestra son ollas de cuello curvo divergente, cuello vertical y en menor cantidad, cuello recto divergente y cuello convergente.

*Tratamiento de superficie y decoración:* no presenta decoración. El tratamiento de superficie es alisado con baño rojo.

*Pasta:* carbonatada de textura media a fina de color rojo, aunque presenta variaciones de color naranja rojizo y café. En algunos casos, cuenta con núcleo y la densidad de inclusiones va de media a alta con gran cantidad de partículas de calcita, ferruginosas y partículas brillantes.

*Observaciones:* esta variedad es bastante común en La Corona.

## 3) Cambio sin Engobe: Variedad Baño crema

*Muestra:* se basa en cinco tiestos cerámicos, distribuidos en un borde y los otros cuatro en hombros, base y cuerpos (Figura 100).

*Principales modos de identificación:* superficie alisada con baño crema.

*Formas:* cuenco recto divergente de labio redondeado. No cuenta con decoración.

*Tratamiento de superficie y decoración:* posee una capa delgada de baño crema por el interior y exterior de la vasija. El tratamiento de superficie es alisado.

*Pasta:* carbonatada de textura fina de color naranja claro. Esta muestra cuenta con núcleo y la densidad de inclusión fue baja den partículas negras.

*Observaciones:* poco frecuente. Es una categoría preliminar de análisis. López (2019) también lo encuentra en las excavaciones del Sakbe y Grupo Tortugas de La Corona.



#### 4) Cambio sin Engobe: Variedad Baño negro

La muestra está representada por cinco cuerpos; por ser una muestra tan pequeña no se puede realizar una descripción cerámica tan extensiva. En los cinco cuerpos, se observa que la superficie es alisada, no posee decoración y poseen una capa delgada de baño negro.

#### 5) Ciro Inciso: Variedad Ciro

La muestra está representada por un cuerpo; por ser una muestra tan pequeña no se puede realizar una descripción cerámica tan extensiva. La superficie es alisada y posee incisiones geométricas en la superficie exterior (Figura 101).

*Observaciones:* Aparece en la tipología del Sureste de Petén (Laporte 2007).

#### 6) Encanto Estriado: Variedad Encanto

*Muestra:* la muestra se basa en 1,534 tiestos cerámicos, distribuidos en tres bordes y los otros 1,531 en bases, cuerpos, cuellos y hombros (Figuras 102 y 103).

*Principales modos de identificación:* superficie sin engobe con estrías ubicadas en la superficie exterior.

*Formas:* ollas curvo-divergentes, los diámetros del borde van de 25 a 35 cm.

*Tratamiento de superficie y decoración:* tratamiento de superficie alisado por el interior y con decoración estriada en la superficie exterior. No presente engobe.

*Pasta:* carbonatada media de color ante, café y rojo claro. Un borde de la muestra posee núcleo y la densidad de inclusiones va de media a alta en calcita, ferruginosas y partículas brillantes.

*Observaciones:* esta variedad es la segunda más frecuente en la muestra. La mayoría de la muestra identificada de este tipo corresponde a cuerpos.

7) Encanto Estriado: Variedad Baño rojo

*Muestra:* la muestra se basa en 1,578 tiestos cerámicos, distribuidos en seis bordes y los otros 1,572 en bases, cuellos, cuerpos y hombros (Figura 104).

*Principales modos de identificación:* superficie sin engobe con estrías ubicadas en la superficie exterior y una capa ligera de baño rojo que puede estar en el interior y/o exterior de la vasija.

*Formas:* ollas de cuello curvo convergentes, también ligeramente curvo convergente. Cuencos ligeramente curvo-convergentes y un plato curvo-divergente.

*Tratamiento de superficie y decoración:* tratamiento de superficie alisado por el interior y con decoración estriada en la superficie exterior. Posee baño de color rojo por el interior y exterior. No presente engobe.

*Pasta:* carbonatada de textura media a gruesa, el color varía entre rojo, rojo oscuro, crema y naranja rojizo. Algunas de las muestras presentan núcleo y la densidad de inclusiones va de media a alta en calcita, baja en ferruginosas y media en partículas brillantes.

*Observaciones:* esta variedad es la más frecuente en la muestra total. Se compone principalmente de cuerpos.

8) Encanto Estriado: Variedad Baño crema

La muestra es representada por 20 cuerpos y cuatro hombros; por ser una muestra tan pequeña no se puede realizar una descripción cerámica tan extensiva. La superficie exterior posee decoración estriada. El baño puede estar en el interior y/o exterior de la vasija, siendo una capa delgada de color crema.

*Observaciones:* categoría preliminar de análisis pendiente de evaluar.

9) Encanto Estriado: Variedad Pepino

La muestra es representada por tres cuerpos; por ser una muestra tan pequeña no se puede realizar una descripción cerámica tan extensiva. La superficie exterior posee decoración geométrica estriada. No posee engobe.

*Observaciones:* poco frecuente.

10) Valente Estriado Impreso: Variedad Valente

La muestra es representada por siete cuerpos; por ser una muestra tan pequeña no se puede realizar una descripción cerámica tan extensiva. La superficie exterior posee decoración estriada y una banda con impresiones. No posee engobe (Figura 105).

*Observaciones:* Aparece en la tipología del Sureste de Petén (Laporte 2007).

11) Manteca Impreso: Variedad Manteca

*Muestra:* se basa en un borde.

*Principales modos de identificación:* superficie sin engobe y banda impresa en el exterior.

*Formas:* plato recto divergente con labio biselado y un diámetro de 20 cm.

*Tratamiento de superficie y decoración:* posee baño rojo por el interior y exterior de la vasija. El tratamiento de superficie es alisado con banda impresa por el exterior.

*Pasta:* pasta carbonatada de textura fina de color rojo con núcleo de color negro. La densidad de inclusiones es baja en calcita y ferruginosas.

12) Manteca Impreso: Variedad ND en filete

La muestra es representada por cuatro cuerpos; por ser una muestra tan pequeña no se puede realizar una descripción cerámica tan extensiva. La superficie exterior posee decoración con aplicaciones. No posee engobe (Figura 106).

13) Miseria Aplicado: Variedad Miseria

*Muestra:* se basa en dos cuerpos.

*Principales modos de identificación:* aplicaciones en forma de espigas sobre la superficie sin engobe.

*Tratamiento de superficie y decoración:* el tratamiento de superficie es alisado sin engobe de color negro ahumado/quemado. La superficie exterior posee decoración en forma de espigas.

*Observaciones:* este tipo consiste principalmente en incensarios y por ende, su función es Especial y Ritual (Moriarty y Foias 2007).

#### 14) Pedregal Modelado: Variedad Pedregal

*Muestra:* la presente descripción se basa en dos cuerpos.

*Principales modos de identificación:* decoración modelada en la superficie exterior.

*Tratamiento de superficie y decoración:* el tratamiento de superficie es alisado, de color rojizo. El exterior de la superficie presenta decoración modelada y aplicada.

*Observaciones:* al igual que Miseria Aplicado, corresponde a incensarios. Una de las muestras de los cuerpos es un fragmento de incensario.

#### b. Grupo Azote

##### 1) Azote Naranja: Variedad Azote

*Muestra:* la descripción de la muestra se basa en 1,560 tiestos cerámicos, distribuidos en 299 bordes y los otros 1,261 en bases, cuellos, cuerpos, labios, soporte y hombro (Figuras 107, 108, 109, 110, 111, 112 y 113).

*Principales modos de identificación:* superficie lustrosa color naranja.

*Formas:* se identificaron varias formas, como cuencos de pared curvo convergente, recto divergente, ligeramente curvo convergente, curvo divergente, marcadamente curvo convergente, recto vertical y recto divergente. En el caso de las ollas, con cuello curvo curvo divergente, curvo convergente, vertical, recto divergente y pared curvo convergente con cuello recto divergente; los platos, las formas variaron en curvo convergente, curvo convergente, pared ligeramente curvada y recto divergente. En esta muestra, aparece un fragmento de tambor y cuatro ejemplares de vasos de pared recto vertical.

*Tratamiento de superficie y decoración:* en su mayoría, poseen engobe en ambas superficies, en algunos casos se observa un pre-engobe color crema. El tratamiento de superficie es pulido y no presenta decoración.

*Pasta:* carbonatada y compacta que va de textura fina a media, el color puede ser rojo, café, café rojizo, rojo claro, crema, naranja rojizo, naranja claro, gris, beige y ante. La densidad de inclusiones va de media a baja en calcita, ferruginosas y partículas brillantes.

*Observaciones:* este tipo no es muy común en Petén por la dificultad de diferenciarlo con el grupo Tinaja, el cual presenta un rango de variación tonal bastante amplio. En la tipología propuesta por Smith y Gifford (1966) este tipo es incluido dentro del complejo Tepeu 3, sin embargo, en la mayoría de los estudios se enmarca en el Clásico Tardío, debido a la dificultad de diferenciarlo de los ejemplares de Tepeu 1 y Tepeu 2 (Saravia *et al.* 2019). Sin embargo, este ejemplar es bastante común en La Corona.

## 2) Azote Naranja: Variedad Manchado de fuego

*Muestra:* la muestra se basa en 43 tiestos cerámicos, distribuidos en un borde y los otros 42 en bases, cuerpos y cuello.

*Principales modos de identificación:* superficie naranja con pequeñas manchas de color negro. Esto sucede al momento de cocción.

*Forma:* olla con cuello recto divergente.

*Tratamiento de superficie y decoración:* con engobe por el interior y exterior de color naranja a naranja rojizo con pequeñas manchas de color negro. La superficie se encuentra pulida o alisada.

*Pasta:* la textura de la pasta va de media a fina, su color va de naranja, naranja rojizo hasta rojo. Algunos poseen núcleos centrales y la densidad de inclusiones puede ser media o baja con una cantidad promedio de calcita y ferruginosa.

*Observaciones:* poco frecuente. Posterior al Águila manchado de fuego que aparece en Complejo *Ochiib*. Es una variedad preliminar pendiente de análisis.

### 3) Pasos Impreso: Variedad Pasos

*Muestra:* se basa en un borde.

*Principales modos de identificación:* color de engobe naranja en interior y exterior. La decoración consiste en impresión de triángulos invertidos.

*Forma:* cuenco curvo convergente.

*Tratamiento de superficie y decoración:* engobe naranja en ambas superficies. La decoración es impresa en forma de triángulos invertidos. El tratamiento de superficie es pulido.

*Pasta:* carbonatada de textura fina de color naranja claro. No posee núcleo y la densidad de inclusiones es baja en calcita y ferruginosas.

*Observaciones:* poco frecuente. Domínguez (1994) lo propone en la tipología de Calakmul.

### 4) Salada Acanalada: Variedad Salada

*Muestra:* se basa en 15 tiestos cerámicos, distribuido en tres bordes y los otros 12 en cuerpos y base (Figura 115).

*Principales modos de identificación:* engobe naranja con acanaladuras por el exterior.

*Formas:* tres vasos de pared recto vertical.

*Tratamiento de superficie y decoración:* posee engobe en ambas superficies y una de las muestras posee pre-engobe color crema. La superficie es pulida y su decoración son acanaladuras en el exterior.

*Pasta:* carbonatada de textura media a fina de color rojo claro, naranja rojizo y café oscuro. Una de las muestras presenta núcleo y la densidad de inclusiones va de media a abaja en calcita, ferruginosas y partículas brillantes.

### 5) Salada Acanalada: Variedad Acanalado-Inciso

La muestra es representada por dos cuerpos; por ser una muestra tan pequeña no se puede realizar una descripción cerámica tan extensiva. La superficie es pulida y su decoración son acanaladuras e incisiones por el exterior (Figura 114).

#### 6) Torres Inciso: Variedad Torres

*Muestra:* se basa en 18 tiestos cerámicos distribuidos en 12 bordes y los otros seis en cuerpos y bases (Figura 116).

*Principales modos de identificación:* superficie naranja lustrosa con decoración incisa en el exterior.

*Formas:* vasos recto-verticales y recto-divergentes. Cuencos con pared ligeramente curvo convergente, recto divergente y ligeramente curvo convergente. También se representó un dish con pared curvo convergente.

*Tratamiento de superficie y decoración:* engobe se encuentra en ambas superficies, y en algunos casos en el exterior. Las superficies son pulidas y su decoración consiste en motivos incisos simples o geométricos en el exterior, en su mayoría estos motivos forman una banda alrededor de la vasija. Dos de las muestras poseen pintura color azul por el labio exterior.

*Pasta:* carbonatada de textura media a fina con distintos colores, estos pueden ser rojo claro, naranja rojizo, naranja, rojo oscuro y ante. La mayoría de la muestra posee núcleo y la densidad de inclusiones va de media a baja en calcitas, ferruginosas y partículas brillantes.

#### c. Grupo Harina

##### 1) Harina Crema: Variedad Harina

*Muestra:* la descripción se basa en 17 tiestos cerámicos, distribuidos en cuatro bordes y trece cuerpos (Figura 117).

*Principales modos de identificación:* superficie pulida a mate con engobe crema.

*Formas:* dos vasos recto-verticales, uno recto divergente y un plato recto divergente.

*Tratamiento de superficie y decoración:* con engobe, en su mayoría en ambas superficies, color crema o naranja. El tratamiento de superficie es alisado o pulido.

*Pasta:* carbonatada de textura media a fina de color rojo, rojo oscuro, rojo claro o naranja. Solo una de las muestras posee núcleo central de color negro y la densidad de las

inclusiones es media en calcita, ferruginosas, partículas brillantes y en una de las muestras, hay una baja densidad en mica.

*Observaciones:* poco frecuente. Aparece en la tipología cerámica establecida por Sabloff (1975) en Seibal y la cerámica de El Perú-Waka' (Eppich *et al.* 2016).

#### d. Grupo Infierno

##### 1) Infierno Negro: Variedad Infierno

*Muestra:* la descripción se basa en 554 tiestos cerámicos, distribuidos en 88 bordes y los otros 466 en cuerpos, cuellos, bases, hombros, soporte y pestañas (Figuras 118, 119 y 120).

*Principales modos de identificación:* engobe color negro pulido o alisado.

*Formas:* se presentaron diversidad de formas, que incluyen cuencos, platos, vasos y dish. Los cuencos son, en su mayoría, de pared curvo convergente, seguido por recto divergente, ligeramente curvo convergente y marcadamente curvo convergente. Los platos de forma curvo convergente, curvo divergente, ligeramente curvo convergente, recto divergente, recto vertical y de pared ligeramente curvada. Un vaso curvo divergente y un dish, recto divergente y curvo convergente.

*Tratamiento de superficie y decoración:* el tratamiento de superficie, por lo general, es pulido o alisado, aunque es difícil de definir debido al estado de conservación. El engobe se encuentra, por lo general, en el interior y exterior de la pieza. En algunos casos, posee baño color ante, negro o gris por el exterior.

*Pasta:* carbonatada de textura media a fina, el color puede variar de rojo, rojo claro, rojo oscuro, café oscuro o ante. Tiende a no presentar núcleo, sin embargo, cuando este se presenta por lo general es central o superficie exterior color negro. La densidad de inclusiones va de baja a media en calcita, partículas ferruginosas, partículas brillantes y negras.

*Observaciones:* en esta clasificación no se utilizó el tipo Achiotte Negro (Smith y Gifford 1966; Sabloff 1975) debido a la dificultad para separarlo del Infierno Negro. Lo que los diferencia el uno del otro es que Achiotte Negro posee una capa de engobe más delgada, casi como un baño.



## 2) Infierno Negro: Variedad Pulido Diferencial

La muestra es representada por un cuerpo; por ser una muestra tan pequeña no se puede realizar una descripción cerámica tan extensiva. Se diferencia por un engobe negro brillante, incisión fina y un pulido diferencial, las partes no pulidas son de color mate.

## 3) Infierno Negro: Variedad Estucado

*Muestra:* una base.

*Principales modos de identificación:* engobe negro brillante con estuco de color azul en el exterior de la pieza.

*Formas:* base plana.

*Tratamiento de superficie y decoración:* superficie de color negro con engobe pulido y lustroso. La decoración es una cinta de estuco de color azul por el exterior de la base.

*Observaciones:* es identificado por Forné (2006) en La Joyanca.

## 4) Carmelita Inciso: Variedad Carmelita

*Muestra:* se basa en 22 tiestos cerámicos distribuidos en 10 bordes y los otros 12 en cuerpos y base (Figuras 121 y 122).

*Principales modos de identificación:* engobe color negro brillante con decoración incisa sobre la superficie exterior.

*Formas:* se identificaron diversas formas, incluyendo cuencos, platos y vasos. Los cuencos son de pared curvo convergente, recto divergente y marcadamente curvo convergente. Los platos son recto-divergentes y los vasos con paredes curvo divergentes.

*Tratamiento de superficie y decoración:* con engobe en ambas superficies. El exterior cuenta con decoración incisa con diseños geométricos o una línea horizontal bajo el borde. El acabado de superficie es pulido y, en algunos casos, alisado.

*Pasta:* carbonatada de textura media y los colores pueden variar de gris, rojo claro, rojo oscuro, naranja oscuro, beige y café oscuro. En algunos casos, posee núcleo de color negro

y la densidad de inclusiones va de media a baja en calcita, ferruginosas y partículas brillantes.

*Observaciones:* poco frecuente en La Corona.

#### 5) Carmelita Inciso: Variedad Acanalado

La muestra es representada por un cuerpo; por ser una muestra tan pequeña no se puede realizar una descripción cerámica tan extensiva. Se diferencia por un engobe negro con la técnica de decoración acanalada e incisiones por el exterior.

#### 6) Chilar Aflautado: Variedad Chilar

*Muestra:* se basa en nueve tiestos cerámicos distribuidos en un borde y los otros ocho en cuerpos y bases.

*Principales modos de identificación:* engobe negro brillante con decoración aflautada ancha y vertical sobre el exterior.

*Formas:* bases planas y ligeramente redondeadas, cuenco curvo divergente.

*Tratamiento de superficie y decoración:* el tratamiento de superficie es pulido. El engobe se encuentra en el interior y exterior de la pieza. La técnica de decoración es aflautada por el exterior.

*Pasta:* carbonatada de textura fina de color rojo claro. No posee núcleo y la densidad de inclusiones es baja en calcita.

*Observaciones:* Foias (1996) distingue los acanalados verticales en Uaxactún y los del Suroeste del Petén se diferencian por acanalados oblicuos.

### e. Grupo Máquina

#### 1) Máquina Café: Variedad Máquina

*Muestra:* se basa en 790 tiestos cerámicos distribuidos en 191 bordes y los otros 599 en bases, cuellos, cuerpos, hombros, labios, pestañas y soportes (Figuras 123, 124, 125, 126 y 127).

*Principales modos de identificación:* superficie color café pulida.

*Formas:* se identificaron diversas formas, incluyendo cuencos, dish, olla, platos, tambor y vasos. Los cuencos son de pared curvo convergente, ligeramente curvo convergente, marcadamente curvo convergente, curvo convergente con cuello vertical, ligeramente curvada, recto divergente y recto vertical. Los dish son de paredes curvo-convergentes y las ollas de cuello curvo divergente. Los platos de pared curvo convergente, curvo divergente, ligeramente curvada, recto divergente y algunos sin pared (pared plana). En el caso de los tambores, uno posee cuello vertical y el otro era un fragmento muy pequeño para definir forma. Por último, los vasos poseen pared recto vertical.

*Tratamiento de superficie y decoración:* engobe café lustroso sin decoración. El tratamiento de superficie, en su mayoría es pulido, pero también puede ser alisado.

*Pasta:* carbonatada de textura media a fina que varía en color según el tiesto, estos varían en rojo, rojo claro, rojo oscuro, naranja rojizo, naranja, naranja claro, naranja oscuro, café rojizo, café oscuro, café, beige y ante. Algunas muestras poseen núcleo y la densidad de inclusiones va de media a alta en calcita, ferruginosas y partículas brillantes.

*Observaciones:* este tipo es poco común por la dificultad de diferenciarlo de Tinaja, al igual que Azote, por aspectos de nubarrones de cocción en la superficie. En la tipología de Smith y Gifford (1966) corresponde al complejo Tepeu 3, pero en el presente estudio se enmarca en el Clásico Tardío en general, como es común en otras tipologías.

## 2) Azúcar Impreso: Variedad Azúcar

*Muestra:* un borde.

*Principales modos de identificación:* engobe café lustroso con impresiones, que se consideran que fueron realizadas con las uñas de los dedos.

*Formas:* vaso de paredes curvo-divergentes.

*Tratamiento de superficie y decoración:* engobe por el exterior y sobre el labio café oscuro pulido. Posee impresiones por el exterior.

*Pasta:* carbonatada de textura fina color rojo, con núcleo por la superficie interior y exterior y la densidad de inclusiones es baja en calcita, ferruginosas y partículas brillantes.

*Observaciones:* poco frecuente.

### 3) Calabazo Gubiado Inciso: Variedad Calabazo

*Muestra:* seis tiestos cerámicos, distribuidos en tres bordes y tres cuerpos.

*Principales modos de identificación:* engobe café lustroso con incisiones delgadas geométricas por el exterior.

*Formas:* cuenco de paredes recto-divergentes y dos vasos, uno de pared recto divergente y otro de pared recto vertical.

*Tratamiento de superficie y decoración:* con engobe en ambas superficies, color café oscuro pulido. Posee la técnica de gubiada-incisa por el exterior.

*Pasta:* carbonatada de textura media de color rojo claro, naranja y café rojizos. Dos muestras poseen núcleo que varían de color gris oscuro a negro y la densidad de inclusiones va de baja a media en calcita y ferruginosas.

### 4) Calabazo Gubiado Inciso: Variedad Estucada

*Muestra:* un borde, una base (Figura 128).

*Principales modos de identificación:* engobe café lustroso con incisiones delgadas geométricas por el exterior. Posee pintura estucada de color rosa y rojo.

*Formas:* cuenco pequeño de pared recto divergente.

*Tratamiento de superficie y decoración:* con engobe en el exterior color café oscuro pulido. Posee la técnica de gubiada-incisa y pintura estucada color rojo por el exterior.

*Pasta:* carbonatada de textura media color rojo claro, posee núcleo central y la densidad de inclusiones es baja en calcita, ferruginosas y partículas brillantes.

*Observaciones:* poco común,

### 5) Canoa Inciso: Variedad Canoa

*Muestra:* siete tiestos cerámicos distribuidos en cuatro bordes y tres cuerpos (Figura 129).

*Principales modos de identificación:* engobe café y superficie pulida con incisiones.

*Formas:* se identificaron diversas formas, entre ellas, vaso, cuencos y plato. El vaso es de pared recto vertical. Los cuencos de pared curvo convergente y piriforme. El plato es recto divergente.

*Tratamiento de superficie y decoración:* posee engobe por el interior y el exterior color café oscuro. El tratamiento de superficie en el interior y exterior es pulido. Por el exterior presenta la técnica de decoración incisa.

*Pasta:* carbonatada de textura fina a gruesa color café, café oscuro o naranja rojizo. Dos bordes presentan núcleo de color gris oscuro. La densidad de inclusiones es baja en calcita, ferruginosas y partículas brillantes.

*Observaciones:* poco frecuente, es parecido al Carmelita Inciso, pero con engobe café.

#### 6) Tenaja Aflautado: Variedad Tenaja

*Muestra:* se basa en 24 tiestos cerámicos, distribuidos en ocho bordes y los otros 16 en cuerpos, bases y labio.

*Principales modos de identificación:* engobe café pulido con decoración aflautada ancha y vertical sobre el exterior.

*Formas:* se identificaron varias formas, entre ellas, vasos, cuencos y dish. Los vasos son de paredes recto vertical, recto divergente y recto convergente. Los cuencos de pared curvo divergente y el dish de pared recto vertical.

*Tratamiento de superficie y decoración:* el tratamiento de superficie es pulido y en algunos casos, alisada. El engobe se encuentra en el interior y exterior de la pieza, café oscuro. La técnica de decoración es aflautada por el exterior.

*Pasta:* carbonatada de textura fina a gruesa y los colores varían de naranja rojizo, rojo, rojo claro, café rojizo y beige. Algunos bordes presentan núcleo y la densidad de inclusiones es baja en calcita, ferruginosas y partículas brillantes.

*Observaciones:* poco frecuente, es parecido al Chilar Aflautado, pero con engobe café.

## f. Grupo Tinaja

### 1) Tinaja Rojo: Variedad Tinaja

*Muestra:* se basa en 1,162 tiestos cerámicos, distribuidos en 166 bordes y los otros 996 en bases, cuellos, cuerpos, hombros, labios y pestañas (Figuras 130 y 131).

*Principales modos de identificación:* superficie lustrosa con engobe color rojo.

*Formas:* presenta gran variabilidad de formas, entre ellas, cuencos, ollas, platos, tambor y vasos. Los cuencos curvo-convergentes, curvo divergente, ligeramente curvo convergente, marcadamente curvo convergente, pared curvo convergente con cuello curvo divergente, pared curvo convergente con cuello vertical y pared recto divergente. Las ollas de cuello vertical, cuello curvo divergente y cuello recto divergente. Los platos son curvo-divergentes, recto divergentes y pared ligeramente curvada. Y vasos recto-verticales.

*Tratamiento de superficie y decoración:* el engobe se presenta, en su mayoría, en ambas superficies. La superficie es alisada o pulida sin decoración.

*Pasta:* carbonatada de textura fina a gruesa color rojo, rojo claro, rojo oscuro, negro ahumado, naranja, naranja rojizo, naranja claro, gris, café, café oscuro, café rojizo, beige y ante. Algunos bordes presentan núcleo y la densidad de inclusiones oscila entre media y baja en calcita, ferruginosas y partículas brillantes.

*Observaciones:* este tipo y variedad es una de las más comunes en La Corona, al igual que otros sitios del Petén (Laporte 2007).

### 2) Tinaja Rojo: Variedad Nanzal

*Muestra:* se basa en 1,199 tiestos cerámicos distribuidos en 15 bordes y los otros 1,184 son bases, cuellos, cuerpos, hombros y tapaderas (Figuras 132 y 133).

*Principales modos de identificación:* presenta engobe por el exterior color rojo. La pasta es más fina que la de Tinaja Rojo Variedad Tinaja.

*Formas:* presenta gran variedad de formas, entre ellas cuencos, ollas, plato, tambor y vaso. Los cuencos con pared recto vertical, curvo divergente y ligeramente curvo convergente.

Las ollas de cuello vertical y curvo divergente. Plato de pared recto divergente y vaso curvo convergente.

*Tratamiento de superficie y decoración:* en su mayoría, posee engobe por el exterior y sobre el labio pulido rojo o rojo oscuro. El interior carece de engobe. No posee decoración y la pasta es más delgada que Variedad Tinaja.

*Pasta:* carbonatada de textura media a gruesa color rojo, café, beige, ante, crema y naranja. Algunos bordes poseen núcleo y la densidad de inclusiones va de media a baja en calcita y ferruginosas.

### 3) Tinaja Rojo: Variedad Manchado de Fuego

La muestra es representada por un cuerpo; por ser una muestra tan pequeña no se puede realizar una descripción cerámica tan extensiva. Se diferencia por un engobe rojo con pequeñas manchas de color negro como consecuencia de la cocción.

### 4) Chaquiste Impreso: Variedad Chaquiste

*Muestra:* se basa en 98 tiestos cerámicos distribuidos en 53 bordes y 45 cuerpos.

*Principales modos de identificación:* cuencos curvo-convergentes con una banda circunferencial aplicada e impresa, ubicada cerca del borde o en el hombro.

*Formas:* cuencos grandes de pared curvo convergente, ligeramente curvo convergente y marcadamente curvo convergente. El labio es redondeado. En su mayoría, el diámetro es mayor a 30 cm.

*Tratamiento de superficie y decoración:* en su mayoría, el engobe se presenta en la superficie interior y sobre el labio.

*Pasta:* carbonatada de textura fina a gruesa en una gran tonalidad de color, que incluye rojo, rojo claro, rojo oscuro, naranja, naranja claro, naranja rojizo, café, café rojizo, beige y ante. Algunos ejemplares poseen núcleo. Los desgrasantes empleados son calcita, ferruginosas y partículas brillantes, la densidad va de baja a alta.

*Observaciones:* al compararse con Tinaja Rojo, el tipo Chaquiste Impreso no es tan común en La Corona.

##### 5) Chaquiste Impreso: Variedad Sellado

*Muestra:* se basa en cuatro tiestos cerámicos distribuidos en dos bordes y dos cuerpos (Figura 134).

*Principales modos de identificación:* engobe rojo brillante con venda impresa aplicada bajo el borde o sobre el hombro. Impresiones de espirales sobre la banda.

*Formas:* cuenco marcadamente curvo convergente y curvo convergente de labio redondeado.

*Tratamiento de superficie y decoración:* el engobe se encuentra en el interior y exterior. La superficie es pulida por el exterior y presenta una decoración estampada, con diseños estampados, producidos por medio de sello.

*Pasta:* carbonatada de textura media color rojo claro y gris, no presenta núcleo y la densidad de inclusiones va de baja a media en calcita y ferruginosas.

*Observaciones:* poco frecuente.

##### 6) Chinja Impreso: Variedad Chinja

*Muestra:* la muestra consiste en 11 tiestos cerámicos distribuidos en 10 bordes y un cuerpo (Figura 135).

*Principales modos de identificación:* engobe rojo brillante con impresiones de uñas sobre la superficie externa, directamente sobre el cuerpo de la vasija.

*Formas:* cuenco curvo convergente y marcadamente curvo convergente de labio redondeado o biselado.

*Tratamiento de superficie y decoración:* posee engobe en las dos superficies con decoración impresa directamente sobre la pared, cerca del hombro. El acabado de superficie puede ser alisado o pulido.

*Pasta:* carbonatada de textura fina a gruesa y varía en colores que pueden ser rojo, rojo claro, rojo oscuro, naranja rojizo, ante y beige. Dos muestras poseen núcleo central y superficie exterior. Presenta inclusiones de calcita, ferruginosas y partículas brillantes de densidad baja y media.



*Observaciones:* poco común en La Corona.

#### 7) Corozal Inciso: Variedad Corozal

*Muestra:* se basa en cuatro tiestos cerámicos distribuidos en dos bordes, un cuerpo y una base.

*Principales modos de identificación:* engobe rojo, con incisiones geométricas finas sobre la superficie externa.

*Formas:* cuenco ligeramente curvo convergente de labio redondeado.

*Tratamiento de superficie y decoración:* el engobe se encuentra en el exterior e interior de la vasija, presentan pre-engobe crema por el interior y decoración incisa que consiste en motivos geométricos simples.

*Pasta:* carbonatada de textura fina color rojo claro y naranja claro; una de las muestras presenta núcleo central color gris oscuro. La densidad de inclusiones va de baja a media en calcita, ferruginosas y partículas brillantes.

*Observaciones:* poco común y se puede confundir con Torres Inciso; la diferencia entre estos es la uniformidad del engobe, ya que el Torres Inciso, en su mayoría, el engobe debe ser anaranjado.

#### 8) Pantano Impreso: Variedad Pantano

*Muestra:* se basa en ocho tiestos cerámicos, distribuidos en un borde y los otros siete en cuerpo, cuello y hombros (Figura 136).

*Principales modos de identificación:* engobe rojo lustroso, con impresiones de motivos geométricos repetitivos ubicados en el cuello de la vasija.

*Formas:* olla de cuello curvo divergente de labio aplanado/cuadrado.

*Tratamiento de superficie y decoración:* con engobe en el interior y exterior de la vasija color rojo pulido. Presenta decoración de impresos geométricos por el exterior de la vasija.

*Pasta:* carbonatada de textura media color rojo claro. No presenta núcleo. La densidad de inclusiones es media en calcita, ferruginosas y partículas brillantes.

*Observaciones:* poco común.

9) Pantano Impreso: Variedad Sellado

La muestra está representada por un cuerpo, un hombro y un cuello; por ser una muestra tan pequeña no se puede realizar una descripción cerámica tan extensiva. Se diferencia por un engobe color rojo lustroso con una banda circunferencial con diseños impresos por medio de sello u otro objeto, ubicado en el exterior de la vasija, específicamente debajo del cuello.

10) Subin Rojo: Variedad Subin

*Muestra:* un borde.

*Principales modos de identificación:* cuencos grandes con engobe rojo lustroso con una pestaña medial sin decoración.

*Formas:* cuenco marcadamente curvo convergente con labio biselado por el exterior. Presenta pestaña medial.

*Tratamiento de superficie y decoración:* la ubicación del engobe se encuentra en ambas superficies de la vasija. El tratamiento es pulido y sin decoración.

*Pasta:* carbonatada de textura media color ante. La densidad de las inclusiones es media en calcita y baja en ferruginosas.

*Observaciones:* poco común en La Corona.

11) Tolla Acanalado: Variedad Tolla

*Muestra:* cuatro cuerpos.

*Principales modos de identificación:* engobe rojo pulido con decoración acanalada sobre superficie exterior.

*Tratamiento de superficie y decoración:* como decoración presenta acanaladuras verticales en el exterior.

## 12) Zopilote Ahumado: Variedad Zopilote

*Muestra:* se basa en 17 tiestos cerámicos distribuido en ocho bordes y los otros nueve en bases y cuerpos (Figura 137).

*Principales modos de identificación:* platos abiertos con superficie interior ahumada y el exterior con engobe rojo pulido.

*Formas:* platos de pared curvo divergente, recto divergente y ~~pared~~ ligeramente curvada con labio redondeado, uno de redondeado aplanado y tres biselados. Algunas muestras poseen base de las cuales tres son planas y una indeterminada.

*Tratamiento de superficie y decoración:* presenta engobe en ambas superficies. El engobe por el interior varía en colores que pueden ser café, café oscuro o negro ahumado pulido o bruñido, probablemente debido al proceso de cocción. El engobe por el exterior es alisado o pulido de color rojo o naranja rojizo.

*Pasta:* carbonatada de textura fina a media y los colores oscilan entre rojo, rojo claro y naranja rojizo. Dos muestras poseen núcleo, uno central y otro por la superficie interior. Como desengrasante se identificó calcita, ferruginosas y partículas brillantes, la densidad de estas inclusiones va de baja a media.

g. Grupo Santa Rosa

## 1) Mataculebra Crema Polícromo: Variedad Mataculebra

*Muestra:* un cuerpo (Figura 138).

*Principales modos de identificación:* decoración polícroma por medio de la técnica de decoración reservada al negativo sobre la base roja y pre-engobe crema.

*Tratamiento de superficie y decoración:* decoración reservada al negativo, consiste en áreas donde el pre-engobe crema es visible. Posee líneas negras que delimitan la decoración, bajo estas se encuentran los motivos decorativos que pueden ser glifos, pseudoglifos o diseños geométricos.

*Observaciones:* se cree que este tipo se originó en la región de Piedras Negras (Muñoz 2006), en donde es muy característico.

## h. Grupo Saxché-Palmar

### 1) Saxché-Palmar Naranja Polícromo: Variedad ND

*Muestra:* es definida por 400 tuestos cerámicos distribuidos en 185 bordes y los otros 215 en cuerpos, bases, cuellos, hombros, labios, pestañas, y tapaderas (Figuras 139, 140, 141 y 142).

*Principales modos de identificación:* decoración polícroma pintada color rojo y negro sobre engobe de color naranja.

*Formas:* se identificaron varias formas, entre ellas cuencos, dish, platos y vasos. Los cuencos de forma curvo convergente, curvo divergente, ligeramente curvo convergente, pared ligeramente curvada y recto divergente. Los dish de paredes recto-divergentes. Platos de paredes curvo convergente, curvo divergente, pared ligeramente curvada y recto divergente. Los vasos de paredes recto vertical.

*Tratamiento de superficie y decoración:* el engobe base es color naranja ubicado en el interior y exterior de la superficie. La pintura de color rojo, negro y rojo oscuro se encuentra, según el caso, en el interior, exterior, ambas superficies, interior y sobre labio o exterior y sobre labio. El pre-engobe identificado en las muestras es color crema, ante, naranja claro y en algunos casos, naranja rojizo. Algunas muestras poseen baño en el exterior que oscila entre naranja, naranja rojizo, rojo, rojo claro, café y ante. El tratamiento de superficie de ambos lados, en su mayoría, es pulido; sin embargo, en algunos casos puede estar alisado.

*Pasta:* carbonatada de textura fina a gruesa color naranja rojizo, naranja, rojo, rojo claro, rojo oscuro, café, café oscuro, café rojizo y beige. Algunas muestras presentan núcleo central, superficie exterior y superficie interior. La densidad de inclusiones va de baja a alta en calcita, ferruginosas, partículas brillantes, arena volcánica, partículas negras e indeterminadas.

*Observaciones:* algunas muestras poseen glifos o pseudoglifos pintados en la superficie.

## 2) Saxché-Palmar Naranja Polícromo: Variedad Saxché

*Muestra:* se basa en 237 tiestos cerámicos, distribuidos en 106 bordes y los otros 131 en bases, cuerpos, labios y pestañas (Figuras 143, 144, 145 y 146).

*Principales modos de identificación:* decoración polícroma pintada color rojo y negro sobre engobe de color naranja. Platos muy abiertos, de pared curvo convergente. Cuencos ligeramente convergentes.

*Formas:* platos abiertos de pared curvo convergente y recto divergente, en algunos casos, con crestas mediales. Cuencos ligeramente curvo-convergentes y dish de paredes curvo-convergentes.

*Tratamiento de superficie y decoración:* el engobe base es color naranja ubicado en el interior y exterior de la superficie. La pintura de color rojo, negro y rojo oscuro se encuentra, según el caso, en el interior, exterior, ambas superficies, interior y sobre labio o exterior y sobre labio. El pre-engobe identificado en las muestras es color crema y amarillo. El tratamiento de superficie de ambos lados, en su mayoría, es pulido; sin embargo, en algunos casos puede estar alisado. La mayoría, posee banda con glifos en el exterior de la pieza.

*Pasta:* carbonatada de textura media a fina de color rojo claro, rojo, rojo oscuro, naranja rojizo, naranja claro, café, café oscuro y ante. Algunas muestras poseen núcleo, en su mayoría central, color negro o gris oscuro. La densidad de inclusiones es baja a media con la presencia de calcita, ferruginosas, partículas negras y partículas brillantes.

*Observaciones:* la muestra recuperada en el Basurero Temprano (1A) fue bastante alta en bordes, que permitieron definir rasgos morfológicos. Los aspectos decorativos y las formas permitieron identificar la Variedad Saxché, enmarcada en el horizonte Tepeu 1 (Smith 1955; Eberl 2007).

## 3) Saxché-Palmar Naranja Polícromo: Variedad Palmar

*Muestra:* se basa en 21 bordes (Figuras 147, 148, 149, 150 y 151).

*Principales modos de identificación:* decoración polícroma pintada color rojo y negro sobre engobe de color naranja.

*Formas:* cuencos de pared curvo convergente, recto divergente, ligeramente curvo convergente y marcadamente curvo convergente. Platos de pared recto divergente, curvo divergente, curvo-convergente y ligeramente curvada.

*Tratamiento de superficie y decoración:* el engobe base es color naranja ubicado en el interior y exterior de la superficie. La pintura de color rojo, negro y rojo oscuro se encuentra, según el caso, en el interior, exterior, ambas superficies, interior y sobre labio o exterior y sobre labio. El pre-engobe identificado en las muestras es color crema y baño en el exterior color naranja, naranja rojizo y ante. El tratamiento de superficie de ambos lados, en su mayoría es pulido, y en algunos casos el exterior puede estar alisado.

*Pasta:* compacta de textura media a fina de color naranja rojizo, naranja claro, rojo, rojo claro y rojo oscuro. Algunas muestras poseen núcleo central y en un caso, en la superficie exterior. La densidad de inclusiones va de media a baja en calcita, ferruginosas y partículas brillantes.

*Observaciones:* poco frecuente. Smith y Gifford (1966) lo establecen en el horizonte Tepeu 2, sin embargo, se ve poco representada en la muestra y por la falta de certeza para identificarlo, se optó colocarlo en Variedad ND.

#### 4) Saxché-Palmar Naranja Polícromo: Variedad Inciso

La muestra es representada por un cuerpo; por ser una muestra tan pequeña no se puede realizar una descripción cerámica tan extensiva. Se diferencia por decoración polícroma pintada color rojo y negro sobre engobe de color naranja. Presenta la técnica de decoración de pequeñas incisiones por la superficie exterior.

#### 5) Saxché-Palmar Naranja Polícromo: Variedad Resistente

*Muestra:* se basa en 21 tiestos cerámicos, distribuidos en nueve bordes y los otros 12 en bases y cuerpos.

*Principales modos de identificación:* engobe brillante, con decoración roja y negra aplicada sobre engobe naranja. Decoración resistente o negativa que deja evidenciar en algunos lugares la base crema.

*Formas:* platos recto-divergentes y cuencos de paredes recto divergentes y ligeramente curvo convergentes, de labio redondeado, afinado y biselado. Bases ligeramente redondeada y plana.

*Tratamiento de superficie y decoración:* base crema aplicada en primer lugar sobre toda la superficie, sobre la cual aparecen las líneas negras que delimitan la decoración. Forné (2006) define que sobre la superficie se aplica seguidamente una materia que desaparece en el cocido (posiblemente cera) en los espacios destinados a quedarse con la base principal (crema). Seguido de esto, el engobe naranja cubre la pieza y el rojo se coloca en ciertos lugares. Durante el período de cocción, la cera se derrite y deja aparecer en negativo las partes delimitadas por el negro. El engobe es pulido y brillante. La decoración pintada es de motivos geométricos, glifos y pseudoglifos.

*Pasta:* carbonatada de textura media color rojo y rojo claro. Dos muestras poseen núcleo en la superficie exterior. La densidad de inclusiones es baja en calcita, ferruginosas y partículas brillantes.

*Observaciones:* identificada en Altar de Sacrificios por Adams (1971).

#### 6) Anonal Naranja Polícomo: Variedad Anonal

*Muestra:* tres bordes, dos cuerpos y una base (Figura 152).

*Principales modos de identificación:* engobe naranja con decoración polícroma color rojo sobre naranja en forma de círculos reservados.

*Formas:* cuencos de paredes recto-divergentes de labio redondeado y biselado. Una base indeterminada.

*Tratamiento de superficie y decoración:* engobe base naranja, por encima se aplica color rojo y luego, color negro. Ambas superficies poseen engobe pulido. Una de las muestras posee pre-engobe en el exterior color crema. La superficie exterior posee decoración pintada de círculos reservados naranjas con leve contorno.

*Pasta:* carbonatada de textura fina de color naranja rojizo, rojo y rojo oscuro. La densidad de inclusiones es baja en calcita, ferruginosas y partículas brillantes.

*Observaciones:* poco representado en Tierras Bajas y solo se encuentra en Uaxactún y Altar de Sacrificios (Smith y Gifford 1966; Adams 1971).

### 7) Central Farm Compuesto: Variedad Farm

La muestra es representada por seis cuerpos; por ser una muestra tan pequeña no se puede realizar una descripción cerámica tan extensiva. Se diferencia por decoración polícroma pintada color rojo sobre naranja/crema. Presenta la técnica de decoración aflautada en la superficie exterior. Establecida por Smith y Gifford (1966) en Uaxactún.

### 8) Chantuori Negro sobre Naranja: Variedad Chantuori

*Muestra:* se basa en 60 tiestos cerámicos distribuidos en 21 bordes y los otros 40 en cuerpos, bases y pestañas (Figuras 153 y 154).

*Principales modos de identificación:* engobe naranja brillante con decoración pintada de color negro sobre el engobe.

*Formas:* se identificaron diversas formas, entre ellas cuencos, ollas, dish, platos y vasos. Los cuencos son de pared curvo divergente y ligeramente curvo convergente; una olla de cuello vertical; dish de paredes curvo-convergentes; plato de pared curvo convergente y recto divergente; y un vaso de pared recto vertical. Bases planas, ligeramente redondeada y convexas.

*Tratamiento de superficie y decoración:* pre-engobe crema o rojo claro en ambas superficies. El engobe puede aparecer en interior y exterior de la pieza o bien, en el interior. La decoración es pintura color negra ubicada en el interior, exterior o en ambas superficies.

*Pasta:* carbonatada de textura fina a gruesa que oscila en los colores rojo, rojo oscuro, rojo claro, naranja, naranja rojizo, café, café rojizo, café oscuro y ante. Algunas muestras poseen núcleo. Los desengrasantes son calcita, ferruginosas, partículas brillantes y la densidad va de media a baja.

### 9) Chantuori Negro sobre Naranja: Variedad Estucada

*Muestra:* un borde.

*Principales modos de identificación:* engobe naranja brillante con decoración pintada de color negro sobre el engobe.



*Formas:* cuenco curvo convergente con labio redondeado.

*Tratamiento de superficie y decoración:* pre-engobe crema o rojo claro en ambas superficies. Con engobe en interior y exterior de la pieza o bien. La decoración es pintura color negra ubicada en el interior y exterior. Posee pintura estucada color azul.

*Pasta:* carbonatada de textura fina de color rojo. La densidad de inclusiones es baja en calcita.

*Observaciones:* se apartó en esta variedad por el hecho de tener pintura estucada color azul en el exterior.

#### 10) Desquite Rojo sobre Naranja: Variedad Desquite

*Muestra:* se basa en 101 tiestos cerámicos distribuidos en 49 bordes y los otros 52 en bases, cuerpos y pestañas.

*Principales modos de identificación:* pintura roja sobre engobe base naranja.

*Formas:* platos de pared curvo convergente, curvo divergente, recto divergente y pared ligeramente curvada. Cuencos de pared ligeramente curvo convergente, curvo divergente, curvo convergente y recto divergente. Bases planas y ligeramente redondeadas.

*Tratamiento de superficie y decoración:* engobe base color naranja pulido, en su mayoría por el interior y en algunos casos en ambas superficies. Algunos bordes poseían pre-engobe color crema en el interior y baño por el exterior, color crema, ante, rojo, naranja y naranja rojizo. El acabado de superficie por el interior es pulido y por el exterior alisado. La decoración consiste en una banda de pintura color rojo por el borde, sin embargo, algunos ejemplos poseen figuras geométricas y pseudoglifos.

*Pasta:* carbonatada de textura media a fina de color rojo, rojo claro, rojo oscuro, naranja, naranja claro, naranja rojizo, café rojizo y beige. En algunos casos, se presenta núcleo central o en la superficie exterior. La densidad de inclusiones va de baja a media en calcita, ferruginosas y partículas brillantes.

*Observaciones:* los fragmentos muy pequeños posiblemente son Saxché-Palmar, pero por el tipo de análisis Tipo-variedad se clasificaron como Desquite Rojo sobre Naranja Variedad Desquite.

### 11) Palmar Naranja Polícromo: Variedad Güisquil

*Muestra:* se basa en 99 tiestos cerámicos, distribuidos en 32 bordes y los otros 67 en bases, cuerpos y labios (Figuras 155, 156, 157, 158 y 159).

*Principales modos de identificación:* base crema con engobe naranja y decoración pintada de color negro. Posee glifos con orilla negra y pintada de naranja sobre una cinta de color crema reservada (al negativo) por técnica resistente.

*Formas:* cuencos de pared curvo convergente, curvo divergente, ligeramente curvo-convergente, curvo convergente con cuello divergente, curvo convergente con cuello recto divergente, recto divergente y recto vertical; platos de paredes recto divergentes y curvo divergentes; y vaso de pared recto vertical. Bases anulares, planas, ligeramente redondeada y anular.

*Tratamiento de superficie y decoración:* pre-engobe color crema en ambas superficies. Engobe en el interior y exterior de color naranja. Posee pintura reservada (al negativo) de color negro y rojo tanto en el exterior como en el interior de la pieza. El tratamiento de superficie es pulido por ambas superficies.

*Pasta:* carbonatada de textura media a fina, los colores oscilan entre rojo, rojo claro, rojo oscuro, naranja rojizo y café. Algunos bordes presentan núcleo. La densidad de las inclusiones es baja con presencia de calcita, ferruginosas y partículas brillantes.

*Observaciones:* es diferenciado del Mataculebra Crema Polícromo por el engobe base de color rojo y en Variedad Güisquil es naranja.

### 12) Polícromo erosionado

*Muestra:* se basa en 198 tiestos cerámicos distribuidos en 32 bordes y los otros 166 en bases, cuellos, cuerpos, hombros, labios y pestañas (Figuras 162, 163 y 164).

*Principales modos de identificación:* decoración polícroma. Sin embargo, la superficie se encuentra bastante erosionada y es por ello por lo que no se pudieron catalogar en una variedad específica.

*Formas:* se identificaron diversas formas, entre ellos cuencos, dish, platos, soportes y vasos. Los cuencos son de pared recto divergente, curvo convergente y ligeramente curvo

convergente; los dish de paredes recto-divergentes y curvo divergentes; platos de paredes recto divergente y curvo convergente; vasos de paredes recto vertical y curvo divergente. Bases planas, anulares, ligeramente redondeadas y remetidas.

*Tratamiento de superficie y decoración:* el engobe se puede encontrar en el interior, exterior o ambas superficies. Posee decoración pintada en ambas superficies y en algunos casos, solo en interior y exterior. Algunas muestras poseen pre-engobe crema en ambas superficies. El tratamiento de superficie puede ser alisado o pulido.

*Pasta:* carbonatada de textura fina a media de color rojo, rojo claro, rojo oscuro, naranja, naranja rojizo, café, café rojizo o beige. Algunos bordes poseen núcleo. Los desengrasantes utilizados son calcita, ferruginosas, partículas brillantes y partículas negras, de densidad baja a media.

*Observaciones:* polícromos que por su erosión no se pueden identificar en una variedad específica.

#### i. Grupo Zacatal

##### 1) Zacatal Crema Polícromo: Variedad Zacatal

*Muestra:* se basa en 16 tiestos cerámicos distribuidos en cinco bordes y los otros 11 en bases, cuerpos y tapadera.

*Principales modos de identificación:* engobe base color crema con pintura polícroma de color negro y rojo.

*Formas:* cuencos de paredes curvo-divergentes y curvo-convergentes; plato de paredes curvo divergentes y vasos de paredes recto verticales. Bases ligeramente redondeadas

*Tratamiento de superficie y decoración:* engobe en ambas superficies de color mate. Posee decoración pintada en el interior y exterior, en algunos casos solo por el exterior de color rojo, naranja y/o negro.

*Pasta:* carbonatada de textura fina a media de color rojo o rojo claro. Algunos bordes poseen núcleo central o en la superficie interior y exterior color negro. La densidad de inclusiones va de media a baja en calcita, ferruginosas y partículas brillantes.

## 2) Cabrito Crema Polícromo: Variedad Cabrito

La muestra es representada por un cuerpo; por ser una muestra tan pequeña no se puede realizar una descripción cerámica tan extensiva. Se diferencia por base crema con decoración pintada de líneas finas de color rojo, naranja, y en algunos casos negro. Los elementos decorativos pueden ser figuras humanas y glifos. Establecida por Smith y Gifford (1966) en Uaxactún.

## 3) Chinos Negro sobre Crema: Variedad Chinos

*Muestra:* la presente descripción se basa en dos bordes y dos cuerpos (Figuras 160 y 161).

*Principales modos de identificación:* engobe base crema con decoración pintada color negro.

*Formas:* un vaso con paredes recto-divergentes y cuenco con paredes ligeramente curvo convergentes.

*Tratamiento de superficie y decoración:* con engobe en ambas superficies color crema. La superficie interior y exterior, o únicamente en el exterior, color café rojizo o café oscuro. El tratamiento de superficie puede ser alisado o pulido.

*Pasta:* carbonatada de textura media color café o beige. Una de las muestras posee núcleo central. La densidad de partículas es baja en calcita, ferruginosas y partículas brillantes.

*Observaciones:* poco representado en las colecciones de Tierras Bajas, aunque aparece en Uaxactún y El Mirador (Smith y Gifford 1966; Forsyth 1989).

## 4) Gua Rojo sobre Crema: Variedad Gua

*Muestra:* la presente descripción se basa en siete tiestos cerámicos, cuatro bordes y los otros tres en cuerpos y base.

*Principales modos de identificación:* engobe crema y decoración pintada color rojo.

*Formas:* cuencos ligeramente curvo-convergentes y recto-divergentes; plato de paredes recto divergentes. Base plana.

*Tratamiento de superficie y decoración:* con engobe en ambas superficies color crema y pintado por el exterior y sobre labio color rojo con motivos geométricos y una banda bajo el borde. Una de las muestras posee baño en el exterior color crema.

*Pasta:* carbonatada de textura fina a media con colores que oscilan de rojo, rojo claro a naranja claro. No presenta núcleo y la densidad de inclusiones es baja en calcita y ferruginosas.

*Observaciones:* poco frecuente.

#### 5) Juleki Crema Polícromo: Variedad Juleki

La muestra es representada por una tapadera; por ser una muestra tan pequeña no se puede realizar una descripción cerámica tan extensiva. Se diferencia por base crema con diseños policromáticos en color rojo oscuro y negro. Los diseños pueden ser curvilíneos y abstractos. Poco frecuente. Establecida por Smith y Gifford (1966) en Uaxactún.

#### 6) Paixban Ante Polícromo: Variedad Paixban

La muestra es representada por un cuerpo; por ser una muestra tan pequeña no se puede realizar una descripción cerámica tan extensiva. Se diferencia por base ante con decoración pintada de color rojo, naranja, blanco y negro. Establecida por Smith y Gifford (1966) en Uaxactún.

### j. Grupo Indeterminado

#### 1) Estucado ND

*Muestra:* la presente descripción se basa en nueve tiestos cerámicos distribuidos en seis bordes y los otros tres en un cuerpo y dos tapaderas (Figuras 165, 166 y 167).

*Principales modos de identificación:* pintura estucada color celeste y/o rosada en la superficie.

*Formas:* vasos de pared recto vertical, cuenco curvo convergente y plato de paredes recto divergente.

*Tratamiento de superficie y decoración:* la tapadera presenta una banda circunferencial de estuco color celeste por el labio de la tapadera. El engobe se presenta en ambas superficies y el color oscila entre café rojizo, café oscuro, naranja y negro ahumado. El tratamiento de superficie puede ser pulido, alisado, mate o bruñado. Utiliza el método de decoración pintado y los colores pueden ser rosado, celeste, azul o verde.

*Pasta:* carbonatada de textura fina a media de color rojo, rojo oscuro, naranja y naranja rojizo. Dos muestras poseen núcleo central y en superficie interior. La densidad de inclusiones va de media a baja en calcita y ferruginosas.

*Observaciones:* parece ser propio de La Corona, sin embargo, la muestra es muy baja para determinarlo.

## 2) Base Color Rosado

La muestra es representada por cinco cuerpos; por ser una muestra tan pequeña no se puede realizar una descripción cerámica tan extensiva. Se diferencia por base color rosado. Parece ser propio de La Corona, sin embargo, la muestra es muy baja para determinarlo (Figura 168).

## 3. Complejo *Waay* (Faceta Tardía).

La faceta de *Waay* tardía se encuentra compuesta por la presencia de cerámica de la clase Gris Gina, grupo Chablekal. Este grupo ingresa la región después de 750 d.C. desde Palenque (Bishop 2014). Se han establecidos tres grupos del Chablekal Gris Fino, denominados Chablekal-Tiscul de la Costa, Chablekal-Usumacinta bajo y medio Ciprés con bicromía (Ancona *et al.* 2009). En el caso de La Corona, a nivel estilístico, la muestra puede vincularse con la región Usumacinta-Palenque, sin embargo, es importante contar con los resultados de INAA para establecer dicho criterio con total certeza (López 2019).

### a. Grupo Chablekal

#### 1) Chablekal Gris: Variedad No Especificada

*Muestra:* la presente descripción se basa en 20 tiestos cerámicos distribuidos en seis bordes y los otros 14 en cuerpos, bases y labio (Figura 173).

*Principales modos de identificación:* pasta fina color gris, superficie mate o pulida y no presenta decoración.

*Formas:* cuencos con paredes ligeramente curvo-convergentes y curvo-convergentes; dish con pared recto divergente. Bases ligeramente redondeadas.

*Tratamiento de superficie y decoración:* engobe en el interior y exterior de la pieza color negro, esta puede ser pulida o alisada.

*Pasta:* pasta de textura fina color gris sin desgrasantes.

## 2) Chicxulub Inciso: Variedad Chicxulub

*Muestra:* se basa en nueve tiestos cerámicos distribuidos en seis bordes y los otros tres en cuerpos y labios (Figuras 174 y 175).

*Principales modos de identificación:* pasta fina color gris con decoración incisa fina en la superficie.

*Formas:* cuencos ligeramente curvo convergente, recto divergente y curvo convergente.

*Tratamiento de superficie y decoración:* presenta decoración incisa fina en la superficie exterior, frecuentemente una o dos líneas circunferenciales debajo del borde y motivos geométricos en la superficie exterior. El tratamiento de superficie puede ser pulido, alisado o mate. Posee engobe en el interior y exterior de color gris y negro.

*Pasta:* gris de textura fina y no presenta desgrasantes.

## 3) Telchac Compuesto

*Muestra:* se basa en diez tiestos cerámicos distribuidos en seis bordes y los otros cuatro en una vasija completa, bases y cuerpos (Figura 176).

*Principales modos de identificación:* pasta fina color gris con decoración incisa y punzonada en la superficie.

*Formas:* cuencos de pared recto divergente, ligeramente curvo convergente y silueta compuesta. Se identificó una vasija completa de doble fondo y silueta compuesta con un diámetro de 15 cm.

*Tratamiento de superficie y decoración:* decoración punzonada en la superficie exterior, frecuentemente una o dos líneas circunferenciales debajo del borde y motivos geométricos.

*Pasta:* gris de textura fina y no presenta desgrasantes.

#### 4. Complejo Paat.

Este complejo corresponde al Clásico Terminal. Se vincula a los complejos Tepeu 3 de Uaxactún (Smith 1955), Post Lac Na de El Mirador (Forsyth 1989), Bayal de Ceibal (Sabloff 1975), Sepens de Petexbatún (Foias y Bishon 2013) y Tuspan de La Joyanca (Forné 2006). Parris (2016) indica que durante este complejo continúan presentes los grupos del Clásico Tardío y se presentan nuevos grupos de pastas finas.

##### a. Grupo Altar

###### 1) Altar Naranja: Variedad Altar

*Muestra:* consiste en seis tiestos cerámicos distribuidos en dos bordes y los otros cuatro en cuerpos y base (Figura 183).

*Principales modos de identificación:* pasta fina color naranja.

*Formas:* cuenco ligeramente curvo convergente y plato curvo divergente. Base plana.

*Tratamiento de superficie y decoración:* con engobe en ambas superficies pulido color naranja.

*Pasta:* naranja de textura fina sin inclusiones.



## 2) Cedro Acanalado: Variedad Cedro

La muestra es representada por un cuerpo; por ser una muestra tan pequeña no se puede realizar una descripción cerámica tan extensiva. Se diferencia por pasta naranja de textura fina y decoración acanalada en el exterior.

## 3) Pabellón Moldeado-Tallado: Variedad Pabellón

*Muestra:* consiste en cinco tiestos cerámicos distribuidos en un borde y cuatro cuerpos.

*Principales modos de identificación:* pasta naranja fina con decoración incisa en la superficie exterior.

*Formas:* cuenco recto divergente de labio redondeado.

*Tratamiento de superficie y decoración:* presenta engobe en superficie externa color rojo pulido. Decoración incisa, tallada y moldeada en el exterior de la superficie.

*Pasta:* naranja de textura fina sin inclusiones.

## 4) Tumba Negro sobre Naranja: Variedad Tumba

*Muestra:* dos bordes.

*Principales modos de identificación:* pasta naranja fina con decoración pintada negro sobre naranja.

*Formas:* cuenco ligeramente curvo convergente y labio redondeado.

*Tratamiento de superficie y decoración:* posee engobe en ambas superficies color naranja pulido. Presenta pintura en el interior y exterior, o simplemente en el interior color naranja claro o negro.

*Pasta:* naranja de textura fina sin inclusiones.

*Observaciones:* poco frecuente en la muestra.

## b. Grupo Balancan

### 1) Balancan Naranja: Variedad Balancan

*Muestra:* un borde.

*Principales modos de identificación:* pasta fina color naranja con engobe blanco.

*Formas:* cuenco ligeramente curvo convergente de labio afinado.

*Tratamiento de superficie y decoración:* engobe en ambas superficies color crema. El tratamiento de superficie es alisado por el interior y pulido en el exterior.

*Pasta:* naranja de textura fina con núcleo central y la densidad de inclusiones es baja en ferruginosas y partículas brillantes.

### 2) Caribe Inciso: Variedad Caribe

La muestra es representada por tres cuerpos; por ser una muestra tan pequeña no se puede realizar una descripción cerámica tan extensiva. Se diferencia por pasta naranja fina y con engobe en ambas superficies. La decoración es a base de bandas dibujadas paralelas y diagonales (Figura 184). Establecido por Smith y Gifford (1966) en Uaxactún.

### 3) Provincia Plano Relieve: Variedad Provincia

La muestra es representada por un cuerpo; por ser una muestra tan pequeña no se puede realizar una descripción cerámica tan extensiva. Se diferencia por pasta naranja fina y con engobe en ambas superficies. La decoración está sobre la superficie exterior con diseños en plano relieve de carácter natural y realístico (Figura 185). Smith (1971) la establece en Mayapán.

c. Grupo Tres Naciones

1) Poite Inciso: Variedad Poite

*Muestra:* un borde.

*Principales modos de identificación:* pasta fina con decoración incisa.

*Formas:* cuenco con pared recto divergente de labio redondeado.

*Tratamiento de superficie y decoración:* presenta engobe en el exterior y sobre labio color negro alisado en el interior y pulida por el exterior. Posee decoración incisa por la superficie exterior.

*Pasta:* pasta gris de textura fina con densidad baja de partículas negras.

*Observaciones:* se diferencia del Chablekal por la pasta y color de superficie.

2) Tres Naciones Gris: Variedad Tres Naciones

*Muestra:* dos bordes.

*Principales modos de identificación:* pasta fina color gris con engobe gris o negro.

*Formas:* cuenco ligeramente curvo convergente y olla con cuello curvo convergente.

*Tratamiento de superficie y decoración:* presenta engobe por el exterior color negro o gris y este puede ser alisado o pulido. Por el interior el tratamiento de superficie es alisado.

*Pasta:* gris de textura fina; una de las muestras posee núcleo central color negro y otra muestra presenta densidad baja en partículas brillantes.

*Observaciones:* muy poco en la muestra.

d. Grupo Infierno

1) Cubeta Inciso: Variedad Cubeta

La muestra es representada por una base ligeramente redondeada; por ser una muestra tan pequeña no se puede realizar una descripción cerámica tan extensiva. Se diferencia por un engobe negro y decoración incisa en el exterior de la superficie. Es equivalente o muy

similar a la Variedad Camarón Inciso (Figura 185). Establecido por Smith y Gifford (1966) en Uaxactún.

e. Grupo Máquina

1) Pepet Inciso: Variedad Pepet

*Muestra:* un borde (Figura 180).

*Principales modos de identificación:* superficie color café pulida.

*Formas:* cuenco marcadamente curvo convergente de labio redondeado.

*Tratamiento de superficie y decoración:* engobe café lustroso pulido en ambas superficies. La decoración es incisa en la superficie exterior.

*Pasta:* carbonatada de textura gruesa color rojo con núcleo central. La densidad de inclusiones es media en calcita, ferruginosas y partículas brillantes.

*Observaciones:* Es equivalente o muy similar a la Variedad Camarón Inciso. Establecido por Smith y Gifford (1966) en Uaxactún.

f. Grupo Tinaja

1) Camarón Inciso: Variedad Camarón

*Muestra:* nueve bordes (Figura 181).

*Principales modos de identificación:* engobe rojo brillante con decoración incisa sobre el exterior. Una acanaladura precoccción del borde.

*Formas:* cuenco curvo convergente.

*Tratamiento de superficie y decoración:* engobe en ambas superficies color rojo, rojo oscuro, café oscuro, naranja rojizo o negro ahumado. Presenta decoración en acanaladura circunferencial debajo del borde.

*Pasta:* carbonatada de textura media a gruesa que oscila en color rojo, rojo claro, rojo oscuro, naranja, naranja claro y naranja rojizo. Algunas muestras presentan núcleo. La densidad de inclusiones va de baja a alta en calcita, ferruginosas y partículas brillantes.

*Observaciones:* Establecido por Smith y Gifford (1966) en Uaxactún.

## 2) Portia Gubiado Inciso: Variedad Estucada

*Muestra:* un borde y dos cuerpos (Figura 187).

*Principales modos de identificación:* engobe rojo pulido con decoración incisa sobre el exterior y pintura estucada.

*Formas:* vaso con pared recto vertical con labio aplanado/acanalado.

*Tratamiento de superficie y decoración:* presenta engobe en ambas superficies color naranja amarillento pulido. Posee la técnica de decoración pintada por el exterior en estuco color celeste. Esta muestra posee pre-engobe crema en ambas superficies.

*Pasta:* carbonatada de textura fina, color rojo. No presenta núcleo y la densidad de inclusiones es baja en calcita y partículas brillantes.

*Observaciones:* poco frecuente. Establecido por Smith y Gifford (1966) en Uaxactún.

## D. Resumen de los resultados del análisis cerámico

### 1. Tipología cerámica.

El análisis Tipo-variedad permitió conocer la tipología cerámica de los basureros del Palacio de La Corona. Esta varió según el basurero y la temporalidad:

#### a. Basurero 1

Se identificaron 19 tipos cerámicos (Figura 53). Para el Complejo *Ochib* predominó el Grupo Águila (87.51%) Tipo Águila Naranja V. Águila (88.38% del Grupo y 77.34% del Complejo); seguido del Grupo Pucte (7.24%) Tipo Pucte Café V. Pucte (100% del Grupo y 7.24% del Complejo); en tercer lugar, el Grupo Balanza (2.79%) Tipo Balanza Negro V. Balanza (100% del Grupo y 2.79% del Complejo).

En el Complejo *Waay* predominó el Grupo Cambio (43.61%), Tipo Encanto Estriado V. baño rojo (30.40% del Grupo y 13.26% del Complejo); seguido por el Grupo Tinaja

(18.30%) Tipo Tinaja Rojo V. Tinaja (50.04% del Grupo y 9.16% del Complejo); en tercer lugar, se identificó el Grupo Saxché-Palmar (13.45%) Tipo Saxché-Palmar Naranja Policromo V. ND (48.79% del Grupo y 5.56% del Complejo).

Para el Complejo *Waay* (faceta tardía), se determina por el Grupo Chablekal, siendo este el único representado en este Complejo con 26 tiestos.

El Complejo *Paat* fue predominado por el Grupo Altar (46.67%) Tipo Altar Naranja V. Altar (57.14% del Grupo y 26.67% del Complejo); seguido por el Grupo Tinaja (40%) Tipo Camarón Inciso V. Camarón (100% del Grupo y 40% del Complejo); el tercer y cuarto lugar se identificó por Tres Naciones (6.67%) Tipo Tres Naciones Gris (100% del Grupo y 6.67% del Complejo), Máquina (6.67%) Tipo Pepet Inciso V. Pepet (100% del Grupo y 6.67% del Complejo), respectivamente.

#### b. Basurero 3

Fueron identificados 15 tipos (Figura 55). En el Complejo *Waay* predominó el Grupo Cambio (43.85%), Tipo Encanto Estriado V. Encanto (31.57% del Grupo y 13.85% del Complejo); seguido por el Grupo Tinaja (24.96%) Tipo Tinaja Rojo V. Nanzal (48.86% del Grupo y 12.20% del Complejo); en tercer lugar, se identificó el Grupo Azote (13.82%) Tipo Azote Naranja V. Azote (98.04% del Grupo y 13.55% del Complejo).

Para el Complejo *Waay* (faceta tardía), se identifica por el Grupo Chablekal, siendo este el único representado en este Complejo con 8 tiestos.

El Complejo *Paat* fue predominado por el Grupo Balancan (45.45%) Tipo Caribe Inciso V. Caribe (60% del Grupo y 27.27% del Complejo); seguido por el Grupo Altar (18.18%) Tipo Altar Naranja V. Altar y Tipo Cedro Acanalado V. Cedro (50% del Grupo y 9.09 % del Complejo para cada tipo).

## 2. Cronología.

El estudio detallado del análisis cerámico permitió conocer la cronología de los basureros asociados al Palacio (13Q-4) y la Estructura 13Q-27. Se determinó entonces que tanto el basurero 1 como el basurero 3 corresponden al Clásico Tardío. Sin embargo, por la presencia del Complejo *Ochib* en el Basurero Temprano (1A), posiblemente, comenzó a utilizarse como depósito a finales del Clásico Temprano.

Para esta investigación se profundizó más en el basurero 1, el cual fue dividido en tres etapas: Basurero Temprano (1A), Basurero Medio (1B) y basurero tardío (1C). Como resultado del análisis cerámico se determinó que las tres temporalidades del basurero 1 corresponden al Clásico Tardío. Inicia con el Basurero Temprano (1A), que se encontraba sobre la roca madre y fue sellado por un piso, al que se le llamó Carpintero. Aunque este basurero se ha fechado para inicios del Complejo *Waay*, posiblemente representa también la última etapa del Complejo *Ochiib*.

Posteriormente, el piso Carpintero fue cubierto por una acumulación de desecho, conformando el Basurero Medio (1B). En comparación al basurero anterior y el siguiente, la cantidad de material fue bastante baja, con 1,104 tiestos cerámicos, es decir el 12.84% de la muestra total, por lo que podría ser un relleno de nivelación o bien, que fue utilizado como basurero por un período de tiempo muy corto. Este basurero se podría fechar para el Clásico Terminal (Complejo *Paat*) por la presencia de un solo tiesto Altar Naranja; sin embargo, es posible que este tiesto provenga de niveles superiores. Es por ello que el Basurero Medio (1B) es fechado para el Complejo *Waay* Tardío. Presenta una baja cantidad de tiestos del Complejo *Ochiib* y la mayoría de la cerámica corresponde al Complejo *Waay*. Este relleno fue cubierto por un piso al que se le nombró Oropéndola, sobre el cual se depositó el último depósito del basurero 1, nombrado Basurero Tardío (1C). Éste data para el Clásico Terminal, por poseer varios ejemplares de cerámica fina del Complejo *Paat* y una abundante cantidad de cerámica gris fina. En cuanto a arquitectura, sobre el piso Oropéndola se levanta la Estructura 13Q-27.

### 3. Funcionalidad.

Con relación a la forma cerámica, es decir, si son platos, ollas, cuencos, dish o tambores, se siguieron los parámetros definidos por Moriarty y Foias (2007), quienes establecen cinco categorías: Servicio, Preparación y almacenaje, Almacenaje y servicio, Preparación y servicio y Especial/ritual.

#### a. Basurero 1

Los resultados del Basurero Temprano (1A), evidenciaron que la muestra de Servicio fue la más frecuente con un 80.12%, la cerámica que fue utilizada para el consumo de alimentos y bebidas, en este se identifican platos, cuencos pequeños y vasos. La categoría de Preparación y almacenaje se relaciona a ollas estriadas sin engobe con un porcentaje de 8.33%. A nivel funcional, se plantea que estas vasijas sirvieron para almacenar, preparar y transportar alimentos y/o líquidos. La categoría de Preparación y servicio se relaciona a cuencos grandes, el porcentaje fue de 9.21%. Estos se relacionan a la cocción y almacenaje de servicios, específicamente, con labores domésticas. Por último, con 2.34%, corresponde a la categoría Almacenaje y Servicio, en donde se incluyen ollas con engobe. A nivel funcional es muy parecida a vasijas que sirvieron para almacenar, preparar y transportar alimentos y/o líquidos, aunque a la diferencia es, que estas pudieron estar implicadas en ámbitos de servicio de alimentos.

Los resultados para el Basurero Medio (1B) evidenciaron que la muestra de Servicio es la más frecuente con un 64.24%. La siguiente categoría corresponde a Preparación y Servicio con 22.42%. Por último, con 13.33% corresponde a la categoría Preparación y almacenaje.

Los resultados para el basurero tardío (1C), evidenciaron que la muestra de Servicio es la más frecuente con un 62.28%. Seguido por Preparación y Servicio con 27.84%. La siguiente categoría corresponde a Preparación y Almacenaje con 4.79%; luego Almacenaje y Servicio con 4.79%. Por último, con 0.30% corresponde a la categoría especial y ritual,



en donde se incluyen tambores, incensarios y otros. Esta categoría se vincula a actividades ceremoniales que implicaron el uso de útiles cerámicos manufacturados específicamente para la actividad.

Durante el Basurero Temprano (1A) se evidenció que la cerámica más utilizada fue específica para el consumo de alimentos y bebidas (servicio). Los desechos del Basurero Medio (1B) evidenciaron lo mismo que en el basurero anterior. Para el basurero tardío, la cerámica más utilizada fue la de servicio, con la diferencia que en este basurero se encontró evidencia de cerámica Especial/ritual.

Con relación a las formas de vasijas, los resultados del Basurero Temprano (1A) evidenciaron que la muestra de platos fue la más frecuente 47.36%; seguido de cuencos con 41.06%; ollas con 10.70%, vasos con 0.59% y en menor cantidad, dish con 0.29%. La muestra del Basurero Medio (1B) evidenció que la forma más frecuente fueron los cuencos 48.78%, seguido de platos con 32.93%; ollas con 13.41% y la categoría de vasos con 4.88%. Para el basurero tardío (1C), la forma más frecuente fue la de platos con 41.30%; seguido de cuencos con 40.78%; ollas con 10.65%; vasos con 5.97%, y en menor cantidad dish y tambor con 1.04% y 0.26%, respectivamente.

#### b. Basurero 3

Los resultados del basurero 3, evidenciaron que la muestra de Servicio es la más frecuente con un 58.33%. Seguido por Preparación y Servicio con 26.39%. La siguiente categoría corresponde a Preparación y Almacenaje con 8.33%; luego Almacenaje y Servicio con 4.17%. Por último, con 2.78% corresponde a la categoría especial y ritual, en donde se incluyen tambores, incensarios y otros.

Con relación a las formas de vasijas, los resultados del basurero 3 evidenciaron que la muestra de cuencos fue la más frecuente 45.83%; seguido de platos con 34.72%; ollas con 13.89%, vasos con 4.17% y por último, la forma de tambor con 1.39% de la muestra total.

#### 4. Densidad

##### a. Basurero 1

Los resultados del Basurero 1, evidenciaron que el depósito con menor densidad fue el Basurero Tardío (1C) con 215 tiestos cerámicos por m<sup>3</sup>. Seguido por el Basurero Medio (1B) con 596 tiestos cerámicos por m<sup>3</sup>; y el depósito más denso fue el Basurero Temprano (1A) con 1,051 tiestos cerámicos por m<sup>3</sup>.

## XI. Discusión de resultados

De acuerdo con los objetivos iniciales de esta investigación, los resultados más relevantes fueron: 1) determinar la cronología del Basurero 1 del Palacio en base al material cerámico; 2) definir los modos cerámicos presentes en cada estrato del Basurero 1; 3) identificar una posible faceta temprana del Complejo *Waay* de La Corona; 4) determinar la ausencia de cerámica foránea en el Basurero 1; y 5) deducir la funcionalidad de cada etapa del Palacio a partir del análisis tipológico del material cerámico. Adicionalmente, la comparación preliminar del material cerámico analizado con los modos del depósito de la Estructura 13R-9 ha permitido establecer una correlación cronológica con las fechas de radiocarbono que han sido establecidas para esta última.

Inicialmente se planteó la hipótesis que los materiales provenientes del basurero del Palacio poseen una muestra significativa para la Fase Halcón I (550-750 d.C.), la cual contiene información confiable que permite proponer un refinamiento a la cronología del sitio La Corona. Para contestar la hipótesis y objetivos se elaboraron una serie de preguntas de investigación, de las cuales, las más importantes fueron: ¿Existe un cambio cronológico y/o funcional durante y después de la Fase Halcón I?, y ¿Se puede definir tres facetas cerámicas del Complejo *Waay*? Es decir, dividir en *Waay* Temprano, *Waay* y *Waay* Tardío. Es importante recalcar que la pandemia de COVID-19 limitó significativamente el tiempo de análisis, por lo que no se pudo realizar una comparación exhaustiva del material cerámico recuperado de la Estructura 13R-9 con la cerámica de los basureros del Palacio.

En los dos capítulos anteriores se expusieron los resultados de las excavaciones y el análisis del material cerámico del Basurero 1 y Basurero 3 del Palacio del sitio La Corona, con la finalidad de comprender mejor el Complejo *Waay* del Clásico Tardío, específicamente del área noroeste del Palacio. Los basureros se componen de una alta

cantidad de artefactos cerámicos, líticos y abundantes huesos de fauna. El Basurero 1 es el más grande que ha sido identificado y los materiales que lo componen reflejan diversidad de actividades económicas que tuvieron lugar en el Palacio durante su uso. No obstante, es importante reconocer que su interpretación requiere de investigaciones complementarias a la investigación cerámica.

## A. Cronología de los basureros del Palacio

Las excavaciones realizadas en el Basurero 1, ubicado al lado noroeste de la Estructura 13Q-4 (Palacio), han mostrado que este estuvo conformado por tres etapas denominadas: Basurero Temprano (1A), Basurero Medio (1B) y Basurero Tardío (1C). Este basurero se encuentra ubicado entre la Estructura 13Q-4 y 13Q-27. El Basurero 3 se identificó sobre la Estructura 13Q-27.

Se ha determinado que el inicio del uso del Basurero 1 se registra entre 550-600 d.C., aunque el material depositado corresponde desde finales del Clásico Temprano (500-600 d.C., Complejo *Ochib*), hasta el Clásico Tardío (600-800 d.C., Complejo *Waay*), prolongándose hasta el período Clásico Terminal (800-900 d.C., Complejo *Paat*).

Es importante destacar que no se cuenta con fechas de radiocarbono del basurero que apoyen una cronología exacta. Sin embargo, de las fechas de radiocarbono recuperadas del Palacio, la más temprana data entre 462 y 510 d.C. Esta corresponde al relleno de la Estructura 13Q-4E-Sub1 (*Ahk*), que marca el final de la Fase Coccochán e inicio de la Fase Colibrí, indicando el inicio de la presencia de la dinastía *Kaanul* en La Corona. En cuanto a la fase Halcón I, inicia a finales del siglo VI d.C y continúa en las primeras décadas del siglo VII d.C. (Barrientos *et al.* 2018: 48).

El Basurero Temprano (1A), que data para los primeros años del Complejo *Waay*, posiblemente conforma una faceta temprana del mismo, relacionándose con los inicios de la fase arquitectónica Halcón I y políticamente se asocia al gobernante *Sak Maas* y la reina *Ix Ox Kan*. Se calcula una fecha para 550 DC, de acuerdo con fechas de radiocarbono

(Barrientos *et al.* 2018). Posiblemente, el área debió funcionar como basurero principal del Palacio entre 550 – 650 DC, donde se refleja el acceso a cerámica más elaborada y detallada por parte de las élites y de la corte de *Sak Nikte'*. Justamente, este período es cuando existe mayor evidencia de alianzas estratégicas y políticas con la dinastía *Kanuul*. Este basurero también presenta cerámica del Complejo *Ochib*, lo que podría indicar que el uso de este basurero fue durante el proceso de transición entre el Clásico Temprano (300-600 d.C.) y Clásico Tardío (600-800 d.C.).

El Basurero Temprano (1A) fue cubierto por el Piso Carpintero, y sobre este se formó una acumulación de material de desecho, conformando el Basurero Medio (1B). Este se fecha para el Clásico Tardío (600-800 d.C.), datando entre 650 – 800 d.C. Se relaciona con las fases arquitectónicas Halcón I y Halcón II. Políticamente, la fase Halcón I se encuentra asociada a una cantidad bastante amplia de gobernantes: *K'uk Ajaw*, *Chakaw Nahb Chan* y la reina *Ix Chak Tok Chank*, *Kínich ? Yook* y la reina *Ix Tz'ib Winik*, *Chak Ak' Paat Kuy*, *K'ahk Way Na'* y *Yajawte K'inich* y la reina *Ix Ti 'Kan..*

El Basurero Medio (1B) fue cubierto por el Piso Oropéndola, sobre el cual se encontró el Basurero Tardío (1C). El Basurero Tardío (1C) es el basurero con mayores dimensiones verticales y el segundo en densidad de material cerámico. Data para el Clásico Terminal (800-900 d.C.), con varios ejemplares del Complejo *Paat*. Arquitectónicamente se asocia con el final de la Fase Halcón II, Fase Tucán y el abandono del sitio. Este basurero, al igual que el Basurero Temprano (1A), posiblemente fue el basurero principal del Palacio en esta época hasta su abandono. Políticamente se asocia los gobernantes del Entierro 18 y 19 y las reinas *K'uh Ix Yax ¿? K'ik' e Ix Kaloomte'*

Las excavaciones realizadas en el Basurero 3, ubicado sobre la Estructura 13Q-27, han mostrado que estuvo conformado por una temporalidad. Sin embargo, el estrato superior al basurero se encontró mezclado con el derrumbe de la acrópolis (Lamoureux-St-Hilaire 2018; 483 y ver capítulo de excavaciones). Este data para el Clásico Terminal (800-900 d.C.), por la abundante cantidad de ejemplares del Complejo *Paat*. Además, el basurero se conformó por materiales provenientes desde el Palacio hacia esta plataforma.ros del Palacio

Para comprender de mejor forma los contextos arqueológicos de los basureros del palacio, se tomó como base teórica y conceptual la Teoría de Alcance Medio, específicamente lo relacionado a la Arqueología del Comportamiento. Para ello se siguió el modelo de Binford (1977; 1981) que busca convertir la evidencia material estática en declaraciones dinámicas sobre el pasado. También ha sido importante aplicar las propuestas de Schiffer (1991), que se enfocan en la importancia de las investigaciones sobre la conducta humana del pasado. De esta forma, los artefactos que conforman los basureros han permitido responder a la inquietud de comprender la dinámica y comportamiento de los habitantes del Palacio de La Corona.

Según Schiffer (1990:82-83), para que la creación de desecho sea posible, es necesario una actividad que haga referencia a una transformación de energía humana sobre materiales cercanos. Este proceso contiene elementos que forman parte de un sistema cultural, por ejemplo, seres humanos, alimentos, instrumentos y otros. Los elementos pueden ser duraderos: instrumentos, maquinaria e instalaciones; y en elementos consumibles: alimentos, combustibles y otros. En el caso del basurero del Palacio, fue el resultado de una actividad humana formada de elementos consumibles, como los alimentos (presente solamente en la forma de huesos de fauna y restos de plantas), los cuales fueron depositados sobre elementos duraderos, que serían restos de platos, ollas, cuencos de almacenaje y vasos cerámicos; éstos a su vez fueron posteriormente depositados en el área de desecho específica para la élite de Palacio. Los resultados indican que las actividades del Palacio fueron variando acorde a la temporalidad y el momento sociopolítico que caracteriza cada fase histórica de La Corona.

Schiffer (1972), explica que todos los elementos de un sistema se modifican, descomponen o pueden combinarse con otros elementos. Estos son afectados por formaciones culturales, conocidos como '*c-transforms*' y los factores ambientales, denominados '*n-transforms*'. Estos se ven reflejados en la deposición de basura del Palacio de La Corona, ya que el Basurero Temprano (1A) y Medio (1B) se encuentran sellados intencionalmente por un piso, es decir, afectados por formaciones culturales. Posterior a

estos, se identificó el Basurero Tardío (1C) el cual no estaba sellado, pero si mezclado y afectado por factores ambientales tales como derrumbes naturales.

Pero para la creación de áreas de depósitos también influyen otros factores que afectan la vida del material como su relación con el humano. Estos factores según Schiffer (2008) son la invención, diseño, comercialización y adopción en el proceso tecnológico del material. Sin embargo, no existe una única causalidad, ya que hay que comprender que las personas y grupos sociales son diversos y cambiantes. Esto se ve representado en el material específico recuperado de cada basurero, así como en los tipos y funcionalidades de la cerámica.

Entonces, acorde a las definiciones de basura que otorga Schiffer (2008) y Scarborough (1989) (Ver capítulo III), los basureros 1 y 3 del Palacio se identifican como áreas específicas para depósitos de basura. La abundante cantidad de cerámica y huesos recuperada permiten la identificación de la funcionalidad y el comportamiento de los habitantes del Palacio de La Corona al momento de desechar su basura.

Además, de acuerdo con las definiciones expuestas por Schiffer y Rathje (1982) (Ver capítulo III), el Basurero Temprano (1A) se puede catalogar como depósito secundario, y/o secundario como lo propone Lamoureux-St-Hilaire (2018), aunque principalmente, es identificado como depósito secundario. Se identificó así porque: 1) es un depósito ubicado cerca del área donde fue utilizada; 2) la minoría del material se identificó en estado de erosión y 3) más de la mitad de la muestra correspondió a la función de servicio (ver más adelante). El Basurero Medio (1B) se puede catalogar como un basurero secundario por los mismos factores mencionados en el Basurero Temprano (1A). Fue utilizado por un período muy corto de tiempo o consistió en un relleno de nivelación previo a la construcción de la Estructura 13Q-27.

El Basurero Tardío (1C) se puede catalogar como depósito terciario, ya que: 1) es un depósito bastante amplio que refleja amplitud de actividades que tuvieron lugar en un área en general, pero no actividades específicas; 2) la muestra representó todas las funciones

cerámicas y estas no poseen relación una con otra; y 3) posiblemente este basurero se encuentra mezclado con algunos desechos del relleno arquitectónico de la acrópolis y también desechos que formaron parte del Basurero 3. Esto último sugiere también que ambos basureros corresponden a un mismo momento.

El Basurero 3 también se puede catalogar como depósito terciario, sin embargo, es necesario realizar un análisis de excavación más exhaustivo. Es relevante mencionar que en este basurero fueron localizados un tintero y un raspador de corteza, que son artefactos propios de las actividades de la élite, así como materiales provenientes de todas las funciones cerámicas según la tipología de Moriarty y Foias (2007).

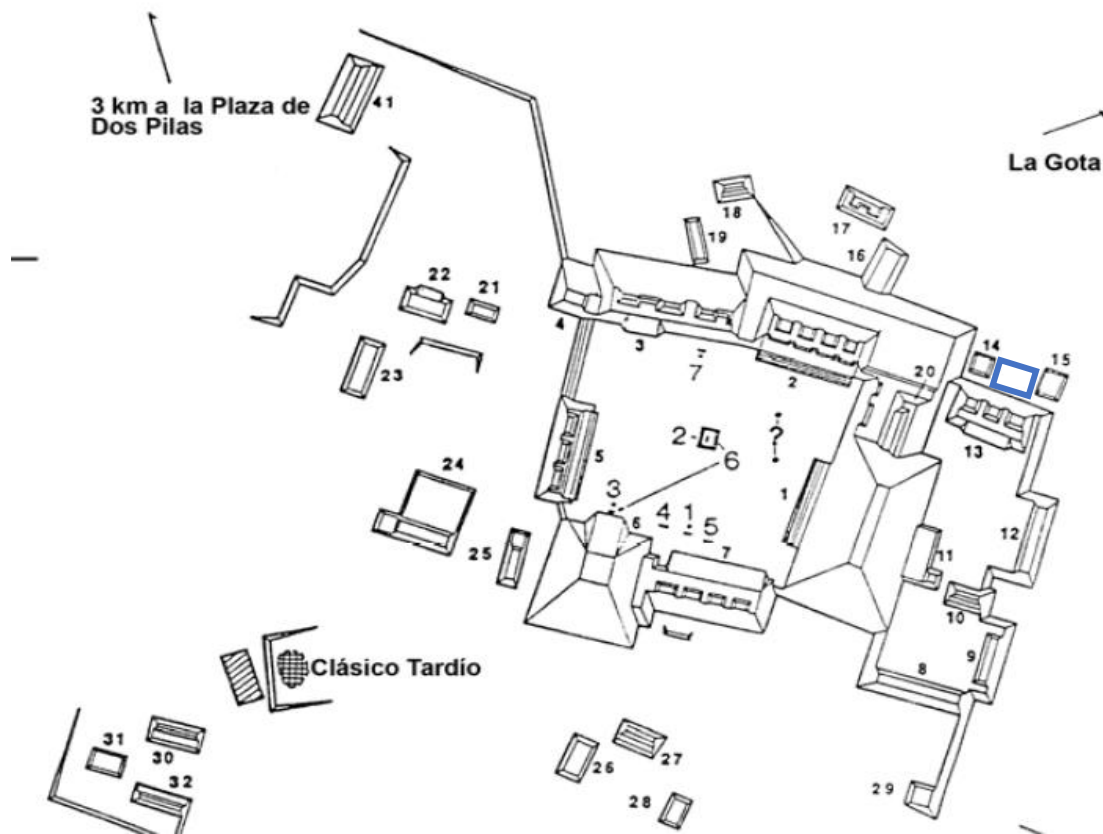
## B. Análisis comparativo

Para comprender de mejor forma el contexto arqueológico del basurero del Palacio de La Corona, se realizó un pequeño estudio comparativo con otras áreas de desecho presentes en otros sitios arqueológicos del área Maya. En este caso, se buscaron otros casos fechados para el período Clásico, donde los basureros se hayan encontrado en las partes traseras de los Palacios o que estuvieran sellados por pisos.

El sitio de Arroyo de Piedra, ubicado en el área de Petexbatún, Guatemala, posee basureros asociados al área de Palacio. Este sitio presenta edificios tipo Palacio en la Plaza Norte, siendo esta la segunda más importante. Se han localizado varios basureros con materiales cerámicos, líticos y huesos de animales, ubicados atrás de la Estructura 13; uno de éstos proporcionó más de 30,000 tiestos de los períodos Clásico Temprano y Clásico Tardío (Escobedo *et al.* 1995).



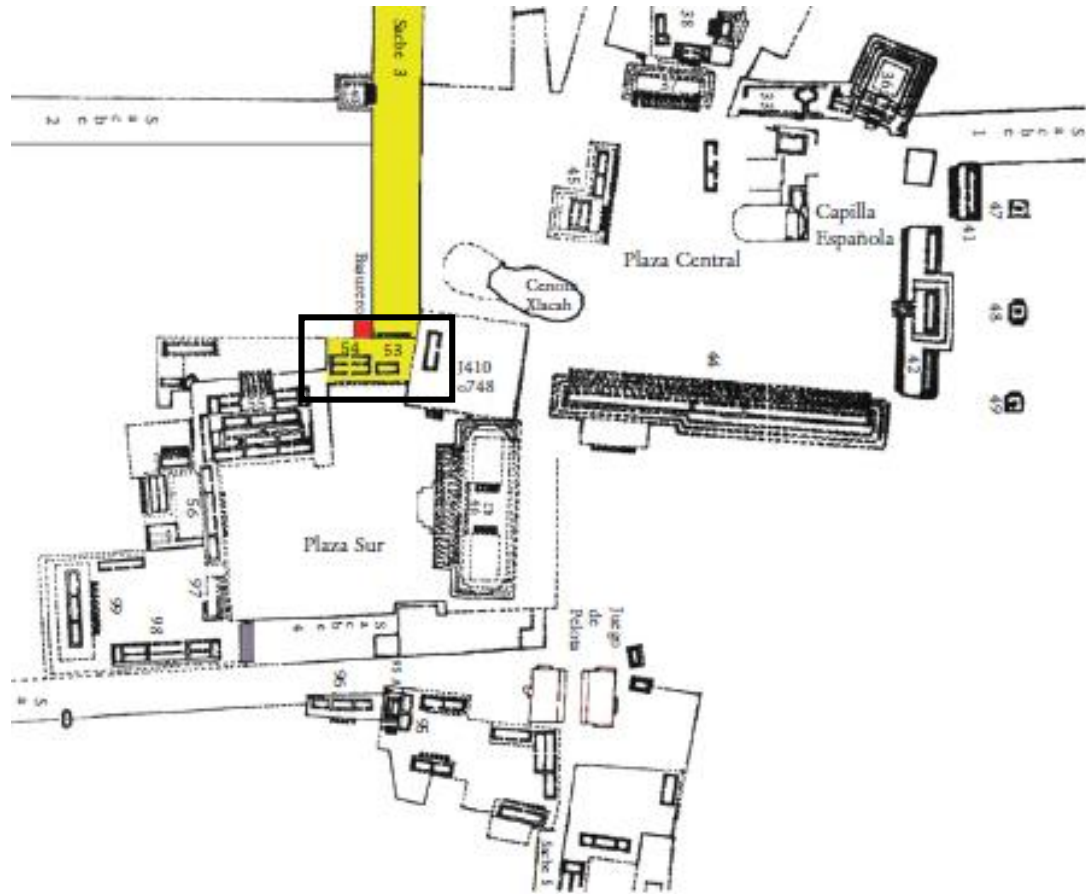
Figura 51. Plano del centro arqueológico de Arroyo de Piedra, basurero identificado en recuadro rojo (según Houston 1994)



(Fuente: Escobedo *et al.* 1995:405).

En el sitio Dzibilchaltún, ubicado al norte de Yucatán, el Proyecto del *Middle American Research Institute*, de la Universidad de Tulane, realizó en 1950 excavaciones en el Palacio o Estructura 55 del sitio (Andrews IV y Andrews V 1980: 241, Ball y Andrews V 1975: 238 en Maldonado y Ortiz 2008:225). En la esquina de la escalera recuperaron cerca de 75,000 tiestos cerámicos en siete estratos artificiales por medio de trincheras, en estas se obtuvieron algunos fragmentos de tiestos fechados para las fases Tepeu 1 y Tepeu 2 temprana (600-800 d.C.). La presencia de este depósito indicó que el sector norte de la Plaza Sur fue el área de acumulación de desechos del Palacio (Maldonado *et al.* 2004 en Maldonado y Ortiz 2008: 225).

Figura 52. Área de investigación, en color rojo se identifica el Basurero, en el recuadro negro se identifica El Palacio



(Imagen modificada de Stuart *et al.* 1979, en Maldonado *et al.* 2004:219).

Es importante aclarar que no todas las concentraciones de materiales corresponden a basureros de élite, ya que muchas acumulaciones de material cerámico, también llamados depósitos problemáticos, pueden corresponder a rituales de terminación. Se ha tomado la premisa que los rituales de terminación fueron realizados con el propósito de un “abandono ritual” de las estructuras, y se caracterizan por contener densos depósitos de artefactos, los cuales son el resultado de la destrucción intencional y manipulación de material cultural dirigido a destruir el poder sobrenatural de un objeto, persona, lugar o puerta al inframundo (Pagliaro *et al.* 2003, en Straight y Marken 2005:387 en Ponciano y Pinto 2007:721). La diferencia entre un basurero y los rituales de terminación a veces tiende a ser problemática, pero según Straight y Marken (2006), se diferencian porque los depósitos de terminación

deben de tener solamente vasijas quebradas, sin tiestos intrusos. Otra diferencia es que no existe una alta presencia de huesos, como aparecen en los depósitos analizados del Palacio de La Corona.

Se puede concluir entonces que, como se pudo observar en Arroyo de Piedra, el Basurero 1 del Palacio de La Corona sigue el patrón de ubicación de desechos en la parte posterior de los complejos palaciegos. En cuanto a la frecuencia de material, los dos casos comparados muestran una frecuencia alta; sin embargo, no se pudo comparar su densidad, ya que no se contó con esa información específica en los reportes publicados virtualmente. Además, mientras que en Arroyo de Piedra y Dzibilchaltun los basureros fueron excavados en su totalidad, los depósitos de La Corona solamente fueron excavados parcialmente. Al igual que en La Corona, el Basurero de Arroyo de Piedra también contiene material fechado para el Clásico Temprano, mezclado con Clásico Tardío, indicando que este pudo ser un patrón común para los basureros fechados para Tepeu 1. En cuanto al basurero de Dzibilchaltun, resultó interesante encontrar un basurero depositado en una esquina arquitectónica, específicamente en el área noroeste del Palacio (intersección del conjunto palaciego con el Sacbe 3).

### C. Comparación funcional sobre los tipos cerámicos en los distintos estratos del Basurero 1

Las tres temporalidades del Basurero 1 fueron analizadas mediante variables funcionales, y su comparación es significativa, si se toma en cuenta que es una muestra de dos basureros sellados y un basurero que fue utilizado hasta el momento del abandono del Palacio. Los resultados del Basurero Temprano (1A) indicaron mayor representación de la categoría servicio, en segundo lugar, preparación y servicio y, en tercer lugar, preparación y almacenaje. La categoría de servicio ha sido asociada a grandes festines (Moriarty y Foias 2007).

Por ser área de Palacio, se esperaba que las vasijas de servicio fueran las más frecuentes, ya que se asocia también a festejos exclusivos y en espacios cerrados. Esto también se evidencia en la cerámica polícroma, ya que en este basurero se identificó abundante

cantidad de tiestos de Saxché-Palmar, específicamente la variedad Saxché asociada a Tepeu 1 (554-692 d.C.) definida por Smith (1955:25 en Eberl 2007). Las características diagnósticas para identificar la cerámica de esta fase son cuencos esféricos y cerrados, y platos trípodes de borde redondeado abiertos con pestañas; en cuanto a la decoración se mantiene un énfasis en pintura policroma con el uso de glifos y pseudoglifos, situados en una banda circunferencial al borde, principalmente en el exterior (Culbert 1993; Adams 1971). Este tipo de cerámica fue identificada únicamente en el Basurero Temprano (1A). A pesar de que la banda de glifos bajo el borde no es exclusiva de Tepeu 1, si es más frecuente en esta temporalidad.

Los resultados para el Basurero Temprano (1A), indicaron mayor frecuencia en servicio, seguido de preparación y servicio. El Basurero Medio (1B) tuvo mayor representación en servicio, seguido de preparación y servicio. Para el caso del Basurero Tardío (1C), disminuye casi en 20% la cerámica de servicio y aumenta la cerámica asociada a preparación y servicio en casi 20% a diferencia del Basurero Temprano (1A) y un 6% a diferencia del Basurero Medio (1B). La función de preparación y almacenaje aumenta para el Basurero Medio (1B) y disminuye durante el Basurero Tardío (1C). Almacenaje y servicio, no es una función identificable durante el Basurero Medio (1B), sin embargo, denota un crecimiento de 2% entre Basurero Temprano (1A) y Basurero Tardío (1C), lo cual no es significativo. Algunas observaciones específicas incluyen que el Basurero 1C es el único que presenta cerámica asociada a la función especial y ritual, por presencia de fragmentos de tambores, y la cerámica Saxché-Palmar de los basureros 1B y 1C, ya no presenta decoración de glifos tan constante como en el basurero anterior. En cuanto a la producción de polícromos, éstos disminuyen hasta que en el Clásico Terminal ya no son comunes, por lo que siguen el mismo comportamiento que denotan otros sitios en Tierras Bajas.

Así mismo, se destaca la presencia de cerámica especial y ritual en el Basurero Tardío (1C), la cual posiblemente evidencia rituales o alguna relación simbólica al final de la ocupación del sitio, ya que en los otros dos depósitos anteriores no fue identificada.

En resumen, la cerámica asociada a las tres temporalidades del Basurero 1 posee un patrón similar, lo cual reafirma que el mayor porcentaje de cerámica en los tres basureros corresponde a la función de servicio, pero, esta va decreciendo en cada basurero. Además, hay un incremento de cerámica de preparación y consumo de alimentos en el Basurero Tardío (1C). Esto podría indicar que, al inicio del uso de los depósitos, el Palacio fue exclusivo y restringido en dónde sobresalieron los festines. Esto, de acuerdo con su fechamiento, se asocia al auge de las alianzas con la dinastía *Kaanul*, lo cual indica que el Palacio pudo ser un área específica de élite exclusivamente de festejos pero que la preparación de alimentos se realizaba en áreas separadas. Es posible que esta misma función se haya dado en el Grupo Coronitas, lo cual puede evidenciarse en el depósito cerámico asociado a la fundación de la Estructura 13R-9, fechado para 643 d.C. (Barrientos *et al.* 2018: 47). la cual corresponde a la misma época que el Basurero Temprano (1A) (Cajas 2013:137-8). Posterior a esto, para el fechamiento del Basurero Tardío (1C), la dinastía *Kaanul* se encuentra en la parte final de su presencia en La Corona (700-750 d.C.) y su salida después de 750 d.C. Esto se demuestra por la presencia de desechos de cerámica no tan elaborada, la cual sigue siendo de servicio y siempre con características de élite. A pesar de que la arquitectura del Palacio en este momento se vuelve más restringida física y visualmente (Lamoureux-St-Hilaire 2017), incorpora actividades administrativas en el área noroeste, evidenciado con cerámica tipo Especial y Ritual y el incremento en la cerámica asociada a la función de Preparación.

Es importante recalcar que los resultados obtenidos de los basureros de Palacio demuestran claramente que este al tener funciones administrativas, los porcentajes de uso de servicio poseen la frecuencia más alta, considerando que, posiblemente, eran otras zonas cercanas donde se preparaban alimentos y luego eran llevados a las áreas para banquetes especiales, festines, y/o alimentación para la corte real y sus invitados. Aunque, esto es debatible ya que las ollas y cuencos grandes al ser fragmentados, el borde es el más pequeño y el que aparece en menor frecuencia a diferencia de un plato o vaso, que se fragmenta en pedazos más pequeños y el borde es más fácil de localizar en las excavaciones.

Otro aspecto que apoya la idea de un área de banquetes es la cantidad de huesos de animales identificados. Fridberg (2017) identificó restos de venado cola blanca en el Basurero Temprano (1A) y Basurero Tardío (1C), los cuales denotan un alto consumo en proteína, que apoya la idea de un área de élite que siguió manteniendo la misma dieta sin importar la época.

#### D. Análisis del Basurero 3 y su relación con el Basurero 1 del Palacio.

Al igual que las tres temporalidades del Basurero 1, El Basurero 3 posee una muestra más representativa de cerámica de servicio, siguiendo el mismo modelo de festines en áreas palaciegas. Sin embargo, la diferencia entre estos es la temporalidad, ya que el Basurero 3 posee una única temporalidad (Complejo *Waay* Tardío), mientras que el Basurero 1 posee tres momentos de uso, fechados para *Waay* y *Paat*, de los cuales dos se encontraron sellados por un piso.

En cuanto a su contexto, el Basurero 3 se encontró ubicado sobre la Estructura 13Q-27 y el Basurero 1 fue localizado en la parte trasera de la Estructura 13Q-4 (Palacio) y al norte de la Estructura 13Q-27. Lo importante a recalcar es que, al momento de sellar el Basurero Medio (1B), este piso fue parte de una nivelación para erigir la Estructura 13Q-27, por lo que el Basurero Tardío (1C) y el Basurero 3, posiblemente fueron utilizados al mismo tiempo o fueron mezclados por procesos naturales o de deposición arqueológica.

El Basurero 3 fue utilizado en los últimos años de uso del Palacio hasta el abandono del sitio. Posiblemente, este basurero fue más administrativo, ya que en este se identificó un tintero y raspador, los cuales se pueden asociar a actividades asociadas a escribas. Este basurero también se diferencia por el hecho de no encontrarse sellado, por lo que su superficie estuvo mezclada con el colapso arquitectónico de las terrazas superiores del basamento del palacio. Así mismo, por la ubicación del Basurero 3 se puede determinar que está área no fue destinada como basurero desde el inicio, a diferencia del Basurero 1. El Basurero 3 se depositó al momento del desuso de la Estructura 13Q-27, posiblemente, como una deposición horizontal.

## E. Implicaciones a las fases cerámicas y cronología de La Corona

Ya establecido que la cronología del Basurero 1 fue durante el Complejo *Waay* del Clásico Tardío (600-800 d.C.) hasta el Complejo *Paat* del Clásico Terminal (800-900 d.C.), es claro que el área estudiada tuvo un largo historial de uso. Por lo tanto, cada una de las etapas del basurero se puede contextualizar y asociar a las dinámicas políticas y sociales que sucedieron desde el inicio hasta el proceso de abandono en el Palacio de La Corona.

Los datos epigráficos indican que La Corona inició sus relaciones con la dinastía *Kaanul* a inicios del siglo VI d.C., y desde ese momento La Corona empezó a fungir como uno de sus principales aliados estratégicos (Canuto y Barrientos 2019:394). En cuanto a la evidencia arqueológica, el inicio de las relaciones con los *Kaanul* corresponde a la fase Colibrí del Palacio (500-550 d.C.) de finales del Clásico Temprano, la cual también se relaciona con el final del complejo cerámico *Ochib*.

Durante inicios del Clásico Tardío, se ha propuesto una reconfiguración sociopolítica en todas las Tierras Bajas como resultado del establecimiento de Calakmul como la sede dinástica *Kaanul* bajo el mando de *Yuknoom Ch'een II* (*ibíd.*: 397). Por lo tanto, el siglo VII d.C. ha sido considerado como una “Era Dorada” para La Corona, ya que los gobernantes gozaron de muchos privilegios políticos, lo que se refleja en la gran cantidad de monumentos con inscripciones. Este es el momento que es reflejado por el Basurero 1A, donde se evidencia una gran actividad diplomática a través de la alta cantidad de objetos cerámicos de servicio.

Es posible que el Palacio haya sido remodelado de forma significativa en la fase denominada Halcón I (*ibíd.*: 399). A finales del siglo VII d.C., el territorio una vez controlado por *Kaanul* empezó un proceso de reducción y fragmentación a partir de una derrota militar por parte de Tikal en 695 d.C. (*ibíd.*: 403). Para mediados del siglo VIII d.C., la relación con los *Kaanul* parece haber terminado y suceden cambios importantes en La Corona, incluyendo modificaciones significativas en el Palacio (fase Tucán), así como

varias remodelaciones en el área norte del sitio (*ibíd.* 404). Esto se ve reflejado en los cambios observados entre el Basurero Temprano (1A) y Basurero Tardío (1C), que aunque no son cambios radicales en cuanto a la funcionalidad del Palacio, si sugieren un aumento de actividades relacionadas con la servidumbre, como lo es la preparación y almacenamiento.

Por lo tanto, en términos de actividades del Palacio y la situación política de La Corona, el Basurero 1 del Palacio proporciona evidencia material de sus cambios. Inicialmente, el Basurero Temprano (1A) funcionó como el área determinada para desechar los desechos de muchos banquetes en el cual la corte recibía personas importantes, a las que, se les otorgaba esta cerámica especializada. Además, por sus características, este material podría ser determinante para la definición de una faceta *Waay* Temprano dentro de la cronología cerámica de La Corona. Posterior a esto, el Basurero Medio (1B), solo funcionó durante un corto período de tiempo antes de realizar las remodelaciones en el Palacio durante la fase Halcón I. Por lo tanto, este basurero funcionó como una nivelación para erigir la Estructura 13Q-27, la cual posiblemente fue construida durante dicha fase (Lamoureux-St-Hilaire 2018).

Con lo anterior, se plantea una propuesta para dividir el Complejo *Waay* en tres facetas: *Waay* Temprano, *Waay* y *Waay* Tardío. El *Waay* Tardío o faceta tardía de *Waay*, ya había sido determinada por Parris (2013), la cual se encuentra compuesta únicamente por el grupo Chablekal, fechado alrededor de 750 d.C. La propuesta en la presente investigación para determinar la faceta *Waay* Temprano se basa en los parámetros fechados para Tepeu 1 definidos por Smith y Gifford (1955), Smith (1955), Eberl (2007) y Willey et al. (1967): a) platos abiertos con borde redondeado, soporte trípode y pestaña basal; b) el uso de glifos, pseudoglifos y banda con secuencia primaria estándar; c) vasos cilíndricos; d) ollas de cuello altos; e) cuencos de boca restringida; y e) cuencos abiertos con borde ligeramente curvado. Además, se ha notado un incremento gradual en tipos cerámicos entre Tepeu 1 y



Tepeu 2, especialmente Corozal Inciso, Camarón Inciso y Pantano Impreso. También, se identifica la aparición del tipo Tinaja Nanzal Rojo en Tepeu 2.<sup>2</sup>

De esta manera, la secuencia se define de esta manera: 600-650/700 d.C. para *Waay* Temprano; 650/700-750 d.C. para *Waay*; y la faceta tardía de *Waay* en 750-800 d.C. Es importante recalcar, que esta es una fecha tentativa, sin embargo, se necesitan más análisis para poder establecer fechas exactas.

Tabla 16. Propuesta cerámica de *Waay* Temprano para el sitio La Corona

	Nomenclatura de basurero	Tipo de basurero	Período Histórico	Cerámica	Gobernantes de La Corona	Reinas de La Corona	Palacio			
850 - 900	Basurero Tardío	Depósito terciario	Clásico Terminal	<i>Paat</i>			Abandono			
800 - 850							Tucán			
750 - 800										
700 - 750	Basurero Medio	Depósito secundario	Clásico Tardío	<i>Waay</i>	Entierros 18 y 19	<i>Ix Kaloome'</i> <i>K'uh Ix Yax ¿?K'ik'</i>	Halcón II			
650 - 700	Basurero Temprano	Depósito secundario					<i>Waay</i>	<i>Yajawte K'inich</i> <i>K'ahk Way Na'</i> <i>Chak Ak' Paat Kuy</i> <i>K'nich ? Yook</i> <i>Chakaw Nahb Chan</i> <i>K'uk Ajaw</i> <i>Sak Maas</i>	<i>Ix Ti' Kan</i>  <i>Ix Tz'ib Winik</i> <i>Ix Chak Tok</i> <i>Chahk</i> <i>Ix Ox Kan</i>	Halcón I
600 - 650										
550 - 600										
500 - 550			Clásico Temprano	<i>Ochib</i>	<i>Chak Took Ich'aak</i> <i>"Buitre" Winik</i>	<i>Ix ? Naak Ek'</i>	Colibrí			
450 -500							CocoChan II			
400 -450							CocoChan I			
350 - 400							Canario			
300 - 350										
250 - 300										
200 - 250			Preclásico Terminal/Protoclásico	<i>Naah</i>						

(Informe PRALC 2019: 15, modificado por la autora).

<sup>2</sup> Varios ceramistas reconocen las diferencias tipológicas entre Tepeu 1 y 2 pero no los asignan como dos Complejos independientes (Foias 1996; Sabloff 1975). Para resolver la relevancia cronológica se debe encontrar contextos en que Tepeu 2 ocurre sobre Tepeu 1, es decir, en contextos estratigráfico (Eberl 2007).

Tabla 17. Comparaciones de las tres temporalidades del Basurero 1

<b>Comparaciones de las tres temporalidades del Basurero 1</b>			
	<b>Basurero Temprano (1A)</b>	<b>Basurero Medio (1B)</b>	<b>Basurero Tardío (1C)</b>
<b>Cronología</b>	Complejo <i>Waay</i> Temprano	Complejo <i>Waay</i> Tardío	Complejo <i>Paat</i>
<b>Complejos representados en cada basurero</b>	Complejo <i>Waay</i> Temprano y Complejo <i>Waay</i>	Complejo <i>Waay</i> , Complejo <i>Waay</i> Tardío y Complejo <i>Paat</i>	Complejo <i>Waay</i> Tardío y Complejo <i>Paat</i>
<b>Clasificación/Tipología</b>	Depósito secundario	Depósito secundario	Depósito terciario
<b>Densidad (tiestos por m<sup>3</sup>)</b>	1,051	596	215
<b>Funcionalidad más frecuente</b>	Servicio (80.12%)	Servicio (64.24%)	Servicio (62.28%)
<b>2da. Funcionalidad más frecuente</b>	Preparación y servicio (9.21%)	Preparación y servicio (22.42%)	Preparación y servicio (27.84%)
<b>Modo más frecuente (vaso)</b>	---	---	AAAA
<b>Modo más frecuente (olla)</b>	BHBA	---	---
<b>Modo más frecuente (cuenco)</b>	CJAA	CDBA	CDBA
<b>Modo más frecuente (dish)</b>	---	---	---
<b>Modo más frecuente (plato)</b>	EDAE	EBAE	EBAE
<b>Modo más frecuente (especial y ritual)</b>	---	---	---

## XII. Conclusión

La investigación cerámica permitió conocer la cronología de los basureros asociados a la Estructura 13Q-4 (Palacio) y la Estructura 13Q-27. Estos fueron analizados y en algunos casos, reanalizados, en su totalidad bajo el estudio Tipo-variedad y modal. Estos depósitos fueron dos, el Basurero 1 ubicado en la parte trasera del Palacio, y el área norte de la Estructura 13Q-27; y Basurero 3 ubicado sobre la Estructura 13Q-27. El Basurero 3, no fue analizado en su totalidad y este fechó para el Complejo *Waay* Tardío con abundante cerámica de Servicio.

El Basurero 1 fue identificado por tres temporalidades (Basurero Temprano (1A), Basurero Medio (1B) y Basurero Tardío (1C). Con el material obtenido y analizado se concluyó que las tres temporalidades corresponden al Clásico Tardío (600-800), es decir al Complejo *Waay* de La Corona. Sin embargo, estos permitieron la pauta para identificar una faceta temprana del Complejo *Waay*.

El Basurero Temprano (1A) identificado como basurero secundario y ubicado sobre la roca madre y sellado por el Piso Carpintero, data para los primeros años del Complejo *Waay* (550-650 d.C. aproximadamente). La muestra recuperada de dicho contexto fue principalmente de Servicio, conformada, principalmente por monocromos del Complejo *Ochib* y monocromos del Complejo *Waay*. Es interesante destacar que este basurero presentó abundante cerámica del grupo Saxché-Palmar, asociada a los modos de Tepeu 1. De este grupo, el modo más frecuente es de plato con paredes curvo-convergentes borde reforzado exterior y labio directo, que solo apareció en dicha temporalidad. Este se relaciona con los inicios de la fase arquitectónica Halcón I y políticamente al gobernante *Sak Maas* y la reina *Ix Ox Kan*. Justamente, este período es el del mayor auge en el sitio, como consecuencia de alianzas estratégicas y políticas con la dinastía *Kanuul*.

Sobre el Piso Carpintero se identificó una capa de acumulación de material de desecho, conformando un basurero secundario, identificado como Basurero Medio (1B). Su fechamiento seguramente fue para el Complejo *Waay* Tardío, aunque hay posibilidad que corresponda al Complejo *Paat*. La densidad de material de este basurero fue bastante baja, y fue principalmente de Servicio, conformada por monocromos del Complejo *Waay*. Este basurero fue sellado por el Piso Oropéndola, sobre el cual se erigió la Estructura 13Q-27.

El siguiente depósito se denominó Basurero Tardío (1C), siendo este un depósito terciario fechado para el Complejo *Paat*, con presencia de cerámica del grupo Chablekal, la cual es la que data para el Complejo *Waay* Tardío (750-800). Al igual que los depósitos anteriores la función con mayor porcentaje identificada fue la de Servicio. Este depósito y el anterior comparten los mismos modos cerámicos en las formas de cuenco y plato. Arquitectónicamente se asocia a finales de la Fase Halcón II, Fase Tucán y abandono del sitio. La situación sociopolítica se le asocia a los gobernantes de los entierros 18 y 19 y las reinas *K'uh Ix Yax* ¿? *K'ik'* e *Ix Kaloomte'*.

Por último, es necesario notar que el material de los basureros 1 y 3 del Palacio constituye la muestra cerámica más grande analizada hasta el momento, con la metodología actualizada, del sitio La Corona. Así mismo es la que presenta mayor número de bordes analizados que, a futuro, ayudarán a resolver interrogantes como manufactura de la cerámica del sitio.

Es importante también realizar futuras investigaciones para comprender el comportamiento del sitio de La Corona. Por ejemplo, realizar análisis de huesos de fauna, suelos para arqueobotánica y de radiocarbono de los basureros del Palacio. Así mismo, reanalizar la cerámica del depósito de la Estructura 13R-9 de Coronitas que ayude a definir los modos del Complejo *Waay* Temprano; y, también, un análisis comparativo sobre la densidad de material cerámico de sitios aledaños.

### XIII. Bibliografía

- Acuña, Mary Jane 2007. «CR-ES: Excavaciones de sondeo en los Grupos A, B y C de La Corona» *Proyecto Arqueológico El Perú-Waka': Informe No.4, Temporada 2006* (editado por H. Escobedo y D. Freidel) Guatemala: Instituto de Antropología e Historia, Guatemala. Págs. 457-466.
- \_\_\_\_\_; 2009. «Operación CR 11A: Limpieza de Trinchera de Saqueo en la Estructura 13R-9» *Proyecto Regional Arqueológico La Corona: Informe Final, Temporada 2008* (editado por M. Canuto y T. Barrientos) Guatemala: Instituto de Antropología e Historia, Guatemala. Págs. 109-128.
- Adams, Richard E. W. 1971. *The Ceramic of Altar de Sacrificios*. Peabody Museum, Cambridge, Massachusetts.
- Alvarado Najarro, Silvia y L. Horáková. 2015. «Una propuesta tipológica en la cerámica de Uaxactún». *XXVIII Simposio de Investigaciones Arqueológicas en Guatemala, 2014* (editado por B. Arroyo, L. Méndez Salinas y L. Paiz) Guatemala: Museo Nacional de Arqueología y Etnología. Págs.833-842.
- Álvarez, Camilo 2015. «Operación CR31: Excavaciones en la Estructura 13Q-1 Temporada 2014» *Proyecto Regional Arqueológico La Corona: Informe Final Temporada 2014* (editado por M. Canuto, T. Barrientos y E. Bustamante) Guatemala: Instituto de Antropología e Historia, Guatemala. Págs. 115-154.
- Ancona Aragón, Ileana, *et al.* 2009. «Patrones de consumo y de distribución de la cerámica de pasta fina en las planicies del norte de la península de Yucatán». En *XXII Simposio de Investigaciones Arqueológicas en Guatemala, 2008* (editado por J.P. Laporte, B. Arroyo y H. Mejía), pp.1172-1192. Museo Nacional de Arqueología y Etnología, Guatemala.
- Baron, Joanne 2009. «Operación 12: Excavaciones en la Estructura 13R-3» *Proyecto Regional Arqueológico La Corona: Informe Final Temporada 2008* (editado por M. Canuto y T. Barrientos) Guatemala: Instituto de Antropología e Historia, Guatemala. Págs.129-138.
- \_\_\_\_\_; 2010. «Operación CR12: Excavaciones en la Estructura 13R-3, Grupo Coronitas, La Corona» *Proyecto Regional Arqueológico La Corona: Informe Final Temporada 2009* (editado por M. Canuto y T. Barrientos) Guatemala: Instituto de Antropología e Historia, Guatemala. Págs. 135-158.

- \_\_\_\_\_; 2011. «Operaciones CR12, CR14 y CR15: Excavaciones en las estructuras 13R 3, 13R-4 y 13R-2 del Grupo Coronitas» *Proyecto Regional Arqueológico La Corona: Informe Final Temporada 2010* (editado por M. Canuto, T. Barrientos y M. J. Acuña) Guatemala: Instituto de Antropología e Historia, Guatemala. Págs. 249-276.
- \_\_\_\_\_; 2012. «Operaciones CR14, CR15 y CR17: Excavaciones en el Grupo Coronitas, Estructuras 13R-2, 13R-3, 13R-4 y 13R-5» *Proyecto Regional Arqueológico La Corona: Informe Final Temporada 2011* (editado por T. Barrientos, M. Canuto y J. Ponce) Guatemala: Instituto de Antropología e Historia, Guatemala. Págs. 231-264.
- \_\_\_\_\_; 2013a. «Operaciones CR15A, CR15B y CR17B: Excavaciones en el Grupo Coronitas, Estructuras 13R-2, 13R-3 y 13R-5, Temporada 2012» *Proyecto Regional Arqueológico La Corona: Informe Final Temporada 2012* (editado por T. Barrientos, M. Canuto y J. Ponce) Guatemala: Instituto de Antropología e Historia, Guatemala. Págs. 109-124.

Barrientos, Tomás 2020. *Guión científico La Corona*. Manuscrito entregado a la Fundación PACUNAM.

- Barrientos, Tomás y M. Canuto 2009. «Proyecto Regional Arqueológico La Corona: Objetivos, Métodos y Antecedentes de la Temporada de Campo 2008» *Proyecto Regional Arqueológico La Corona, Informe Final Temporada 2008* (editado por M. Canuto y T. Barrientos) Guatemala: Instituto de Antropología e Historia, Guatemala. Págs.1-20.
- \_\_\_\_\_; 2010a. «Proyecto Regional Arqueológico La Corona: Objetivos, Métodos y Antecedentes de la Temporada de Campo 2009» *Proyecto Regional Arqueológico La Corona, Informe Final Temporada 2009* (editado por M. Canuto y T. Barrientos) Guatemala: Instituto de Antropología e Historia, Guatemala. Págs. 1-24
- \_\_\_\_\_; 2010b. «Proyecto Regional arqueológico La Corona, resultados de las investigaciones en 2009» *XXIII Simposio de Investigaciones Arqueológicas en Guatemala, 2009* (editado por B. Arroyo, A. Linares y L. Paiz) Guatemala: Museo Nacional de Arqueología y Etnología. Págs.397-414. Museo Nacional de Arqueología y Etnología.
- \_\_\_\_\_; 2017. «Proyecto Regional Arqueológico La Corona: Objetivos y Antecedentes de la Temporada 2016» *Proyecto Regional Arqueológico La Corona, Informe Final Temporada 2016* (editado por M. Canuto, T. Barrientos y E. Bustamante) Guatemala: Instituto de Antropología e Historia, Guatemala. Págs. 1-24.
- \_\_\_\_\_; 2018a. «Proyecto Regional Arqueológico La Corona: Objetivos y Antecedentes de la Temporada 2017» *Proyecto Regional Arqueológico La Corona Informe Final Temporada 2017* (editado por T. Barrientos, M. Canuto, M. López y E. Bustamante) Guatemala: Instituto de Antropología e Historia, Guatemala. Págs. 1-38.
- \_\_\_\_\_; 2018b. «Síntesis y conclusiones de la Temporada de campo 2017» *Proyecto Regional Arqueológico La Corona Informe Final Temporada 2017* (editado por T. Barrientos, M. Canuto, M. López y E. Bustamante). Guatemala Instituto de Antropología e Historia, Guatemala. Págs. 563-588.
- \_\_\_\_\_; 2019. «Proyecto Regional Arqueológico La Corona: Objetivos y Antecedentes de la Temporada 2018» *Proyecto Regional Arqueológico La Corona Informe Final*

*Temporada 2018* (editado por T. Barrientos, M. Canuto y M. López) Guatemala: Instituto de Antropología e Historia, Guatemala. Págs. 1-38.

Barrientos, Tomás; M. Canuto y E. Bustamante 2016 «Resultados Generales y Conclusiones de la Temporada de Campo 2015» *Proyecto Regional Arqueológico La Corona Informe Final Temporada 2015* (editado por M. Canuto, T. Barrientos y E. Bustamante) Guatemala: Instituto de Antropología e Historia, Guatemala. Págs. 339-362.

Barrientos, Tomás, *et al.* 2018. «Resultados de análisis de Radiocarbono: Nuevos aportes a la cronología de La Corona, El Achiotal y La Cariba» *Proyecto Regional Arqueológico La Corona Informe Final Temporada 2017* (editado por T. Barrientos, M. Canuto, M. López y E. Bustamante). Guatemala Instituto de Antropología e Historia, Guatemala. Págs. 39-52.

Binford, Lewis R. 1964. «A consideration of archaeological research design». *American Antiquity*. 29: 425-441.

\_\_\_\_\_; 1968a. «Archaeological Perspectives». *New Perspectives in Archaeology* (editado por S. R. Binford and L. R. Binford). Aldine Press, Chicago. Págs. 5-53.

\_\_\_\_\_; 1968b. «Some Comments on Historical Versus Processual Archaeology». *Southwestern Journal of Anthropology*. 24: 267-275.

\_\_\_\_\_; 1977a «Introduction». *Theory Building in Archaeology* (editado por Lewis R. Binford). Academic Press, New York. Págs. 1-10.

Bustamante, Eduardo 2011. «Operación CR41: Excavaciones en el Grupo Habitacional 13S-2» *Proyecto Regional Arqueológico La Corona Informe Final Temporada 2010* (editado por T. Barrientos, M. Canuto y M. Acuña). Guatemala Instituto de Antropología e Historia, Guatemala. Págs. 347-360.

\_\_\_\_\_; 2013. «Operación CR20: Excavaciones en el Palacio de La Corona, Temporada 2012» *Proyecto Regional Arqueológico La Corona Informe Final Temporada 2012* (editado por T. Barrientos, M. Canuto y J. Ponce). Guatemala Instituto de Antropología e Historia, Guatemala. Págs. 57-78.

\_\_\_\_\_; 2014. «Operaciones CR20E y CR20R: Excavaciones en los Túneles del Palacio de La Corona» *Proyecto Regional Arqueológico La Corona Informe Final Temporada 2013* (editado por T. Barrientos, M. Canuto y J. Ponce). Guatemala Instituto de Antropología e Historia, Guatemala. Págs. 21-40.

\_\_\_\_\_; 2015a. «Operaciones CR20A, CR20C, CR20E, CR20P y CR20R: Excavaciones en el sector Sur y Túneles en el Palacio de La Corona». *Proyecto Arqueológico La Corona: Informe Final Temporada 2014* (editado por T. Barrientos, M. Canuto y E. Bustamante) Guatemala: Instituto de Antropología e Historia, Guatemala. Págs. 39-54.

\_\_\_\_\_; 2015b. «Operaciones CR20O y CR21O: Excavaciones en la Fachada Oeste del Palacio de La Corona (Estructura 13Q-4)». *Proyecto Arqueológico La Corona: Informe Final Temporada 2014* (editado por T. Barrientos, M. Canuto y E.

- Bustamante) Guatemala: Instituto de Antropología e Historia, Guatemala. Págs. 55-74.
- \_\_\_\_\_; 2016a. «Operaciones CR20E y CR20R: Excavaciones en los Túneles en el Palacio de La Corona». *Proyecto Arqueológico La Corona: Informe Final Temporada 2015* (editado por T. Barrientos, M. Canuto y E. Bustamante) Guatemala: Instituto de Antropología e Historia, Guatemala. Págs. 23-30.
- \_\_\_\_\_; 2016b. «Operaciones CR21O y CR20O: Sección Oeste del Palacio». *Proyecto Arqueológico La Corona: Informe Final Temporada 2015* (editado por T. Barrientos, M. Canuto y E. Bustamante) Guatemala: Instituto de Antropología e Historia, Guatemala. Págs. 31-53.
- \_\_\_\_\_; 2017a. «Operaciones CR20C y CR20E: Excavaciones de túneles en el Palacio de La Corona». *Proyecto Arqueológico La Corona: Informe Final Temporada 2016* (editado por T. Barrientos, M. Canuto y E. Bustamante) Guatemala: Instituto de Antropología e Historia, Guatemala. Págs. 25-36.
- \_\_\_\_\_; 2017b. «Operaciones CR20E, CR20D y CR20O: Excavaciones en las secciones Sur y Suroeste del Palacio de La Corona». *Proyecto Arqueológico La Corona: Informe Final Temporada 2016* (editado por T. Barrientos, M. Canuto y E. Bustamante) Guatemala: Instituto de Antropología e Historia, Guatemala. Págs. 75-100.
- \_\_\_\_\_; 2018. «Operaciones CR20E y CR20O: Excavaciones en las estructuras 13Q-4M, 13Q-4P y 13Q-4O del Palacio de La Corona». *Proyecto Arqueológico La Corona: Informe Final Temporada 2017* (editado por T. Barrientos, M. Canuto, M. López y E. Bustamante) Guatemala: Instituto de Antropología e Historia, Guatemala. Págs. 53-80.
- Cagnato, Clarissa 2012. «Operación CR48: Investigación de chultunes en La Corona» *Proyecto Regional Arqueológico La Corona Informe Final Temporada 2011* (editado por T. Barrientos, M. Canuto y J. Ponce). Guatemala Instituto de Antropología e Historia, Guatemala. Págs. 357-372.
- \_\_\_\_\_; 2013. «Excavaciones en el Grupo 13S-1» *Proyecto Regional Arqueológico La Corona Informe Final Temporada 2012* (editado por T. Barrientos, M. Canuto y J. Ponce). Guatemala Instituto de Antropología e Historia, Guatemala. Págs. 279-288.
- Canuto, Marcello y T. Barrientos 2009. «Resultados Generales y Conclusiones de la Temporada de Campo 2008» *Proyecto Regional Arqueológico La Corona Informe Final Temporada 2008* (editado por T. Barrientos y M. Canuto). Guatemala Instituto de Antropología e Historia, Guatemala. Págs. 139-144.
- \_\_\_\_\_; 2011. «Proyecto Regional Arqueológico La Corona: Antecedentes y objetivos de la Temporada 2010» *Proyecto Regional Arqueológico La Corona Informe Final Temporada 2010* (editado por T. Barrientos, M. Canuto y M. Acuña). Guatemala Instituto de Antropología e Historia, Guatemala. Págs. 1-22.
- \_\_\_\_\_; 2013. «Resultados Generales y Conclusiones de la Temporada de Campo 2012» *Proyecto Regional Arqueológico La Corona Informe Final Temporada 2012* (editado por T. Barrientos, M. Canuto y J. Ponce). Guatemala Instituto de Antropología e Historia, Guatemala. Págs. 367-392.
- \_\_\_\_\_; 2019. «Síntesis y Conclusiones de la Temporada de campo 2018» *Proyecto Regional Arqueológico La Corona Informe Final Temporada 2018* (editado por T.



Barrientos, M. Canuto y M. López). Guatemala Instituto de Antropología e Historia, Guatemala. Págs. 377-410.

Canuto, Marcello, *et al.* (2006). Recuperado el 06 de abril de 2020. De *Mesoweb*: <https://www.mesoweb.com/resources/informes/Waka2005-Cap15.pdf>

Cajas, María Antonieta 2012. «Operación 11B: Excavaciones en la Estructura 13R-9, Temporada 2011» *Proyecto Regional Arqueológico La Corona Informe Final Temporada 2011* (editado por T. Barrientos, M. Canuto y J. Ponce). Guatemala Instituto de Antropología e Historia, Guatemala. Págs. 265-278.

\_\_\_\_\_; 2013. «Operación CR11D y CR11C: Excavaciones en la Estructura 13R-9, Temporada 2012» *Proyecto Regional Arqueológico La Corona Informe Final Temporada 2012* (editado por T. Barrientos, M. Canuto y J. Ponce). Guatemala Instituto de Antropología e Historia, Guatemala. Págs. 125-140.

Chang, Kwang-chih. 1967. *Rethinking archaeology*. New York: Random House.

Chatelain, David 2019. «La Cerámica de La Cariba: Un Análisis Preliminar». *Proyecto Regional Arqueológico La Corona: Informe Final Temporada 2018* (editado por M. Canuto, T. Barrientos y M. López). Informe entregado a la Dirección General de Patrimonio Cultural y Natural, Guatemala. Págs. 321-356

Chiriboga, Carlos. 2011. «Sub-Proyecto de Reconocimiento Arqueológico Regional, Temporada 2010» *Proyecto Regional Arqueológico La Corona: Informe Final Temporada 2010* (editado por M. Canuto, T. Barrientos y M. J. Acuña). Guatemala Instituto de Antropología e Historia, Guatemala. Págs. 23-42.

\_\_\_\_\_; 2012. «Sub-Proyecto de Reconocimiento Arqueológico Regional: Temporada 2011» *Proyecto Regional Arqueológico La Corona: Informe Final Temporada 2011* (editado por T. Barrientos, M. Canuto y J. Ponce). Guatemala: Instituto de Antropología e Historia, Guatemala. Págs. 29-58.

\_\_\_\_\_; 2013. «Sub-Proyecto de Reconocimiento Arqueológico Regional: Temporada 2012» *Proyecto Regional Arqueológico La Corona: Informe Final Temporada 2012* (editado por T. Barrientos, M. Canuto y J. Ponce). Guatemala: Instituto de Antropología e Historia, Guatemala. Págs. 25-46.

Clarke, David 1968. *Analytical archaeology*. Methuen, London.

Coronado, Anabella 2009. «Operación CR 20G: Excavaciones en el Edificio G de la Estructura 13Q-4» *Proyecto Regional Arqueológico La Corona: Informe Final Temporada 2008* (editado por M. Canuto y T. Barrientos) Guatemala: Instituto de Antropología e Historia, Guatemala. Págs. 57-74.

Culbert, T. Patrick. 1993. *Tikal Report no. 25, Part A, The Ceramics of Tikal: Vessels from the Burial, Caches and Problematic Deposits*. The University Museum, University of Pennsylvania, Philadelphia.

- Del Rosario Domínguez Carrasco, M. 1994. «Tipología cerámica de Calakmul, Campeche, México». *Mexicon*. 16(3): 51-53.
- Desailly-Chanson, Yann 2012. «Operación CR33: Excavación del Entierro 3, Estructuras 13Q-3» *Proyecto Regional Arqueológico La Corona: Informe Final Temporada 2011* (editado por T. Barrientos, M. Canuto y J. Ponce). Guatemala: Instituto de Antropología e Historia, Guatemala. Págs. 201-230.
- Eberl, Markus y M. Monroy 2007a. «Refinando la secuencia cerámica del Clásico Tardío en la región Petexbatun». *XX Simposio de Investigaciones Arqueológicas en Guatemala, 2006* (editado por J.P. Laporte, B. Arroyo y H. Mejía) Guatemala: Museo Nacional de Arqueología y Etnología. Págs. 464-477.
- \_\_\_\_\_; 2007b. *Community heterogeneity and integration: The Maya sites of Nacimiento, Dos Ceibas, and Cerro de Cheyo* (El Peten, Guatemala) during the Late Classic. Tesis doctoral no publicada, Departamento de Antropología, Tulane University, New Orleans.
- Eppich, Keith; *et al.* 2016. «Estudio Cerámico, 2016, 1400 años de la Indígena tradición Cerámica de Peru-Waka'» *Proyecto Arqueológico Waka' Informe No. 14, Temporada 2016*, (editado por Juan Carlos Pérez). Proyecto Arqueológico Waka, Guatemala. Págs.288-377.
- Escalante, Kirsty 2020. «Excavaciones de sondeo en la Operación CR54, Estructura 12P-31; Operación CR56, Estructura 12P32; Operación CR57, Estructura 12P-33; y Operación CR70A, Estructuras 11P-1, 11P-2 y 11P-3» *Proyecto Regional Arqueológico La Corona: Informe Final Temporada 2019* (editado por M. Canuto, T. Barrientos y M. López). Guatemala: Instituto de Antropología e Historia, Guatemala.
- Escobedo, Héctor L. *et. al* 1995. «Resultados de la tercera temporada de Arroyo de Piedra: La política Maya desde la perspectiva de un centro secundario». *VIII Simposio de Investigaciones Arqueológicas en Guatemala, 1994* (editado por J.P. Laporte y H. Escobedo). Museo Nacional de Arqueología y Etnología, Guatemala. Págs. 397-414.
- Fernández, Enrique 2011. «Operación CR16: Excavaciones en la Estructura 13R-10» *Proyecto Regional Arqueológico La Corona: Informe Final Temporada 2010* (editado por M. Canuto, T. Barrientos y M. J. Acuña). Guatemala: Instituto de Antropología e Historia, Guatemala. Págs. 277-304.
- Fernandez-Diaz, *et al.* 2014. «Now you See It... Now you Don't: Understanding Airborne Mapping LiDAR Collections and Data Product Generation for Archaeological Research in Mesoamerica». *Remote Sens* (6):9951-10001.
- Flannery, Kent V. 1968. «Archeological systems theory and early Mesoamerica». *Anthropological Archaeology in the Americas* (editado por B.J. Meggers). Anthropological Society of Washington, Washington. Págs. 67-87.

- Forné, Melanie 2006. *La cronología de la Joyanca, Noroeste del Petén, Guatemala*. BAR International Series No. 1572. Archaeopress, Oxford, England.
- Foias, Antonia E. y Ronald L. Bishop 2013. *Ceramics, Production, and Exchange in the Petexbatun Region: The economic parameters of the Classic Maya collapse*. Vanderbilt University Press, Nashville.
- Forsyth, Donald W. 1989 *The Ceramics of El Mirador, Peten, Guatemala*. El Mirador Series, Part 4. Papers of the New World Archaeological Foundation No. 63. Brigham Young University, Provo.
- Freidel, David y S. Guenter 2003. Recuperado el 05 de abril de 2020 de *Archaeology*. <https://archive.archaeology.org/online/features/siteq/>
- Friedberg, Diana 2017. «Análisis de restos óseos de fauna: temporada 2015 y 2016» *Proyecto Regional Arqueológico La Corona: Informe Final Temporada 2016* (editado por M. Canuto, T. Barrientos y E. Bustamante). Guatemala: Instituto de Antropología e Historia, Guatemala. Págs. 351-366.
- Gifford, James. 1960. «The Type-Variety Method of Ceramic Classification as an Indicator of Cultural Phenomena». *American Antiquity* 3(25): 41-347.
- Gómez, Erika 2010a. «Operaciones CR11 y CR13: Excavaciones en el Sector Oeste del Grupo 13R de La Corona» *Proyecto Regional Arqueológico La Corona: Informe Final Temporada 2009* (editado por M. Canuto y T. Barrientos). Guatemala: Instituto de Antropología e Historia, Guatemala. Págs. 159-198.
- \_\_\_\_\_; 2010b. «Operación CR 40: Excavaciones en el Grupo 12S» *Proyecto Regional Arqueológico La Corona: Informe Final Temporada 2009* (editado por M. Canuto y T. Barrientos). Guatemala: Instituto de Antropología e Historia, Guatemala. Págs. 199-200.
- \_\_\_\_\_; 2015. «Operación CR32: Excavaciones en la Estructura 13Q-2, Temporada 2014» *Proyecto Regional Arqueológico La Corona: Informe Final Temporada 2014* (editado por M. Canuto, T. Barrientos y E. Bustamante). Guatemala: Instituto de Antropología e Historia, Guatemala. Págs. 155-208.
- \_\_\_\_\_; 2016. «Operación CR32: Excavaciones en la Estructura 13Q-2 durante la Temporada 2015» *Proyecto Regional Arqueológico La Corona: Informe Final Temporada 2015* (editado por M. Canuto, T. Barrientos y E. Bustamante). Guatemala: Instituto de Antropología e Historia, Guatemala. Págs. 111-146.
- González, Alejandra. 2020. «Operación CR22: Excavaciones en la Sección Oeste del Palacio de La Corona» *Proyecto Arqueológico La Corona: Informe Final Temporada 2019* (editado por T. Barrientos, M. Canuto y M. López) Guatemala: Instituto Nacional de Antropología e Historia, Guatemala. Págs. 59-102.
- González, Alejandro 2019. «Operación 112B: Investigaciones en la Estructuras 13R-45 del Grupo Coronitas» *Proyecto Regional Arqueológico La Corona: Informe Final*

- Temporada 2017* (editado por M. Canuto, T. Barrientos y M. López). Guatemala: Instituto de Antropología e Historia, Guatemala. Págs. 33-52.
- \_\_\_\_\_; 2020. «Operación CR112B, CR15C y CR114A: Excavaciones en la Estructuras 13R-2 y 13R-4 del Grupo Coronitas» *Proyecto Regional Arqueológico La Corona: Informe Final Temporada 2019* (editado por M. Canuto, T. Barrientos y M. López). Guatemala: Instituto de Antropología e Historia, Guatemala.
- González, Alejandro y M. A. Cajas 2018. «Operaciones CR112 y CR117: Excavaciones en las Estructuras 13R-45 y 13R-7 del Grupo Coronitas» *Proyecto Regional Arqueológico La Corona: Informe Final Temporada 2017* (editado por M. Canuto, T. Barrientos, M. López y E. Bustamante). Guatemala: Instituto de Antropología e Historia, Guatemala. Págs. 209-240.
- Guzmán, Rodrigo 2011. «Reconocimiento arqueológico y mapeo en La Corona» *Proyecto Regional Arqueológico La Corona: Informe Final Temporada 2010* (editado por M. Canuto, T. Barrientos y M. J. Acuña). Guatemala: Instituto de Antropología e Historia, Guatemala. Págs.127-150.
- \_\_\_\_\_; 2012. «Reconocimiento arqueológico y mapeo en La Corona: Temporada 2011» *Proyecto Regional Arqueológico La Corona: Informe Final Temporada 2011* (editado por T. Barrientos, M. Canuto y J. Ponce). Guatemala: Instituto de Antropología e Historia, Guatemala. Págs. 123-144.
- Graham, Ian (1997). Recuperada el 06 de abril de 2020. De *Archaeology*. 50 (5):46: <https://archive.archaeology.org/9709/etc/la.corona.html>
- \_\_\_\_\_; 2002. «Mission to La Corona: A New Maya Site May Fail to Qualify as Site Q». *Secrets of the Maya* (editado por P. Young). Londres: Hatherleigh Press. Págs. 78-79.
- Hatch, Marion Popenoe de 1993. «Análisis de la cerámica: Metodología “Vajilla”». *III Simposio de Investigaciones Arqueológicas en Guatemala, 1989* (editado por J.P. Laporte, H. Escobedo y S. Villagrán) Guatemala: Museo Nacional de Arqueología y Etnología. Págs. 287-302.
- Hernando Gonzalo, Almudena 1995. «La etnoarqueología, hoy: Una vía eficaz de aproximación al pasado». *Trabajos De Prehistoria*. 52 (2): 15–30.
- Kelly, Robert L.; Hurst Thomas, David 2013. *Archaeology: down to earth*. 5ª ed. Estados Unidos: Cengage Learning. 309 págs.
- LaMotta, Vincent M.; Schiffer, Michael B. 1999 «Formation processes of house floor assemblages». *The archaeology of household activities*. Págs. 20-29.
- Lamoureux-St-Hilaire, Maxime 2014. «Operación CR20F: Excavaciones en la Estructura 13Q-4F en el Patio Norte del Palacio de La Corona» *Proyecto Regional Arqueológico La Corona: Informe Final Temporada 2013* (editado por M. Canuto, T. Barrientos y J. Ponce). Guatemala: Instituto Nacional de Antropología e Historia, Guatemala. Págs. 41-60.

- \_\_\_\_\_; 2015. «Investigaciones en los Patios Noreste y Noroeste del Palacio de La Corona» *Proyecto Regional Arqueológico La Corona: Informe Final Temporada 2014* (editado por M. Canuto, T. Barrientos y E. Bustamante). Guatemala: Instituto de Antropología e Historia, Guatemala. Págs.75-114.
- \_\_\_\_\_; 2017. «Cuarta temporada de investigaciones en la sección norte del Palacio Real de La Corona» *Proyecto Regional Arqueológico La Corona: Informe Final Temporada 2016* (editado por M. Canuto, T. Barrientos y E. Bustamante). Guatemala: Instituto de Antropología e Historia, Guatemala. Págs. 37-74.
- \_\_\_\_\_; 2018a. «Estudio Económico Multifacético de la Sección Norte del Palacio de La Corona» *Proyecto Regional Arqueológico La Corona: Informe Final Temporada 2017* (editado por M. Canuto, T. Barrientos, M. López y E. Bustamante). Guatemala: Instituto de Antropología e Historia, Guatemala. Págs. 479-500.
- \_\_\_\_\_; 2018b *Palatial Politics: The Royal Court of La Corona, Guatemala*. Tesis Doctoral. Departamento de Arqueología, Tulane University, New Orleans. 562 págs.
- Lamoureux-St-Hilaire, Maxime y E. Bustamante 2016. «Investigaciones de desarrollo y funcionalidad en el palacio real de La Corona» *XXIX Simposio de Investigaciones Arqueológicas en Guatemala, 2015* (editado por B. Arroyo, L. Méndez Salinas, y L. Paiz). Guatemala: Ministerio de Cultura y Deportes, Instituto de Antropología e Historia y Asociación Tikal.
- Lamoureux-St-Hilaire, Maxime y R. Morales Forte. 2016. «Tercera temporada de investigaciones en la sección norte del Palacio Real de La Corona». *Proyecto Arqueológico La Corona: Informe Final Temporada 2015* (editado por T. Barrientos, M. Canuto y E. Bustamante) Guatemala: Instituto Nacional de Antropología e Historia, Guatemala. Págs. 53-96.
- López, Joel *et al.* 2011. «¿Relación modal o diferencial de la cerámica en las áreas periféricas del sitio arqueológico el Perú-Waka'»?». (editado por B. Arroyo, L. Paiz, A. Linares y A. Arroyave) Guatemala: Museo Nacional de Antropología e Historia. Págs. 867-878.
- López, Marissa 2018a. «Operación CR52: Investigaciones en la Estructura 12P-1, Sacbe» *Proyecto Regional Arqueológico La Corona: Informe Final Temporada 2017* (editado por M. Canuto, T. Barrientos, M. López y E. Bustamante). Guatemala: Instituto de Antropología e Historia, Guatemala. Págs. 165-200.
- \_\_\_\_\_; 2018b. «Operaciones CR53 y CR54: Excavaciones de sondeo en los Grupos AR26-07 y 13-AR26-10» *Proyecto Regional Arqueológico La Corona: Informe Final Temporada 2017* (editado por M. Canuto, T. Barrientos, M. López y E. Bustamante). Guatemala: Instituto de Antropología e Historia, Guatemala. Págs. 201-208.
- López, Marissa y K. Escalante 2019. «Investigaciones en el Grupo Tortugas de La Corona: Operaciones CR54 y CR55, Temporada 2018» *Proyecto Regional Arqueológico La Corona: Informe Final Temporada 2017* (editado por M. Canuto, T. Barrientos y M. López). Guatemala: Instituto de Antropología e Historia, Guatemala. Págs. 89-128.

- Lull, Vicente; Mico, Rafael 1998. «Teoría arqueológica II. La arqueología procesual». *Revista d'arqueologia de Ponent*. (2): 61-78.
- Maldonado Cárdenas, Rubén *et. al* 2004. «Salvamento arqueológico Temozón Norte». *Informe técnico, presentado al Consejo de Arqueología*. CRY-INAH, México.
- Maldonado Cárdenas, Rubén y S. Ortiz Ruiz 2008. «La exploración de las estructuras 53 y 54 y un contexto de basurero en Dzibilchaltún, Yucatán». *VII Coloquio Pedro Bosch-Gimpera, Arqueología de la vida cotidiana: espacios domésticos y áreas de actividad en el México antiguo y otras zonas culturales*, Instituto de Investigaciones Antropológicas, UNAM.
- Morales Forte, Rubén. 2018. «Excavaciones en la Sección Norte del Palacio de La Corona: Operaciones CR21N, CR20G Y CR22» *Proyecto Arqueológico La Corona: Informe Final Temporada 2017* (editado por T. Barrientos, M. Canuto, M. López y E. Bustamante) Guatemala: Instituto de Antropología e Historia, Guatemala. Págs.105-136.
- Moriarty, Matthew D. y Antonia E. Foias. 2007. «El juego de poder en el centro de Petén: Evidencia cerámica sobre festejos asociados al Juego de Pelota en La Trinidad de Nosotros» *XX Simposio de Investigaciones Arqueológicas en Guatemala, 2006* (editado por J.P. Laporte, B. Arroyo y H. Mejía) Guatemala: Museo Nacional de Arqueología y Etnología, Guatemala. Págs. 1397-1415.
- Muñoz, René. 2006. *Power, Practice, and Production: Technological Change in the Late Classic Ceramics of Piedras Negras, Guatemala*. Tesis Doctoral, University of Arizona.
- Ortiz Ruiz, María Soledad 2019 *El Sacbé: 3 su contexto e integración en Dzibilchaltún, Yucatán, México*. Tesis de Licenciatura. Facultad de Ciencias Antropológicas, Universidad Autónoma de Yucatán. 150 págs.
- Padilla, Liliana 2010. «Operación CR 20 y CR21: Excavaciones en el Palacio de La Corona» *Proyecto Regional Arqueológico La Corona: Informe Final Temporada 2009* (editado por M. Canuto y T. Barrientos). Guatemala: Instituto de Antropología e Historia, Guatemala. Págs. 39-72.
- \_\_\_\_\_; 2011. «Operación CR 20: Excavaciones en el Palacio de La Corona» *Proyecto Regional Arqueológico La Corona: Informe Final Temporada 2010* (editado por M. Canuto, T. Barrientos y M. J. Acuña). Guatemala: Instituto Nacional de Antropología e Historia, Guatemala. Págs. 151-172.
- Padilla, Liliana y A. Roche 2012. «Operación CR20: Excavaciones en el Palacio de La Corona, Temporada 2011» *Proyecto Regional Arqueológico La Corona: Informe Final Temporada 2011* (editado por T. Barrientos, M. Canuto y J. Ponce). Guatemala: Instituto de Antropología e Historia, Guatemala. Págs. 145-172.

- Padilla, Liliana y E. Bustamante 2013. «El Palacio de La Corona: En la búsqueda de las princesas del reino Kan» *XXVI Simposio de Investigaciones Arqueológicas en Guatemala, Museo Nacional de Arqueología y Etnología 2012, Tomo II*, (editado por B. Arroyo y L. Salinas). Guatemala: Museo Nacional de Arqueología y Etnología, Guatemala. Págs. 1021-1028.
- Parris, Caroline. 2013. «Análisis preliminar de la cerámica de La Corona: Grupo Coronitas». En *Proyecto Regional Arqueológico La Corona: Informe Final Temporada 2011* (editado por Tomás Barrientos Q., Marcello A. Canuto y J. Ponce) Guatemala: Instituto de Antropología e Historia, Guatemala. Págs. 297- 328.
- \_\_\_\_\_; 2016. Síntesis de la colección de tipos cerámicos de La Corona. En *Proyecto Arqueológico La Corona: Informe Final, Temporada 2015*, editado por Marcello Canuto, Tomas Barrientos, y Eduardo Bustamante, PRALC, Ciudad de Guatemala. Págs. 253-308.
- \_\_\_\_\_; 2019 «Análisis preliminar de las Vasijas Completas de la Temporadas 2016 2018: La Corona». En *Proyecto Regional Arqueológico La Corona: Informe Final Temporada 2011* (editado por Tomás Barrientos Q., Marcello A. Canuto; M. López) Guatemala: Instituto de Antropología e Historia, Guatemala. Págs. 89 -128.
- Ponce, Jocelyne 2011. «Operación CR42: Excavaciones en el Grupo Habitacional 13R-2» *Proyecto Regional Arqueológico La Corona: Informe Final Temporada 2010* (editado por M. Canuto, T. Barrientos y M. J. Acuña). Guatemala: Instituto de Antropología e Historia, Guatemala. Págs. 305-316.
- \_\_\_\_\_; 2013. «Operación CR16: Excavaciones en la Estructura 13R-10, Temporada 2012» *Proyecto Regional Arqueológico La Corona: Informe Final Temporada 2012* (editado por T. Barrientos, M. Canuto y J. Ponce). Guatemala: Instituto de Antropología e Historia, Guatemala. Págs. 141-186.
- \_\_\_\_\_; 2014a. «Operación CR16: Excavaciones en la Estructura 13R-10, Temporada 2013» *Proyecto Regional Arqueológico La Corona: Informe Final Temporada 2013* (editado por M. Canuto, T. Barrientos y J. Ponce). Guatemala: Instituto de Antropología e Historia, Guatemala. Págs. 83-144.
- \_\_\_\_\_; 2014b. «Estructura 13R-10 de La Corona. Un área de actividad de la élite maya prehispánica durante el clásico tardío y terminal» *XXVII Simposio de Investigaciones Arqueológicas en Guatemala*, Tomo II (editado por B. Arroyo, L. Méndez y A. Rojas). Guatemala: Museo Nacional de Arqueología y Etnología, Guatemala. Págs. 975-986.
- \_\_\_\_\_; 2015. «Operación CR16: Excavaciones en la Estructura 13R-10, Temporada 2014» *Proyecto Regional Arqueológico La Corona: Informe Final Temporada 2014* (editado por M. Canuto, T. Barrientos y E. Bustamante). Guatemala: Instituto de Antropología e Historia, Guatemala. Págs. 209-270.
- \_\_\_\_\_; 2017a. «Operaciones CR112 y CR115: Excavaciones en las Estructuras 13R-1 y 13R-45 del Grupo Coronitas» *Proyecto Regional Arqueológico La Corona: Informe Final Temporada 2016* (editado por M. Canuto, T. Barrientos y E. Bustamante). Guatemala: Instituto de Antropología e Historia, Guatemala. Págs. 137-146.
- \_\_\_\_\_; 2020. «Investigaciones arqueológicas en el Grupo 14S-1 “El Caballito”, Temporada 2019» *Proyecto Regional Arqueológico La Corona: Informe Final*

- Temporada 2019* (editado por M. Canuto, T. Barrientos y M. López). Guatemala: Instituto de Antropología e Historia, Guatemala.
- Ponce, Jocelyne y M. A. Cajas 2013. «El Grupo 13R-II de La Corona: El Contexto Arqueológico de la Escalinata Glífica 2» *XXVI Simposio de Investigaciones Arqueológicas en Guatemala, Museo Nacional de Arqueología y Etnología 2012, Tomo II* (editado por B. Arroyo y L. Salinas). Guatemala: Museo Nacional de Arqueología y Etnología, Guatemala. Págs. 1041-1052.
- Ponce, Jocelyne y C. Nájera 2012. «Operación CR16: Excavaciones en la Estructura 13R-10, Temporada 2011» *Proyecto Regional Arqueológico La Corona: Informe Final Temporada 2011* (editado por T. Barrientos, M. Canuto y J. Ponce). Guatemala: Instituto de Antropología e Historia, Guatemala. Págs. 279-318.
- Ponciano, Erick M. y A. Pinto 2007 «Rito de terminación en la plaza principal de Aguateca: Epílogo de su ocupación durante el siglo IX» *XX Simposio de Investigaciones Arqueológicas en Guatemala, 2006* (editado por J.P. Laporte, B. Arroyo y H. Mejía). Museo Nacional de Arqueología y Etnología, Guatemala. Págs. 720-736
- Pontaza, Jorge 2011. «Operación CR44: Excavaciones en el Grupo Habitacional 13P-1» *Proyecto Regional Arqueológico La Corona: Informe Final Temporada 2010* (editado por M. Canuto, T. Barrientos y M. J. Acuña). Guatemala: Instituto de Antropología e Historia, Guatemala. Págs.335-346.
- \_\_\_\_\_; 2012. «Investigación del Grupo 14S-1 “El Caballito”» *Proyecto Regional Arqueológico La Corona: Informe Final Temporada 2011* (editado por T. Barrientos, M. Canuto y J. Ponce). Guatemala: Instituto de Antropología e Historia, Guatemala. Págs. 335-346.
- Pontaza, Jorge y A. González 2013. «Excavaciones en el Grupo 14S-1 “El Caballito”, Temporada 2012» *Proyecto Regional Arqueológico La Corona: Informe Final Temporada 2012* (editado por T. Barrientos, M. Canuto y J. Ponce). Guatemala: Instituto de Antropología e Historia, Guatemala. Págs. 259-278.
- Raab, L. Mark; A. Goodyear 1984. «Middle-range theory in archaeology: A critical review of origins and applications» *American Antiquity*. 49 (2): 255-268.
- Rathje, William; M. Schiffer 1982. *Archaeology*. New York: Harcourt Brace Jovanovich.
- Reid, J. Jefferson; M. Schiffer y W.L. Rathje 1975. «Behavioral Archaeology: Four Strategies». *American Anthropologist*. 77 (4): 864-869.
- Rice, Prudence 1976. «Rethinking the Ware Concept» *American Antiquity*. 41(4): 538-543.
- Roche, Alejandra 2015a. «Operación CR116 Excavaciones en el Grupo 13R-I, Estructuras 13R-13 y 13R-43» *Proyecto Regional Arqueológico La Corona: Informe Final Temporada 2014* (editado por M. Canuto, T. Barrientos y E. Bustamante). Guatemala: Instituto de Antropología e Historia, Guatemala. Págs. 271-290.



- \_\_\_\_\_; 2015b. «Operación CR120: Excavaciones en la Estructura 12R-9» *Proyecto Regional Arqueológico La Corona: Informe Final Temporada 2014* (editado por M. Canuto, T. Barrientos y E. Bustamante). Guatemala: Instituto de Antropología e Historia, Guatemala. Págs. 291-300.
- Rojas, Andrea 2011. «Operación CR43: Excavaciones en el Grupo Habitacional 12Q-1» *Proyecto Regional Arqueológico La Corona: Informe Final Temporada 2010* (editado por M. Canuto, T. Barrientos y M. J. Acuña). Guatemala: Instituto de Antropología e Historia, Guatemala. Págs. 317-334.
- Sabloff, Jeremy A 1975. *Excavations at Seibal. Ceramics*. Memoirs of the Peabody Museum of Archaeology and Ethnology. 13(2). Peabody Museum of American Archaeology and Ethnology, Harvard University, Cambridge.
- Saravia, Juan Francisco; M. López y A. González 2020. «Análisis cerámico de La Corona, Temporada 2019» *Proyecto Regional Arqueológico La Corona: Informe Final Temporada 2019* (editado por M. Canuto, T. Barrientos y M. López). Guatemala: Instituto de Antropología e Historia, Guatemala. Págs. 411-488.
- Scarborough, Vernon 1989. «Site Structure of a Village of the Late Pithouse-Early Pueblo Period in New Mexico». *Journal of Field Archaeology*. 16(4), 405-425.
- Schiffer, Michael 1972. «Archaeological context and systemic context». *American Antiquity*. 37 (2): 156-165.
- \_\_\_\_\_;1976. Behavioral archaeology. Academic Press, New York.
- \_\_\_\_\_;1987 *Formation Processes of the Archaeological Record*. University of New Mexico Press, Albuquerque.
- \_\_\_\_\_;1988 «The Structure of Archaeological Theory». *American Antiquity*. 53(3):461-485.
- \_\_\_\_\_;1990 «Contexto arqueológico y contexto sistémico». *Boletín De Antropología Americana*.(22): 81-93.
- \_\_\_\_\_;1991 «Los procesos de formación del registro arqueológico». *Boletín de Antropología Americana*. (23): 39-45.
- \_\_\_\_\_;2008 «Behavioral Archaeology» *ElSevier*.Págs. 909-919.
- Schiffer, Michael B.; A. Miller 1999. *The material life of human beings: Artifacts, behavior, and communication*. Psychology Press. 176 págs.
- Simova, Borislava; A. Cajas y E. Bustamante 2018. «Operaciones CR20EC y CR20F: Excavaciones en la Estructura 13Q-4E del Palacio de La Corona» *Proyecto Regional Arqueológico La Corona: Informe Final Temporada 2017* (editado por M. Canuto, T. Barrientos, M. López y E. Bustamante). Guatemala: Instituto de Antropología e Historia, Guatemala. Págs. 81-104.
- Smith, Robert E. 1955. *Ceramic Sequence at Uaxactún, Guatemala*. Middle American Research Institute Publication 20. Tulane University, New Orleans.

- Smith, R.E. y J.C. Gifford 1966. *Maya Ceramic Varieties, Types and Wares at Uaxactún: Supplement to Ceramic Sequence at Uaxactún*. Middle American Research Institute, Reporte 4. Tulane University, New Orleans. Págs.125-174.
- Smith, Robert E. *et al.* 1960. The Type-Variety Concept as a Basis for the Analysis of Maya Pottery. *American Antiquity* 25 (3):330-340. Symonds, Stacey, Bárbara Arroyo y Stephen D. Houston
- Straight, Kirk D. y D. B. Marken 2006. «Los depósitos de terminación del Templo XIX, Palenque, Chiapas» *XIX Simposio de Investigaciones Arqueológicas en Guatemala, 2005* (editado por J.P. Laporte, B. Arroyo y H. Mejía), pp.441-449. Museo Nacional de Arqueología y Etnología, Guatemala.
- Stiles, D. 1977. Ethnoarchaeology: a discussion of methods and applications. *Man, New Series*. 12 (1): 87-103.
- Stuart, David; *et al.* 2014. «Un esquema de la historia y epigrafía de La Corona». *XXVII Simposio de Investigaciones Arqueológicas en Guatemala, 2013* (editado por B. Arroyo, L. Méndez Salinas y A. Rojas) Guatemala: Museo Nacional de Arqueología y Etnología. Págs. 435-448.
- Stuart, David; M. Canuto y T. Barrientos 2015. Recuperado el 04 de abril de 2020. De Mesoweb: <http://www.mesoweb.com/LaCorona/LaCoronaNotes02.pdf>  
\_\_\_\_\_; 2019. «Análisis epigráfico, iconográfico e histórico del Altar 5 de La Corona» *Proyecto Regional Arqueológico La Corona: Informe Final Temporada 2018* (editado por T. Barrientos, M. Canuto y M. López). Guatemala: Instituto de Antropología e Historia, Guatemala. Págs. 53-74.

## XIV. Anexos

### A. Basurero 1

Figura 53. Resultados del análisis Tipo-variedad de la Operación CR22 (Basurero 1), presentados por grupo, lote y fechamiento del lote

Operación CR22: Resultados del análisis Tipo-Variedad por lote (n=10.062)																														
Lote	Descripción	Águla	Balanza	Dis. Através	Japón	Puete	Quinjal	Azote	Cambio	Harina	Infierno	Máquina	Santa Rosa	Sacche-Palmir	Tinaja	Zacatal	Estuendo ND	Chahlekal	Altar	Balancen	Infierno (Paat)	Máquina (Paat)	Tinaja (Paat)	Tres Naciones	Descarte	Erosionado	Indeterminado	Total general	Complejos Presentes	Fechamiento
CR22-1-3-4	Basurero Tardío	0	0	0	0	0	0	85	180	0	38	42	0	29	160	1	0	2	2	0	0	0	0	0	45	9	593	---Waay-Waay (faceta tardía)-Paat-	Paat	
CR22-1-3-11	Basurero Medio	0	0	0	0	0	0	19	17	0	1	6	0	17	17	2	0	0	0	0	0	0	0	3	0	6	88	---Waay- - -	Waay	
CR22-1-4-3	Basurero Medio	0	0	0	1	0	0	11	15	0	0	1	0	3	10	0	0	0	0	0	0	0	0	5	1	2	49	-Ochib-Waay- - -	Waay	
CR22-1-5-6	Basurero Temprano	225	13	2	1	0	0	1	113	0	0	16	0	66	15	2	0	0	0	0	0	0	0	18	51	10	533	--Ochib-Waay- - -	Waay	
CR22-1-4-6	Basurero Temprano	119	1	0	0	20	0	0	88	0	9	22	0	53	15	0	0	0	0	0	0	0	0	112	39	7	485	-Ochib-Waay- - -	Waay	
CR22-1-4-7	Basurero Temprano	3	0	0	0	0	0	0	8	0	0	0	0	1	0	0	0	0	0	0	0	0	0	2	0	0	14	-Ochib-Waay- - -	Waay	
CR22-1-6-7	Basurero Temprano	6	0	0	0	0	0	0	4	0	0	0	0	0	8	0	0	0	0	0	0	0	0	0	2	0	20	-Ochib-Waay- - -	Waay	
CR22-3-2-1	Derrumbe	0	0	0	0	0	11	176	0	8	7	0	8	39	0	2	1	0	0	0	0	0	10	12	7	281	---Waay-Waay (faceta tardía)-Paat-	Paat		
CR22-3-3-2	Basurero Tardío	0	0	0	0	0	20	64	0	7	6	0	5	60	0	0	0	0	0	0	0	0	2	30	20	1	215	---Waay- -Paat-	Paat	
CR22-3-4-3	Basurero Medio	0	0	0	0	0	16	38	0	2	10	0	9	18	0	0	1	0	0	0	0	0	0	51	2	1	148	---Waay-Waay (faceta tardía)- -	Waay (faceta tardía)	
CR22-3-4-4	Basurero Medio	0	0	0	0	0	5	5	0	1	4	0	5	3	0	0	0	0	0	0	0	0	0	3	0	0	26	---Waay- - -	Waay	
CR22-3-5-5	Basurero Temprano	488	20	3	1	76	20	0	301	0	0	4	1	123	16	0	0	0	0	0	0	0	0	55	61	11	1180	-Ochib-Waay- - -	Waay	
CR22-4-1-1	Humus	0	0	0	0	0	7	25	0	6	2	0	10	9	1	0	0	0	0	0	0	0	0	0	16	0	76	---Waay- - -	Waay	
CR22-4-2-2	Derrumbe Tardío	0	0	0	0	0	20	81	0	8	23	0	10	36	0	0	2	0	0	0	0	0	2	1	12	13	5	213	---Waay-Waay (faceta tardía)-Paat-	Paat
CR22-4-2-3	Derrumbe Temprano	0	0	0	0	0	19	43	0	10	13	0	14	18	0	0	2	0	0	0	0	0	0	27	17	2	165	---Waay-Waay (faceta tardía)- -	Waay (faceta tardía)	
CR22-4-3-4	Basurero Tardío	0	0	0	0	0	14	40	0	15	6	0	6	43	1	0	0	0	0	0	0	0	0	58	7	4	194	---Waay- - -	Waay	
CR22-4-3-5	Basurero Tardío	0	0	0	0	0	3	1	0	2	2	0	0	1	0	0	0	0	0	0	0	0	0	0	0	0	9	---Waay- - -	Waay	
CR22-4-5-6	Basurero Medio	0	0	0	0	0	15	41	0	7	5	0	13	51	0	0	0	0	0	0	0	0	0	9	8	0	149	---Waay- - -	Waay	
CR22-4-6-7	Basurero Temprano	52	8	0	1	4	2	1	105	0	1	8	0	71	1	0	0	0	0	0	0	0	0	4	0	0	258	-Ochib-Waay- - -	Waay	
CR22-5-1-1	Humus	0	0	0	0	0	2	5	0	0	0	0	4	0	0	0	0	0	0	0	0	0	0	5	0	0	16	---Waay- - -	Waay	
CR22-5-2-1	Derrumbe	0	0	0	0	0	8	47	0	6	4	0	3	15	0	0	0	0	0	0	0	0	0	3	5	1	92	---Waay- - -	Waay	
CR22-5-2-2	Derrumbe	0	0	0	0	0	36	224	0	15	27	0	22	69	0	1	2	1	0	0	0	2	0	20	14	2	435	---Waay-Waay (faceta tardía)-Paat-	Paat	
CR22-5-3-1	Basurero Tardío	0	0	0	0	0	113	292	0	64	66	0	48	179	1	0	2	0	0	0	0	0	0	82	53	1	901	---Waay-Waay (faceta tardía)- -	Waay (faceta tardía)	
CR22-5-4-1	Basurero Medio	0	0	0	0	0	92	143	0	18	35	0	89	92	0	2	3	1	0	0	0	0	101	30	6	612	---Waay-Waay (faceta tardía)-Paat-	Paat		
CR22-5-5-1	Basurero Temprano	194	0	1	3	9	0	241	277	0	13	36	0	212	27	3	0	0	0	0	0	0	151	87	24	1278	-Ochib-Waay- - -	Waay		
CR22-6-1-1	Humus	0	0	0	0	0	1	2	0	0	0	0	0	4	0	0	0	0	0	0	0	0	2	0	0	0	9	---Waay- - -	Waay	
CR22-6-2-2	Derrumbe	0	0	0	0	0	32	134	0	13	21	0	16	57	0	0	1	1	0	0	0	0	0	9	32	7	323	---Waay-Waay (faceta tardía)-Paat-	Paat	
CR22-6-2-3	Derrumbe	0	0	0	0	0	7	26	0	2	10	0	0	17	0	0	0	0	0	0	0	0	0	0	0	2	64	---Waay- - -	Waay	
CR22-6-3-4	Derrumbe	0	0	0	0	0	3	8	0	0	0	0	0	7	0	0	0	0	0	0	0	0	0	0	1	0	19	---Waay- - -	Waay	
CR22-6-3-5	Derrumbe	0	0	0	0	0	2	18	0	0	1	0	1	9	0	0	0	0	0	0	0	0	0	4	2	0	37	---Waay- - -	Waay	
CR22-6-4-6	Basurero Tardío	0	0	0	0	0	22	16	0	4	7	0	2	21	2	0	1	0	0	0	0	0	4	3	1	83	---Waay-Waay (faceta tardía)- -	Waay (faceta tardía)		
CR22-6-4-7	Basurero Tardío	0	0	0	0	0	31	120	0	8	19	0	3	42	1	4	0	0	0	0	0	0	0	4	2	234	---Waay-Waay (faceta tardía)- -	Waay (faceta tardía)		
CR22-6-4-8	Basurero Tardío	0	0	0	0	0	25	88	2	13	31	0	8	103	0	1	0	0	0	0	0	0	10	7	1	289	---Waay-Waay (faceta tardía)- -	Waay (faceta tardía)		
CR22-6-4-9	Basurero Tardío	0	0	0	0	0	17	28	0	10	11	0	8	48	0	1	0	0	0	0	0	0	10	3	0	136	---Waay-Waay (faceta tardía)- -	Waay (faceta tardía)		
CR22-6-5-10	Basurero Medio	0	0	0	0	0	0	2	0	0	0	0	1	0	0	0	0	0	0	1	0	0	0	0	0	0	4	---Waay-Waay (faceta tardía)-Paat-	Paat	
CR22-6-6-11	Basurero Medio	1	0	0	0	0	3	8	0	1	2	0	8	1	0	0	0	0	0	0	0	0	3	2	0	29	-Ochib-Waay- - -	Waay		
CR22-6-7-12	Basurero Temprano	117	0	0	1	0	0	3	108	0	4	10	0	70	0	2	0	0	0	0	0	0	0	8	12	0	335	-Ochib-Waay- - -	Waay	
CR22-6-7-13	Basurero Temprano	61	0	0	0	0	0	34	0	0	2	0	18	0	0	0	0	0	0	0	0	0	3	12	2	132	-Ochib-Waay- - -	Waay		
CR22-6-A-7-1	Basurero Temprano	51	0	0	1	0	0	0	36	0	1	18	0	29	0	1	0	0	0	0	0	0	23	2	1	163	-Ochib-Waay- - -	Waay		
CR22-6-B-4-1	Basurero Tardío	0	0	0	0	0	2	2	0	0	1	0	0	1	1	0	0	0	0	0	0	0	0	0	0	0	7	---Waay- - -	Waay	
CR22-7-1-1	Humus	0	0	0	0	0	3	6	0	1	2	0	1	5	0	0	0	0	0	0	0	0	0	2	0	0	20	---Waay- - -	Waay	
CR22-7-2-2	Derrumbe	0	0	0	0	0	25	70	0	8	4	0	4	35	0	0	0	0	0	0	0	0	2	0	0	0	148	---Waay- - -	Waay	
<b>Totales generales</b>		<b>1317</b>	<b>42</b>	<b>6</b>	<b>9</b>	<b>109</b>	<b>22</b>	<b>915</b>	<b>3039</b>	<b>2</b>	<b>296</b>	<b>484</b>	<b>1</b>	<b>985</b>	<b>1257</b>	<b>18</b>	<b>7</b>	<b>20</b>	<b>6</b>	<b>0</b>	<b>1</b>	<b>6</b>	<b>1</b>	<b>827</b>	<b>577</b>	<b>115</b>	<b>10062</b>			

Figura 54. Clasificación morfológica de la muestra y pesos por lotes de la Operación CR22 del Basurero 1 del Palacio.

Operación CR22: Clasificación morfológica de la muestra y pesos (en gramos) del Basurero 1 (n=10,062)																													
Lote	Descripción	Borde		Cuello		Hombro		Cuerpo		Base		Tapadera		Soporte		Otro apéndice		Labio		Asa		Completa		Indeterminado		Totales			
		Cant.	Peso	Cant.	Peso	Cant.	Peso	Cant.	Peso	Cant.	Peso	Cant.	Peso	Cant.	Peso	Cant.	Peso	Cant.	Peso	Cant.	Peso	Cant.	Peso	Cant.	Peso	Cant.	Peso	Cant.	Peso
CR22-1-3-11	Basurero medio	24	851	3	65	1	14	54	1120	6	127																	88	2177
CR22-1-3-4	Basurero tardío	71	3390	8	480	9	590	470	8281	32	1000								3	23								593	13764
CR22-1-4-3	Basurero medio	4	43	1	58	1	13	39	292	2	24								1	2				1	6		49	438	
CR22-1-4-6	Basurero temprano	61	1376	19	245	2	103	372	3722	23	423			1	3	4	76		3	7							485	5955	
CR22-1-4-7	Basurero temprano	1	7	1	8			11	85	1	16																	14	116
CR22-1-5-6	Basurero temprano	107	2887	15	376	8	216	343	5542	33	938	3	118	2	54	16	532		6	167							533	10830	
CR22-1-6-7	Basurero temprano	1	24					15	205	2	24					2	69											20	322
CR22-3-2-1	Derrumbe	23	808	12	320	1	34	236	7142	8	275								1	18							281	8597	
CR22-3-3-2	Basurero tardío	27	2267	7	461	6	646	168	4727	6	696								1	2							215	8799	
CR22-3-4-3	Basurero medio	26	714	1	111			117	1502	4	61																148	2388	
CR22-3-4-4	Basurero medio	3	56			1	17	21	407	1	36																26	516	
CR22-3-5-5	Basurero temprano	153	4050	32	590	2	38	909	10216	55	1925					16	333		13	116							1180	17268	
CR22-4-1-1	Humus	6	239					68	1438	2	109																76	1786	
CR22-4-2-2	Derrumbe tardío	28	933	5	174	6	140	158	3417	14	477								2	22							213	5163	
CR22-4-2-3	Derrumbe temprano	17	273	1	86	3	76	138	1502	4	159								2	6							165	2102	
CR22-4-3-4	Basurero tardío	21	734	3	85	1	85	162	3054	6	329								1	12							194	4299	
CR22-4-3-5	Basurero tardío	6	877	1	51					2	70																9	998	
CR22-4-5-6	Basurero medio	20	1087	1	18	2	56	113	3707	13	503																149	5371	
CR22-4-6-7	Basurero temprano	63	976	4	47	3	41	165	1965	16	723				1	20			6	34							258	3806	
CR22-5-1-1	Humus	2	28	1	18	1	15	11	340	1	278																16	679	
CR22-5-2-1	Derrumbe	12	297	3	87			75	1569	2	173																92	2126	
CR22-5-2-2	Derrumbe	58	2696	13	1309	6	160	334	10674	22	922								2	19							435	15780	
CR22-5-3-1	Basurero tardío	111	6801	14	616	6	136	711	23757	57	3923								2	54							901	35287	
CR22-5-4-1	Basurero medio	85	3244	10	224	7	264	480	7865	30	1036																612	12633	
CR22-5-5-1	Basurero temprano	201	5520	35	1476	5	26	958	12206	77	2933					1	2		1	17							1278	22180	
CR22-6-1-1	Humus							9	85																		9	85	
CR22-6-2-2	Derrumbe	35	1834	10	444	4	112	268	7158	6	239																323	9787	
CR22-6-2-3	Derrumbe	6	273	2	40	3	115	47	1496	5	611			1	7												64	2542	
CR22-6-3-4	Derrumbe	1	29	1	123			17	442																		19	594	
CR22-6-3-5	Derrumbe	2	87	3	92			30	674	1	13								1	2							37	868	
CR22-6-4-6	Basurero tardío	11	609	2	97			65	1299	4	694								1	1							83	2700	
CR22-6-4-7	Basurero tardío	27	1446	9	413			179	5948	18	779	1	13														234	8599	
CR22-6-4-8	Basurero tardío	36	3273	2	100			240	7835	8	631									2	46	1	376			289	12261		
CR22-6-4-9	Basurero tardío	22	1862	1	23	1	6	103	2755	8	380			1	31												136	5057	
CR22-6-5-10	Basurero medio	1	55					3	29																		4	84	
CR22-6-6-11	Basurero medio	2	57					23	181	3	56					1	18										29	312	
CR22-6-7-12	Basurero temprano	53	1315	8	143	3	196	247	3303	15	283					6	100		3	25							335	5365	
CR22-6-7-13	Basurero temprano	21	598	2	134	3	43	94	1351	7	404					4	81		1	6							132	2617	
CR22-6-A-7-1	Basurero temprano	21	315	3	108			126	1363	9	582					4	117										163	2485	
CR22-6-B-4-1	Basurero tardío							7	283																		7	283	
CR22-7-1-1	Humus	3	66	1	11			16	396																		20	473	
CR22-7-2-2	Derrumbe	19	2930	5	214	4	417	117	3596	3	444																148	7601	
<b>Total general</b>		<b>1391</b>	<b>54927</b>	<b>239</b>	<b>8847</b>	<b>89</b>	<b>3559</b>	<b>7719</b>	<b>152929</b>	<b>506</b>	<b>22296</b>	<b>4</b>	<b>131</b>	<b>5</b>	<b>95</b>	<b>55</b>	<b>1348</b>	<b>48</b>	<b>479</b>	<b>4</b>	<b>100</b>	<b>1</b>	<b>376</b>	<b>1</b>	<b>6</b>	<b>10062</b>	<b>245093</b>		

B.Basurero 3

Figura 55. Resultados del análisis Tipo-variedad de la Operación CR22 (Basurero 3), presentados por grupo, lote y fechamiento del lote

Operación CR22: Resultados del análisis Tipo-Variedad por lote (n=4,557)																									
Lote		Azote	Cambio	Harina	Inferno	Méjquina	Santa Rosa	Sacche-Palmar	Tinjaja	Zacatal	Estucado ND	Chablakal	Altur	Balancen	Inferno (Paat)	Méjquina (Paat)	Tinjaja (Paat)	Tres Naciones	Descarte	Erosionado	Indeterminado	Total general	Complejos Presentes	Fechamiento	
CR22-2-1-1	Humus	0	18	0	1	1	0	0	11	0	0	0	0	0	0	0	0	0	0	7	2	1	41	---Waay- - -	Waay
CR22-2-2-2	Derrumbe tardío	55	294	0	27	30	0	3	210	1	0	0	0	0	0	0	0	0	0	83	8	711	---Waay- - -	Waay	
CR22-2-2-2	Derrumbe	1	1	0	0	2	0	0	0	0	0	0	1	1	0	0	0	2	0	0	0	8	Waay (faceta tardía)-Paat-	Paat	
CR22-2-2-3	Derrumbe temprano	45	313	5	72	49	0	26	282	3	0	3	0	2	0	0	1	0	0	60	17	878	Waay (faceta tardía)-Paat-	Paat	
CR22-8-1-1	Humus	0	2	0	0	2	0	1	2	0	0	0	0	0	0	0	0	0	0	0	0	1	8	---Waay- - -	Waay
CR22-8-2-2	Derrumbe	74	223	4	35	29	0	7	109	0	3	1	0	0	1	0	0	0	0	24	13	3	526	---Waay- Waay (faceta tardía)-Paat-	Paat
CR22-8-2-3	Nivelación por banqueta	12	19	0	3	10	0	5	3	0	0	0	0	0	0	0	0	0	0	6	3	1	62	---Waay- - -	Waay
CR22-8-3-5	Relleno	3	7	0	0	1	0	1	4	1	0	0	0	0	0	0	0	0	0	0	0	0	17	---Waay- - -	Waay
CR22-8-5-7	Relleno	2	2	0	0	0	0	1	0	0	0	0	0	0	0	0	0	0	0	0	0	0	5	---Waay- - -	Waay
CR22-9-1-1	Humus	4	19	1	3	0	0	0	14	0	0	1	0	0	0	0	0	0	0	3	0	45	---Waay- Waay (faceta tardía)- -	Waay (faceta tardía)	
CR22-9-2-2	Derrumbe	29	137	1	27	4	0	6	84	1	0	1	1	1	0	0	0	0	0	10	4	306	Waay (faceta tardía)-Paat-	Paat	
CR22-9-3-3	Derrumbe	50	132	0	17	40	0	6	44	3	1	1	0	0	0	0	0	0	0	23	13	0	330	---Waay- Waay (faceta tardía)- -	Waay (faceta tardía)
CR22-9-3-4	Derrumbe	0	1	0	0	0	0	0	0	0	0	0	0	0	0	0	0	0	0	0	0	0	1	---Waay- - -	Waay
CR22-9-3-5	Basurero tardío	35	82	0	9	18	0	1	32	0	1	0	0	0	0	0	0	0	0	12	12	3	205	---Waay- Waay (faceta tardía)- -	Waay (faceta tardía)
CR22-9-4-6	Basurero tardío	73	139	0	25	33	0	7	56	1	1	1	0	0	0	0	0	0	0	40	4	2	382	---Waay- Waay (faceta tardía)- -	Waay (faceta tardía)
CR22-9-4-7	Basurero tardío	0	2	0	0	0	0	0	1	0	0	0	0	0	0	0	0	0	0	0	0	0	3	---Waay- - -	Waay
CR22-9-5-8	Basurero tardío	2	33	0	5	4	0	4	12	0	0	0	0	0	0	0	0	0	0	7	3	0	70	---Waay- - -	Waay
CR22-9-6-9	Relleno	5	8	0	1	4	0	5	3	0	0	0	0	0	0	0	0	0	0	3	0	0	29	---Waay- - -	Waay
CR22-9-A-2-1	Sobre segundo talud	7	16	0	3	6	0	5	9	0	0	0	0	0	0	0	0	0	0	9	1	0	56	---Waay- - -	Waay
CR22-10-1-1	Humus	18	42	0	4	4	0	3	17	0	1	0	0	0	0	0	1	0	0	7	1	98	Waay (faceta	Paat	
CR22-10-2-2	Derrumbe	11	46	3	3	5	0	11	28	0	0	0	0	0	0	0	0	0	0	8	5	4	124	---Waay- - -	Waay
CR22-10-2-3	Derrumbe	9	34	0	0	6	0	1	12	0	0	0	0	0	0	0	0	0	0	0	3	0	65	---Waay- - -	Waay
CR22-12-1-1	Humus	5	13	0	3	3	0	0	5	0	0	0	0	0	0	0	0	0	0	5	0	2	36	---Waay- - -	Waay
CR22-12-2-2	Derrumbe	52	78	0	8	10	0	7	40	1	0	0	0	0	0	0	0	0	0	6	13	2	217	---Waay- - -	Waay
CR22-12-2-3	Derrumbe	16	20	1	3	8	0	7	9	0	0	0	0	0	0	0	0	0	0	4	9	1	78	---Waay- - -	Waay
CR22-12-3-4	Relleno	6	11	0	1	1	0	10	2	0	0	0	0	0	0	0	0	0	0	3	2	2	38	---Waay- - -	Waay
CR22-12-3-5	Relleno	13	24	0	0	5	0	8	4	0	0	0	0	0	0	0	0	0	0	6	2	0	62	---Waay- - -	Waay
CR22-12-3-6	Relleno	11	13	0	0	3	0	4	0	0	0	0	0	0	0	0	0	0	0	7	0	1	39	---Waay- - -	Waay
CR22-15-1-1	Humus	1	8	0	0	0	0	0	7	0	0	0	0	0	0	0	0	0	0	1	0	0	17	---Waay- - -	Waay
CR22-15-2-2	Derrumbe	7	13	0	0	3	0	0	4	0	0	0	0	0	0	0	0	0	0	0	4	0	31	---Waay- - -	Waay
CR22-15-3-3	Basurero tardío	3	9	0	2	4	0	0	1	0	0	0	0	0	0	0	0	0	0	0	0	1	20	---Waay- - -	Waay
CR22-15-3-4	Basurero tardío	7	14	0	4	0	0	0	4	0	0	0	0	0	0	0	0	0	0	0	2	0	31	---Waay- - -	Waay
CR22-15-4-5	Relleno	0	0	0	1	0	0	0	0	0	0	0	0	0	0	0	0	0	0	0	0	0	1	---Waay- - -	Waay
CR22-16-1-1	Humus	5	7	0	0	1	0	0	4	0	0	0	0	0	0	0	0	0	0	0	0	0	17	---Waay- - -	Waay
<b>Totales generales</b>		<b>561</b>	<b>1780</b>	<b>15</b>	<b>256</b>	<b>287</b>	<b>0</b>	<b>129</b>	<b>1013</b>	<b>11</b>	<b>7</b>	<b>8</b>	<b>2</b>	<b>4</b>	<b>1</b>	<b>0</b>	<b>2</b>	<b>2</b>	<b>171</b>	<b>254</b>	<b>54</b>	<b>4557</b>			

Figura 56. Clasificación morfológica de la muestra y pesos por lotes de la Operación CR22 del Basurero 3 del Palacio.

Operación CR22: Clasificación morfológica de la muestra y pesos (en gramos) del Basurero 3 (n=4.557)																												
Lote	Descripción	Borde		Cuello		Hombro		Cuerpo		Base		Tapadera		Soporte		Otro apéndice		Labio		Aplicación		Parcial		Indeterminado		Totales		
		Cantidad	Peso	Cantidad	Peso	Cantidad	Peso	Cantidad	Peso	Cantidad	Peso	Cantidad	Peso	Cantidad	Peso	Cantidad	Peso	Cantidad	Peso	Cantidad	Peso	Cantidad	Peso	Cantidad	Peso	Cantidad	Peso	
CR22-10-1-1	Humus	11	548	10	295	1	12	72	1201	2	75	1	52			1	2										98	2185
CR22-10-2-2	Derrumbe	13	1814	5	180			99	1975	5	144							2	36							124	4149	
CR22-10-2-3	Derrumbe	4	50	3	158			56	1199	2	87															65	1494	
CR22-12-1-1	Humus	5	137					29	407	2	106															36	650	
CR22-12-2-2	Derrumbe	26	1792	1	30			176	5589	14	1065															217	8476	
CR22-12-2-3	Derrumbe	13	502	3	74			59	1160	1	57							2	41							78	1834	
CR22-12-3-4	Relleno	6	77					27	260	2	29							2	25					1	13	38	404	
CR22-12-3-5	Relleno	2	30	1	18			57	584	1	30									1	17					62	679	
CR22-12-3-6	Relleno	5	53			1	4	29	292	4	239															39	588	
CR22-15-1-1	Humus	5	144	1	188			9	503	2	214															17	1049	
CR22-15-2-2	Derrumbe	1	64					30	1045																	31	1109	
CR22-15-3-3	Basurero tardío	5	266	1	92	2	80	11	291	1	13															20	742	
CR22-15-3-4	Basurero tardío	5	363					25	1263	1	13															31	1639	
CR22-15-4-5	Relleno							1	10																	1	10	
CR22-16-1-1	Humus	2	35					14	503	1	161															17	699	
CR22-2-1-1	Humus			1	52	7	78	31	443	2	41															41	614	
CR22-2-2-2	Derrumbe tardío	68	4575	27	1186	13	685	563	16221	36	2104			1	7			2	52					1	4	711	24834	
CR22-2-2-2-2	Derrumbe	5	116					3	41																	8	157	
CR22-2-2-3	Derrumbe temprano	108	5340	38	1866	6	264	676	19277	40	2296			4	56			4	48.5			1	31	1	12	878	29190.5	
CR22-8-1-1	Humus							5	274	2	292							1	17							8	583	
CR22-8-2-2	Derrumbe	60	3627	20	707	1	10	419	12521	25	1968	1	9													526	18842	
CR22-8-2-3	Nivelación por banquetta	8	644					54	1376																	62	2020	
CR22-8-3-5	Relleno	3	452	1	41			12	493	1	100															17	1086	
CR22-8-5-7	Relleno							4	60	1	3															5	63	
CR22-9-1-1	Humus	5	242	8	237	1	16	28	914	3	361															45	1770	
CR22-9-2-2	Derrumbe	25	1440	16	827	2	192	254	6942	6	485			1	8	1	47	1	1							306	9942	
CR22-9-3-3	Derrumbe	31	2826	6	152	1	14	278	8064	12	483							2	18							330	11557	
CR22-9-3-4	Derrumbe									1	879															1	879	
CR22-9-3-5	Basurero tardío	29	1572	3	151	8	313	155	4292	9	367							1	25							205	6720	
CR22-9-4-6	Basurero tardío	28	1280	9	581			319	8467	26	1419															382	11747	
CR22-9-4-7	Basurero tardío	1	268					2	56																	3	324	
CR22-9-5-8	Basurero tardío	4	101	2	25			58	1769	6	273															70	2168	
CR22-9-6-9	Relleno	2	27					25	247	2	12															29	286	
CR22-9-A-2-1	Sobre segundo tahud	4	73	1	13	1	723	48	510	2	76															56	1395	
<b>Total general</b>		<b>484</b>	<b>28458</b>	<b>157</b>	<b>6873</b>	<b>44</b>	<b>2391</b>	<b>3628</b>	<b>98249</b>	<b>212</b>	<b>13392</b>	<b>2</b>	<b>61</b>	<b>6</b>	<b>71</b>	<b>2</b>	<b>49</b>	<b>17</b>	<b>263.5</b>	<b>1</b>	<b>17</b>	<b>1</b>	<b>31</b>	<b>3</b>	<b>29</b>	<b>4557</b>	<b>149884.5</b>	

## C. Primer cuerpo de Palacio y CR22-11

Figura 57. Resultados del análisis Tipo-variedad de la Operación CR22 (primer cuerpo de Palacio y CR22-11), presentados por grupo, lote y fechamiento del lote

Operación CR22: Resultados del análisis Tipo-Variedad por lote (n=700)																		
Lote		Azote	Cambio	Infierno	Máquina	Saxche-Palmar	Tinaja	Zacatal	Chablekal	Altur	Balancan	Tinaja (Paat)	Descarte	Erosionado	Indeterminado	Total general	Complejos Presentes	Fechamiento
CR22-11-1-1	Humus	0	2	2	1	1	4	0	0	0	0	0	0	3	0	13	---Waay---	Waay
CR22-11-2-2	Derrumbe	4	15	2	0	3	15	0	0	0	0	0	0	10	0	49	---Waay---	Waay
CR22-11-2-3	Derrumbe	7	17	4	4	5	7	0	1	0	0	0	3	7	3	58	Waay (faceta tardía)-	Waay (faceta tardía)
CR22-11-3-4	Relleno	5	11	4	0	1	7	0	0	0	0	0	0	0	1	29	---Waay---	Waay
CR22-11-3-5	Relleno	11	10	0	0	0	5	0	0	0	0	0	0	2	0	28	---Waay---	Waay
CR22-11-3-6	Relleno	7	18	1	2	2	9	0	0	0	0	0	0	8	0	47	---Waay---	Waay
CR22-11-3-7	Relleno	4	1	1	1	0	2	0	1	0	0	0	0	2	0	12	Waay (faceta tardía)-	Waay (faceta tardía)
CR22-11-4-8	Registro	1	0	0	0	1	4	0	0	0	0	0	0	0	0	6	---Waay---	Waay
CR22-13-1-1	Humus	3	10	1	2	3	9	1	0	2	0	0	0	0	2	33	Waay (faceta	Paat
CR22-13-2-2	Derrumbe	23	62	7	4	6	26	0	3	0	1	3	10	12	1	158	---Waay- Waay (faceta tardía)-Paat-	Paat
CR22-14-1-1	Humus	3	9	3	2	0	8	0	0	0	0	0	0	7	0	32	---Waay---	Waay
CR22-14-2-2	Derrumbe	19	49	2	10	6	34	0	0	2	0	0	15	10	5	152	---Waay- Waay (faceta tardía)-Paat-	Paat
CR22-17-1-1	Humus	7	12	0	3	1	10	1	0	0	0	0	7	2	1	44	---Waay---	Waay
CR22-17-2-2	Derrumbe	8	15	0	1	0	5	0	0	0	0	1	0	1	0	31	---Waay- Paat-	Paat
CR22-17-2-3	Registro	0	4	1	0	0	1	0	0	0	0	0	0	0	0	6	---Waay---	Waay
CR22-17-3-5	Relleno	0	0	0	0	0	0	0	0	0	0	0	2	0	0	2	-----	Sin Fechamiento
<b>Totales generales</b>		<b>102</b>	<b>235</b>	<b>28</b>	<b>30</b>	<b>29</b>	<b>146</b>	<b>2</b>	<b>5</b>	<b>4</b>	<b>1</b>	<b>4</b>	<b>37</b>	<b>64</b>	<b>13</b>	<b>700</b>		

Figura 58. Clasificación morfológica de la muestra y pesos por lotes de la Operación CR22 del primer cuerpo del Palacio y CR22-11.

Operación CR22: Clasificación morfológica de la muestra y pesos (en gramos) del primer cuerpo de Palacio y CR22-11 (n=700)																	
Lote	Descripción	Borde		Cuello		Hombro		Cuerpo		Base		Soporte		Otro apéndice		Totales	
		Cantidad	Peso	Cantidad	Peso	Cantidad	Peso	Cantidad	Peso	Cantidad	Peso	Cantidad	Peso	Cantidad	Peso	Cantidad	Peso
CR22-11-1-1	Humus							13	184							13	184
CR22-11-2-2	Derrumbe	4	63	1	29			43	754	1	13					49	859
CR22-11-2-3	Derrumbe	6	91	1	14			47	716	4	245					58	1066
CR22-11-3-4	Relleno	3	41					25	669			1	18			29	728
CR22-11-3-5	Relleno	7	1444			1	77	16	1048	4	305					28	2874
CR22-11-3-6	Relleno	2	87	7	531			36	670	2	18					47	1306
CR22-11-3-7	Relleno	2	8					9	118	1	11					12	137
CR22-11-4-8	Registro	2	96					4	58							6	154
CR22-13-1-1	Humus	5	133	1	9			27	485							33	627
CR22-13-2-2	Derrumbe	15	751	5	235			136	2753	2	20					158	3759
CR22-14-1-1	Humus	3	43	2	66			26	350	1	15					32	474
CR22-14-2-2	Derrumbe	19	1324	3	62			123	3011	6	507	1	29			152	4933
CR22-17-1-1	Humus	4	37	1	19			38	414	1	12					44	482
CR22-17-2-2	Derrumbe	3	92					26	863	2	360					31	1315
CR22-17-2-3	Registro							5	284	1	187					6	471
CR22-17-3-5	Relleno							2	9							2	9
<b>Total general</b>		<b>75</b>	<b>4210</b>	<b>21</b>	<b>965</b>	<b>1</b>	<b>77</b>	<b>576</b>	<b>12386</b>	<b>25</b>	<b>1693</b>	<b>1</b>	<b>29</b>	<b>1</b>	<b>18</b>	<b>700</b>	<b>19378</b>

## D. Modos identificados en los basureros de la Operación CR22

### 1. Basurero Temprano (1A)

Figura 59. Modos totales presentes en la muestra del Basurero Temprano (1A)

Forma/Modo	Función					Total
	Servicio	Preparación y almacenaje	Almacenaje y servicio	Preparación y servicio	Especial y ritual	
Vaso	4					4
AAAA	3					3
ABAJ	1					1
<b>Olla</b>		<b>57</b>	<b>16</b>			<b>73</b>
BFAA	3		1			4
BFA	3					3
BDFD	1					1
BFLA			1			1
BFLJ	2					2
BFMA	1					1
BFMJ			1			1
BGAC	1					1
BHAA	1		2			3
BHAC						2
BHBA	10		1			11
BHBB	1		1			2
BHBE	2					2
BHBJ	1					1
BHDA	7					7
BHDB	1					1
BHDE	4					4
BHDI	3					3
BHFJ	1					1
BHLA	2					2
BHLE			1			1
BHHH	1					1
BHMA	2		2			4
BHMB			1			1
BHMC			1			1
BHMF	2					2
BHNA	2					2
BHNF	1					1
BHNI	2					2
BHNI			1			1
BHNI	2					2
BHNI	1					1
BHQ	1					1
BHQE	2					2
BIDE			1			1
<b>Cuenco</b>	<b>217</b>			<b>63</b>		<b>280</b>
CAME	2					2
CBAA	35			1		36
CBAB	4					4
CBAC	1					1
CBAD	1					1
CBAE	5					5
CBAJ	3					3
CBBA	1					1
CBBE	2					2
CBBJ	1					1
CBMC				2		2
CBME	1					1
CBMJ	1					1
CBNI	1					1
CBNI	2					2
CBNI	1					1
CBQJ	2					2
CBRC				1		1
CCAA	4					4
CCAC	1					1
CCAJ	1					1
CCDA	1					1
CDAA	19					19
CDAB	4					4
CDAE+DF7D	1					1
CDAJ	1					1
CDBA				10		10
CDBA+DF6A				2		2
CDBA+DF7A				1		1
CDBC				1		1
CBHJ				1		1
CDDA	1			12		13
CDDJ				3		3
CDNE				1		1
CDNI	1					1
CDNI				2		2
CDNI				2		2
CDNI				1		1
CDNI				1		1
CDNI				3		3
CDQ	1					1
CDQ	1					1
CDT3A				1		1
CJAA	71					71
CJAB	22					22
CJAC	2					2
CJAE	12					12
CJAJ	3					3
CJBA	1			2		3
CJDA				4		4
CJDC				3		3
CJDE	1					1
CJDI				3		3
CJME	1					1
CJNIC+DF7A				1		1
CJNI	1			1		2
CJQC	1					1
CKAA	1					1
CKBA				1		1
CKDA				2		2
CKNI				1		1
CMAA	1					1
CNA	1					1
CNAJ	1					1

Forma/Modo	Función					Total
	Servicio	Preparación y almacenaje	Almacenaje y servicio	Preparación y servicio	Especial y ritual	
Dish	2					2
DBAA	1					1
DDAA	1					1
<b>Plato</b>	<b>325</b>					<b>325</b>
EAAE	1					1
EBAA	17					17
EBAB	5					5
EBAC+DF7C	1					1
EBAE	33					33
EBAE+DF7H	2					2
EBAF	1					1
EBAJ	1					1
EBBA	1					1
EBBC	1					1
EBBE	3					3
EBCA	2					2
EBCE	1					1
EBDC	1					1
EBFA	6					6
EBFB	2					2
EBFJ	2					2
EBGA	8					8
EBIA	1					1
EBMA	4					4
EBMB	1					1
EBME	5					5
EBMJ	2					2
EBNI	1					1
EBQE	1					1
ECAA	2					2
ECAE	3					3
ECNIA	1					1
ECQE	1					1
EDAA	23					23
EDAB	2					2
EDAC	11					11
EDAE	135					135
EDAE+DF7B	1					1
EDAE+DF7D	1					1
EDAE+DF7H	4					4
EDAE+DF7I	1					1
EDAF	2					2
EDAG	1					1
EDAJ	9					9
EDBC	1					1
EDCJ	1					1
EDDE	1					1
EDKF	1					1
EDMA	5					5
EDME	7					7
EDME+DF7D	1					1
EDMF	1					1
EDMJ	2					2
EDNE	1					1
EDQC	1					1
EDQJ	1					1
EJAA	1					1
EJAE	1					1



## 2. Basurero Medio (1B)

Figura 60. Modos totales presentes en la muestra del Basurero Medio (1B)

Forma/Modo	Función					Total
	Servicio	Preparación y almacenaje	Almacenaje y servicio	Preparación y servicio	Especial y ritual	
<b>Vaso</b>	<b>8</b>					<b>8</b>
AAAA	3					3
AAAJ	2					2
AAAJ+DF6A	1					1
ACAC	1					1
ACMC	1					1
<b>Olla</b>		<b>22</b>				<b>22</b>
BGLA		1				1
BHAF		1				1
BHBA		3				3
BHDA		7				7
BHDF		1				1
BHLA		2				2
BHN1A		3				3
BHN1C		1				1
BHN1E		1				1
BHN1F		2				2
<b>Cuenco</b>	<b>43</b>			<b>37</b>		<b>80</b>
CBAA	6					6
CBAB	1					1
CBAC	1					1
CBAE	3					3
CAJ	1					1
CBBA				1		1
CBDE	1					1
CBMA	1			1		2
CBMC	1					1
CDMJ	1					1
CCAA	2					2
CCAE	1					1
CCN1C	1					1
CDA	4					4
CDBA				16		16
CDBB				1		1
CDDA				4		4
CDDA+DF6A				1		1
CDDA+DF6C				1		1
CDN1J				1		1
CDQC				1		1
CDTA				1		1
CJAA	10					10
CJAB	1					1
CJAC	1					1
CJAE	2					2
CJAJ	2					2
CJN2C				2		2
CKAA	1					1
CKBA				1		1
CKBB				1		1
CKDA				2		2
CKN1J				1		1
CKT1A				1		1
CNDJ				1		1
CRAA	1					1
CRAB	1					1
<b>Plato</b>	<b>55</b>					<b>55</b>
EBAA	3					3
EBAB	1					1
EBAC	1					1
EBAE	11					11
EBDJ	1					1
EBFA	2					2
EBGA	3					3
EBGB	1					1
EBIA	1					1
EBMA	3					3
EBMC	2					2
EBME	8					8
EBMJ	5					5
ECAA	1					1
ECAE	1					1
ECGA	1					1
EDAE	6					6
EDMC	1					1
EDMJ	1					1
EJGA	1					1
ERAB	1					1

### 3. Basurero Tardío (1C)

Figura 61. Modos totales presentes en la muestra del Basurero Tardío (1C)

Forma/Modo	Función					Total
	Servicio	Preparación y almacenaje	Almacenaje y servicio	Preparación y servicio	Especial y ritual	
<b>Vaso</b>	<b>20</b>					<b>20</b>
AAAA	10					10
AAAC	2					2
AAMC	1					1
AANC	1					1
ABAA	2					2
ABAB	3					3
ADAB	1					1
<b>Olla</b>		<b>16</b>	<b>16</b>			<b>32</b>
BGAA			1			1
BGTA			1			1
BHAA			6			6
BHAC			1			1
BHAE			2			2
BHBA		2				2
BHDA		3				3
BHLA		1				1
BHLJ			1			1
BHMA		2				2
BHMC			1			1
BHN1A		1				1
BHN1E		3				3
BHN1F			2			2
BHN2A		1				1
BHQC		1				1
BIQJ		1				1
BJAC		1				1
BMAE			1			1
<b>Cuenco</b>	<b>53</b>			<b>93</b>		<b>146</b>
CAAA	1					1
CBAA	11			1		12
CBAC	2					2
CBAE	2					2
CBAJ	1					1
CBBA				1		1
CBMJ	1					1
CBQC	1					1
CCAA	1					1
CCAE	1					1
CCIJ	1					1
CDAA	7			1		8
CDAD				1		1
CDBA	1			47		48
CDBA+DF6A				2		2
CDBA+DF7A				1		1
CDBJ				2		2
CDDA				6		6
CDDB				1		1
CDIA				3		3
CDIA+DF6A				1		1
CDMJ				1		1
CDQC				1		1
CDTA				1		1
CJAA	7					7
CJAB	1					1
CJAC	1					1
CJAJ	2					2
CJBA				1		1
CJNE	1					1
CKAA	8			1		9
CKAB	1					1
CKBA				14		14
CKBA+DF6A				4		4
CKCA				1		1
CKIA+DF6A				1		1
CKTB+DF7A				1		1
CLAC	1					1
CPAB	1					1

Forma/Modo	Función					Total
	Servicio	Preparación y almacenaje	Almacenaje y servicio	Preparación y servicio	Especial y ritual	
<b>Dish</b>	<b>2</b>					<b>2</b>
DBAA	1					1
DDAA	1					1
<b>Plato</b>	<b>132</b>					<b>132</b>
EBAA	6					6
EBAB	3					3
EBAE	21					21
EBAE+DF6A	1					1
EBAF	1					1
EBAH	1					1
EBBA	1					1
EBCE	1					1
EBEJ	1					1
EBFA	5					5
EBFB	1					1
EBFJ	2					2
EBGA	8					8
EBGB	3					3
EBGD	1					1
EBMA	5					5
EBMB	3					3
EBMC	4					4
EBME	20					20
EBMJ	12					12
EBOJ	1					1
EBRJ	1					1
ECAA	2					2
ECAC	1					1
ECAE	3					3
ECAJ	2					2
ECBA	2					2
ECFA	2					2
ECMJ	3					3
EDAA	1					1
EDAB	2					2
EDAE	3					3
EDGA	1					1
EDMC	1					1
EDMF	1					1
EDQJ	1					1
EJMC	1					1
EOAA	1					1
ERAJ	1					1
ERGJ	1					1
ERMJ	1					1
<b>Tambor</b>	<b>1</b>					<b>1</b>
FFAA	1					1



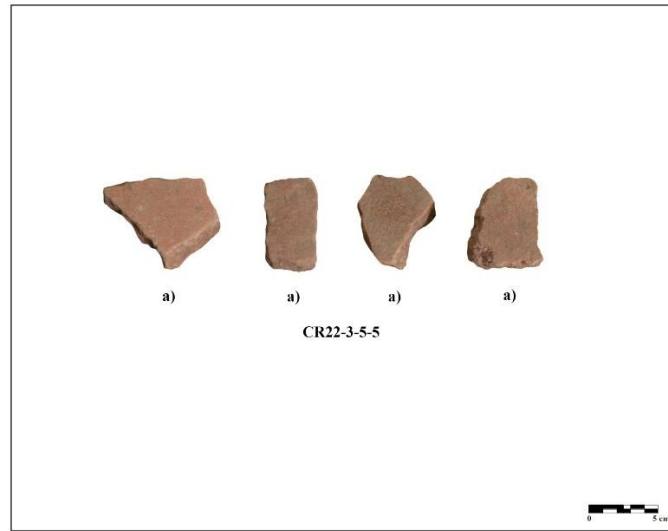
## E. Tipología cerámica

### 1. Complejo *Ochib*

Figura 63. Resultados del análisis Tipo-variedad de la Operación CR22, presentados por Clase, Grupo y Tipo: Variedad del Complejo *Ochib* del Basurero 1

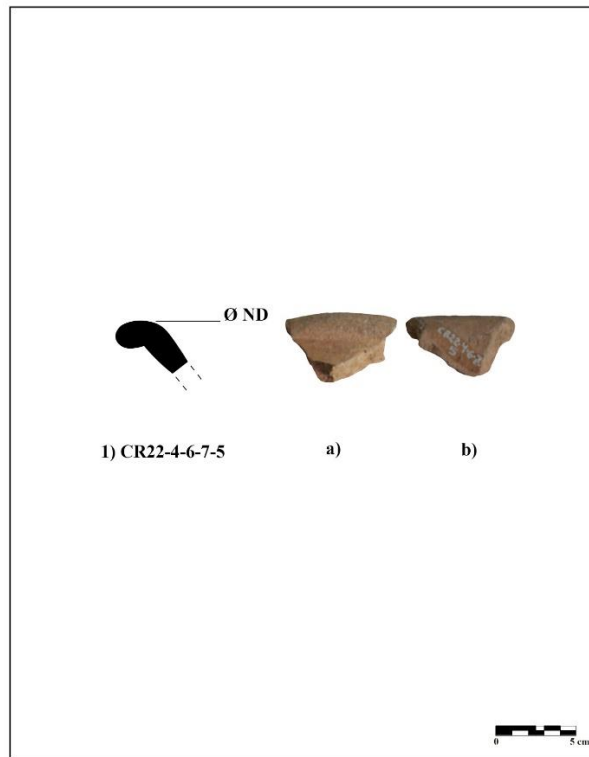
Operación CR22: resultados del análisis Tipo-Variedad del Basurero 1. Complejo Ochib (n=1,505)							
Clase	Grupo (% del complejo)	Tipo: Variedad	Frecuencias			Porcentajes (%)	
			Borde	Otros	Total	Grupo	Complejo
Uaxactun Sin Engobe	Quintal (1.46%) n = 22	Quintal sin Engobe V. Quintal	3	7	10	45.45	0.66
		Quintal sin Engobe V. Baño crema	2		2	9.09	0.13
		Quintal sin Engobe V. Baño rojo	3	3	6	27.27	0.40
		Maaz Estriado V. Maaz		4	4	18.18	0.27
Petén Lustroso	Águila (87.51 %) n = 1,317	Águila Naranja V. Águila	240	924	1164	88.38	77.34
		Águila Naranja V. Manchado de fuego	7	52	59	4.48	3.92
		Águila Naranja V. ND Ahumado exterior	1		1	0.08	0.07
		Águila Naranja V. ND Bicromo	1		1	0.08	0.07
		Águila Naranja V. Dos Hermanos	18	49	67	5.09	4.45
		Águila Naranja V. No determinada		1	1	0.08	0.07
		Diego Estriado V. Diego	2		2	0.15	0.13
		Milpa Impreso V. Milpa	2	14	16	1.21	1.06
		Nitan Compuesto V. Nitan	3	1	4	0.30	0.27
		Pita Inciso V. Pita	1	1	2	0.15	0.13
Petén Lustroso	Balanza (2.79%) n = 42	Balanza Negro V. Balanza	5	37	42	100	2.79
Petén Lustroso	Dos Arroyos (0.40%) n = 6	Dos Arroyos Naranja Policromo V. Dos Arroyos		1	1	16.67	0.07
		Batellos Negro sobre Rojo V. Batellos	2		2	33.33	0.13
		Boleto Negro sobre Naranja V. Boleto	1		1	16.67	0.07
		San Blas Rojo sobre Naranja V. San Blas	2		2	33.33	0.13
Petén Lustroso	Japón (0.60%) n=9	Japón Resistente V. Japón	2	7	9	100.00	0.60
Petén Lustroso	Pucte (7.24 %) n=109	Pucte Café V. Pucte	20	89	109	100.00	7.24
<b>TOTALES</b>			<b>315</b>	<b>1190</b>	<b>1505</b>		<b>100.00</b>

Figura 64. Cuerpos del Grupo Quintal Tipo Maaz Estriado Variedad Maaz a) exterior (Basurero Temprano (1A))



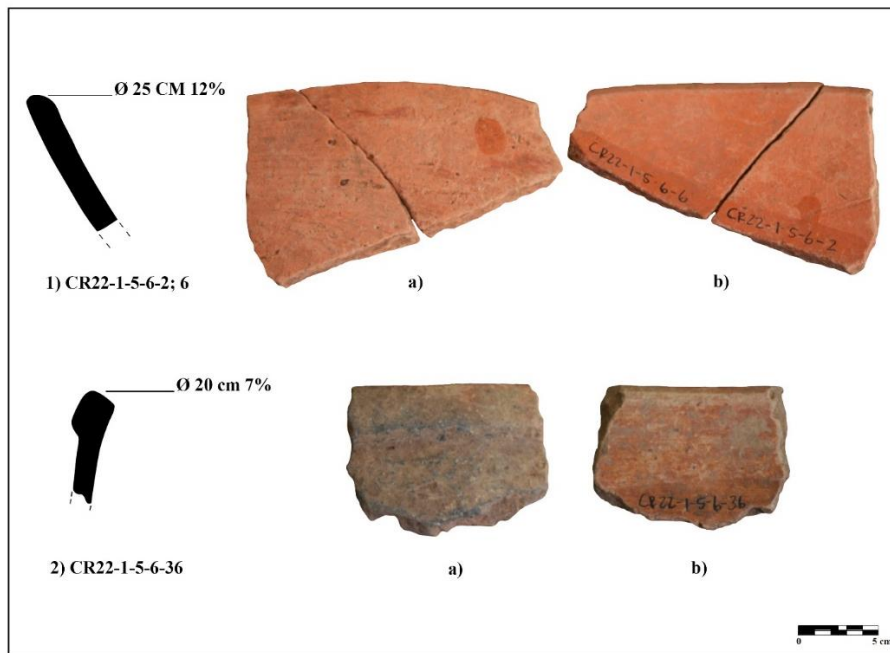
(Fotografía: A. González)

Figura 65. Bordes del Grupo Quintal Tipo Quintal Variedad Quintal a) exterior b) interior (Basurero Temprano (1A))



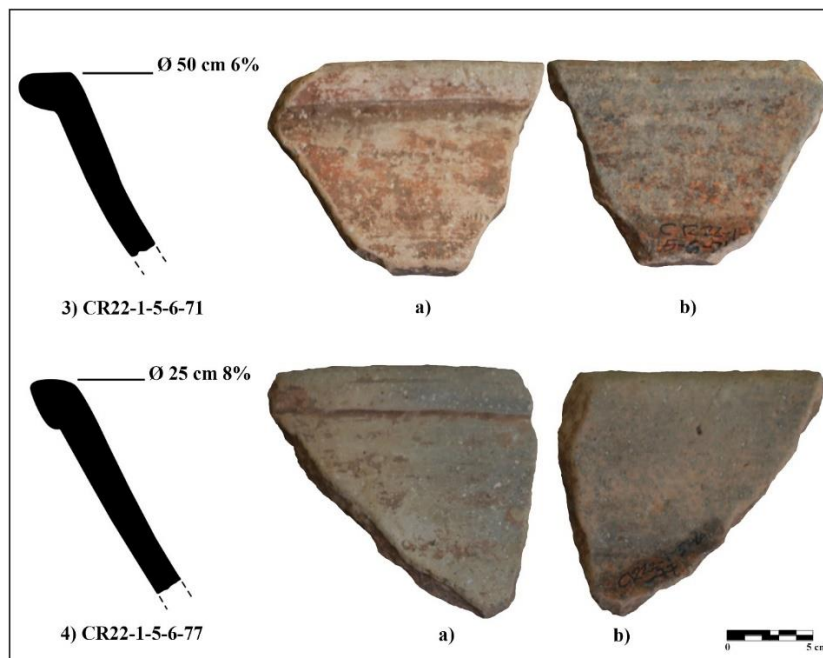
(Dibujo y fotografía por A. González)

Figura 66. Bordes del Grupo Águila Naranja Tipo Águila Naranja Variedad Águila a) exterior b) interior (Basurero Temprano (1A))



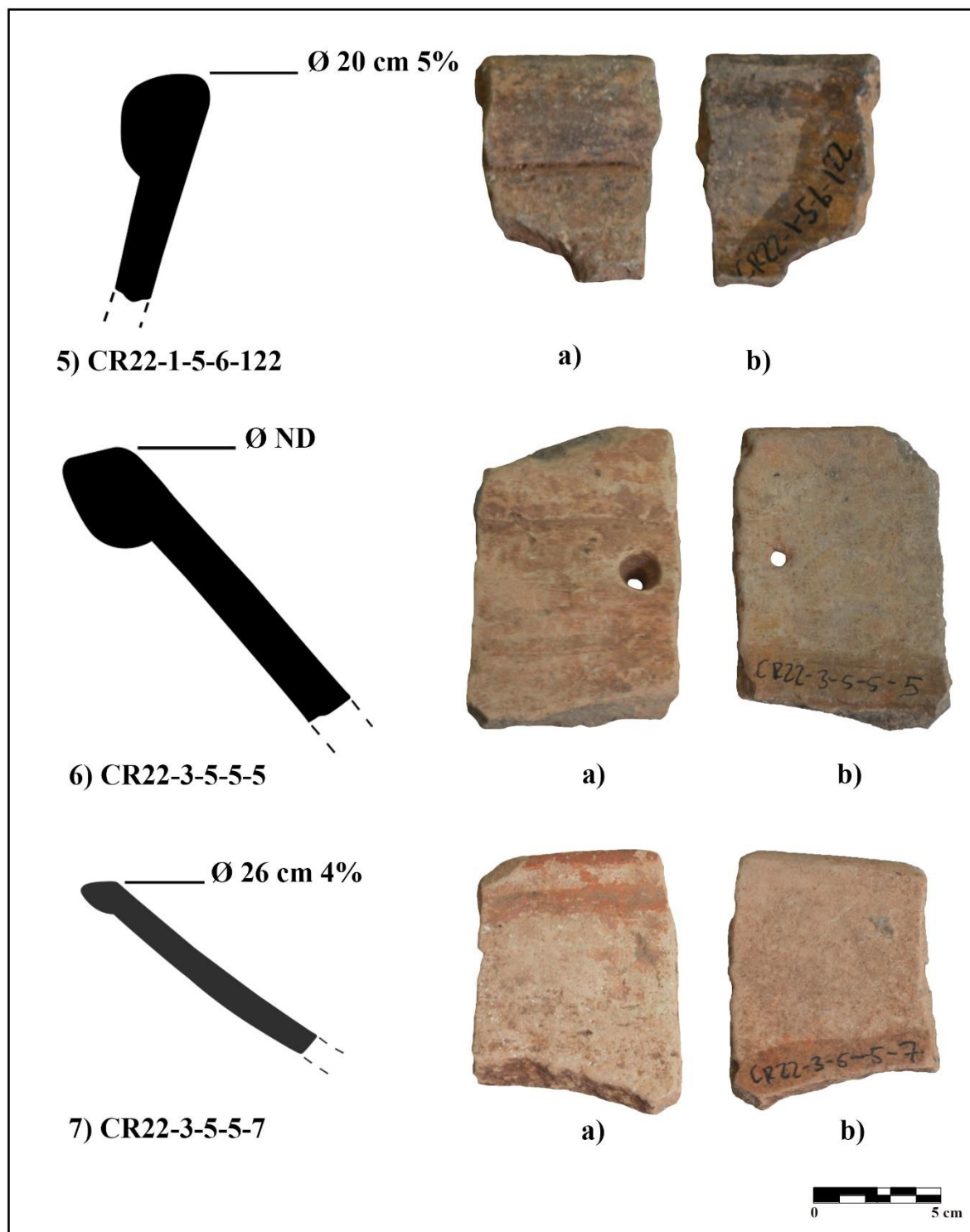
(Dibujo por F. Saravia y A. González. Fotografía por A. González)

Figura 67. Bordes del Grupo Águila Naranja Tipo Águila Naranja Variedad Águila a) exterior b) interior (Basurero Temprano (1A))



(Dibujo por F. Saravia. Fotografía por A. González)

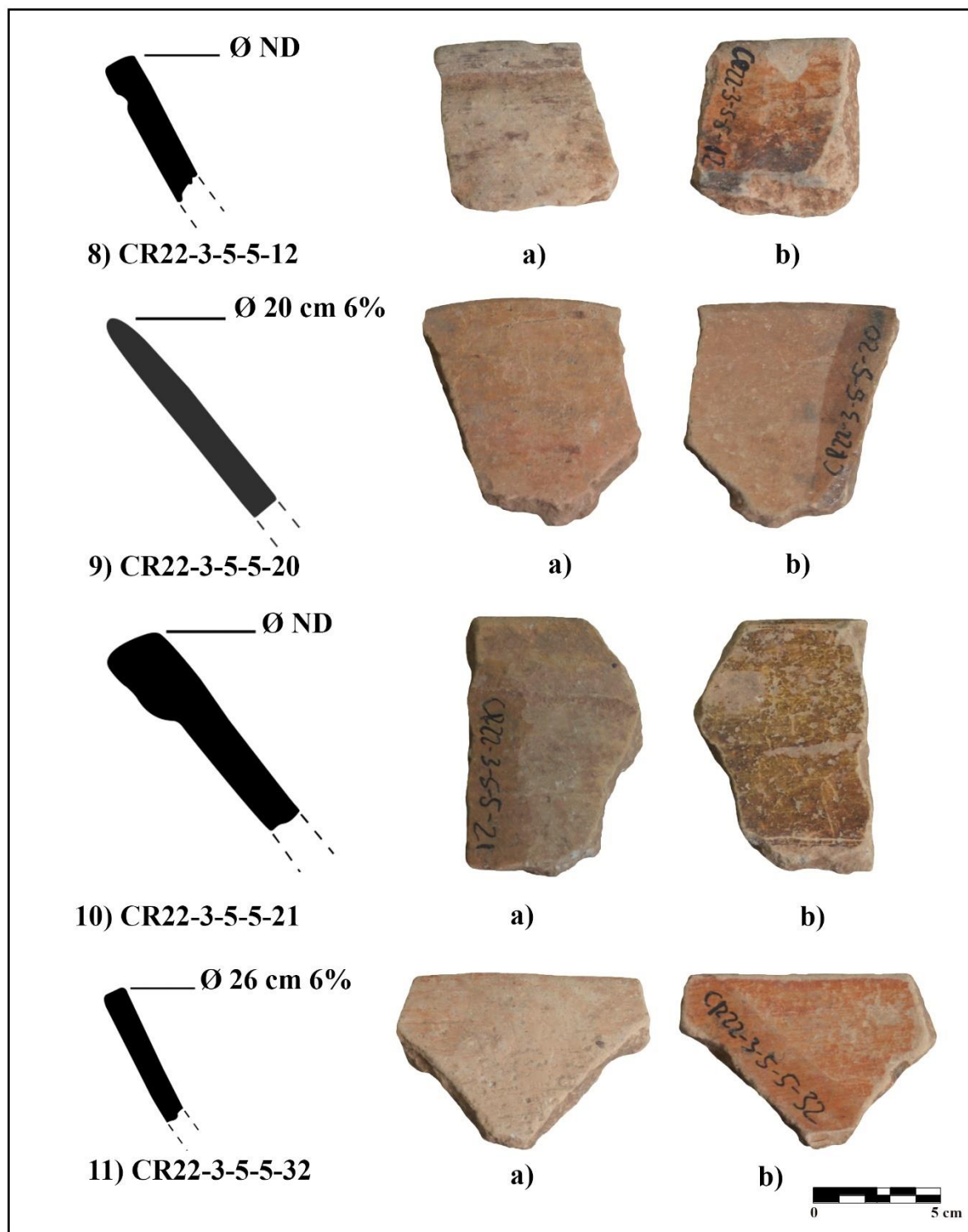
Figura 68. Bordes del Grupo Águila Naranja Tipo Águila Naranja Variedad Águila a) exterior b) interior (Basurero Temprano (1A))



(Dibujo por F. Saravia y A. González. Fotografía por A. González)



Figura 69. Bordes del Grupo Águila Naranja Tipo Águila Naranja Variedad Águila a) exterior b) interior (Basurero Temprano (1A))



(Dibujo por F. Saravia. Fotografía por A. González)

Figura 70. Bases del Grupo Águila Naranja Tipo Águila Naranja Variedad Águila a) exterior b) interior (Basurero Temprano (1A))

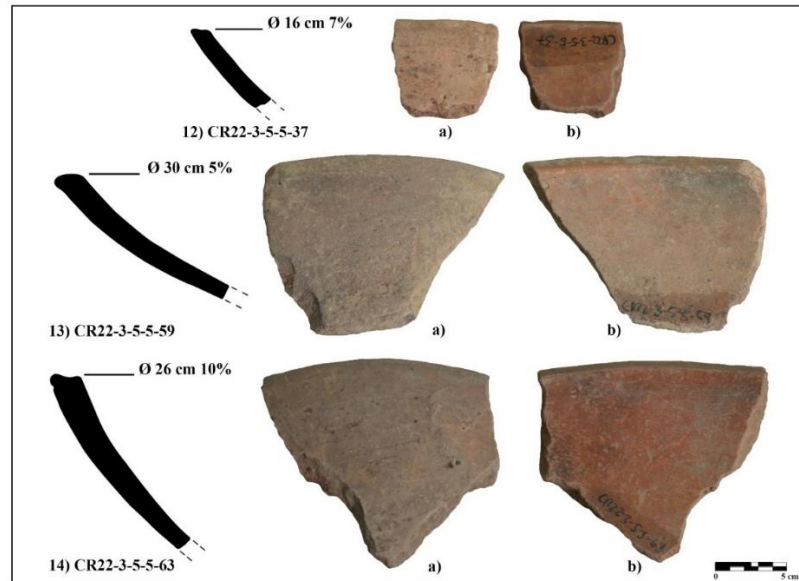
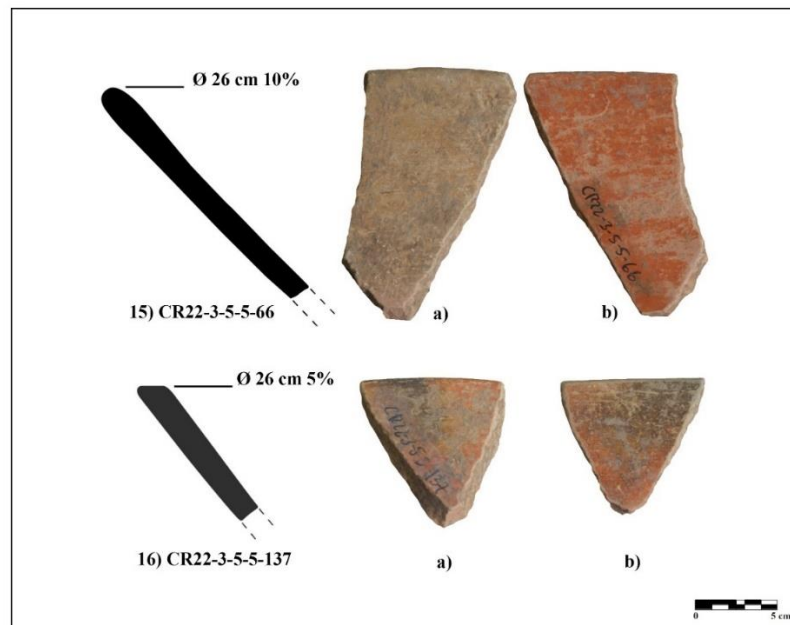


Figura 71. Bordes del Grupo Águila Naranja Tipo Águila Naranja Variedad Águila a) exterior b) interior (Basurero Temprano (1A))



(Dibujo por F. Saravia y A. González. Fotografía por A. González)

Figura 72. Pestañas del Grupo Águila Naranja Tipo Águila Naranja Variedad Águila a) exterior b) interior (Basurero Temprano (1A))

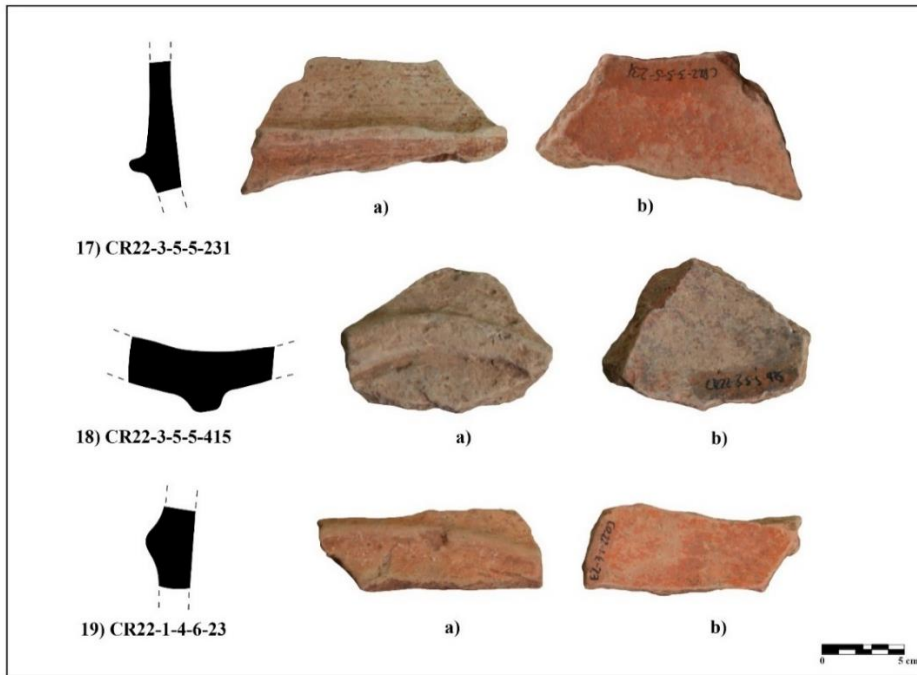
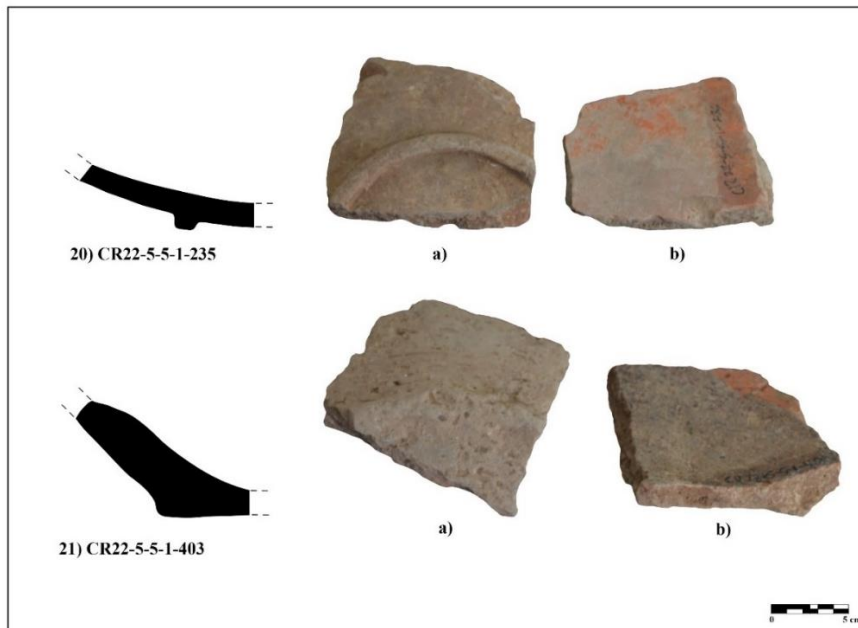


Figura 73. Bases del Grupo Águila Naranja Tipo Águila Naranja Variedad Águila a) exterior b) interior (Basurero Temprano (1A))

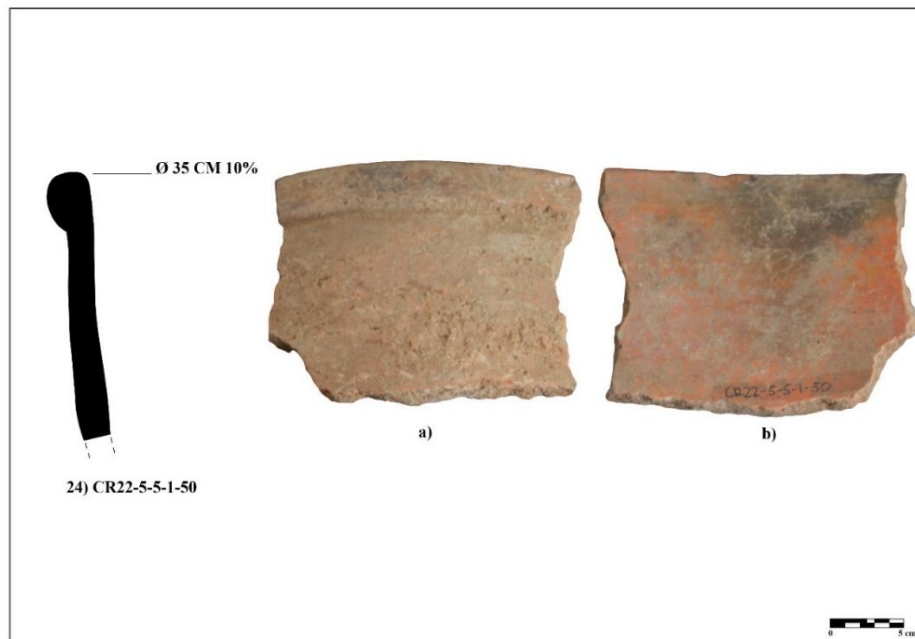


(Dibujo y fotografía por A. González)

Figura 74. Bases del Grupo Águila Naranja Tipo Águila Naranja Variedad Águila a) exterior b) interior (Basurero Temprano (1A))

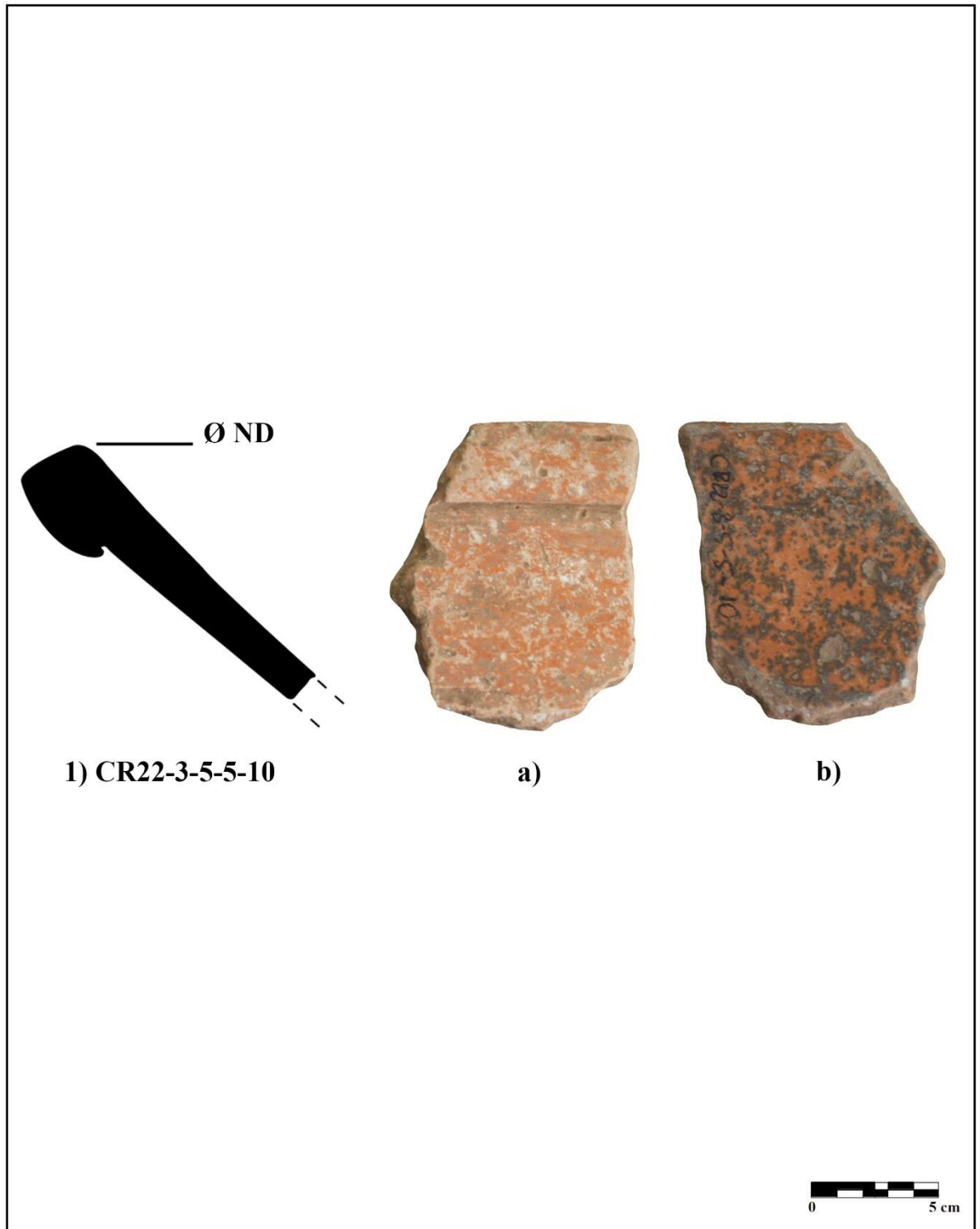


Figura 75. Borde del Grupo Águila Naranja Tipo Águila Naranja Variedad Águila a) exterior b) interior (Basurero Temprano (1A))



(Dibujo y fotografía por A. González)

Figura 76. Borde del Grupo Águila Naranja Tipo Águila Naranja Variedad Águila Manchado de Fuego a) exterior b) interior (Basurero Temprano (1A))



(Dibujo por F. Saravia. Fotografía por A. González)

Figura 77. Bordes del Grupo Águila Naranja Tipo Águila Naranja Variedad Dos Hermanos a) exterior b) interior (Basurero Temprano (1A))

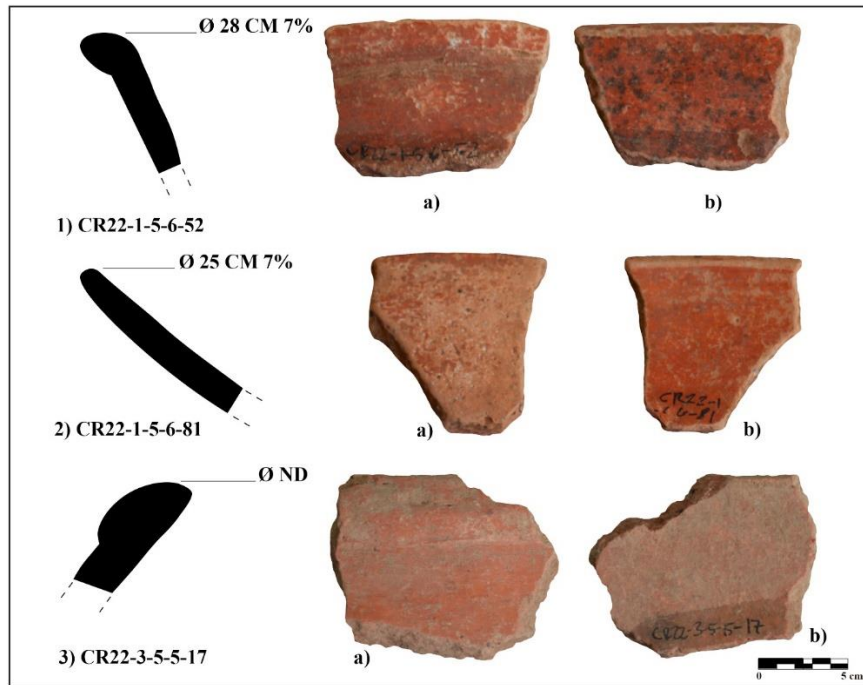
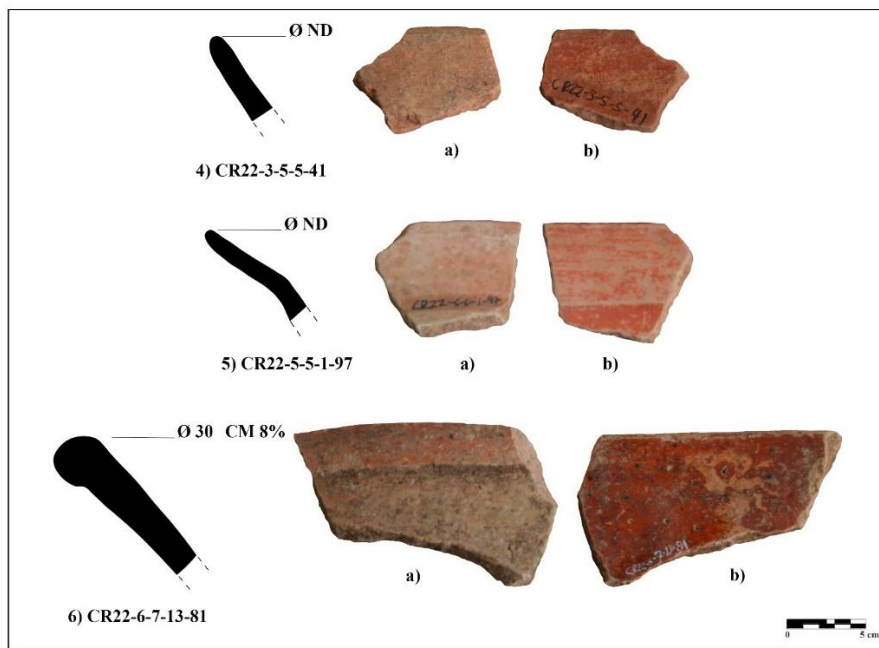


Figura 78. Bordes del Grupo Águila Naranja Tipo Águila Naranja Variedad Dos Hermanos a) exterior b) interior (Basurero Temprano (1A))



(Dibujo y fotografía por A. González)



Figura 79. Bases del Grupo Águila Naranja Tipo Águila Naranja Variedad Dos Hermanos  
a) exterior b) interior (Basurero Temprano (1A))

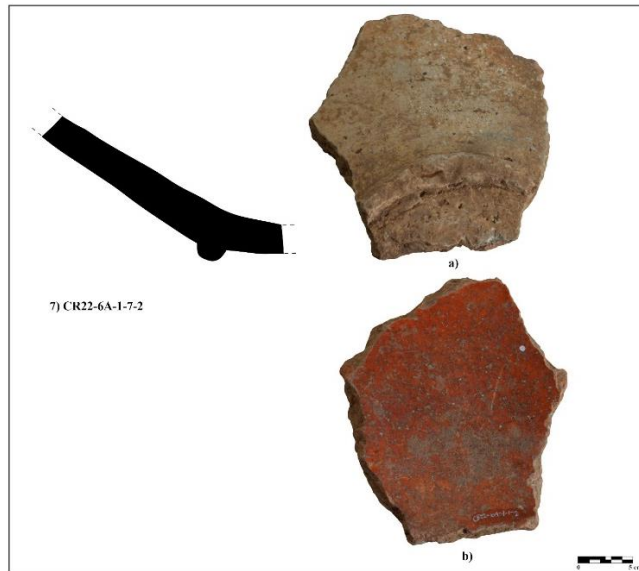
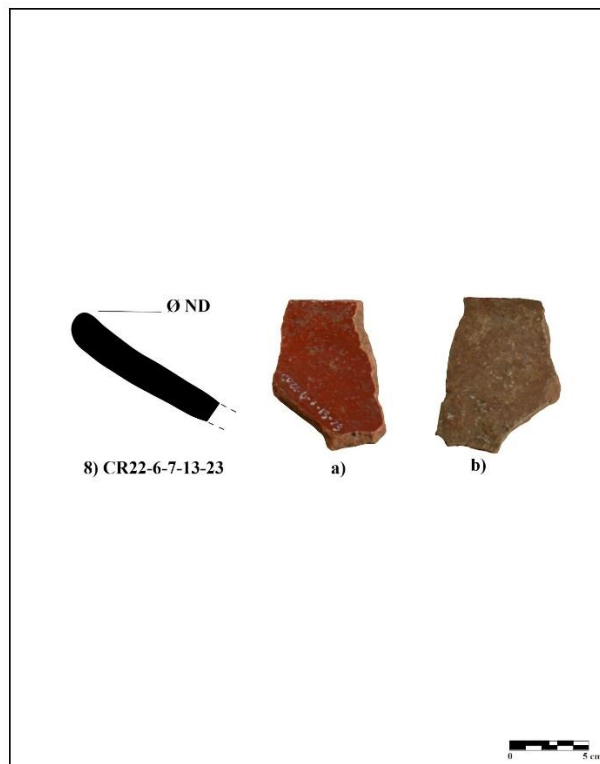


Figura 80. Borde del Grupo Águila Naranja Tipo Águila Naranja Variedad Dos Hermanos a) exterior b) interior (Basurero Temprano (1A))



(Dibujo y fotografía por A. González)

Figura 81. Bordes del Grupo Águila Naranja Tipo Diego Estriado Variedad Diego Estriado a) exterior b) interior (Basurero Temprano (1A))

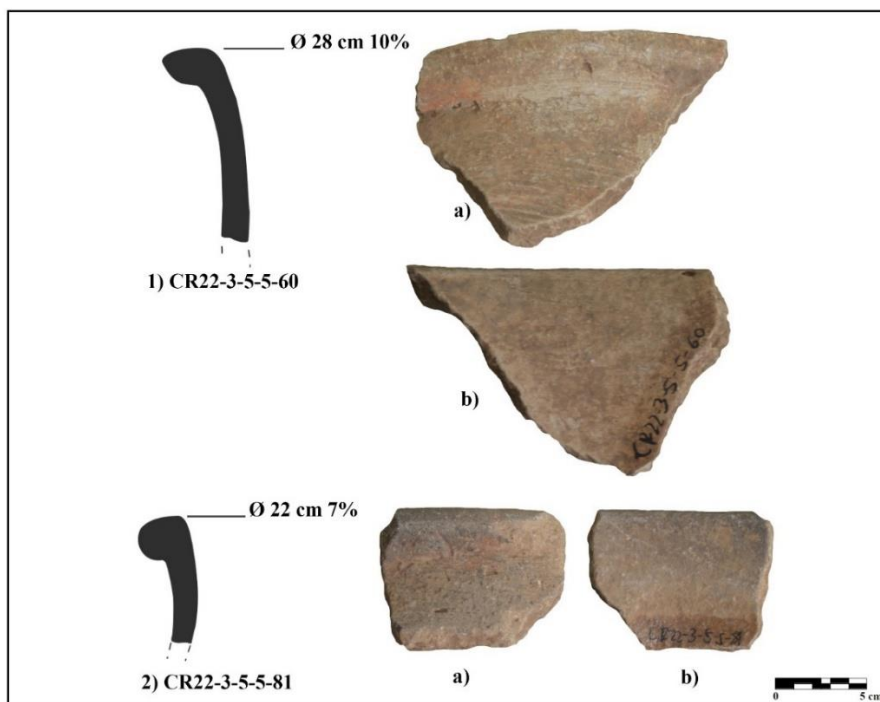
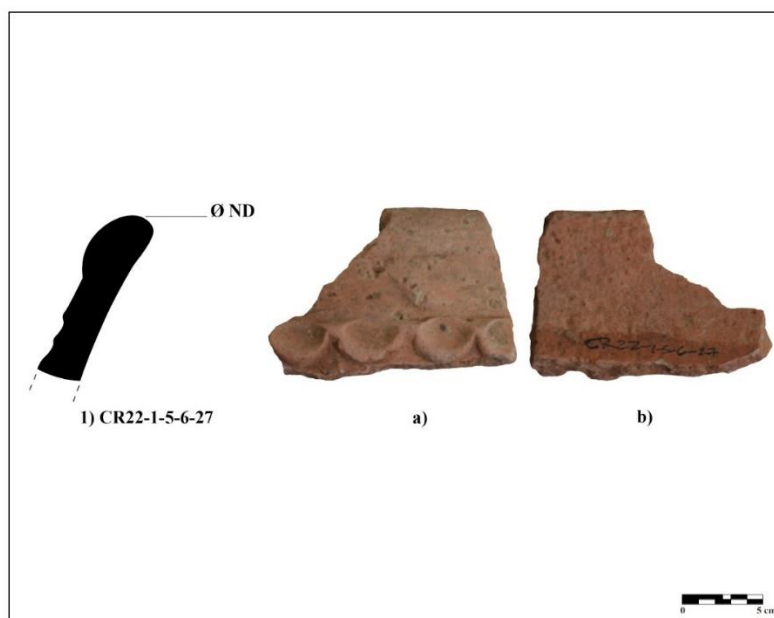


Figura 82. Borde del Grupo Águila Naranja Tipo Milpa Impreso Variedad Milpa a) exterior b) interior (Basurero Temprano (1A))



(Dibujo por F. Saravia y A. González. Fotografía por A. González)



Figura 83. Bordes del Grupo Águila Naranja Tipo Nitan Compuesto Variedad Nitan a) exterior b) interior (Basurero Temprano (1A))

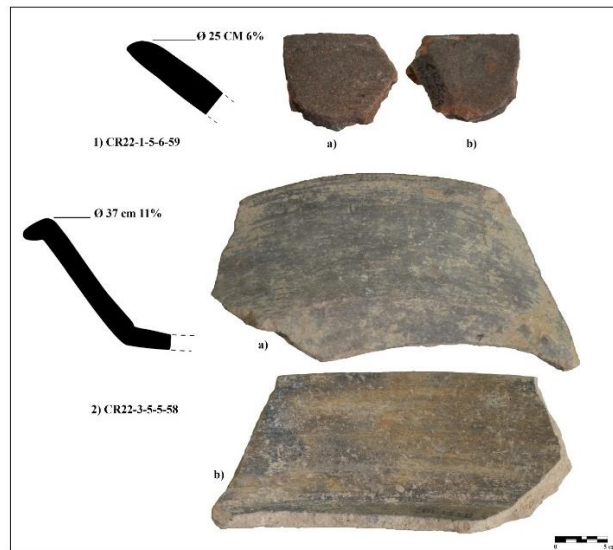
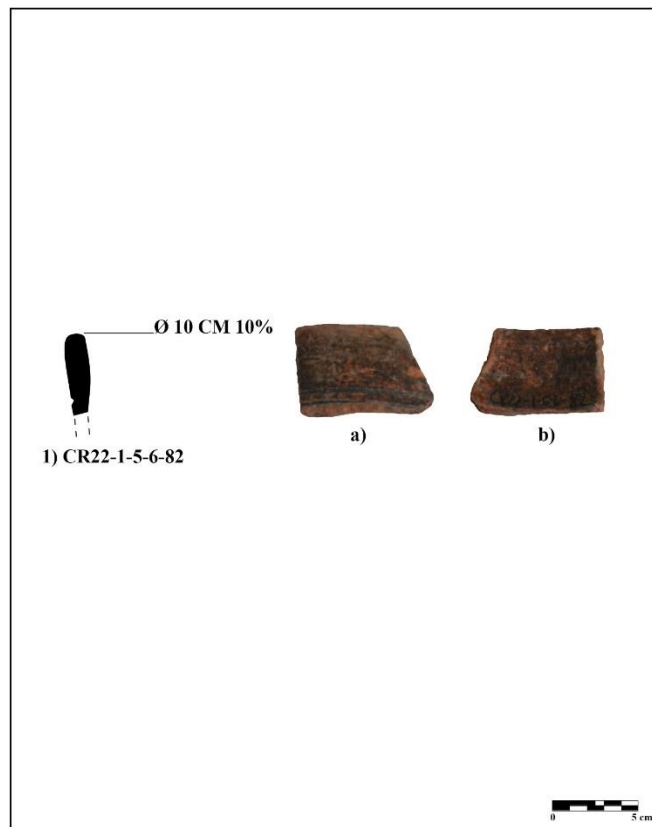


Figura 84. Borde del Grupo Águila Naranja Tipo Pita Inciso Variedad Pita a) exterior b) interior (Basurero Temprano (1A))



(Dibujo y fotografía por A. González)

Figura 85. Borde y soporte del Grupo Balanza Negro Tipo Balanza Negro Variedad Balanza a) exterior b) interior (Basurero Temprano (1A))

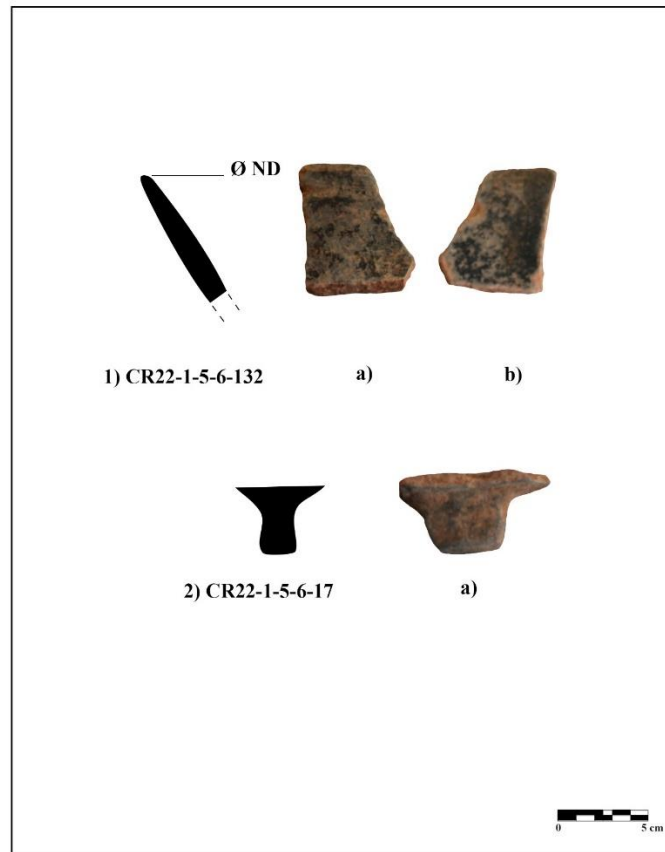
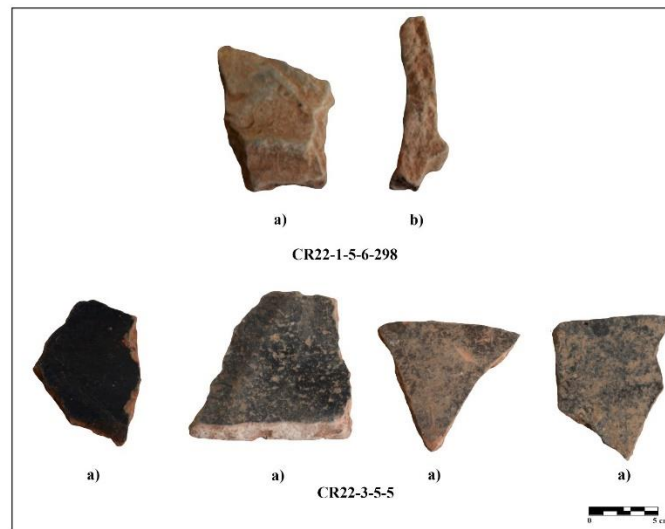


Figura 86. Pestaña y cuerpos del Grupo Balanza Negro Tipo Balanza Negro Variedad Balanza a) exterior b) interior (Basurero Temprano (1A))



(Dibujo y fotografía por A. González)

Figura 87. Borde del Grupo Japón Tipo Japón Resistente Variedad Japón a) exterior b) interior (Basurero Temprano (1A))

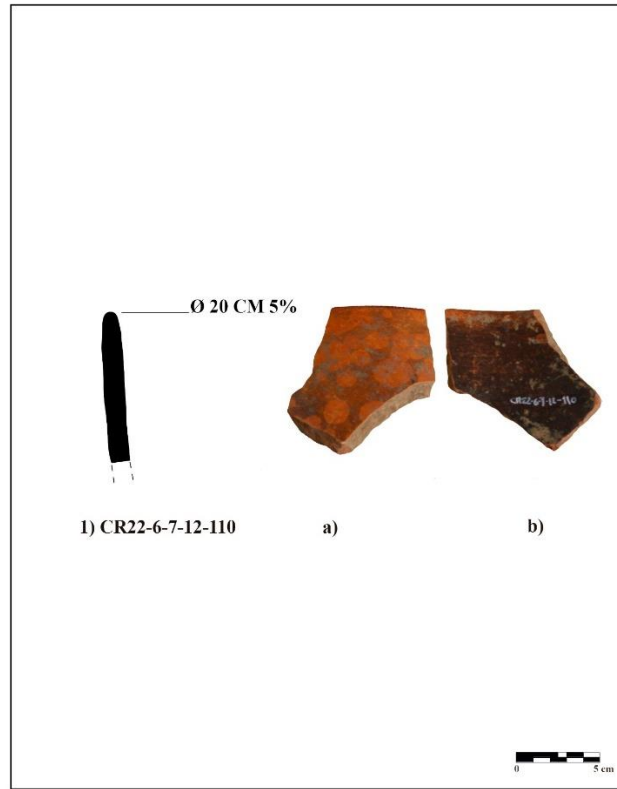
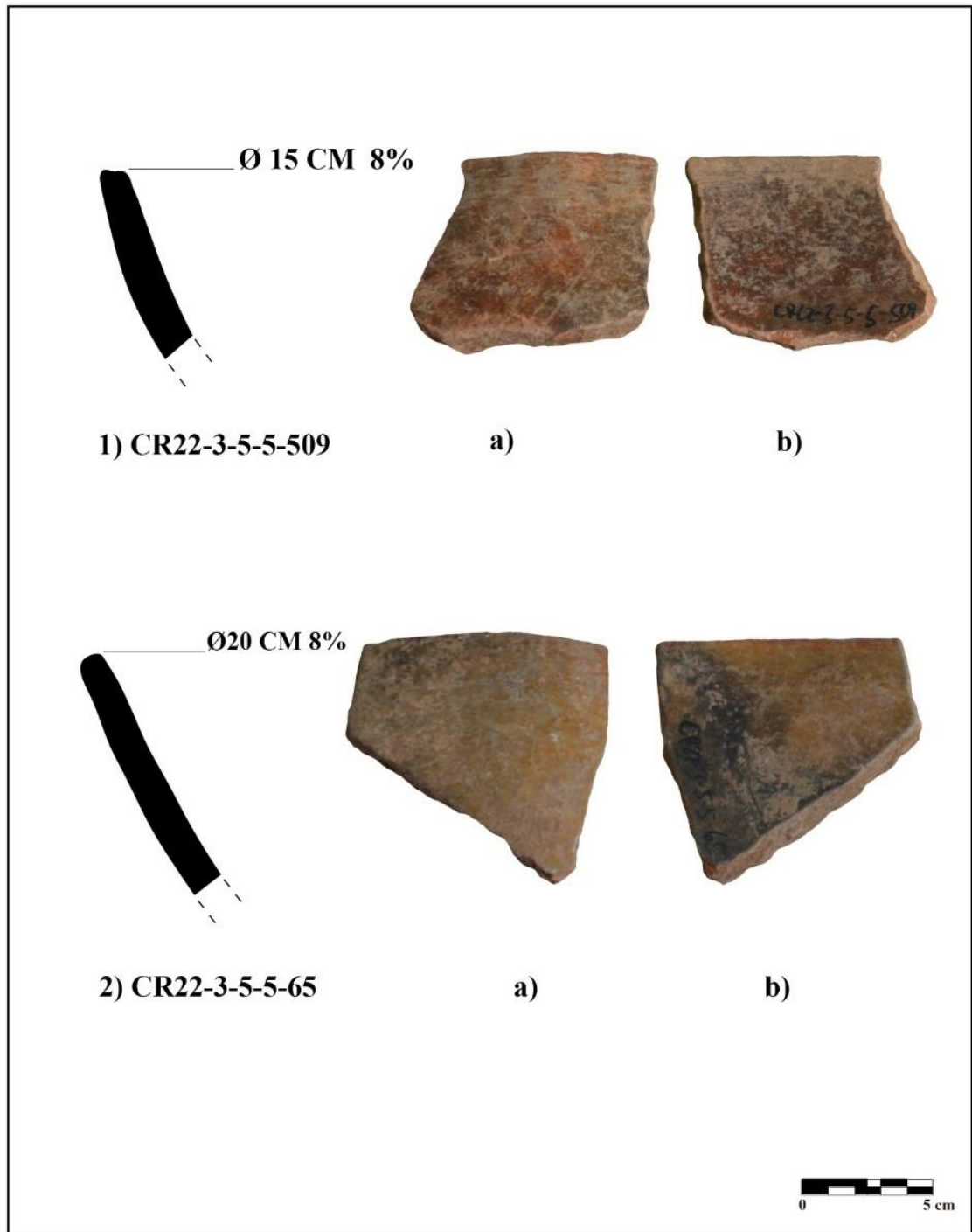


Figura 88. Cuerpo del Grupo Japón Tipo Japón Resistente Variedad Japón a) exterior b) interior (Basurero Medio (1B))



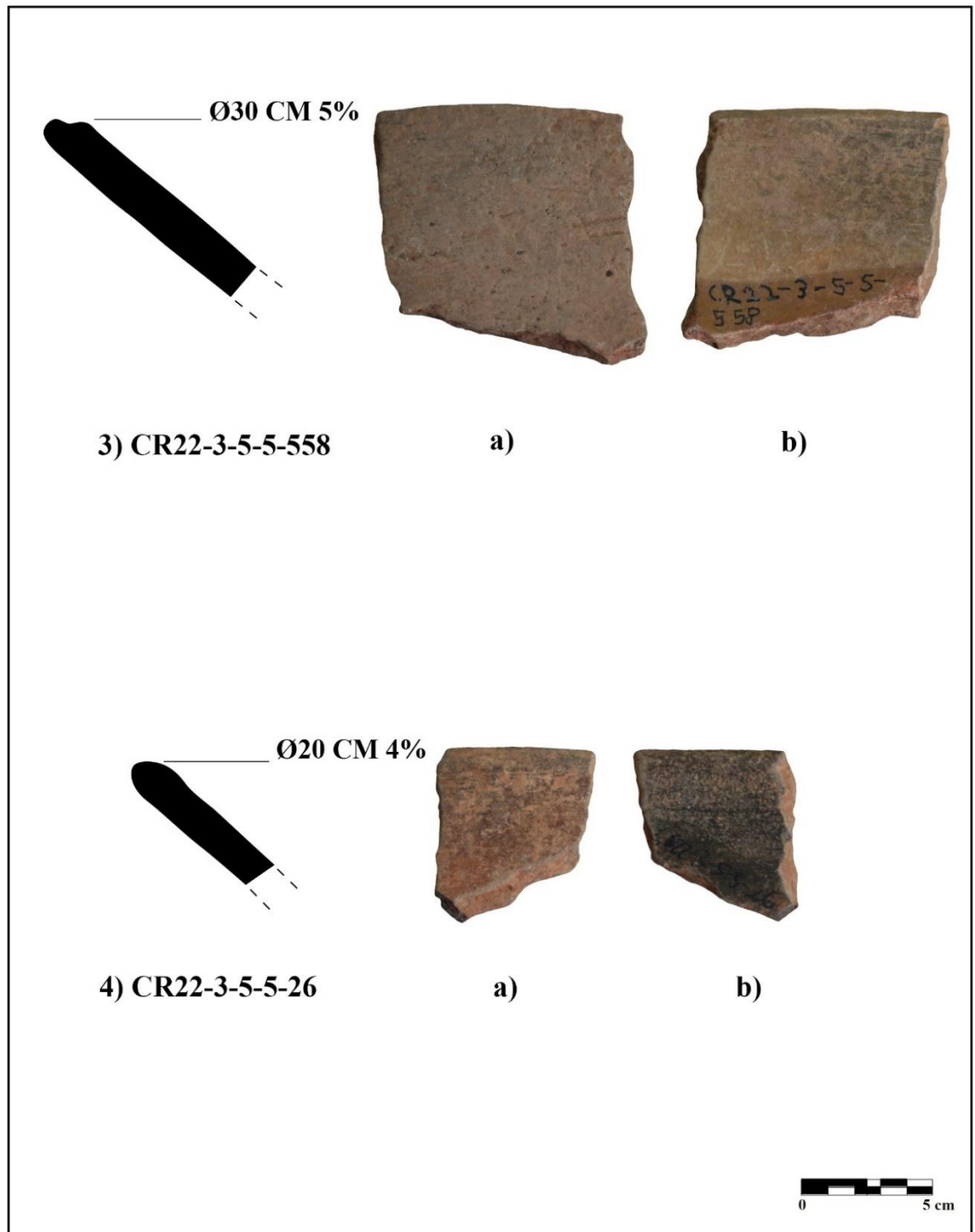
(Dibujo y fotografía por A. González)

Figura 89. Bordes del Grupo Pucte Tipo Pucte Café Variedad Pucte a) exterior b) interior  
(Basurero Temprano (1A))



(Dibujo y fotografía por A. González)

Figura 90. Bordes del Grupo Pucte Tipo Pucte Café Variedad Pucte a) exterior b) interior  
(Basurero Temprano (1A))



(Dibujo y fotografía por A. González)

## 2. Complejo Waay

Figura 91. Resultados del análisis Tipo-variedad de la Operación CR22, presentados por Clase, Grupo y Tipo: Variedad del Complejo Waay del Basurero 1.

Operación CR22: resultados del análisis Tipo-Variedad del Basurero 1. Complejo Waay (n=7,004)							
Clase	Grupo (% del complejo)	Tipo: Variedad	Frecuencias			Porcentajes (%)	
			Borde	Otros	Total	Grupo	Complejo
Uaxactun Sin Engobe	Cambio (43.39%) n = 3,039	Cambio sin Engobe V. ND	55	380	435	14.31	6.21
		Cambio sin Engobe V. Baño rojo	72	677	749	24.65	10.69
		Cambio sin Engobe V. Baño crema	1	3	4	0.13	0.06
		Cambio sin Engobe V. Baño negro		5	5	0.16	0.07
		Encanto Estriado V. Encanto	2	893	895	29.45	12.78
		Encanto Estriado V. Baño rojo	5	913	918	30.21	13.11
		Encanto Estriado V. Baño crema		20	20	0.66	0.29
		Encanto Estriado V. Pepino		1	1	0.03	0.01
		Valente Estriado Impreso V. Valente		9	9	0.30	0.13
		Manteca Impreso V. Manteca		1	1	0.03	0.01
		Manteca Impreso V. ND en filete	1		1	0.03	0.01
		Pedregal Modelado V. Pedregal		1	1	0.03	0.01
Petén Lustroso	Azote (13.06%) n = 915	Azote Naranja V. Azote	158	694	852	93.11	12.16
		Azote Naranja V. Manchado de fuego		37	37	4.04	0.53
		Salada Acanalado V. Salada	3	10	13	1.42	0.19
		Salada Acanalado V. Acanalado-Inciso		2	2	0.22	0.03
Petén Lustroso	Harina (0.03%) n=2	Torres Inciso V. Torres	7	4	11	1.20	0.16
		Harina Crema V. Crema		2	2	100	0.03
Petén Lustroso	Infierno (4.23%) n = 296	Infierno Negro V. Infierno	48	228	276	93.24	3.94
		Carmelita Inciso V. Carmelita	6	7	13	4.39	0.19
		Carmelita Inciso V. Acanalado		1	1	0.34	0.01
		Chilar Aflautado V. Chilar	1	5	6	2.03	0.09
Petén Lustroso	Máquina (6.91%) n = 484	Máquina Café V. Máquina	111	348	459	94.83	6.55
		Calabazo Gubiado Inciso V. Calabazo	2	3	5	1.03	0.07
		Canoa Inciso V. Canoa	3	1	4	0.83	0.06
		Tenaja Aflautado V. Tenaja	4	12	16	3.31	0.23
Petén Lustroso	Tinaja (17.95%) n = 1,257	Tinaja Rojo V. Tinaja	99	541	640	50.91	9.14
		Tinaja Rojo V. Nanzal	6	537	543	43.20	7.75
		Tinaja Rojo V. Manchado de Fuego		1	1	0.08	0.01
		Chaquiste Impreso V. Chaquiste	26	30	56	4.46	0.80
		Chaquiste Impreso V. Sellado		1	1	0.08	0.01
		Chinja Impreso V. Chinja	2		2	0.16	0.03
		Corozal Inciso V. Corozal	1		1	0.08	0.01
		Pantano Impreso V. Pantano		3	3	0.24	0.04
		Pantano Impreso V. Sellado		1	1	0.08	0.01
		Tolla Acanalado V. Tolla		2	2	0.16	0.03
		Zopilote Ahumado V. Zopilote	3	4	7	0.56	0.10
Petén Lustroso	Santa Rosa (0.01%) n=1	Mataculebra Crema Policromo V. Mataculebra		1	1	100	0.01
Petén Lustroso	Saxche-Palmar (14.06%) n=985	Saxche-Palmar Naranja Policromo V. ND	174	305	479	48.63	6.84
		Saxche-Palmar Naranja Policromo V. Saxche	106	130	236	23.96	3.37
		Saxche-Palmar Naranja Policromo V. Palmar	19		19	1.93	0.27
		Saxche-Palmar Naranja Policromo V. Inciso		1	1	0.10	0.01
		Saxche-Palmar Naranja Policromo V. Resistente	9	12	21	2.13	0.30
		Anonal Naranja Policromo V. Anonal	2	3	5	0.51	0.07
		Central Farm Compuesto V. Central Farm		6	6	0.61	0.09
		Chanturoi Negro sobre Naranja V. Chanturoi	17	26	43	4.37	0.61
		Chanturoi Negro sobre Naranja V. Estucada	1		1	0.10	0.01
		Desquite Rojo sobre Naranja V. Desquite	39	48	87	8.83	1.24
		Palmar Naranja Policromo V. Güisquil	29	58	87	8.83	1.24
Petén Lustroso	Zacatal (0.26%) n=18	Zacatal Crema Policromo V. Zacatal	2	7	9	50.00	0.13
		Cabrito Crema Policromo V. Cabrito		1	1	5.56	0.01
		Chinos Negro sobre Crema V. Chinos	1	2	3	16.67	0.04
		Gua Rojo sobre Crema V. Gua	2	1	3	16.67	0.04
		Juleki Crema Policromo V. Juleki		1	1	5.56	0.01
		Paixban Ante Policromo V. Paixban		1	1	5.56	0.01
No determinada	Indeterminada (0.10%) n=7	Base de color rosado		1	1	14.29	0.01
		Estucado ND	4	2	6	85.71	0.09
<b>TOTALES</b>			<b>1021</b>	<b>5983</b>	<b>7004</b>	<b>100.00</b>	

Figura 92. Resultados del análisis Tipo-variedad de la Operación CR22, presentados por Clase, Grupo y Tipo: Variedad del Complejo Waay del Basurero 3

Operación CR22: resultados del análisis Tipo-Variedad del Basurero 3. Complejo Waay (n=4,059)							
Clase	Grupo (% del complejo)	Tipo: Variedad	Frecuencias			Porcentajes (%)	
			Borde	Otros	Total	Grupo	Complejo
Uaxactun Sin Engobe	Cambio (46.90%) n =1,780	Cambio sin Engobe V. ND	28	261	289	16.24	7.12
		Cambio sin Engobe V. Baño rojo	41	367	408	22.92	10.05
		Cambio sin Engobe V. Baño crema		1	1	0.06	0.02
		Ciro Inciso V. Ciro		1	1	0.06	0.02
		Encanto Estriado V. Encanto	1	561	562	31.57	13.85
		Encanto Estriado V. Baño rojo		509	509	28.60	12.54
		Encanto Estriado V. Baño crema		4	4	0.22	0.10
		Encanto Estriado V. Pepino		1	1	0.06	0.02
		Manteca Impreso V. Manteca		3	3	0.17	0.07
		Miseria Aplicado V. Miseria		2	2	0.11	0.05
Petén Lustroso	Azote (14.78%) n = 561	Azote Naranja V. Azote	111	439	550	98.04	13.55
		Azote Naranja V. Manchado de fuego	1	3	4	0.71	0.10
		Salada Acanalado V. Salada		1	1	0.18	0.02
		Torres Inciso V. Torres	5	1	6	1.07	0.15
Petén Lustroso	Harina (0.40%) n=15	Harina Crema V. Harina		15	15	100	0.37
Petén Lustroso	Infierno (6.75%) n = 256	Infierno Negro V. Infierno	35	209	244	95.31	6.01
		infierno Negro V. Pulido Diferencial		1	1	0.39	0.02
		Infierno Negro V. ND con pintura azul		1	1	0.39	0.02
		Carmelita Inciso V. Carmelita	4	4	8	3.13	0.20
		Chilar Aflautado V. Chilar		2	2	0.78	0.05
Petén Lustroso	Máquina (7.56%) n = 287	Máquina Café V. Máquina	66	209	275	95.82	6.78
		Azúcar Impreso V. Azúcar	1		1	0.35	0.02
		Calabazo Gubiado Inciso V. Calabazo	1		1	0.35	0.02
		Calabazo Gubiado Inciso V. Estucada	1	1	2	0.70	0.05
		Canoa Inciso V. Canoa	1	2	3	1.05	0.07
		Tenaja Aflautado V. Tenaja	2	3	5	1.74	0.12
Petén Lustroso	Tinaja (26.69%) n = 1,013	Tinaja Rojo V. Tinaja	57	399	456	45.01	11.23
		Tinaja Rojo V. Nanzal	7	488	495	48.86	12.20
		Chaquiste Impreso V. Chaquiste	19	12	31	3.06	0.76
		Chaquiste Impreso V. Sellado	2	1	3	0.30	0.07
		Chinja Impreso V. Chinja	8	1	9	0.89	0.22
		Corozal Inciso V. Corozal		2	2	0.20	0.05
		Pantano Impreso V. Pantano	1	4	5	0.49	0.12
		Pantano Impreso V. Sellado		2	2	0.20	0.05
		Subin Rojo V. Subin	1		1	0.10	0.02
		Tolla Acanalado V. Tolla		1	1	0.10	0.02
		Zopilote Ahumado V. Zopilote	4	4	8	0.79	0.20
		Petén Lustroso	Saxche-Palmar (3.40%) n=129	Saxche-Palmar Naranja Policromo V. ND	32	62	94
Saxche-Palmar Naranja Policromo V. Saxche	1				1	0.78	0.02
Anonal Naranja Policromo V. Anonal	1				1	0.78	0.02
Chantuori Negro sobre Naranja V. Chantuori	3			10	13	10.08	0.32
Desquite Rojo sobre Naranja V. Desquite	7			3	10	7.75	0.25
Palmar Naranja Policromo V. Güisquil	2			8	10	7.75	0.25
Petén Lustroso	Zacatal (0.29%) n=11	Zacatal Crema Policromo V. Zacatal	3	2	5	50.00	0.12
		Chinos Negro sobre Crema V. Chinos	1		1	10.00	0.02
		Gua Rojo sobre Crema V. Gua	2	2	4	40.00	0.10
		Paixban Ante Policromo V. Paixban		1	1	10.00	0.02
No determinada	Indeterminada (0.18%) n=7	Base de color rosado		4	4	57.14	0.10
		Estucado ND	2	1	3	42.86	0.07
<b>TOTALES</b>			<b>451</b>	<b>3608</b>	<b>4059</b>	<b>100.00</b>	

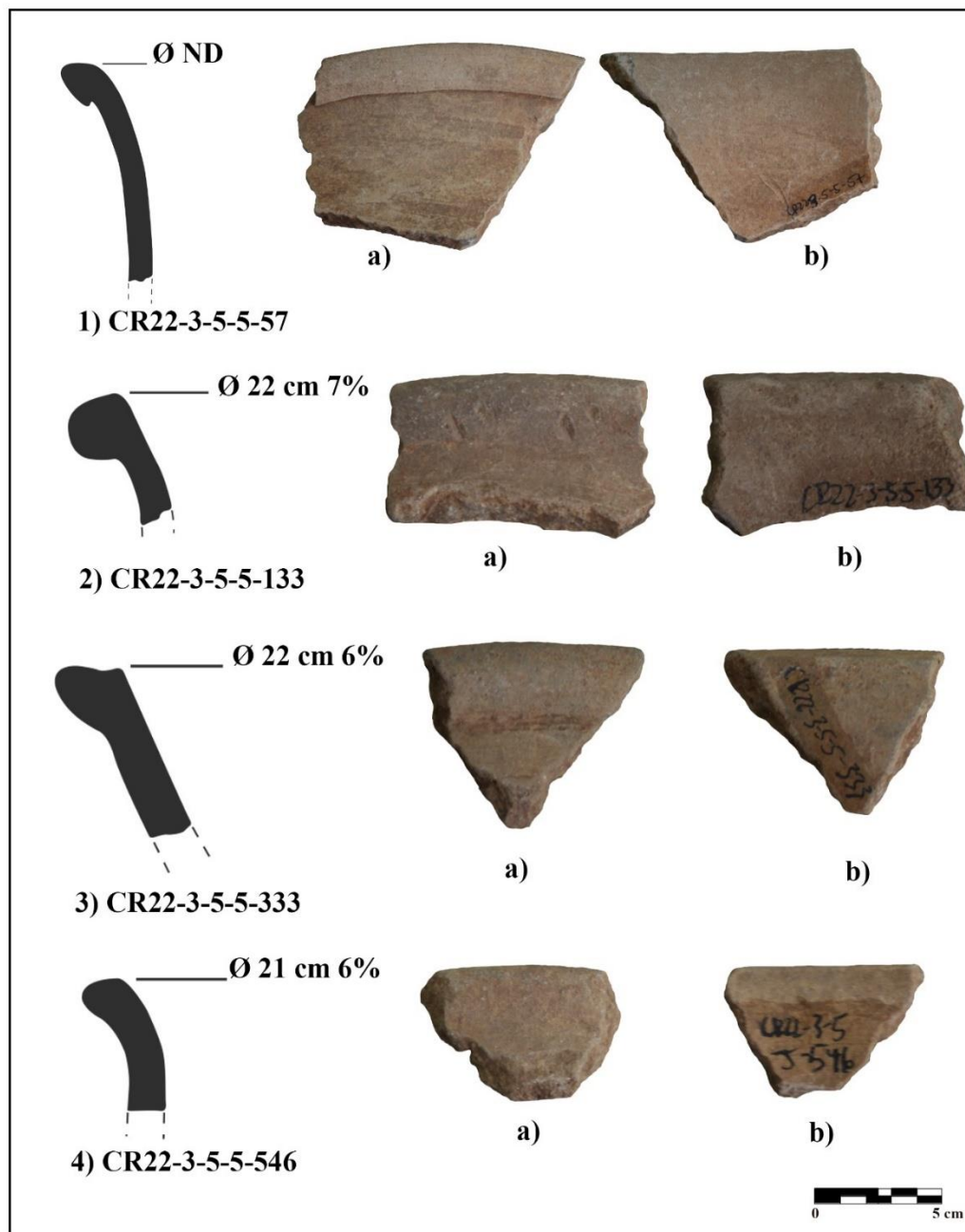
Figura 93. Resultados del análisis Tipo-variedad de la Operación CR22, presentados por Clase, Grupo y Tipo: Variedad del Complejo *Waay* del primer cuerpo de Palacio y CR22-

11

Operación CR22: resultados del análisis Tipo-Variedad del primer cuerpo de Palacio y CR22-11. Complejo Waay (n=572)							
Clase	Grupo (% del complejo) n	Tipo: Variedad	Frecuencias			Porcentajes (%)	
			Borde	Otros	Total	Grupo	Complejo
Uaxactun Sin Engobe	Cambio (41.08%) n =235	Cambio sin Engobe V. ND	2	25	27	11.49	4.72
		Cambio sin Engobe V. Baño rojo	8	70	78	33.19	13.64
		Encanto Estriado V. Encanto		40	40	17.02	6.99
		Encanto Estriado V. Baño rojo		89	89	37.87	15.56
		Pedregal Modelado V. Pedregal		1	1	0.43	0.17
Petén Lustroso	Azote (17.83%) n = 102	Azote Naranja V. Azote	14	83	97	95.10	16.96
		Azote Naranja V. Manchado de fuego		2	2	1.96	0.35
		Pasos Impreso V. Pasos	1		1	0.98	0.17
		Salada Acanalado V. Salada		1	1	0.98	0.17
		Torres Inciso V. Torres		1	1	0.98	0.17
Petén Lustroso	Infierno (4.90%) n = 28	Infierno Negro V. Infierno	3	24	27	96.43	4.72
		Carmelita Inciso V. Carmelita		1	1	3.57	0.17
Petén Lustroso	Máquina (5.24%) n = 30	Máquina Café V. Máquina	6	23	29	96.67	5.07
		Tenaja Aflautado V. Tenaja		1	1	3.33	0.17
Petén Lustroso	Tinaja (25.52%) n = 146	Tinaja Rojo V. Tinaja	5	24	29	19.86	5.07
		Tinaja Rojo V. Nanzal	2	103	105	71.92	18.36
		Chaquiste Impreso V. Chaquiste	7	3	10	6.85	1.75
		Corozal Inciso V. Corozal		1	1	0.68	0.17
		Zopilote Ahumado V. Zopilote		1	1	0.68	0.17
Petén Lustroso	Saxche-Palmar (5.07%) n=29	Saxche-Palmar Naranja Policromo V. ND	7	4	11	37.93	1.92
		Chantuori Negro sobre Naranja V. Chantuori	1	4	5	17.24	0.87
		Desquite Rojo sobre Naranja V. Desquite	1	1	2	6.90	0.35
		Palmar Naranja Policromo V. Güisquil	1		1	3.45	0.17
		Policromo erosionado	3	7	10	34.48	1.75
Petén Lustroso	Zacatal (0.35%) n=2	Zacatal Crema Policromo V. Zacatal		2	2	100.00	0.35
<b>TOTALES</b>			<b>61</b>	<b>511</b>	<b>572</b>	<b>100.00</b>	

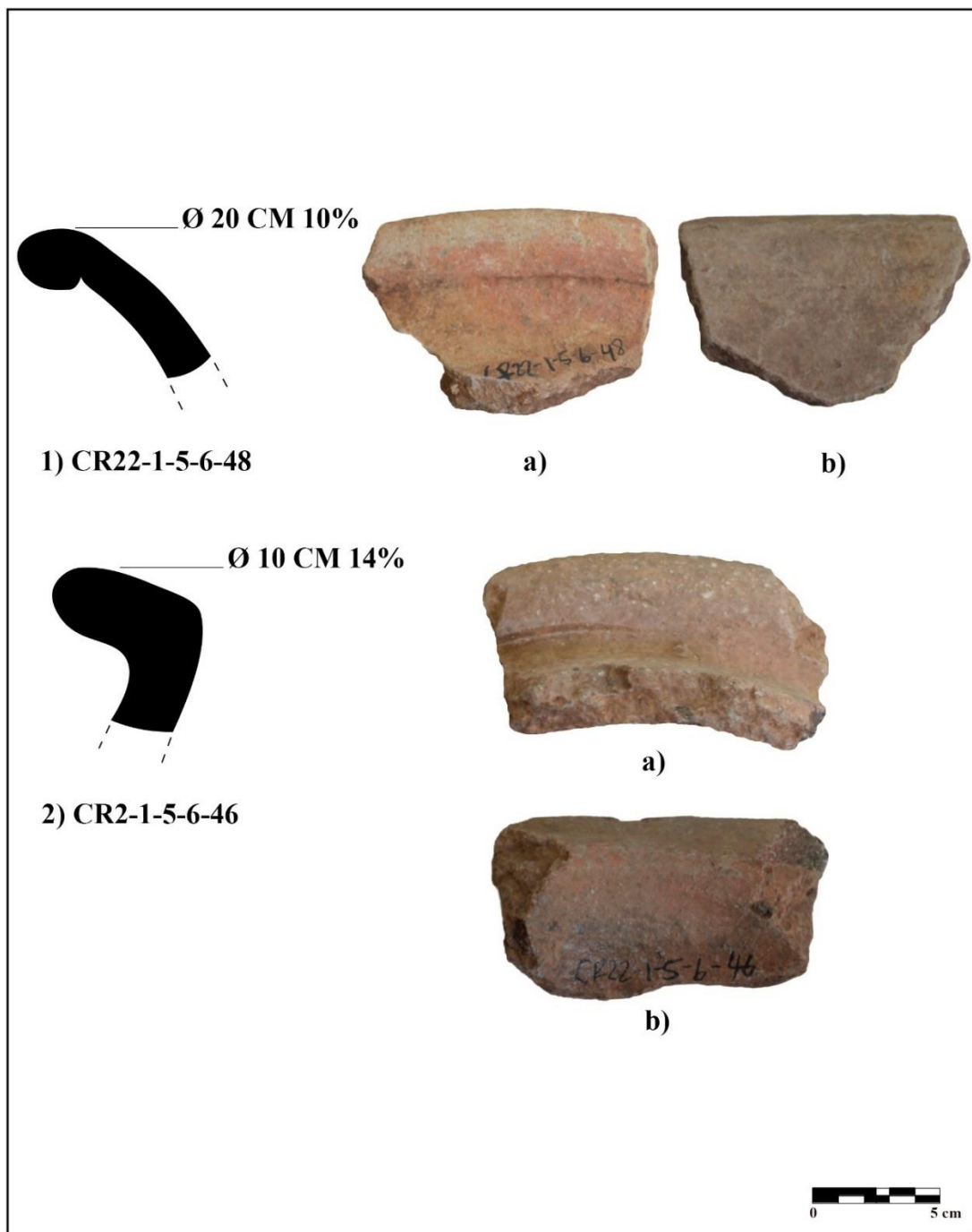


Figura 94. Bordes del Grupo Cambio sin Engobe Tipo Cambio sin Engobe Variedad No determinada a) exterior b) interior (Basurero Temprano (1A))



(Dibujo por F. Saravia. Fotografía por A. González)

Figura 95. Bordes del Grupo Cambio sin Engobe Tipo Cambio sin Engobe Variedad baño rojo a) exterior b) interior (Basurero Temprano (1A))



(Dibujo y fotografía por A. González)

Figura 96. Borde del Grupo Cambio sin Engobe Tipo Cambio sin Engobe Variedad baño rojo a) exterior b) interior (Basurero Medio (1B))

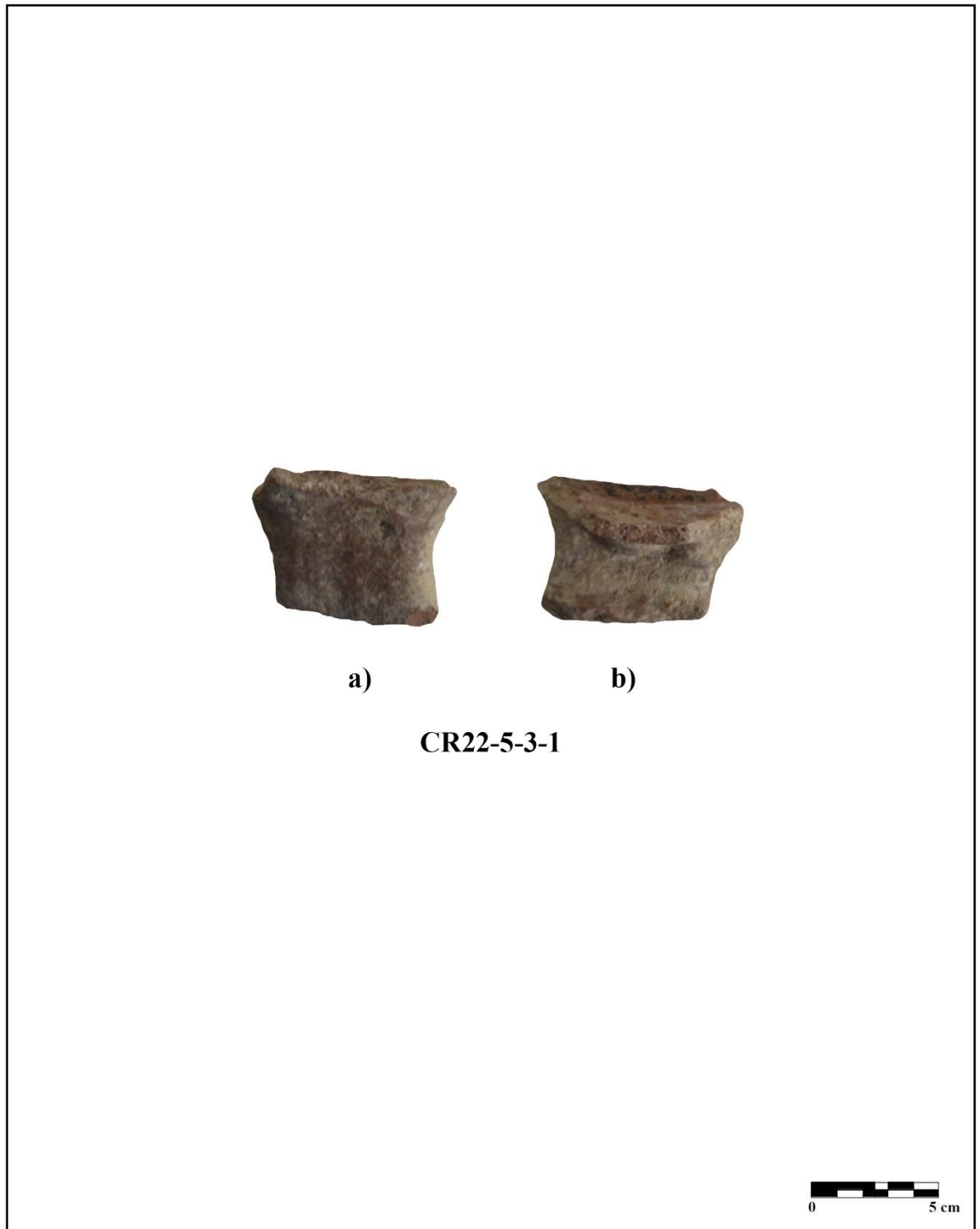


Figura 97. Borde del Grupo Cambio sin Engobe Tipo Cambio sin Engobe Variedad baño rojo a) exterior b) interior (Basurero Medio (1B))



(Dibujo y fotografía por A. González)

Figura 98. Asa del Grupo Cambio sin Engobe Tipo Cambio sin Engobe Variedad baño rojo a) exterior b) interior (Basurero Tardío (1C))



(Fotografía por A. González)

Figura 99. Borde del Grupo Cambio sin Engobe Tipo Cambio sin Engobe Variedad baño rojo a) exterior b) interior (Basurero Tardío (1C))

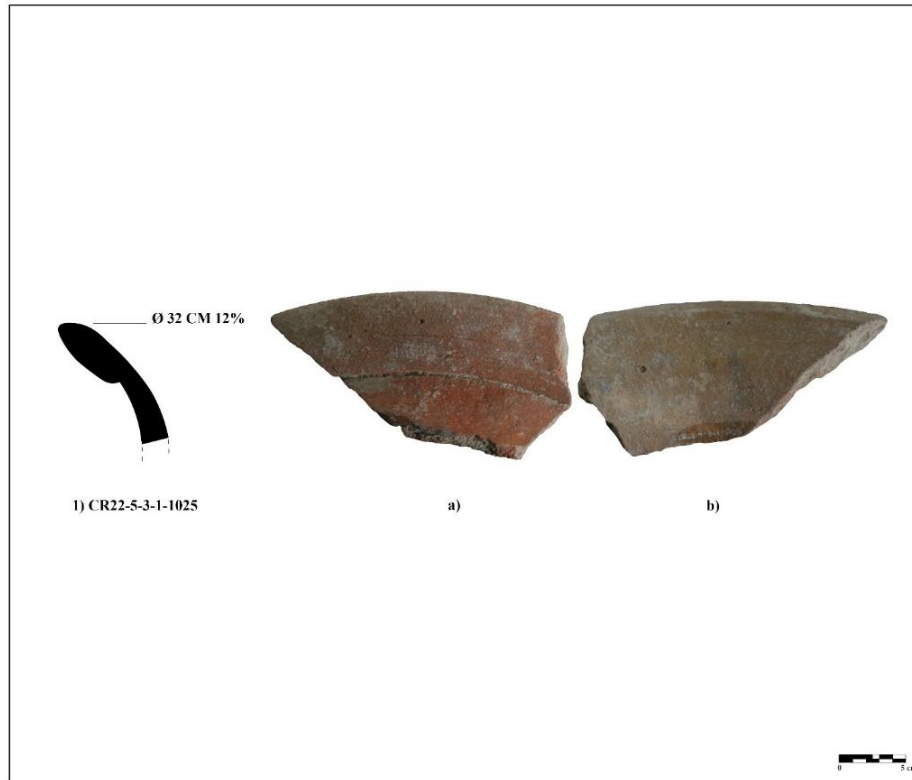
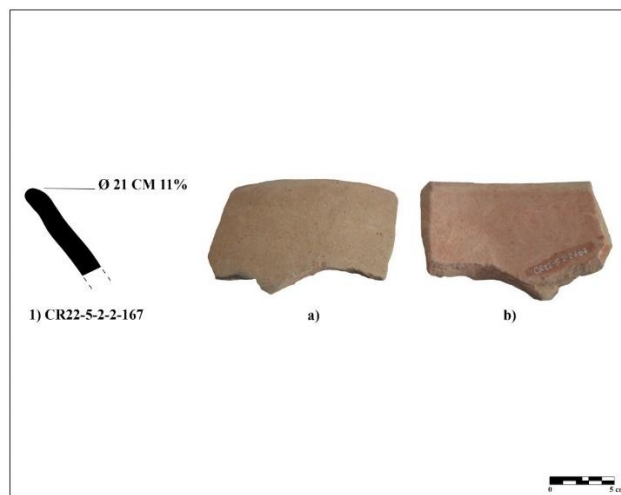


Figura 100. Borde del Grupo Cambio sin Engobe Tipo Cambio sin Engobe Variedad Crema a) exterior b) interior (derrumbe)



(Dibujo y fotografía por A. González)

Figura 101. Cuerpo del Grupo Cambio Sin Engobe Tipo Ciro Inciso Variedad Ciro a) exterior (derrumbe)

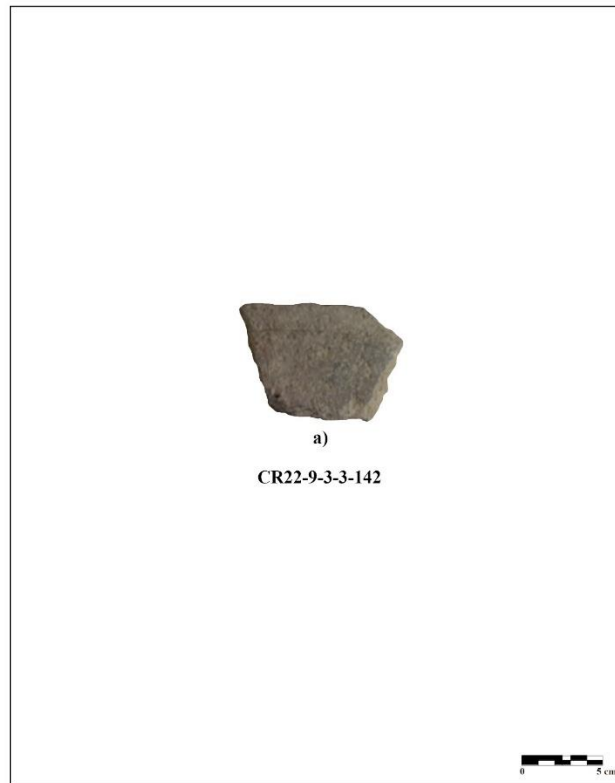


Figura 102. Borde del Grupo Cambio sin Engobe Tipo Encanto Estriado Variedad Encanto a) exterior b) interior (Basurero Temprano (1A))

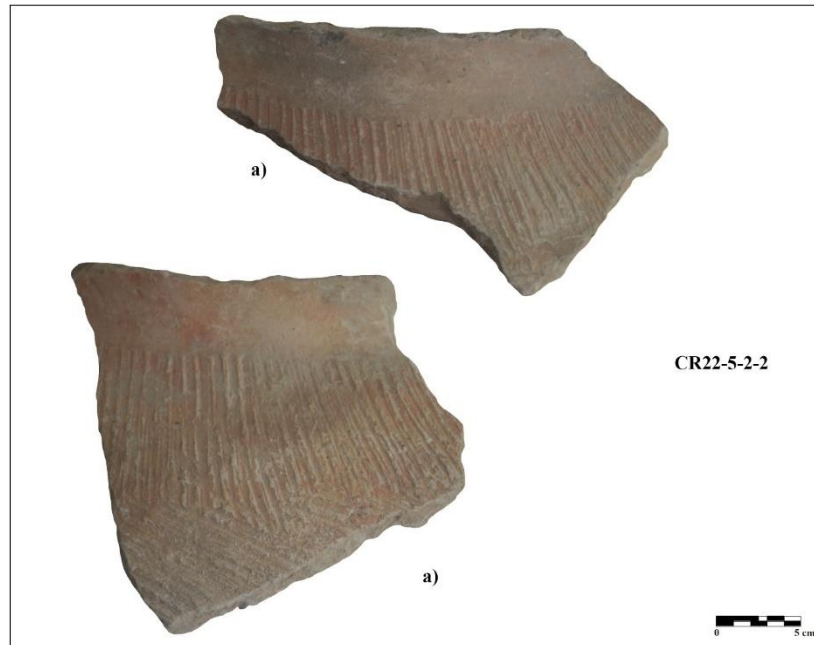


(Dibujo y fotografía por A. González)

Figura 103. Borde del Grupo Cambio sin Engobe Tipo Encanto Estriado Variedad Encanto a) exterior b) interior (derrumbe)



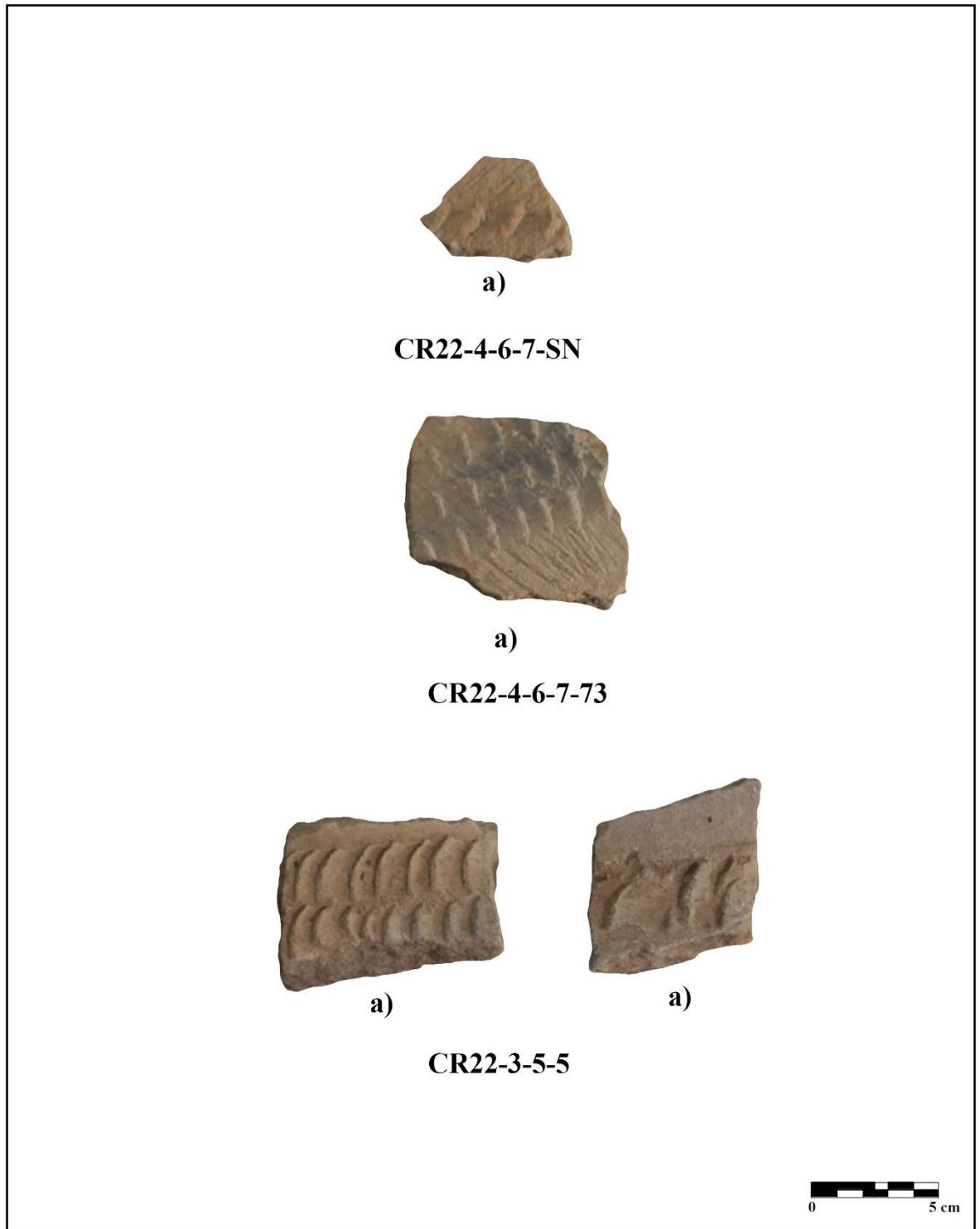
Figura 104. Cuellos del Grupo Cambio sin Engobe Tipo Encanto Estriado Variedad baño rojo a) exterior (derrumbe)



(Dibujo y fotografía por A. González)



Figura 105. Cuerpos del Grupo Cambio sin Engobe Tipo Valente estriado impreso  
Variedad Valente a) exterior (Basurero Temprano (1A))



(Fotografía por A. González)

Figura 106. Cuerpos del Grupo Cambio sin Engobe Tipo Manteca Impreso Variedad Manteca a) exterior (Basurero Temprano (1A))

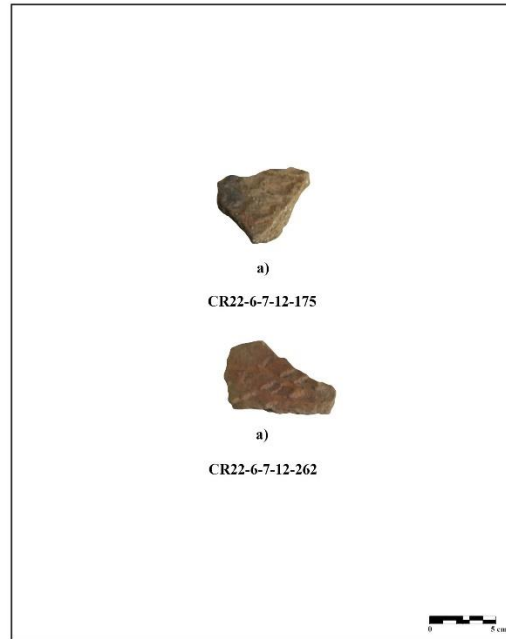
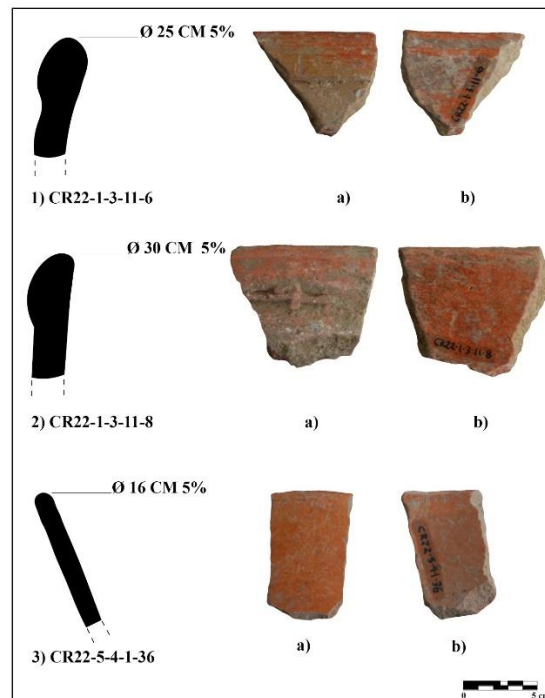


Figura 107. Bordos del Grupo Azote Naranja Tipo Azote Naranja Variedad Azote a) exterior b) interior (Basurero Medio (1B))



(Dibujo y fotografía por A. González)

Figura 108. Bordes del Grupo Azote Naranja Tipo Azote Naranja Variedad Azote a) exterior b) interior (Basurero Tardío (1C))

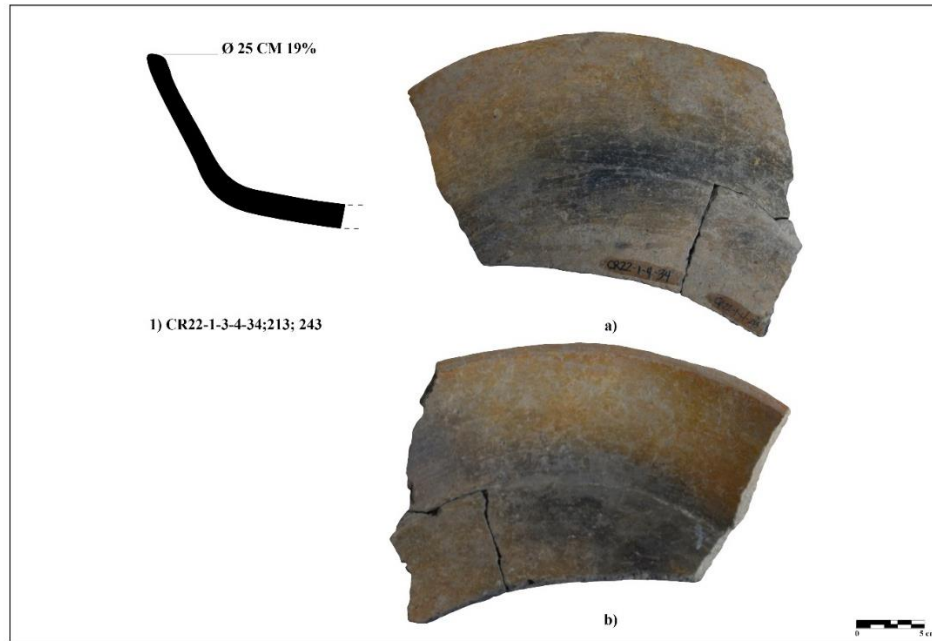
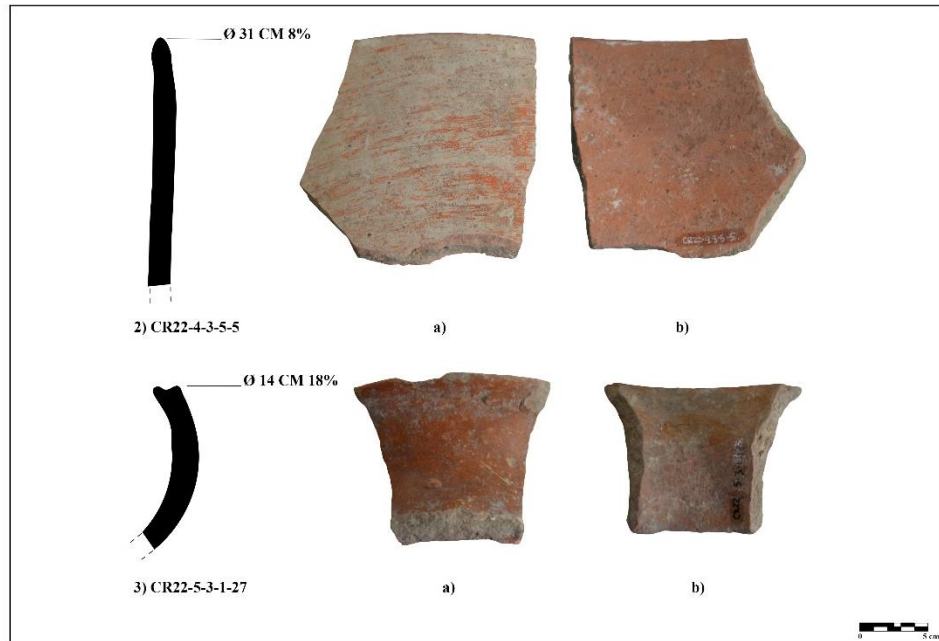


Figura 109. Bordes del Grupo Azote Naranja Tipo Azote Naranja Variedad Azote a) exterior b) interior (Basurero Tardío (1C))



(Dibujo y fotografía por A. González)

Figura 110. Borde y base del Grupo Azote Naranja Tipo Azote Naranja Variedad Azote a) exterior b) interior (Basurero Tardío (1C))

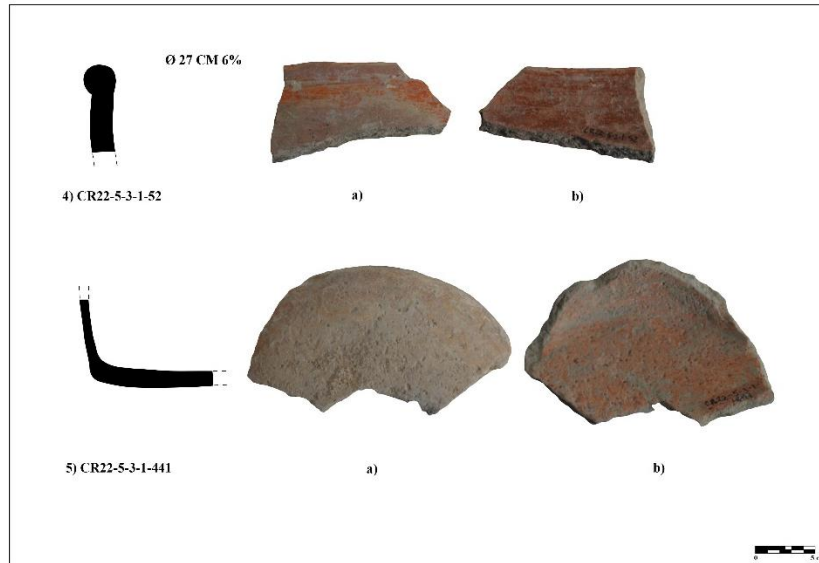
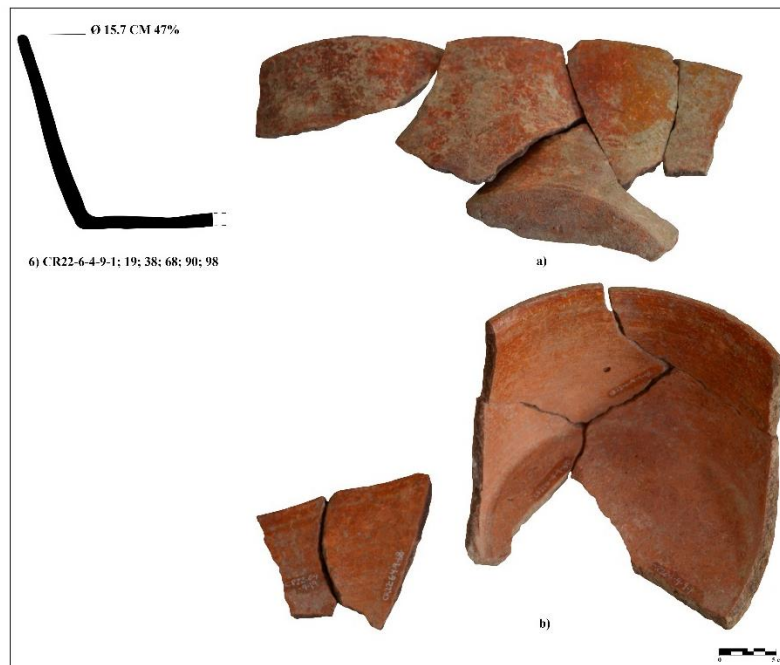


Figura 111. Borde del Grupo Azote Naranja Tipo Azote Naranja Variedad Azote a) exterior b) interior (Basurero Tardío (1C))

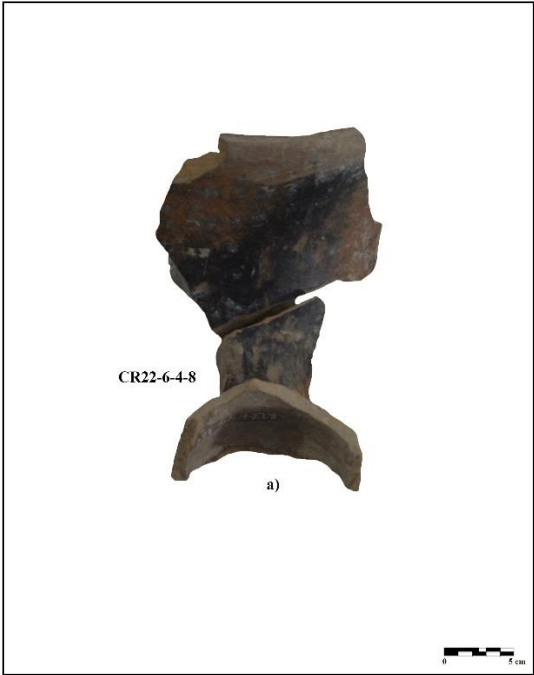


(Dibujo y fotografía por A. González)

Figura 112. Soporte del Grupo Azote Naranja Tipo Azote Naranja Variedad Azote a) exterior b) interior (humus)



Figura 113. Fragmentos de tambores del Grupo Azote Naranja Tipo Azote Naranja Variedad Azote a) exterior b) interior (Basurero Tardío (1C))



(Fotografía por A. González)

Figura 114. Bordes del Grupo Azote Naranja Tipo Salada Acanalado Variedad Acanalado-Inciso a) exterior b) interior (Basurero Tardío (1C))

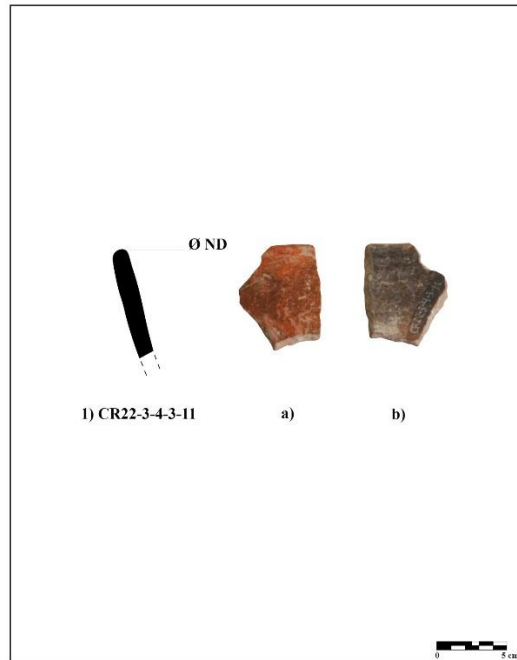
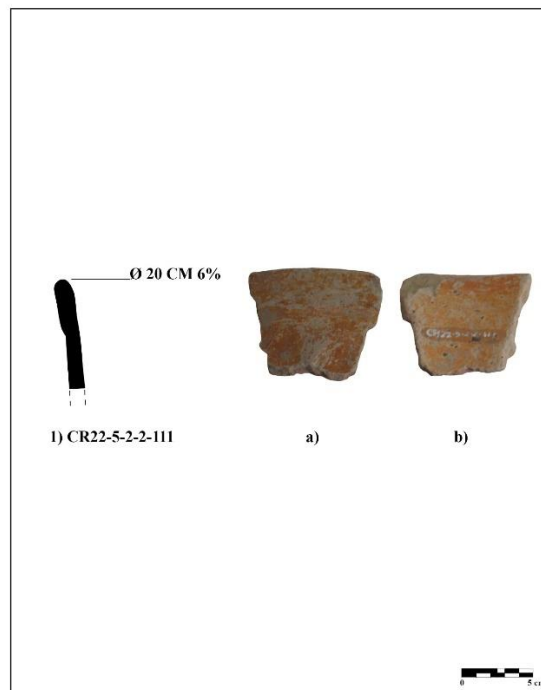
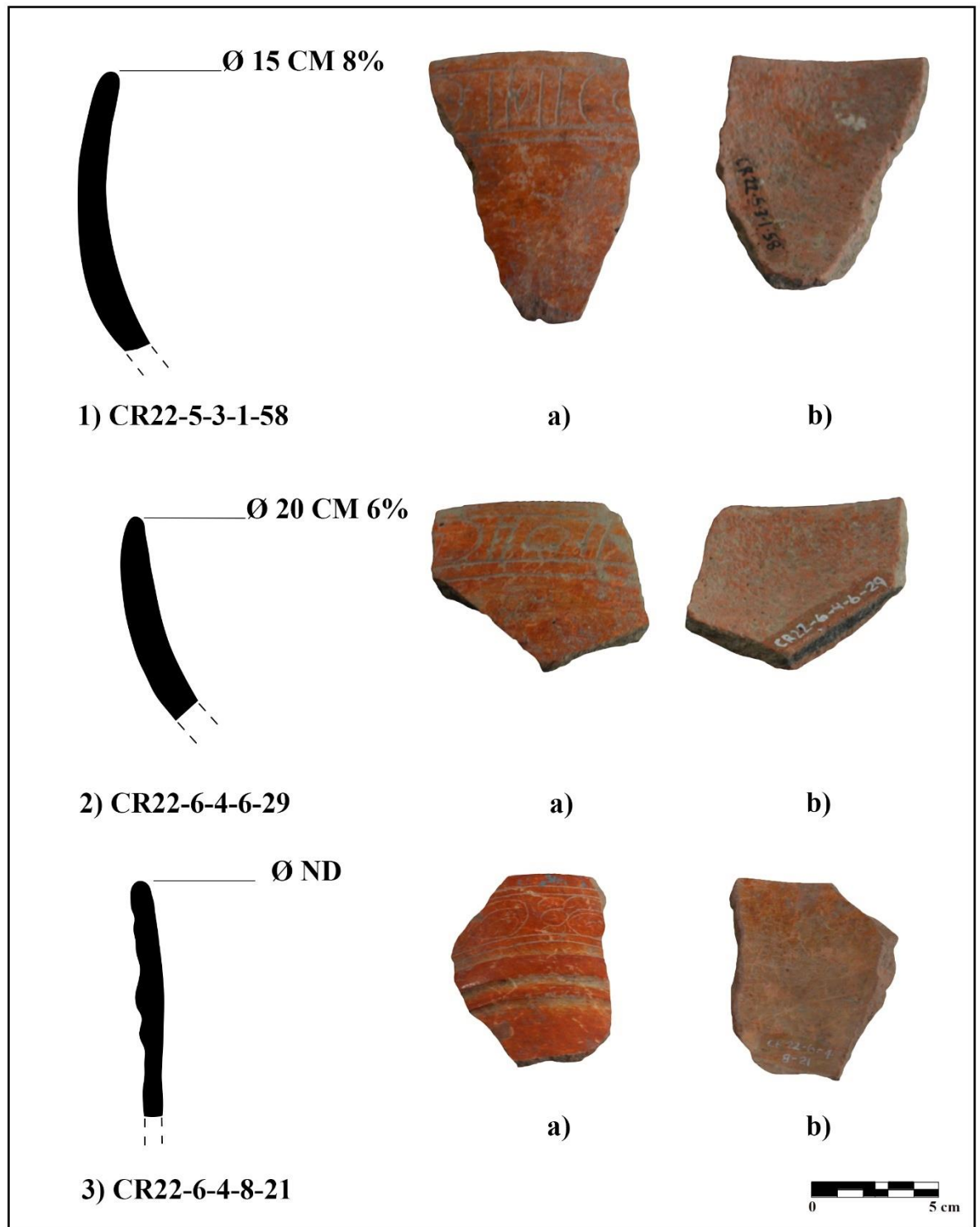


Figura 115. Bordes del Grupo Azote Naranja Tipo Salada Acanalado Variedad Acanalado-Inciso a) exterior b) interior (derrumbe)



(Dibujo y fotografía por A. González)

Figura 116. Bordes del Grupo Azote Naranja Tipo Torres Inciso Variedad Torres a) exterior b) interior (Basurero Tardío (1C))



(Dibujo y fotografía por A. González)

Figura 117. Bordes del Grupo Harina Tipo Harina Crema Variedad Harina a) exterior b) interior (Humus)



(Dibujo y fotografía por A. González)



Figura 118. Borde y base del Grupo Infierno Negro Tipo Infierno Negro Variedad Infierno a) exterior b) interior (Basurero Tardío (1C))

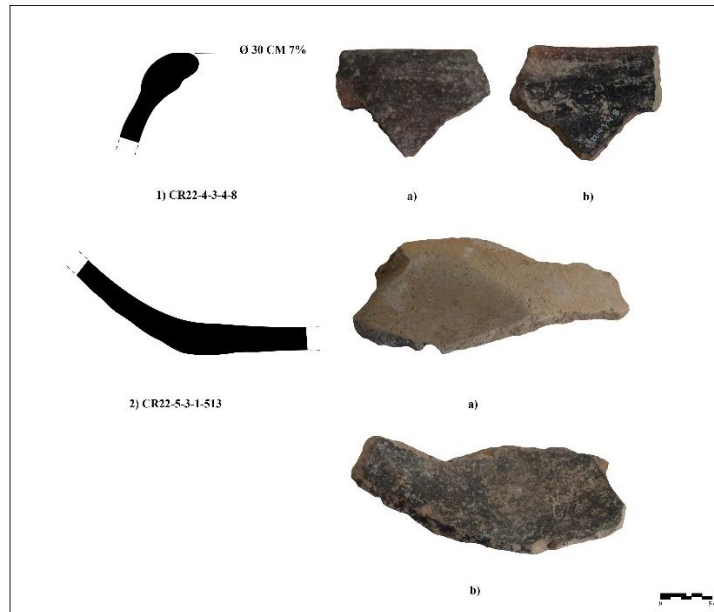
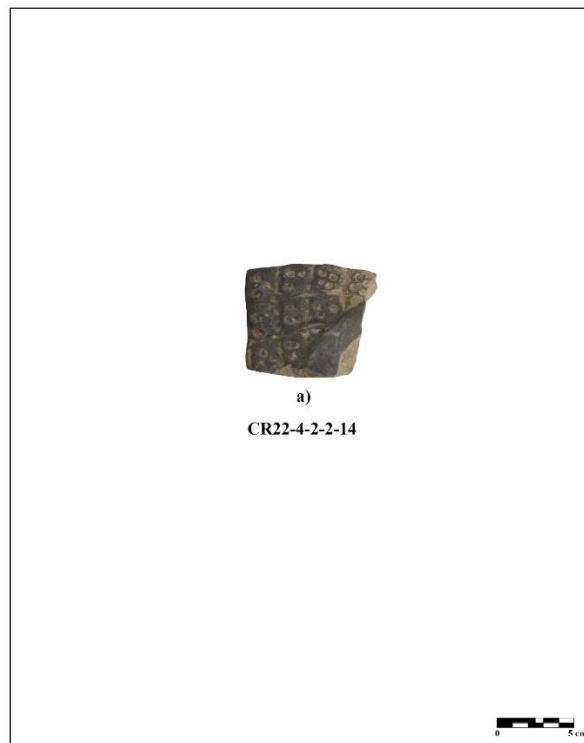


Figura 119. Base del Grupo Infierno Negro Tipo Infierno Negro Variedad Infierno, punzada e inciso a) exterior (derrumbe)



(Dibujo y fotografía por A. González)

Figura 120. Borde del Grupo Infierno Negro Tipo Infierno Negro Variedad Infierno a) exterior b) interior (derrumbe)

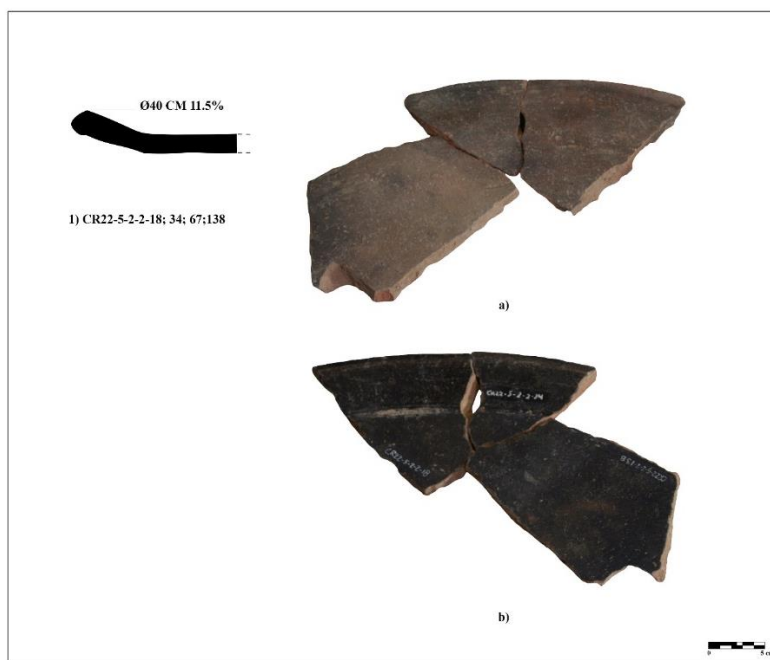
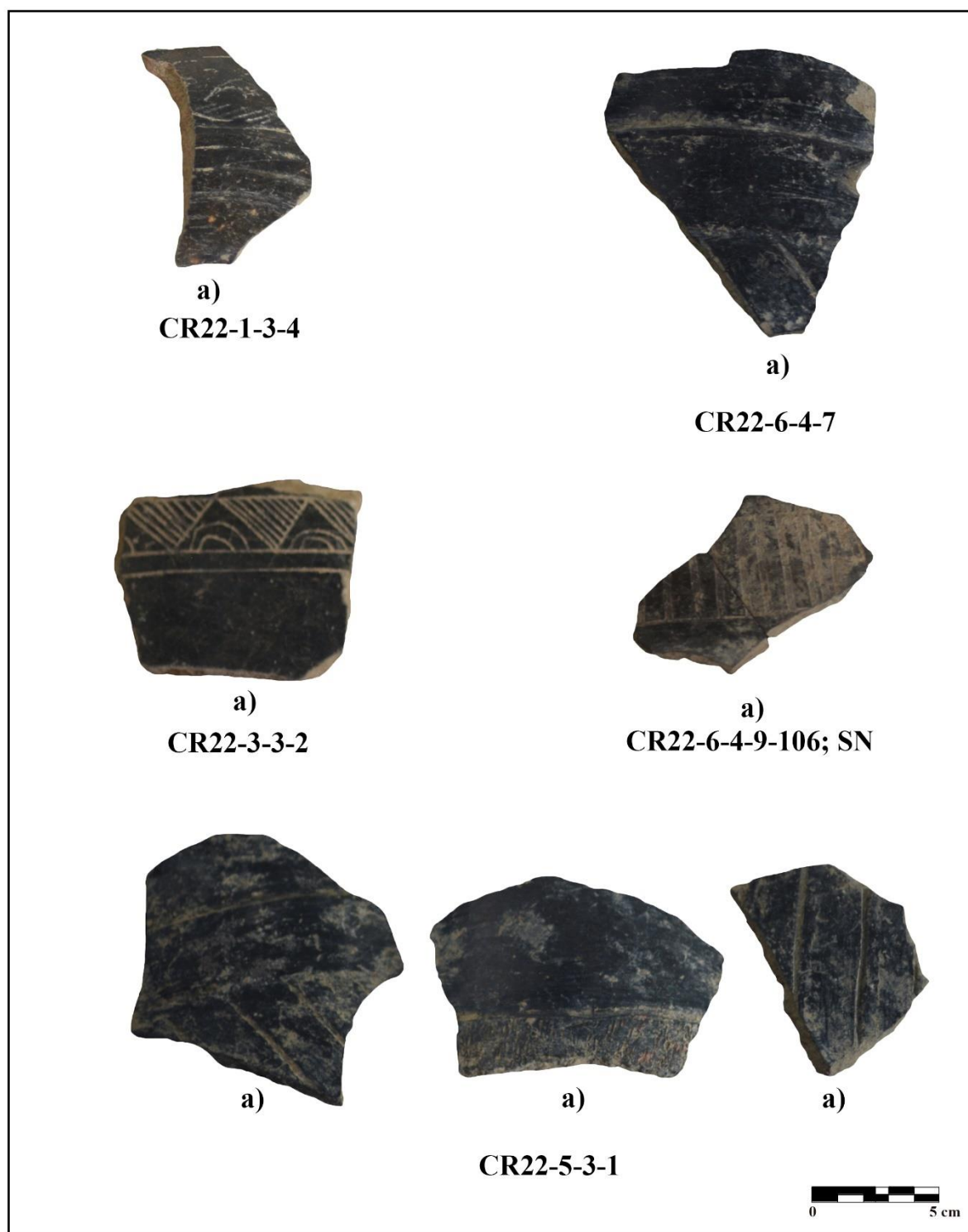


Figura 121. Base del Grupo Infierno Negro Tipo Carmelita Inciso Variedad Carmelita a) exterior b) interior (Basurero Tardío (1C))



(Dibujo y fotografía por A. González)

Figura 122. Cuerpos del Grupo Infierno Negro Tipo Carmelita Inciso Variedad Carmelita  
a) exterior (Basurero Tardío (1C))



(Fotografía por A. González)

Figura 123. Borde del Grupo Máquina Café Tipo Máquina Café Variedad Máquina a) exterior b) interior (Basurero Temprano (1A))

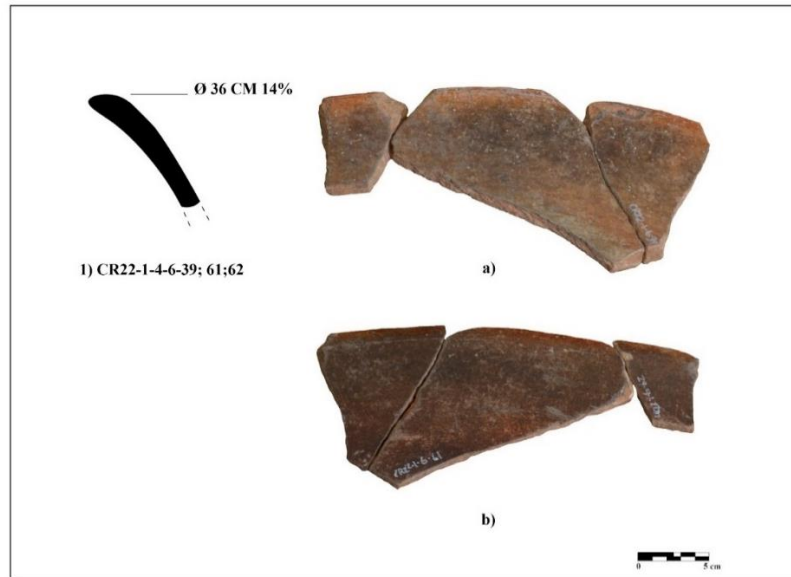
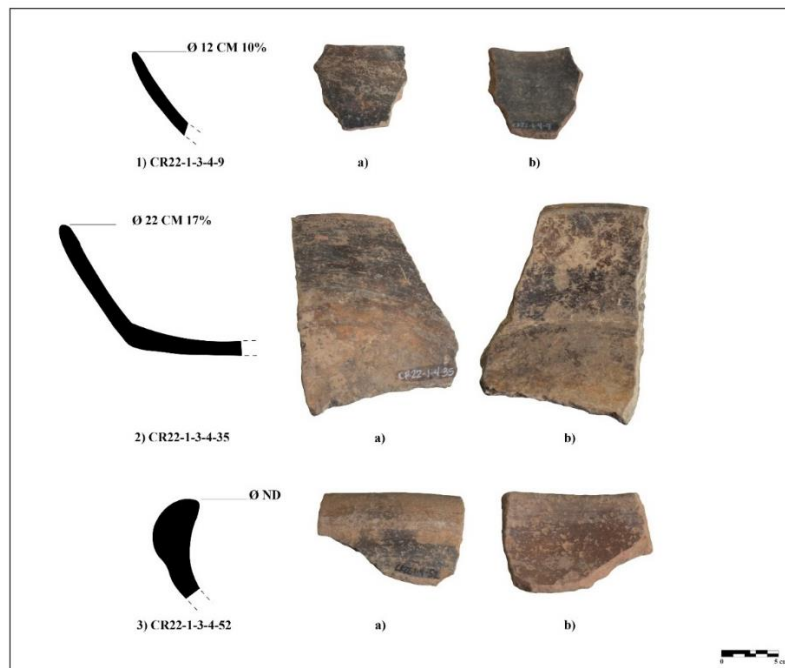


Figura 124. Bordes del Grupo Máquina Café Tipo Máquina Café Variedad Máquina a) exterior b) interior (Basurero Tardío (1C))



(Dibujo y fotografía por A. González)

Figura 125. Bordes del Grupo Máquina Café Tipo Máquina Café Variedad Máquina a) exterior b) interior (Basurero Tardío (1C))

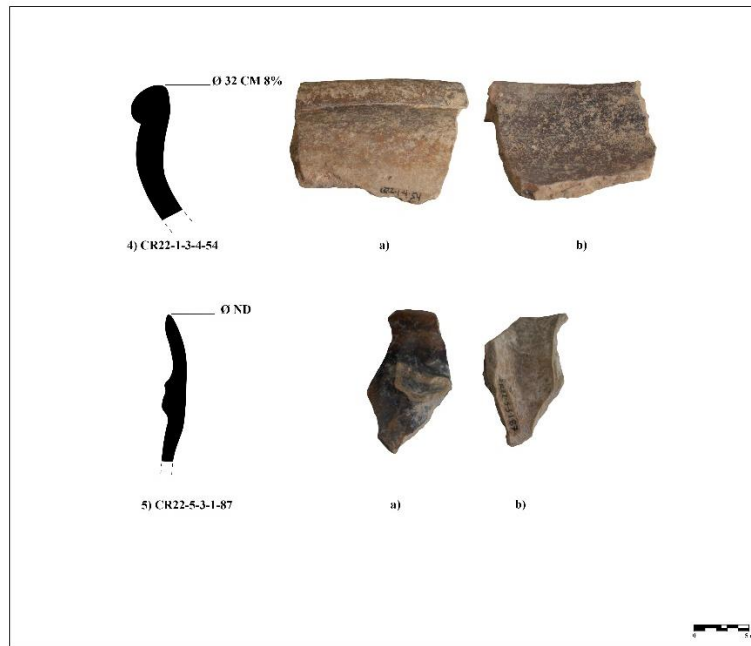
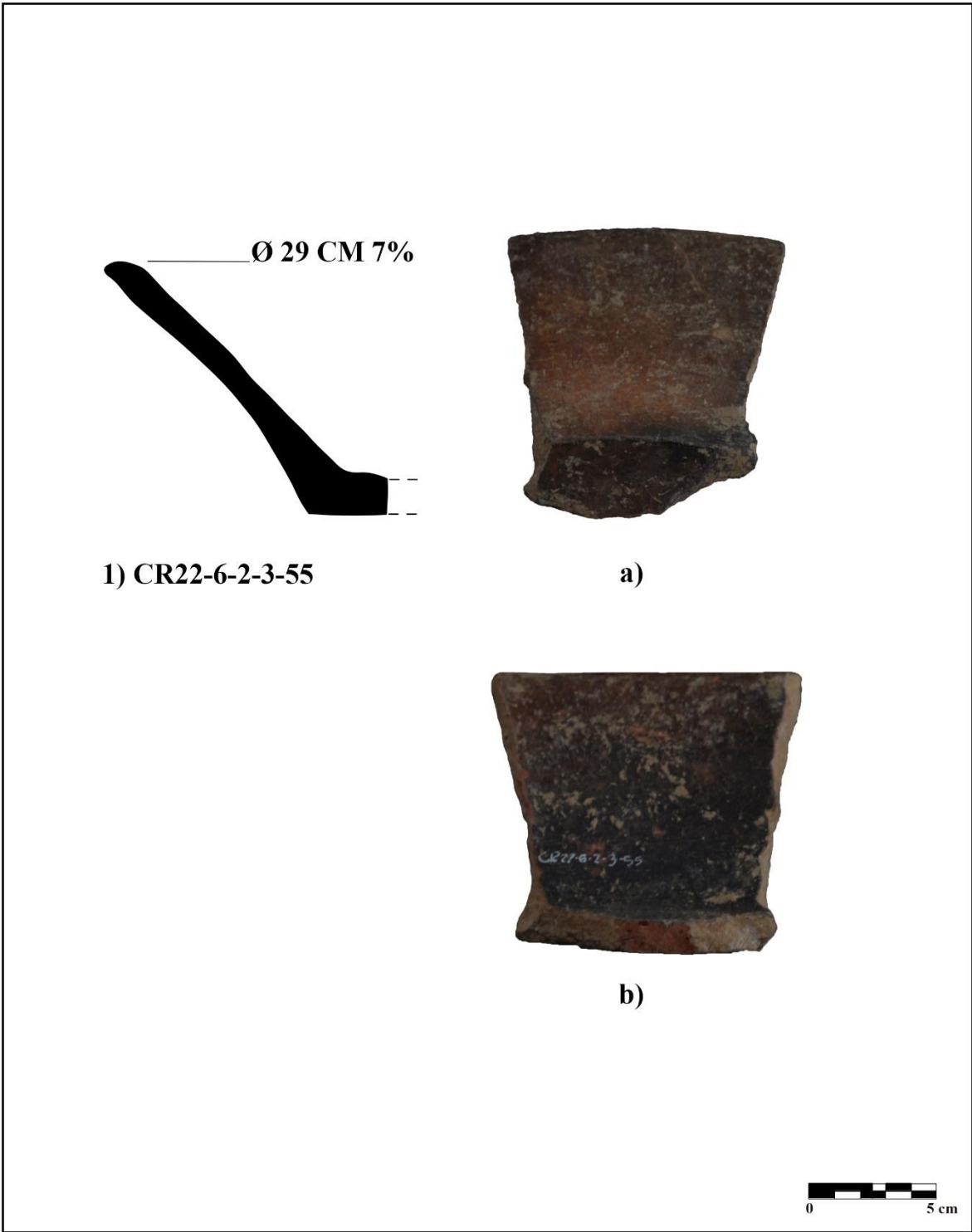


Figura 126. Bordes del Grupo Máquina Café Tipo Máquina Café Variedad Máquina a) exterior b) interior (Basurero Tardío (1C))



(Dibujo y fotografía por A. González)

Figura 127. Bordes del Grupo Máquina Café Tipo Máquina Café Variedad Máquina a) exterior b) interior (derrumbe)



(Dibujo y fotografía por A. González)

Figura 128. Base y borde del Grupo Máquina Café Tipo Calabazo Gubiado Inciso Variedad Estucado a) exterior b) interior (Basurero Tardío (1C))

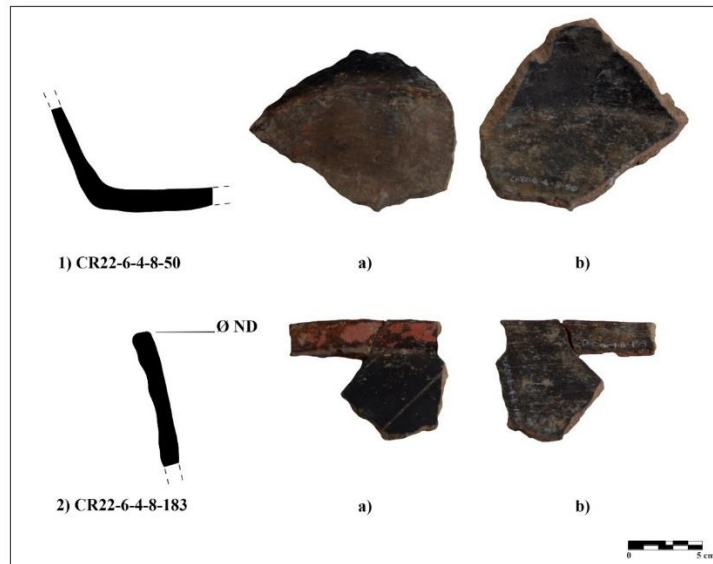
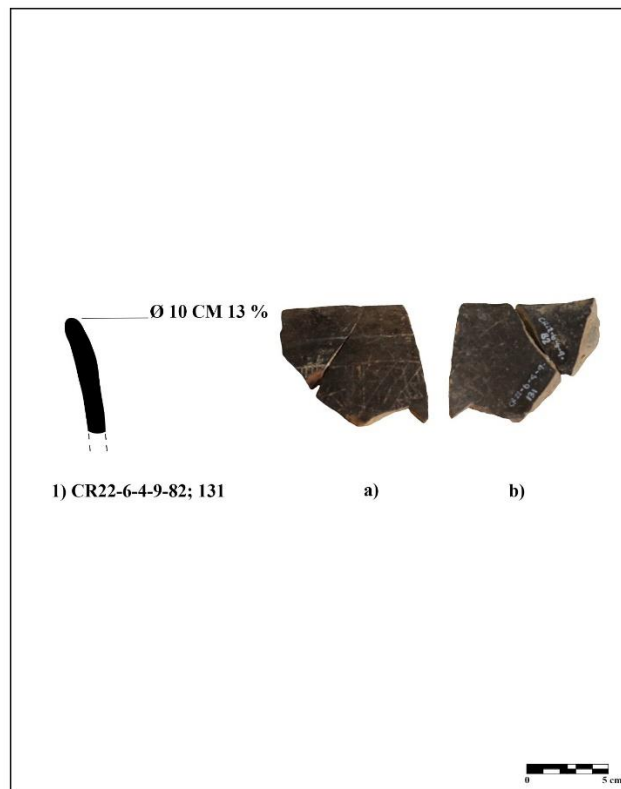


Figura 129. Borde del Grupo Máquina Café Tipo Canoa Inciso Variedad Canoa a) exterior b) interior (Basurero Tardío (1C))

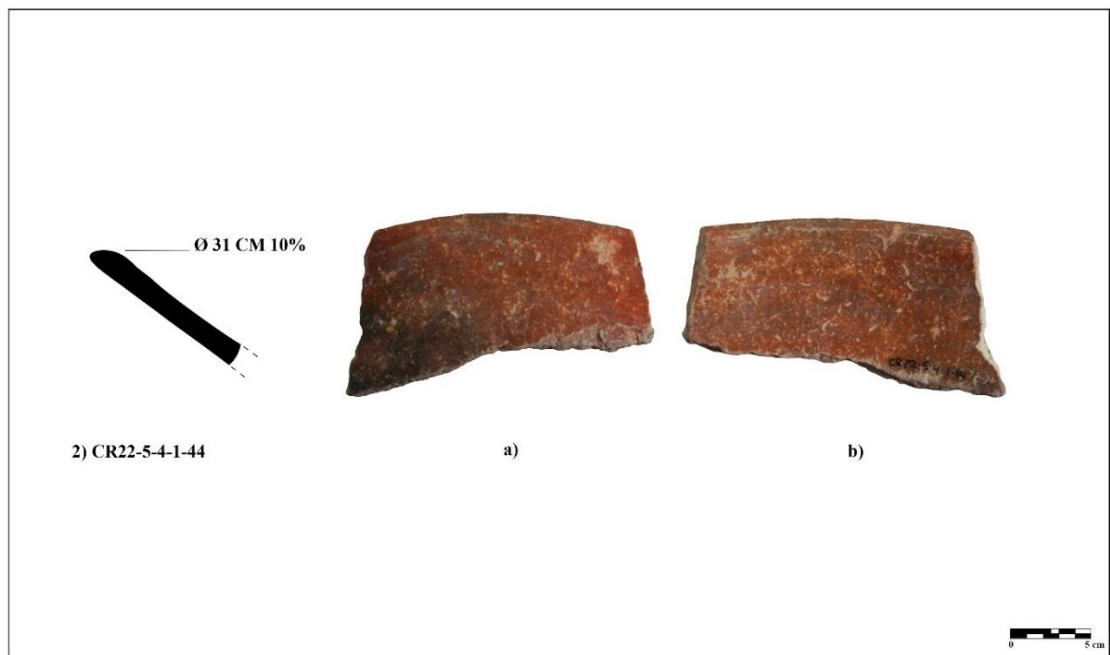


(Dibujo y fotografía por A. González)

Figura 130. Borde del Grupo Tinaja Rojo Tipo Tinaja Rojo Variedad Tinaja a) exterior b) interior (Basurero Medio (1B))



Figura 131. Borde del Grupo Tinaja Rojo Tipo Tinaja Rojo Variedad Tinaja a) exterior b) interior (Basurero Medio (1B))



(Dibujo y fotografía por A. González)



Figura 132. Base del Grupo Tinaja Rojo Tipo Tinaja Rojo Variedad Nanzal a) exterior b) interior (Basurero Tardío (1C))



Figura 133. Bordes del Grupo Tinaja Rojo Tipo Tinaja Rojo Variedad Nanzal a) exterior b) interior (Basurero Tardío (1C))



(Dibujo y fotografía por A. González)

Figura 134. Cuerpo del Grupo Tinaja Tipo Chaquiste Impreso Variedad Sellado a) exterior b) interior (Basurero Tardío (1C))



Figura 135. Cuerpo del Grupo Tinaja Tipo Chinja Impreso Variedad Chinja a) exterior b) interior (Basurero Tardío (1C))



(Fotografía por A. González)

Figura 136. Borde del Grupo Tinaja Tipo Pantano Impreso Variedad Pantano a) exterior  
b) interior (derrumbe)



Figura 137. Borde del Grupo Tinaja Tipo Zopilote Ahumado Variedad Zopilote a)  
exterior b) interior (Basurero Tardío (1C))



(Dibujo y fotografía por A. González)

Figura 138. Cuerpo del Grupo Santa Rosa Tipo Mataculebra Crema Polícromo Variedad Mataculebra a) exterior b) interior (Basurero Temprano (1A))

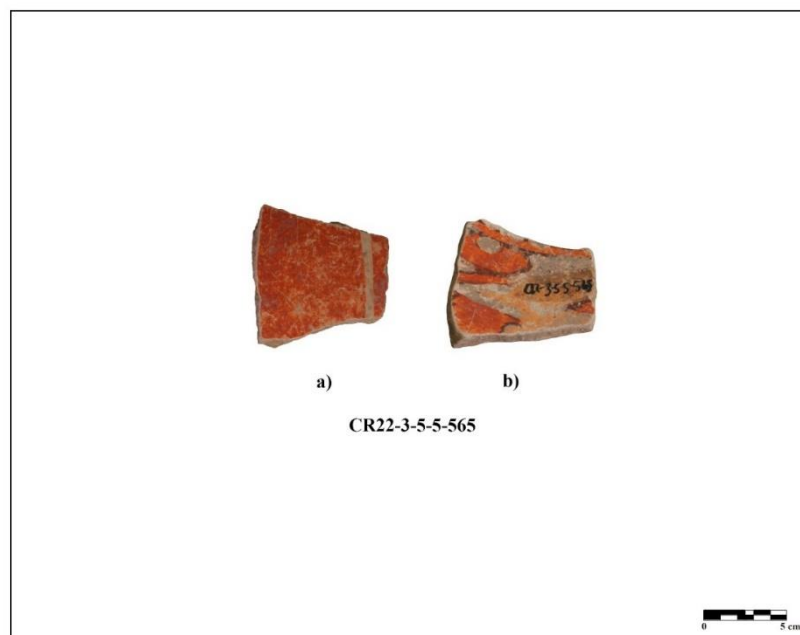
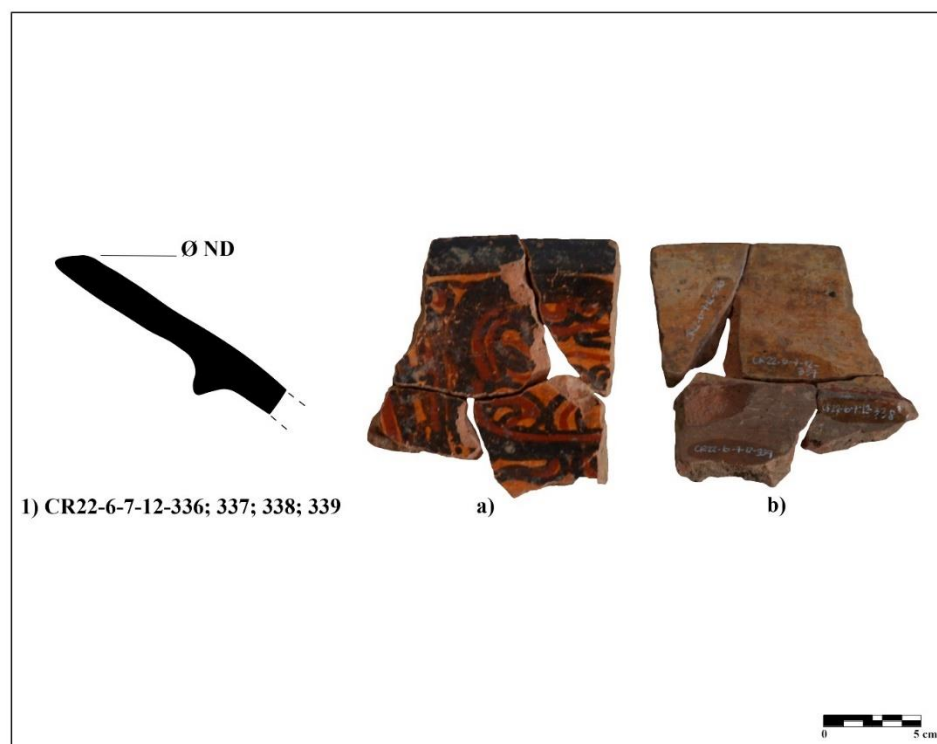
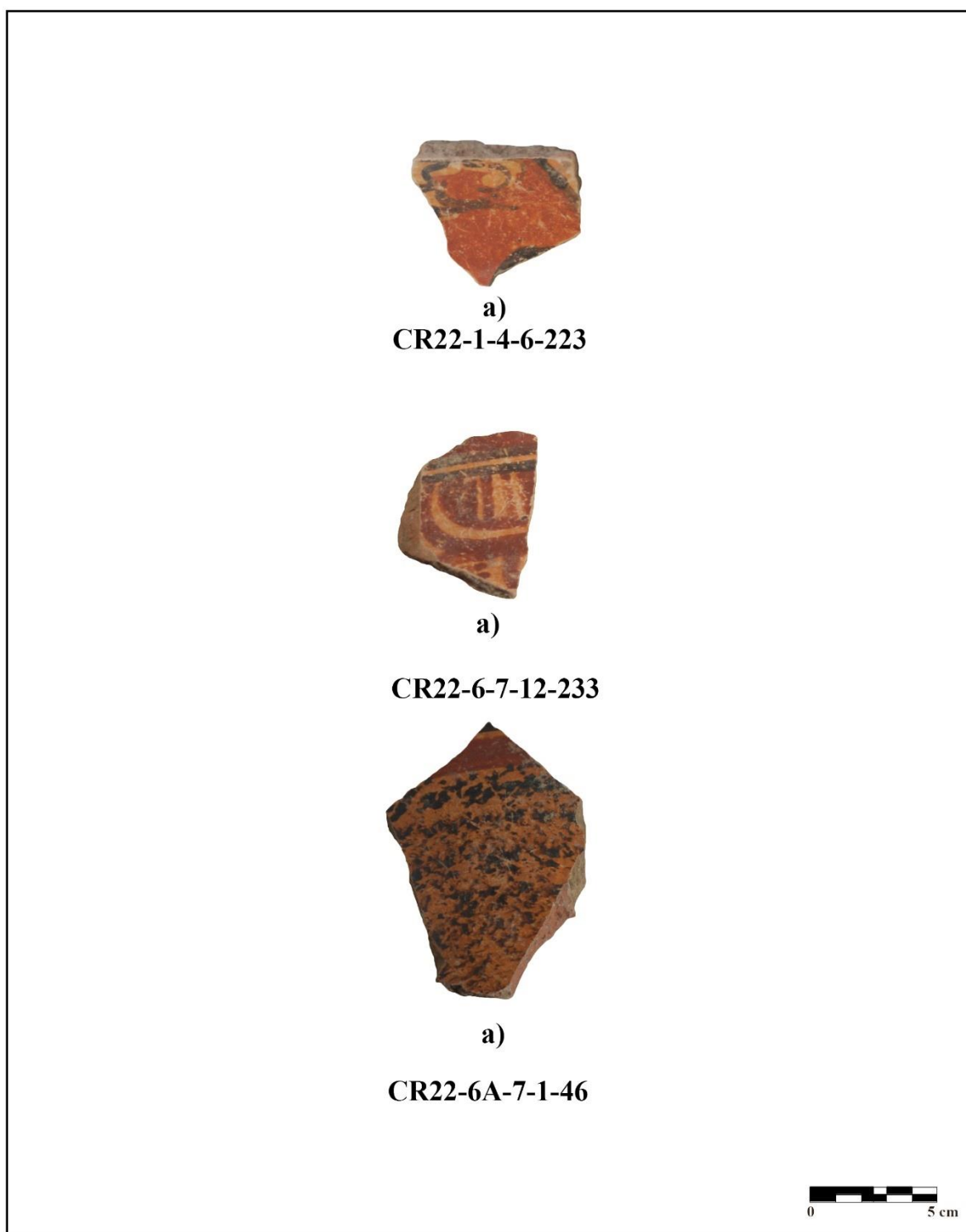


Figura 139. Borde del Grupo Saxché-Palmar Tipo Saxché Palmar Variedad no Especificada a) exterior b) interior (Basurero Temprano (1A))



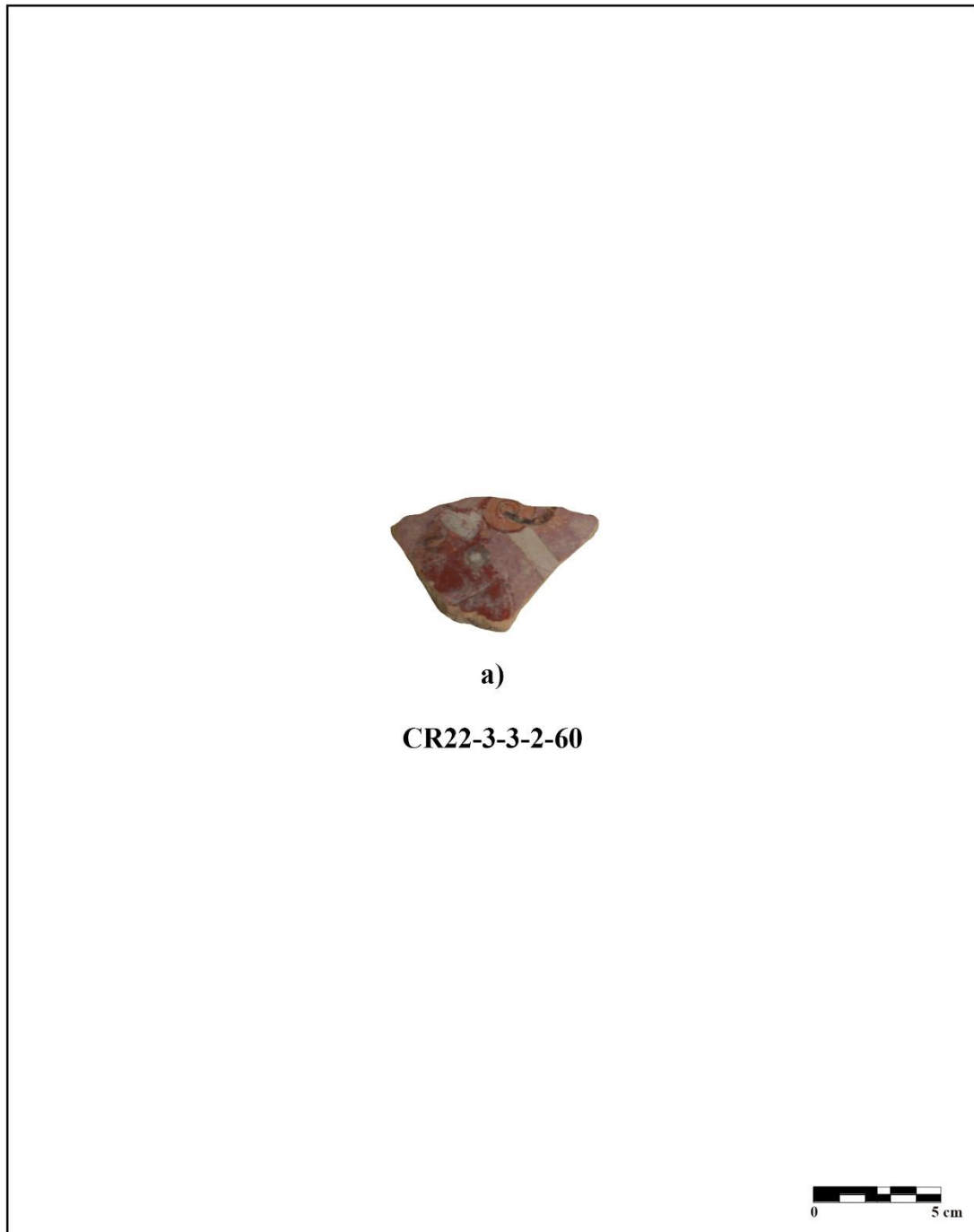
(Dibujo y fotografía por A. González)

Figura 140. Cuerpos del Grupo Saxché-Palmar Tipo Saxché Palmar Variedad no Especificada a) exterior (Basurero Temprano (1ª))



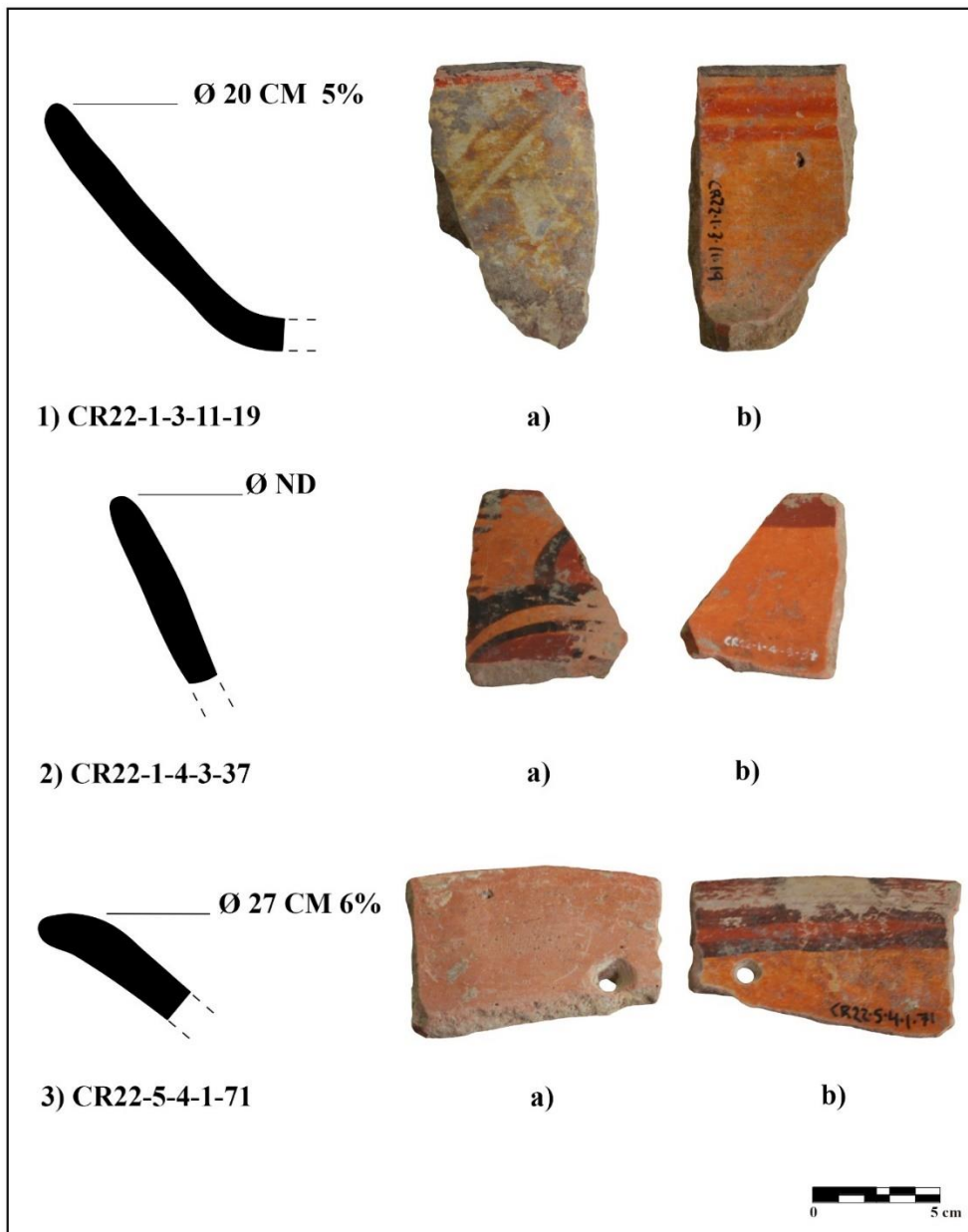
(Fotografía por A. González)

Figura 141. Cuerpos del Grupo Saxché-Palmar Tipo Saxché Palmar Variedad no Especificada a) exterior (Basurero Tardío (1C))



(Fotografía por A. González)

Figura 142. Bordes del Grupo Saxché-Palmar Tipo Saxché Palmar Variedad no Especificada a) exterior b) interior (Basurero Medio (1B))



(Dibujo y fotografía por A. González)

Figura 143. Bordes del Grupo Saxché-Palmar Tipo Saxché Palmar Variedad Saxché a) exterior b) interior (Basurero Temprano (1A))

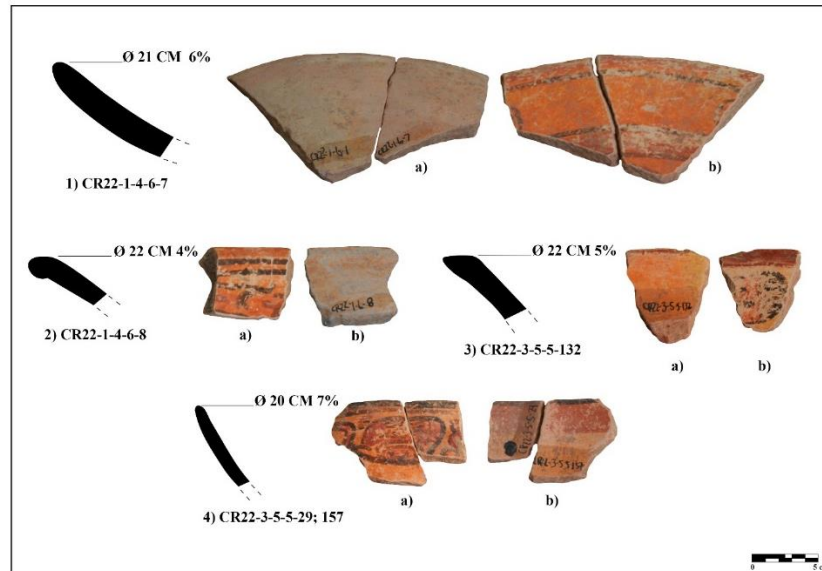
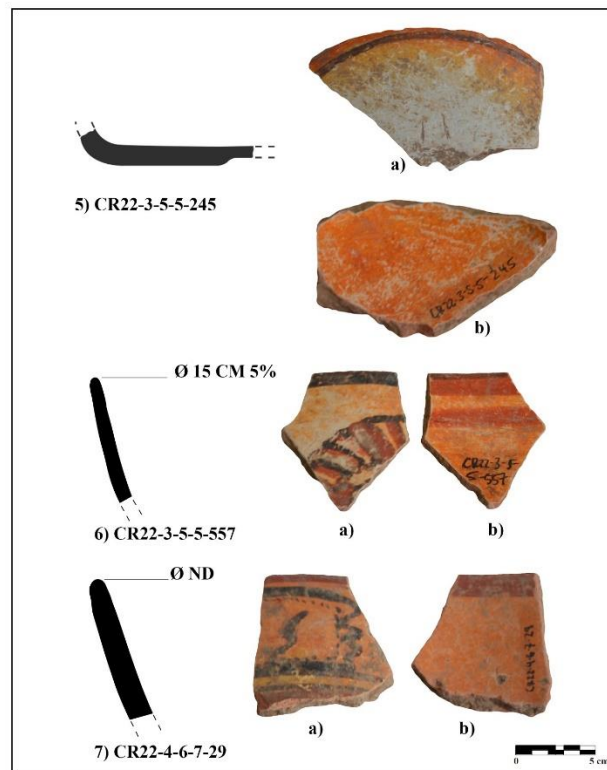


Figura 144. Bordes y base del Grupo Saxché-Palmar Tipo Saxché Palmar Variedad Saxché a) exterior b) interior (Basurero Temprano (1A))



(Dibujo y fotografía por A. González)



Figura 145. Bordes y base del Grupo Saxché-Palmar Tipo Saxché Palmar Variedad Saxché a) exterior b) interior (Basurero Temprano (1A))



(Dibujo y fotografía por A. González)

Figura 146. Borde del Grupo Saxché-Palmar Tipo Saxché Palmar Variedad Saxché a) exterior b) interior (Basurero Temprano (1A))

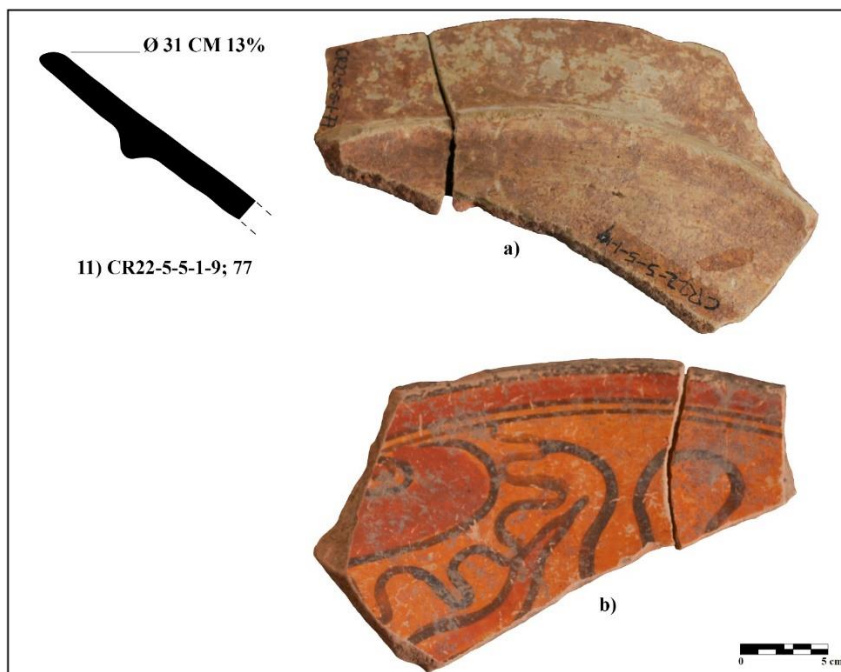
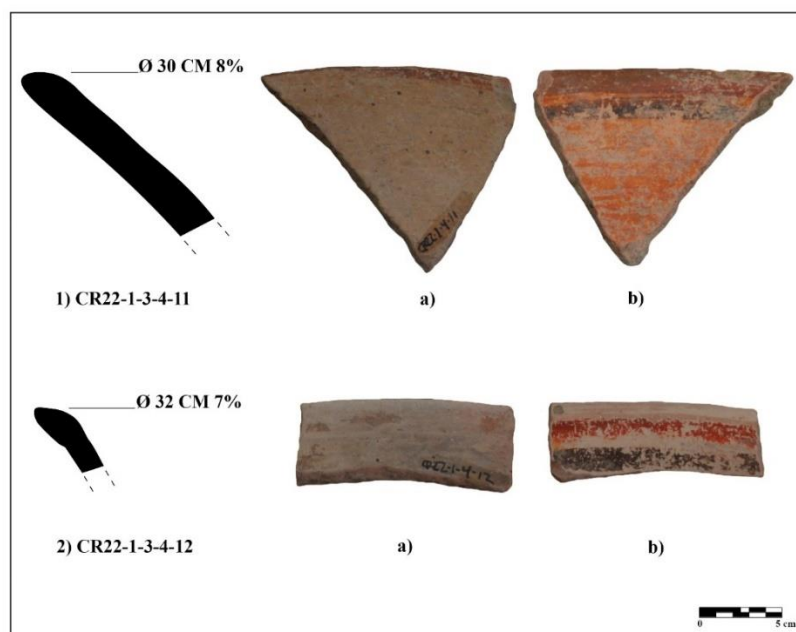
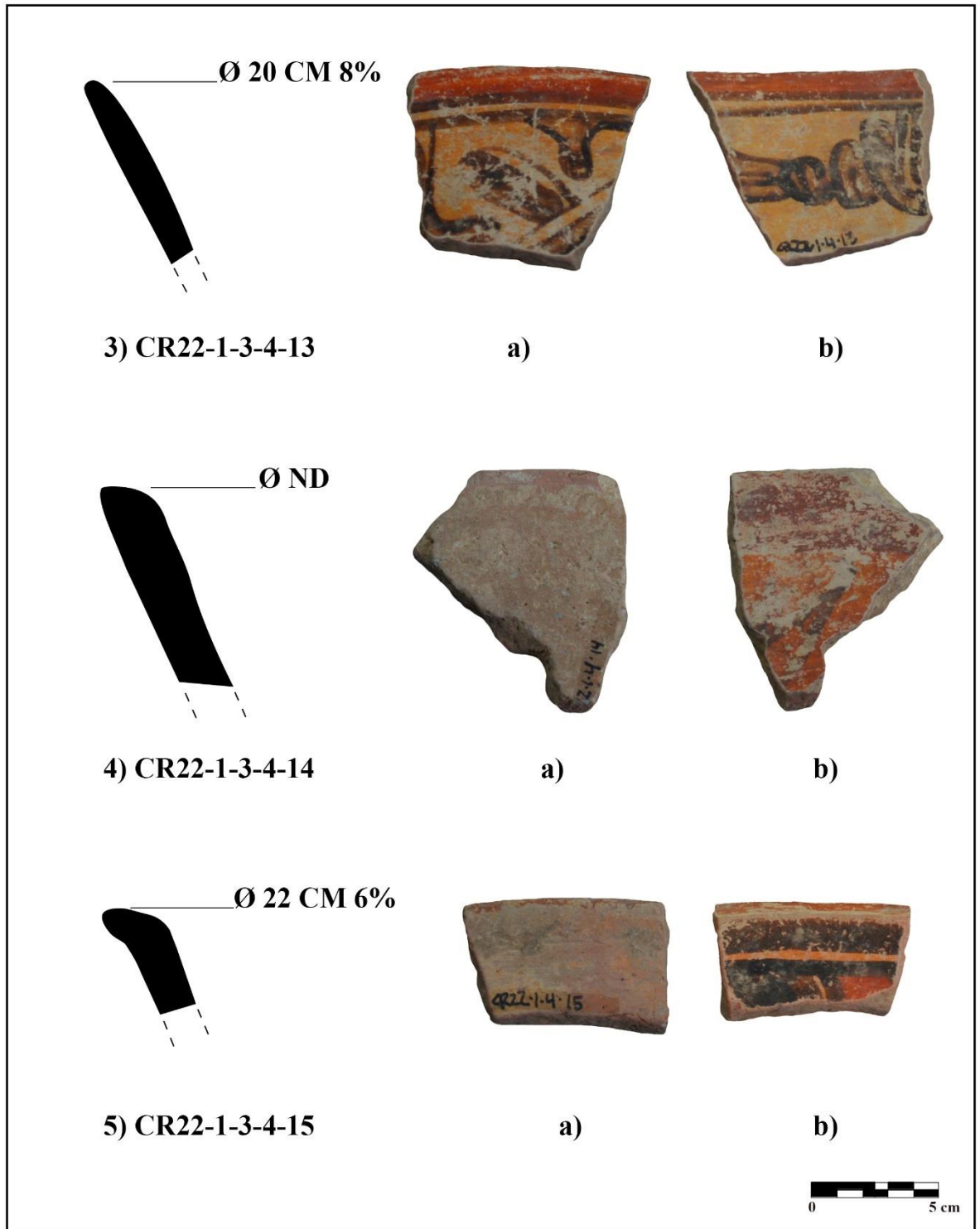


Figura 147. Bordes del Grupo Saxché-Palmar Tipo Saxché Palmar Variedad Palmar a) exterior b) interior (Basurero Tardío (1C))



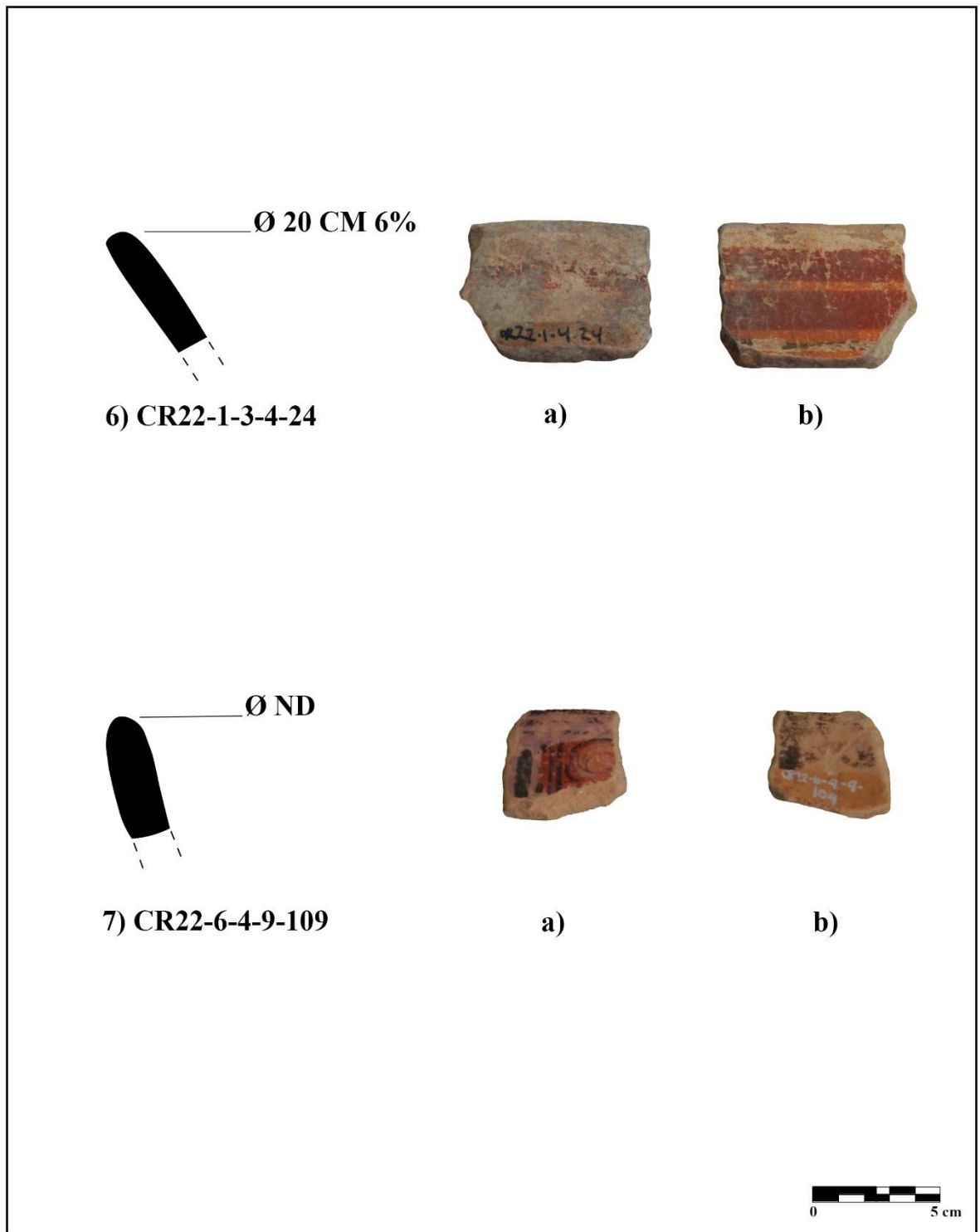
(Dibujo y fotografía por A. González)

Figura 148. Bordes del Grupo Saxché-Palmar Tipo Saxché Palmar Variedad Palmar a) exterior b) interior (Basurero Tardío (1C))



(Dibujo y fotografía por A. González)

Figura 149. Bordes del Grupo Saxché-Palmar Tipo Saxché Palmar Variedad Palmar a) exterior b) interior (Basurero Tardío (1C))



(Dibujo y fotografía por A. González)

Figura 150. Borde del Grupo Saxché-Palmar Tipo Saxché Palmar Variedad Palmar a) exterior b) interior (Basurero Tardío (1C))

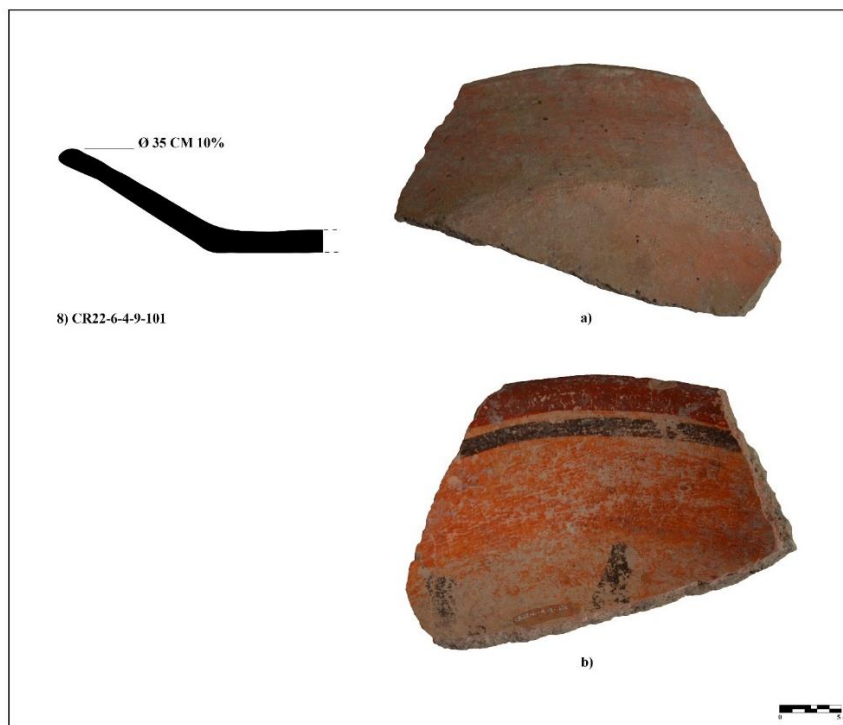
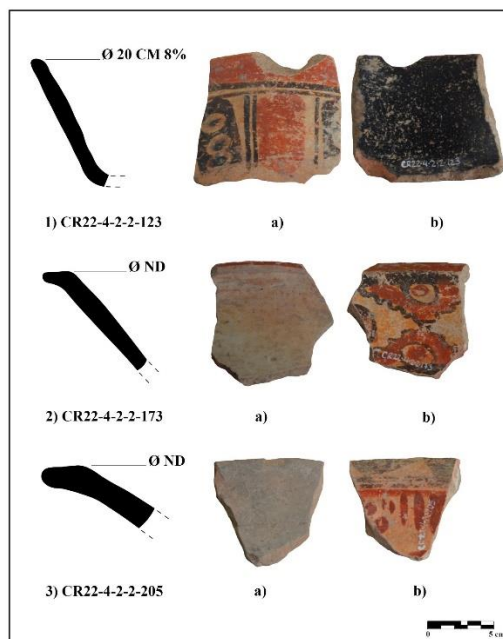


Figura 151. Bordes del Grupo Saxché-Palmar Tipo Saxché Palmar Variedad Palmar a) exterior b) interior (derrumbe)



(Dibujo y fotografía por A. González)

Figura 152. Borde del Grupo Saxché-Palmar Tipo Anonal Naranja Polícromo Variedad Anonal a) exterior b) interior (derrumbe)

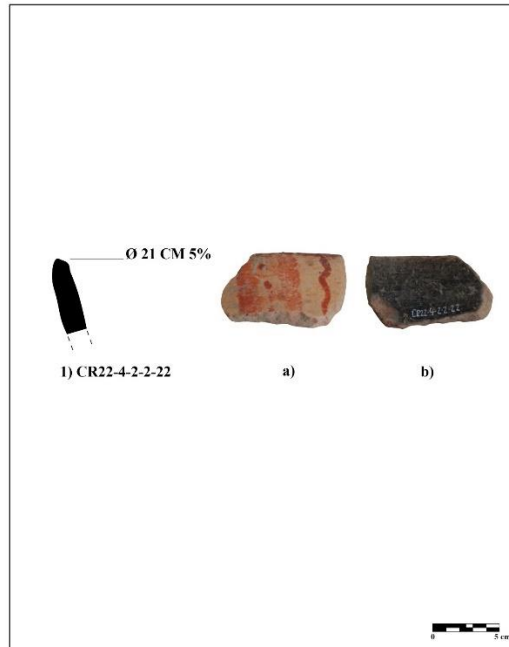
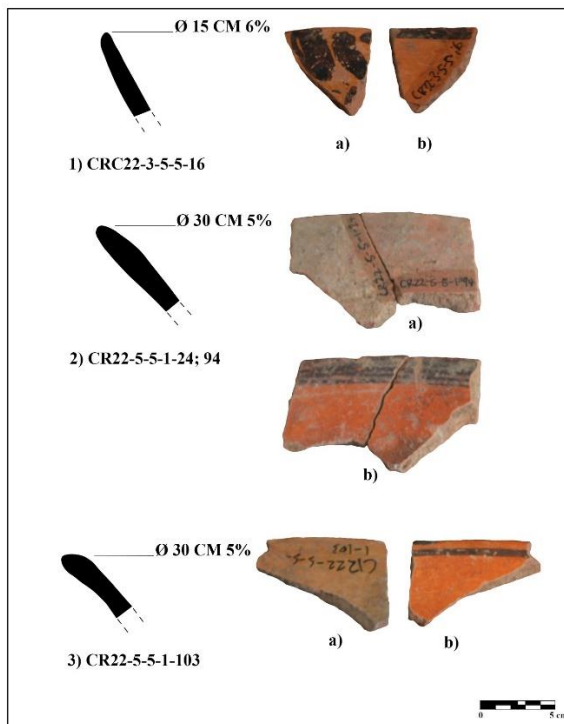


Figura 153. Bordes del Grupo Saxché-Palmar Tipo Chantuori Negro sobre Naranja Variedad Chantuori a) exterior b) interior (Basurero Temprano (1A))



(Dibujo y fotografía por A. González)

Figura 154. Borde del Grupo Saxché-Palmar Tipo Chantuori Negro sobre Naranja Variedad Chantuori a) exterior b) interior (Basurero Tardío (1C))

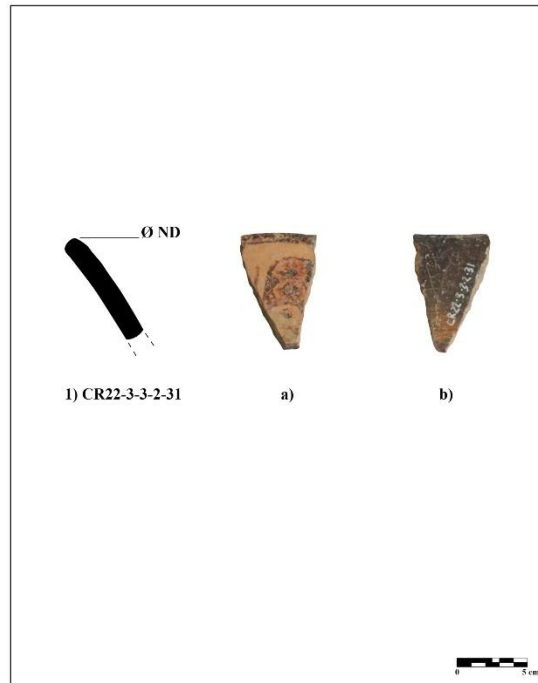
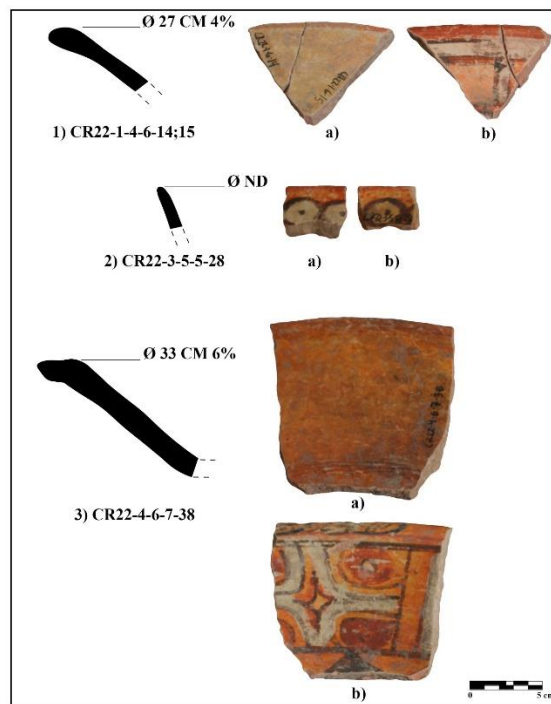


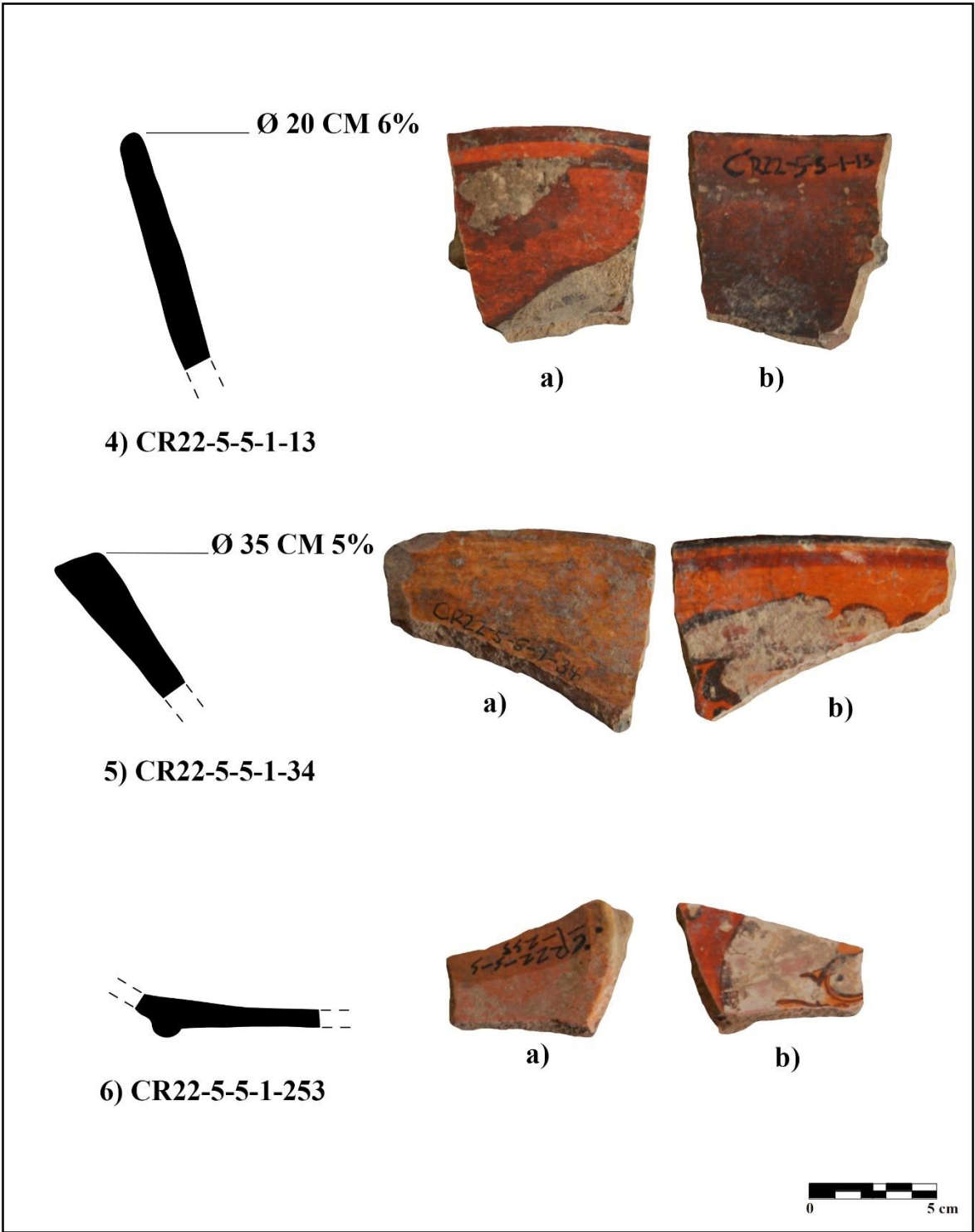
Figura 155. Bordes del Grupo Saxché-Palmar Tipo Palmar Naranja Polícromo Variedad Güisquil a) exterior b) interior (Basurero Temprano (1A))



(Dibujo y fotografía por A. González)



Figura 156. Bordes del Grupo Saxché-Palmar Tipo Palmar Naranja Polícromo Variedad Güisquil a) exterior b) interior (Basurero Temprano (1A))



(Dibujo y fotografía por A. González)



Figura 157. Cuerpos del Grupo Saxché-Palmar Tipo Palmar Naranja Polícromo Variedad Güisquil a) exterior (Basurero Temprano (1A))

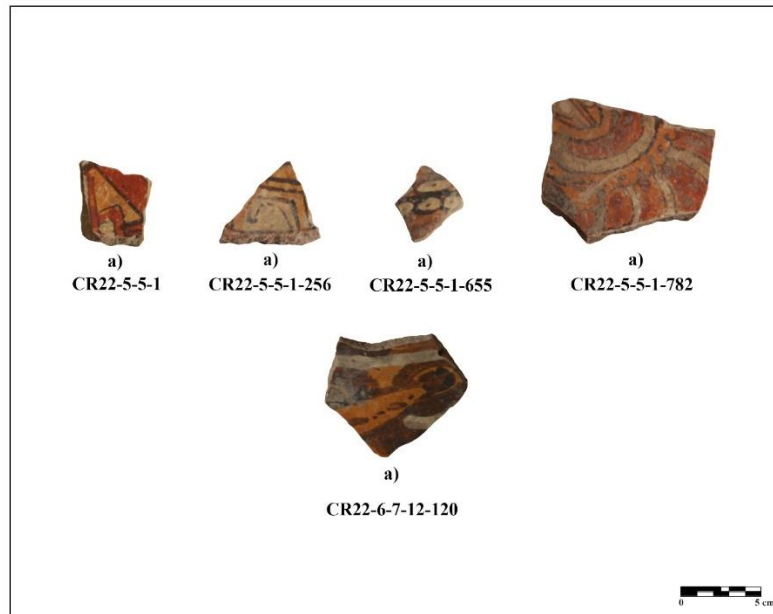
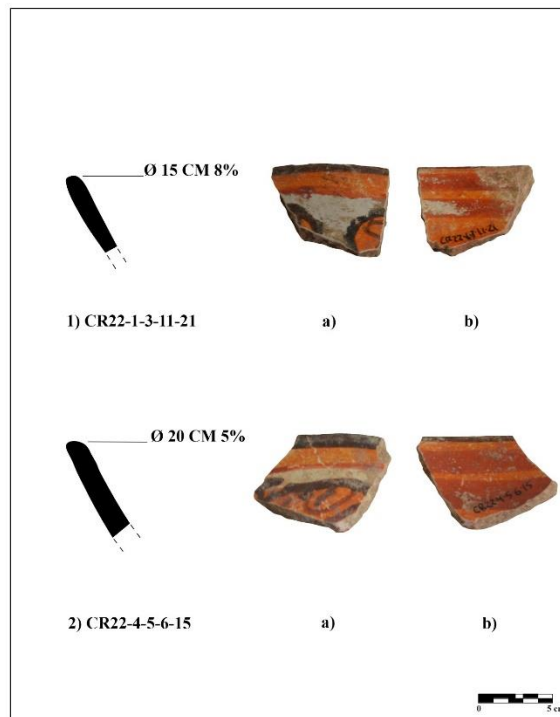


Figura 158. Bordes del Grupo Saxché-Palmar Tipo Palmar Naranja Polícromo Variedad Güisquil a) exterior b) interior (Basurero Medio (1B))



(Dibujo y fotografía por A. González)

Figura 159. Bordes del Grupo Saxché-Palmar Tipo Palmar Naranja Polícromo Variedad Güisquil a) exterior b) interior (Basurero Medio (1B)). 4) {yu-k'i-bi} “su vaso” (Morales, comunicación personal 2021).

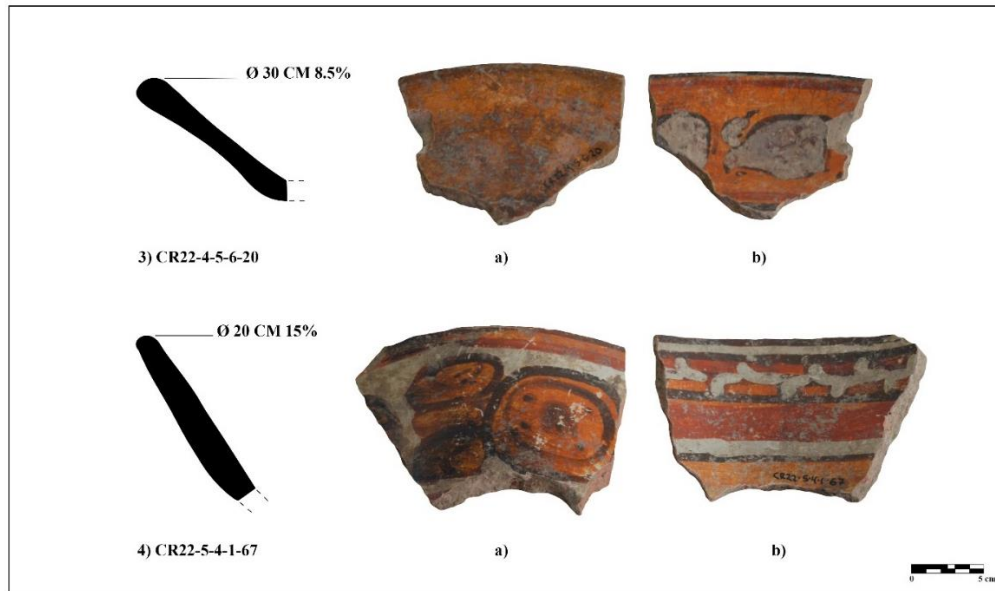
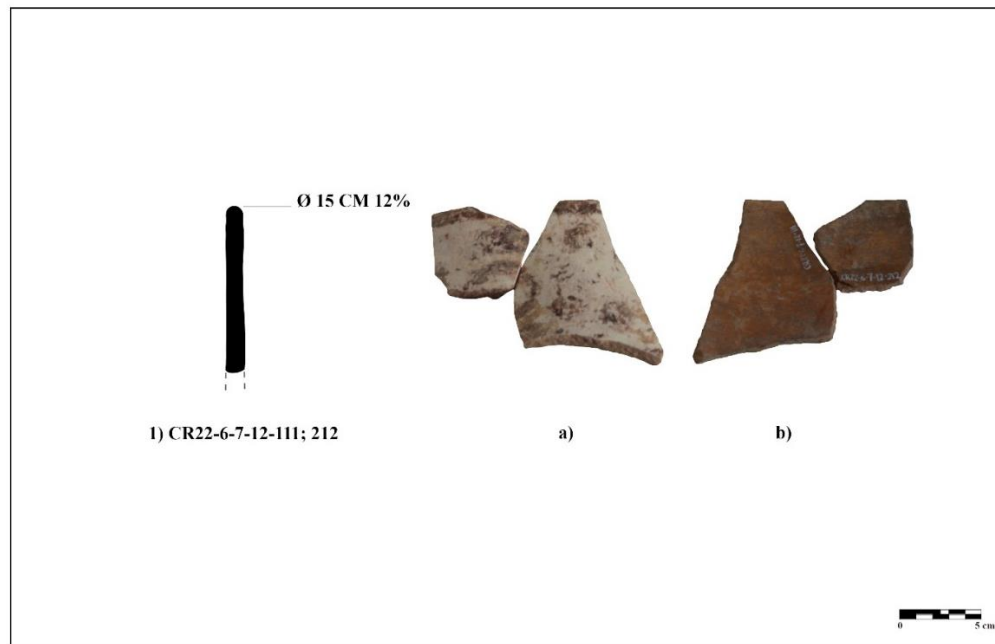


Figura 160. Borde del Grupo Zacatal Tipo Chinos Negro sobre Crema Variedad Chinos a) exterior b) interior (Basurero Temprano (1A))



(Dibujo y fotografía por A. González)

Figura 161. Cuerpo del Grupo Zacatal Tipo Chinos Negro sobre Crema Variedad Chinos  
a) exterior (Basurero Temprano (1A))

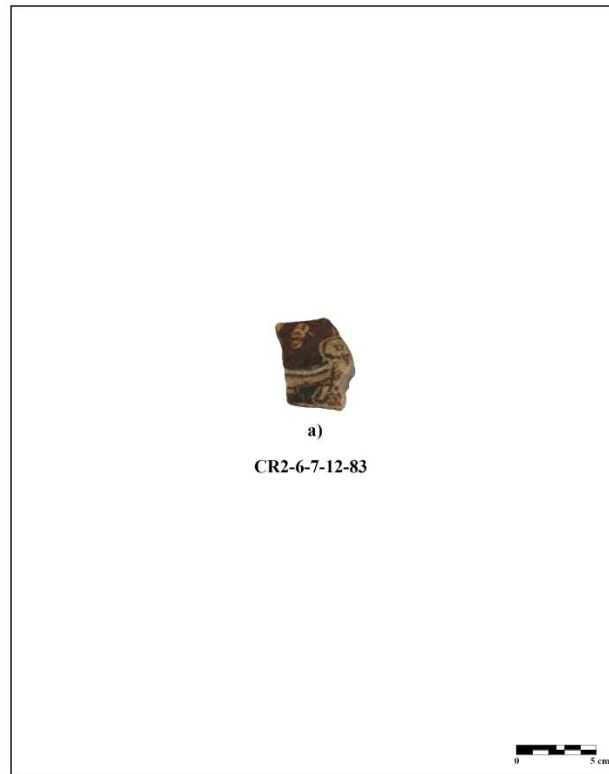


Figura 162. Cuerpo del Grupo Polícromo a) exterior b) interior (Basurero Temprano (1A))

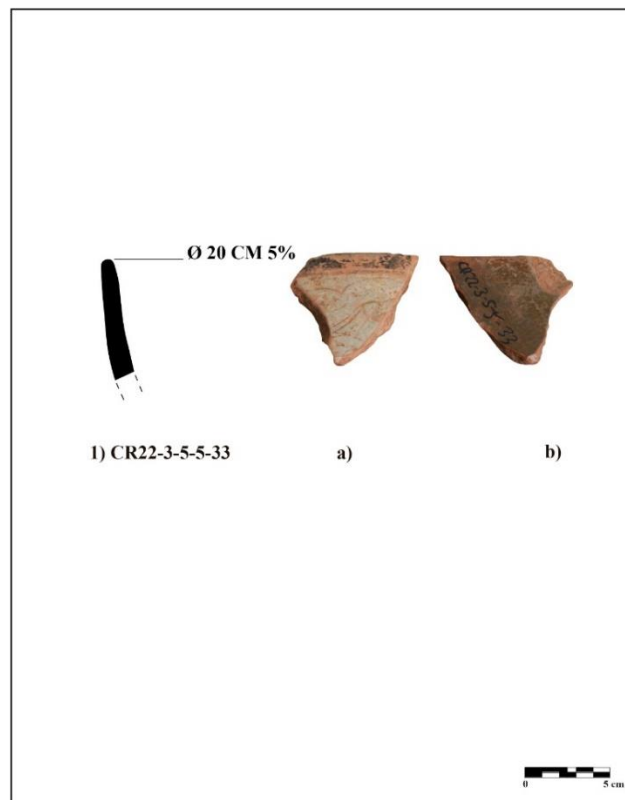


(Fotografía por A. González)

Figura 163. Cuerpo del Grupo Polícromo a) exterior b) interior (Basurero Temprano (1A))



Figura 164. Borde del Grupo Polícromo a) exterior b) interior (Basurero Temprano (1A))



(Dibujo y fotografía por A. González)

Figura 165. Borde del Grupo Indeterminados Tipo Estucado a) exterior b) interior  
(Basurero Medio (1B))

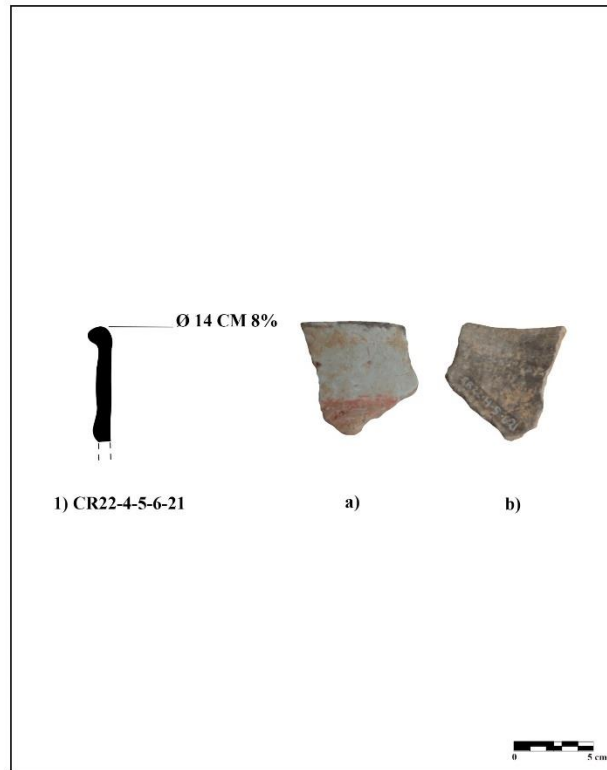
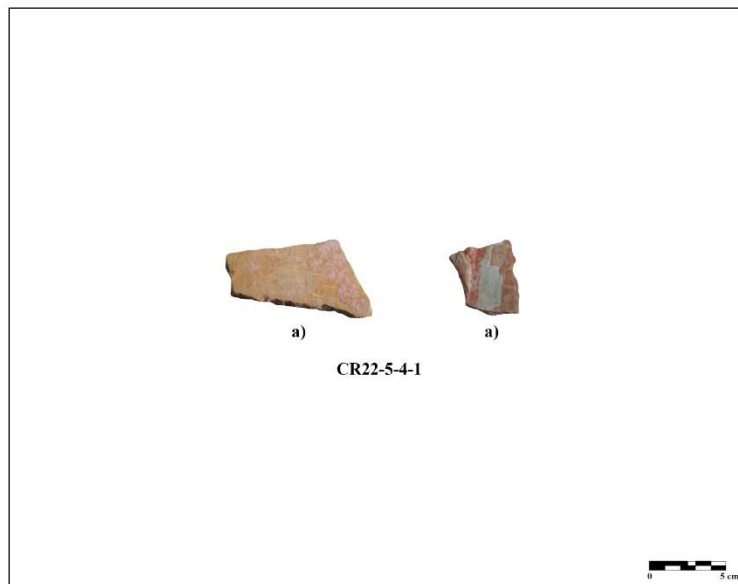
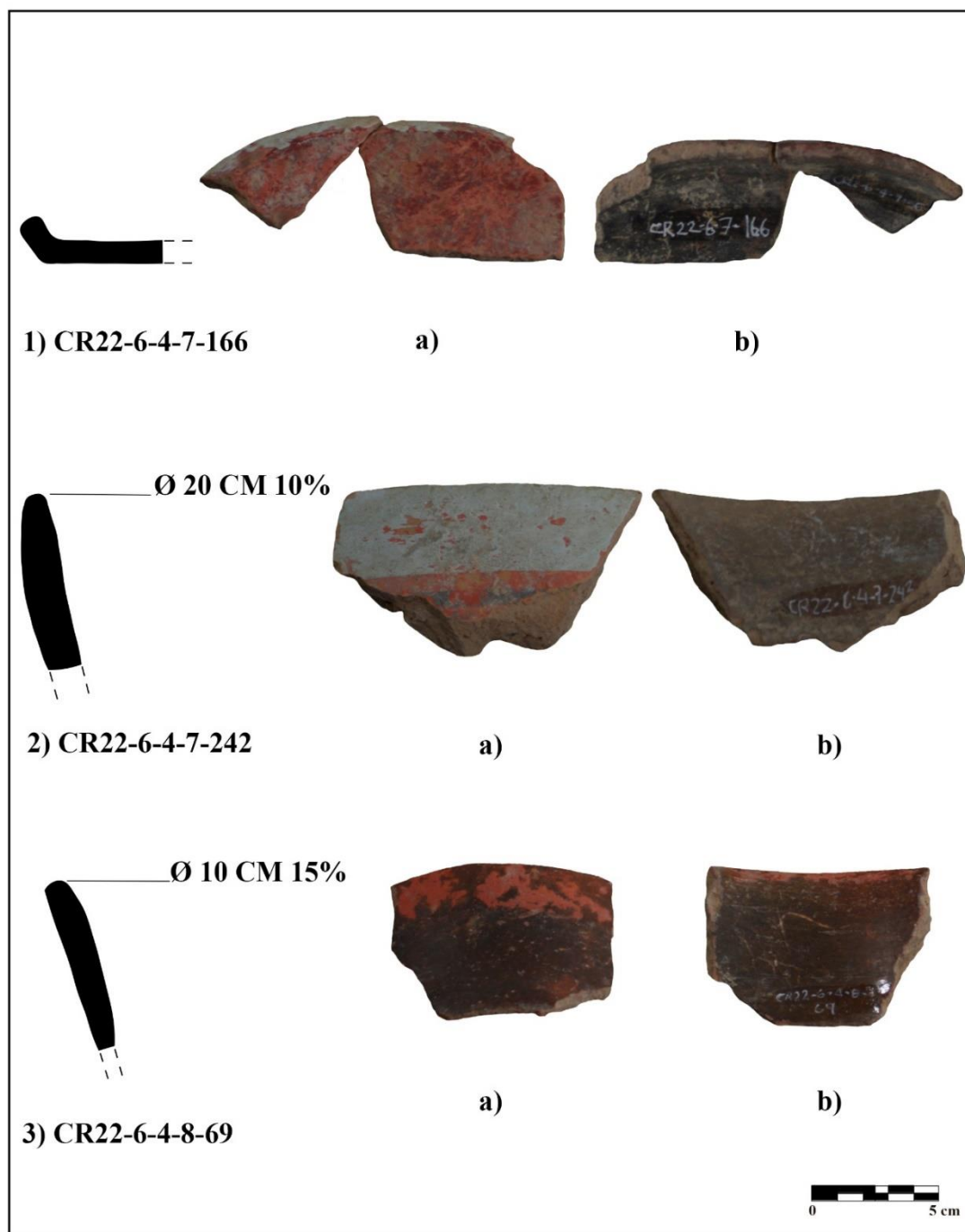


Figura 166. Cuerpo del Grupo Indeterminados Tipo Estucado a) exterior b) interior  
(Basurero Medio (1B))



(Dibujo y fotografía por A. González)

Figura 167. Tapadera y bordes del Grupo Indeterminados Tipo Estucado a) exterior b) interior (Basurero Tardío (1C))



(Dibujo y fotografía por A. González)

Figura 168. Cuerpo del Grupo Indeterminados Tipo Estucado a) exterior (Basurero Tardío (1C))

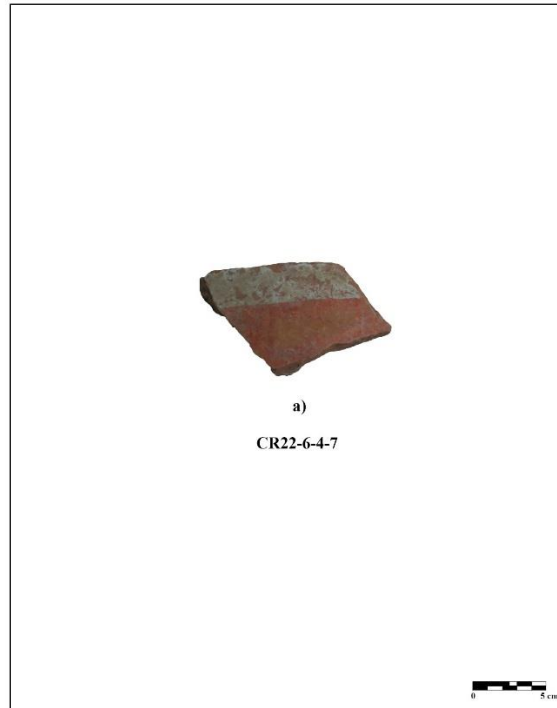


Figura 169. Tiesto reutilizado a) exterior b) interior (derrumbe)



(Fotografía por A. González)

### 3. Complejo *Waay* Tardío

Figura 170. Resultados del análisis Tipo-variedad de la Operación CR22, presentados por Clase, Grupo y Tipo: Variedad del Complejo *Waay* (faceta tardía) del Basurero 1

Operación CR22: resultados del análisis Tipo-Variedad del Basurero 1. Complejo <i>Waay</i> Tardío (n=20)							
Clase	Grupo (% del complejo)	Tipo: Variedad	Frecuencias			Porcentajes (%)	
			Borde	Otros	Total	Grupo	Complejo
Gris Fina	Chablekal (100 %) n = 20	Chablekal Gris V. No especificada	3	7	10	50.00	50.00
		Chicxulub Inciso V. Chicxulub	2	2	4	20.00	20.00
		Telchac Compuesto	4	2	6	30.00	30.00
<b>TOTALES</b>			<b>9</b>	<b>11</b>	<b>20</b>	<b>100.00</b>	

Figura 171. Resultados del análisis Tipo-variedad de la Operación CR22, presentados por Clase, Grupo y Tipo: Variedad del Complejo *Waay* (faceta tardía) del Basurero 3

Operación CR22: resultados del análisis Tipo-Variedad del Basurero 3. Complejo <i>Waay</i> Tardío (n=8)							
Clase	Grupo (% del complejo)	Tipo: Variedad	Frecuencias			Porcentajes (%)	
			Borde	Otros	Total	Grupo	Complejo
Gris Fina	Chablekal (100 %) n = 8	Chablekal Gris V. No especificada	2	3	5	62.50	62.50
		Chicxulub Inciso V. Chicxulub	1	1	2	25.00	25.00
		Telchac Compuesto		1	1	12.50	12.50
<b>TOTALES</b>			<b>3</b>	<b>5</b>	<b>8</b>	<b>100.00</b>	

Figura 172. Resultados del análisis Tipo-variedad de la Operación CR22, presentados por Clase, Grupo y Tipo: Variedad del Complejo *Waay* (faceta tardía) del primero cuerpo de Palacio y CR22-11

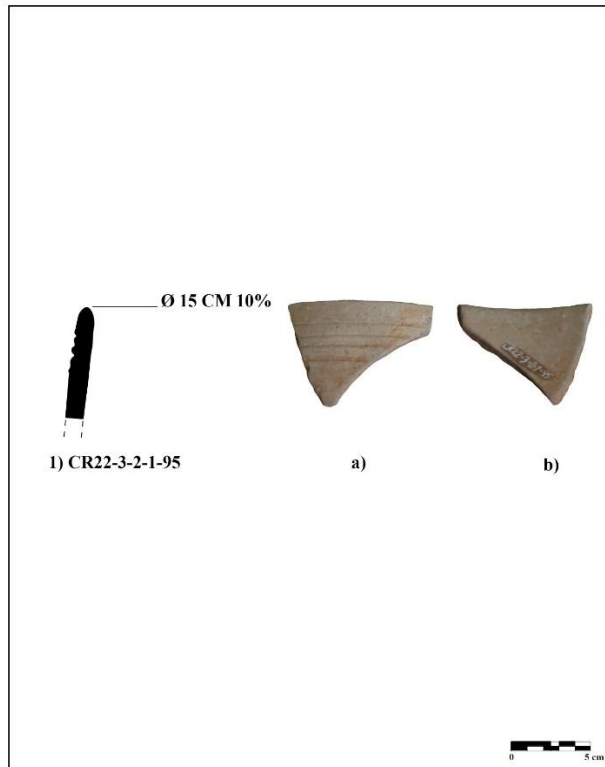
Operación CR22: resultados del análisis Tipo-Variedad del primero cuerpo de Palacio y CR22-11. Complejo <i>Waay</i> Tardío (n=5)							
Clase	Grupo (% del complejo)	Tipo: Variedad	Frecuencias			Porcentajes (%)	
			Borde	Otros	Total	Grupo	Complejo
Gris Fina	Chablekal (100 %) n = 5	Chablekal Gris V. No especificada	2	1	3	60.00	60.00
		Chicxulub Inciso V. Chicxulub		1	1	20.00	20.00
		Telchac Compuesto		1	1	20.00	20.00
<b>TOTALES</b>			<b>2</b>	<b>3</b>	<b>5</b>	<b>100.00</b>	



Figura 173. Borde y soporte Grupo Chablekal Tipo Chablekal Gris Fino Variedad No Especificada a) exterior b) interior (Basurero Tardío (1C))

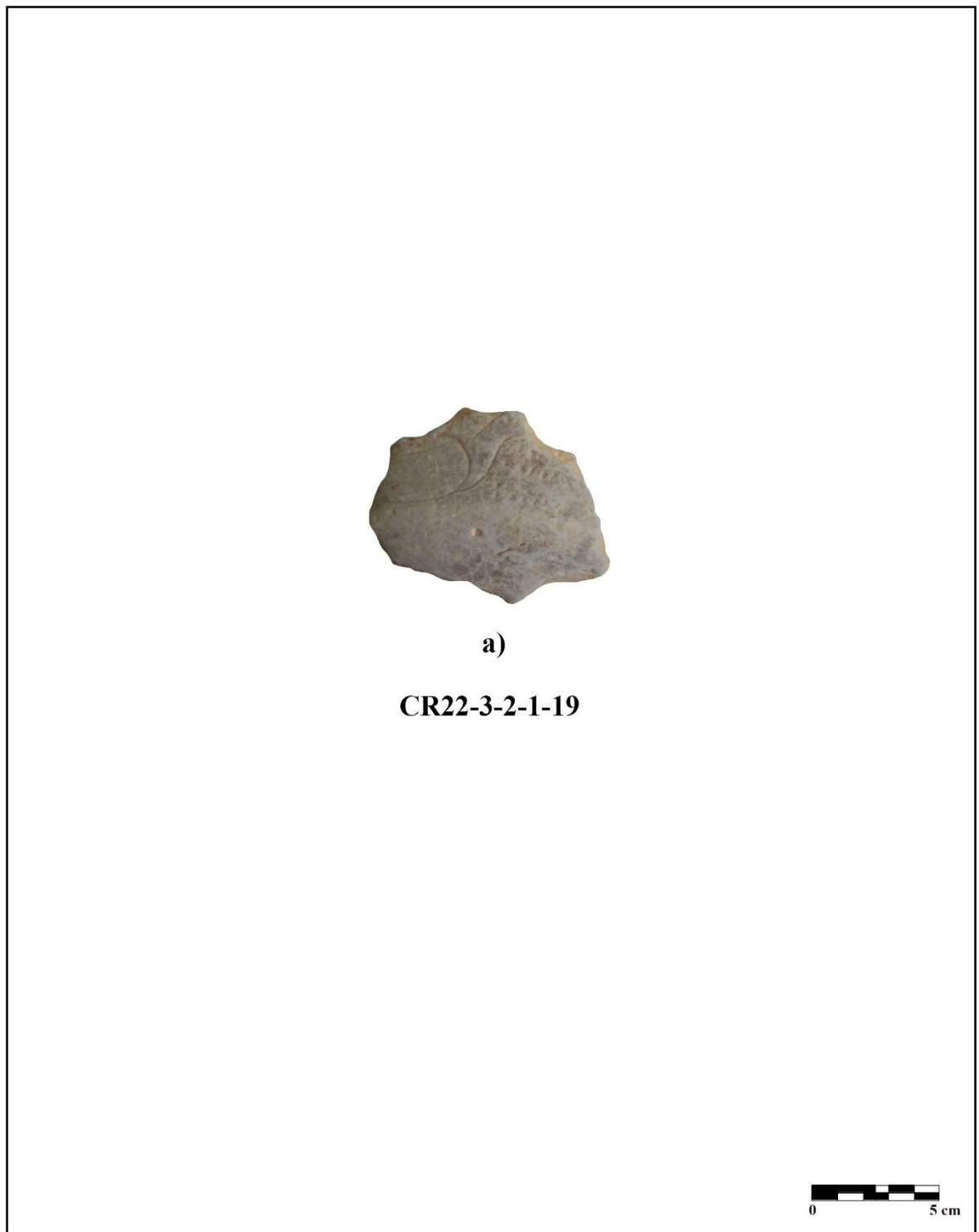


Figura 174. Borde del Grupo Chablekal Tipo Chicxulub Inciso Variedad Chicxulub a) exterior b) interior (derrumbe)



(Dibujo y fotografía por A. González)

Figura 175. Cuerpo del Grupo Chablekal Tipo Chicxulub Inciso Variedad Chicxulub a) exterior (derrumbe)



(Fotografía por A. González)

Figura 176. Vasija Completa del Grupo Chablekal Tipo Telchac Compuesto a) exterior b) interior (Basurero Tardío (1C))



(Dibujo y fotografía por A. González)

#### 4. Complejo *Paat*

Figura 177. Resultados del análisis Tipo-variedad de la Operación CR22, presentados por Clase, Grupo y Tipo: Variedad del Complejo *Paat* (faceta tardía) del Basurero 1

Operación CR22: resultados del análisis Tipo-Variedad del Basurero 1. Complejo Paat (n=14)							
Clase	Grupo (% del complejo)	Tipo: Variedad	Frecuencias			Porcentajes (%)	
			Borde	Otros	Total	Grupo	Complejo
Naranja Fina	Altar (42.86%) n = 6	Altar Naranja V. Altar	1	3	4	66.67	28.57
		Pabellon Moldeado-Tallado V. Pabellon	1	1	2	33.33	14.29
Gris Fina	Tres Naciones (7.14%) n=1	Tres Naciones Gris	1		1	100.00	7.14
Petén Lustroso	Máquina (7.14%) n=1	Pepet Inciso V. Pepet	1		1	100.00	7.14
Petén Lustroso	Tinaja (42.86%) n=6	Camaron Inciso V. Camaron	6		6	100.00	42.86
<b>TOTALES</b>			<b>10</b>	<b>4</b>	<b>14</b>	<b>100.00</b>	

Figura 178. Resultados del análisis Tipo-variedad de la Operación CR22, presentados por Clase, Grupo y Tipo: Variedad del Complejo *Paat* (faceta tardía) del Basurero 3

Operación CR22: resultados del análisis Tipo-Variedad del Basurero 3. Complejo Paat (n=11)							
Clase	Grupo (% del complejo)	Tipo: Variedad	Frecuencias			Porcentajes (%)	
			Borde	Otros	Total	Grupo	Complejo
Naranja Fina	Altar (18.18 %) n = 2	Altar Naranja V. Altar		1	1	50.00	9.09
		Cedro Acanalado V. Cedro		1	1	50.00	9.09
Naranja Fina	Balancan (45.45%) n = 5	Balancan Naranja V. Balancan	1		1	20.00	9.09
		Caribe Inciso V. Caribe Poite Inciso		3	3	60.00	27.27
Gris Fina	Tres Naciones (9.09%) n=1	Tres Naciones Gris	1		1	100.00	9.09
Petén Lustroso	Infierno (9.09%) n=1	Cubeta Inciso		1	1	100.00	9.09
Petén Lustroso	Tinaja (18.18%) n=2	Camaron Inciso V. Camaron	2	0	2	100.00	18.18
<b>TOTALES</b>			<b>5</b>	<b>6</b>	<b>11</b>	<b>100.00</b>	

Figura 179. Resultados del análisis Tipo-variedad de la Operación CR22, presentados por Clase, Grupo y Tipo: Variedad del Complejo *Paat* (faceta tardía) del primer cuerpo de Palacio y CR22-11

Operación CR22: resultados del análisis Tipo-Variedad del primer cuerpo de Palacio y CR22-11. Complejo Paat (n=9)							
Clase	Grupo (% del complejo)	Tipo: Variedad	Frecuencias			Porcentajes (%)	
			Borde	Otros	Total	Grupo	Complejo
Naranja Fina	Altar (44.44%) n = 4	Altar Naranja V. Altar	1		1	25.00	11.11
		Pabellon Moldeado-Tallado V. Pabellon		2	2	50.00	22.22
		Tumba Negro sobre Naranja V. Tumba	1		1	25.00	11.11
Naranja Fina	Balancan (11.11%) n = 1	Provincia Plano Relieve V. Provincia		1	1	100.00	11.11
Petén Lustroso	Tinaja (33.33%) n=3	Camaron Inciso V. Camaron	1		1	25.00	11.11
		Portia Gubiado Inciso V. Estucada	1	2	3	75.00	33.33
<b>TOTALES</b>			<b>4</b>	<b>5</b>	<b>9</b>	<b>100.00</b>	

Figura 180. Borde del Grupo Máquina Café Tipo Pepet Inciso a) exterior b) interior  
(Basurero Medio (1B))

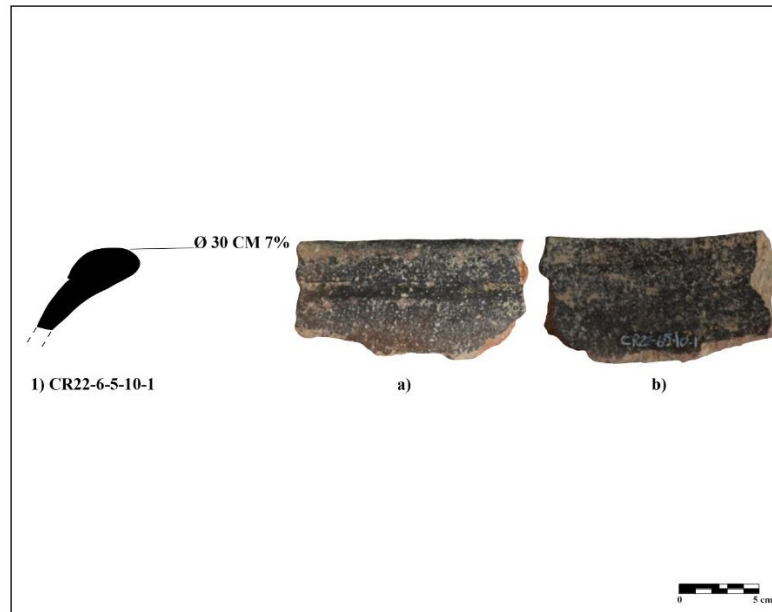


Figura 181. Borde del Grupo Tinaja Rojo Tipo Camarón Inciso a) exterior b) interior  
(Basurero Tardío (1C))



(Dibujo y fotografía por A. González)

Figura 182. Bordes del Grupo Altar Tipo Altar Naranja Variedad Altar a) exterior b) interior (derrumbe)

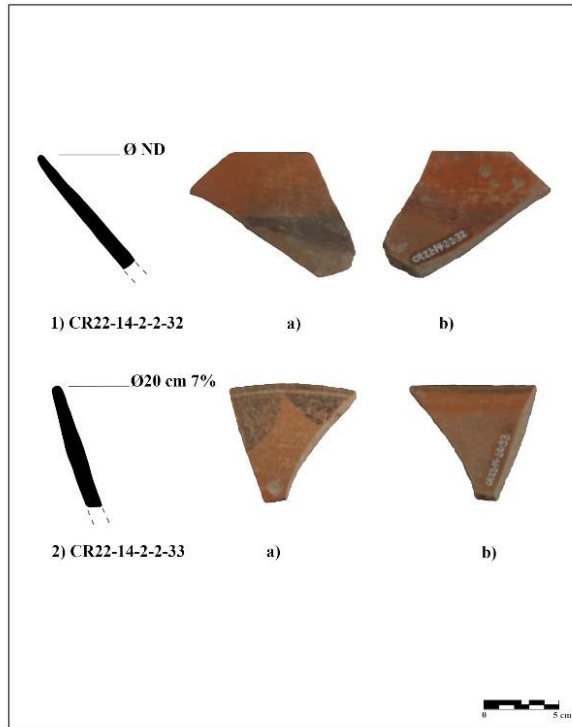
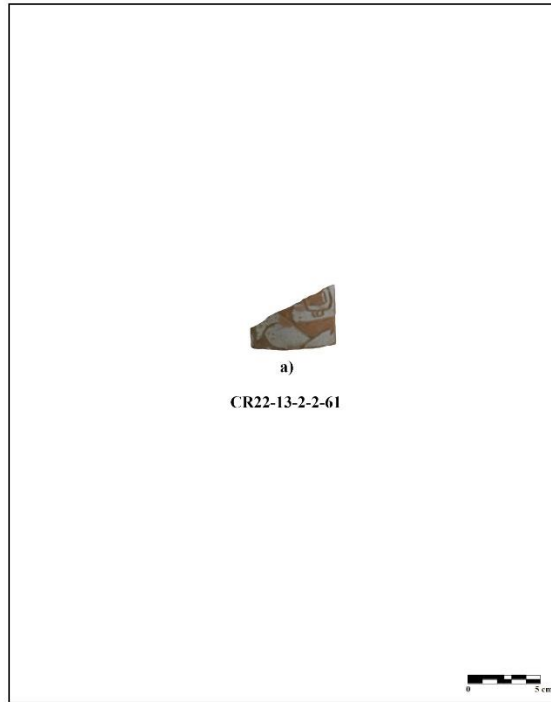


Figura 183. Cuerpo del Grupo Balancan Tipo Caribe Inciso Variedad Caribe a) exterior (derrumbe)



(Dibujo y fotografía por A. González)

Figura 184. Cuerpo del Grupo Balancan Tipo Provincia Plano Relieve Variedad Provincia  
a) exterior (derrumbe)



(Dibujo y fotografía por A. González)

Figura 185. Soporte del Grupo Infierno Negro Tipo Cubeta Inciso a) exterior (derrumbe)

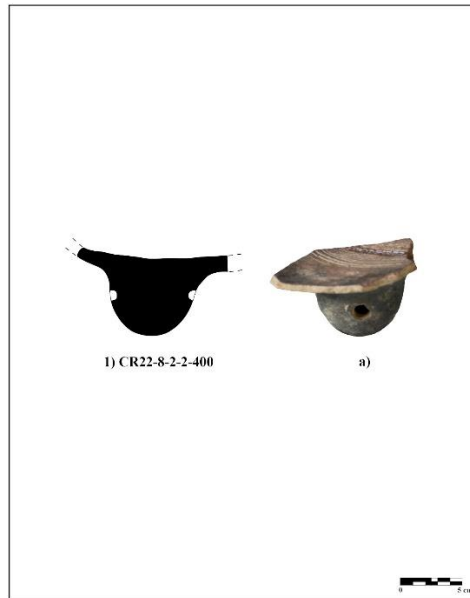
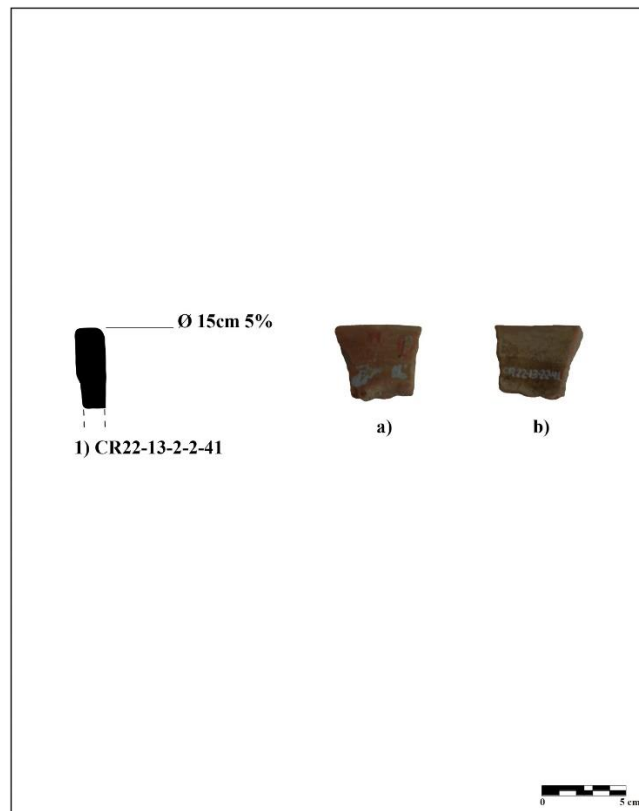


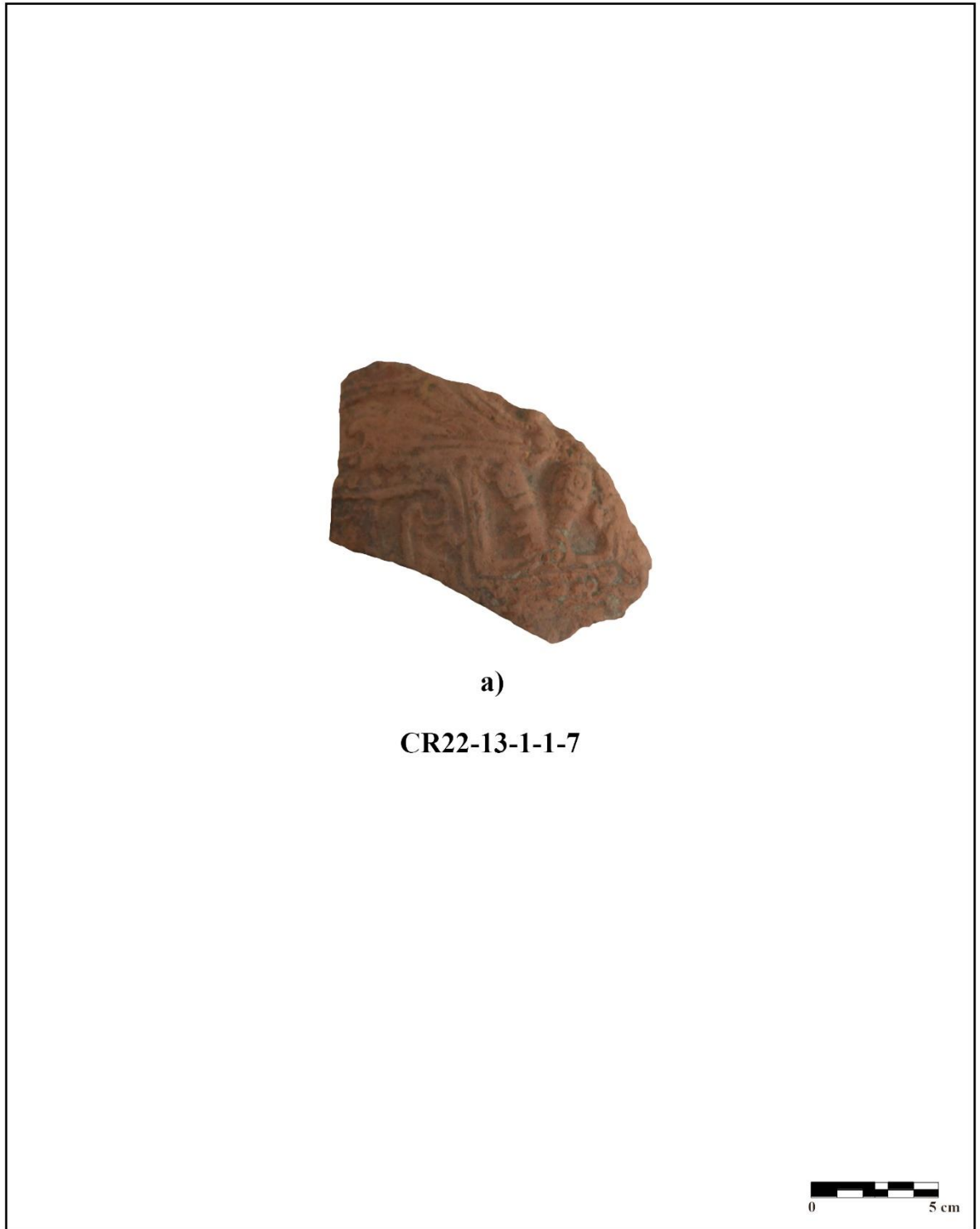
Figura 186. Borde del Grupo Tinaja Variedad Portia Gubiado Inciso a) exterior b) interior (derrumbe)



(Dibujo y fotografía por A. González)

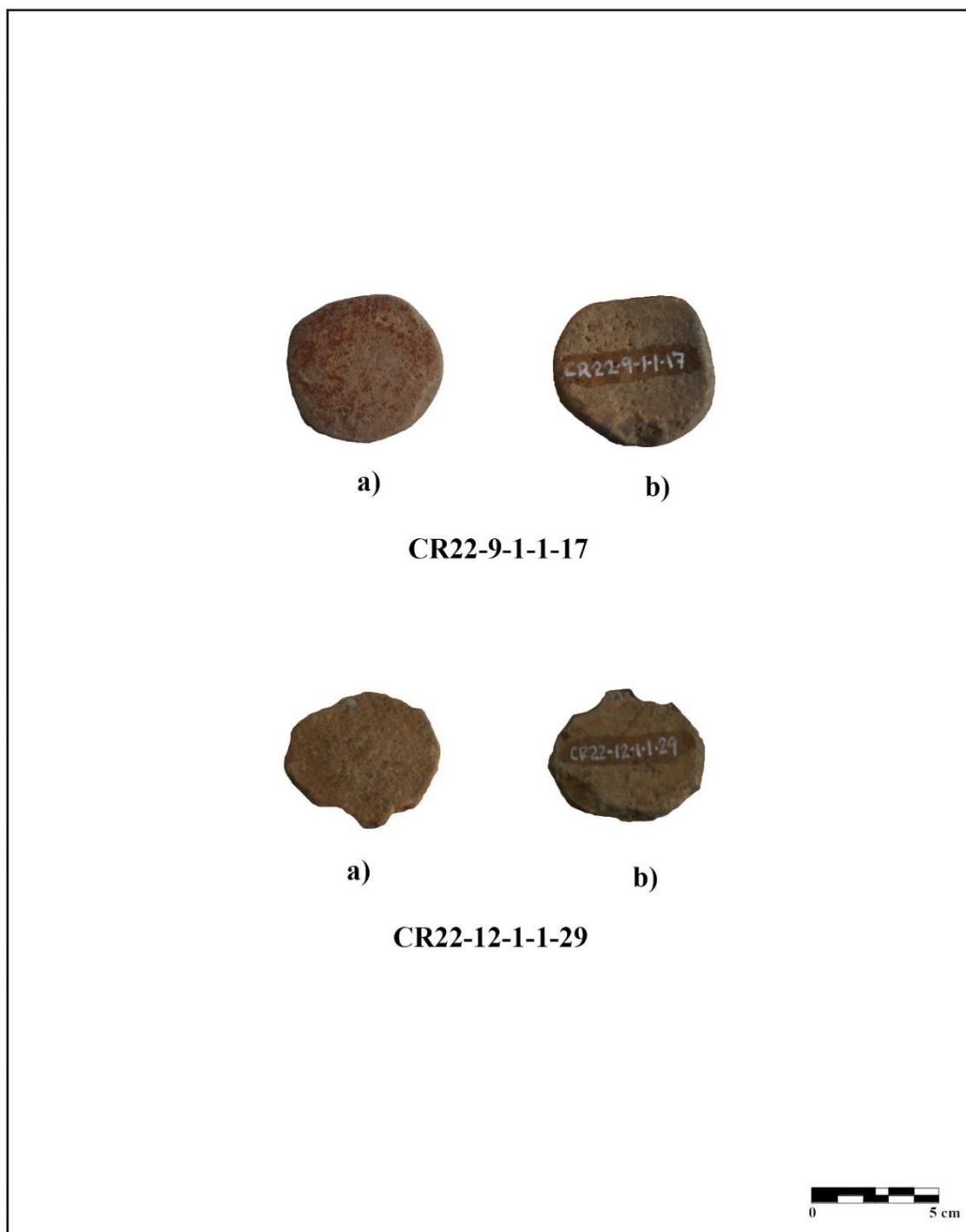


Figura 187. Cuerpo del Grupo Tinaja Variedad Portia Gubiado Inciso a) exterior  
(derrumbe)



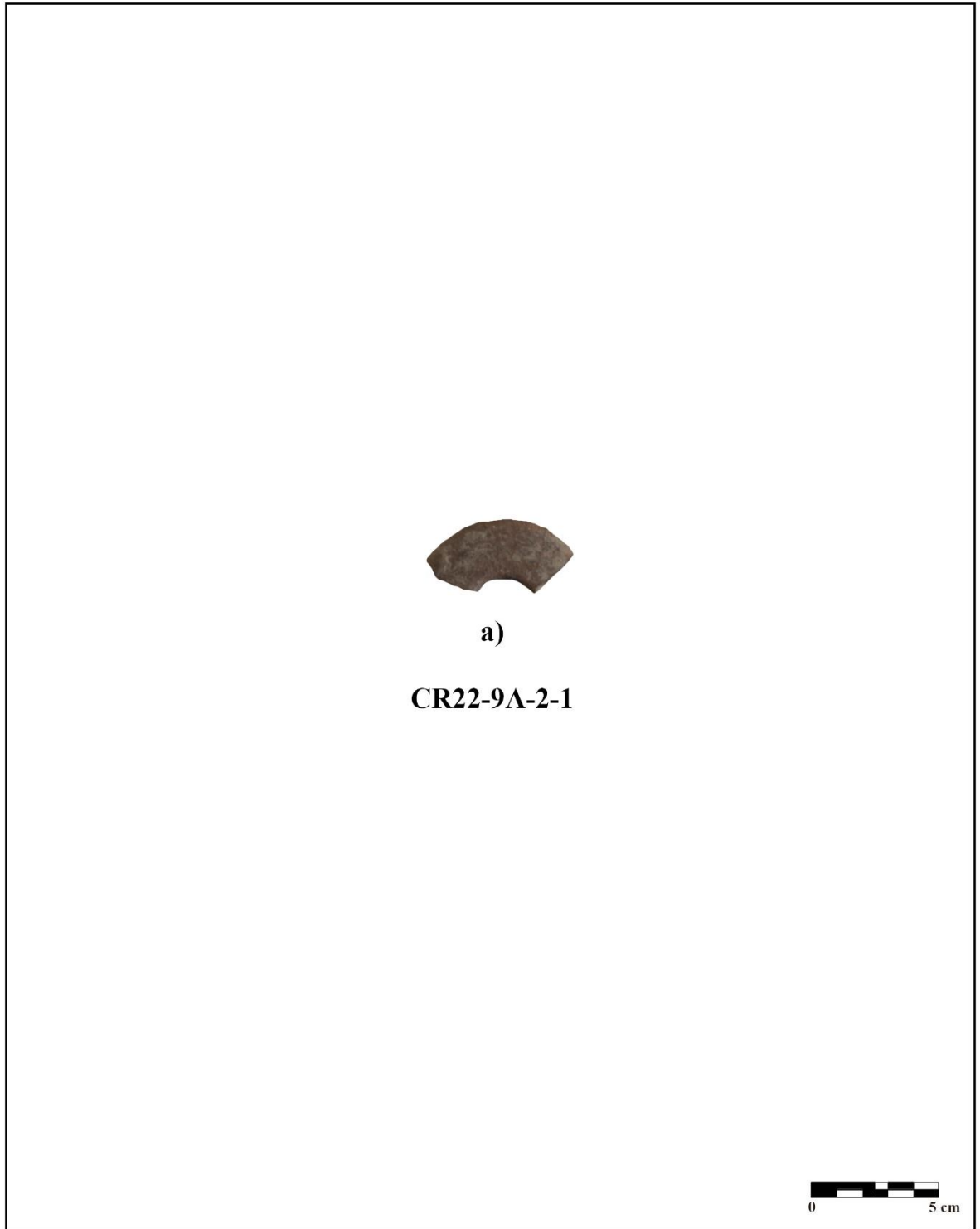
(Fotografía por A. González)

Figura 188. Tiestos reutilizados a) exterior b) interior (humus)



(Fotografía por A. González)

Figura 189. Fragmento de malacate a) exterior (derrumbe)



(Dibujo y fotografía por A. González)